

الدراسة الميدانية و التجارب العملية فى

الجيومورفولوجيا

أ.د/محمد صبرى محسوب

أستاذ الجغرافيا الطبيعية

وكيل كلية الآداب لشئون التعليم و الطلاب

جامعة القاهرة

د/أحمد فوزى ضاحى

مدرس بكلية الآداب بسوهاج

جامعة جنوب الوادى

القاهرة

٢٠٠٦

THE UNITED STATES OF AMERICA

1900

WILLIAM H. HARRIS

WILLIAM H. HARRIS

WILLIAM H. HARRIS

WILLIAM H. HARRIS

WILLIAM H. HARRIS

WILLIAM H. HARRIS

WILLIAM H. HARRIS

WILLIAM H. HARRIS

1900

1900

الفهرس

أولاً : فهرس الموضوعات.

ثانياً : فهرس الجداول.

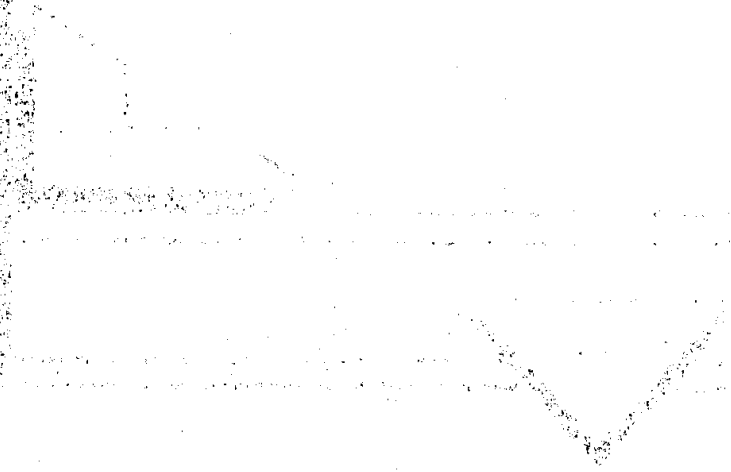
ثالثاً : فهرس الأشكال.

رابعاً : فهرس الصور الفوتوغرافية.



THE
LIBRARY
OF THE
UNIVERSITY OF
MICHIGAN

ANN ARBOR, MICHIGAN



أولاً : فهرس الموضوعات :

الصفحة	الموضوعات
٢٨-١٧	الفصل الأول مدخل لفهم الدراسة الميدانية والعمل المعلى وأجهزة وأدوات العمل الميدانى.....
٥٠-٢٩	الفصل الثانى التجوية من القياسات والتجارب الميدانية والمعملية.....
٩٨-٥١	الفصل الثالث القياسات الميدانية الخاصة بالمنحدرات والأدوية الجافة وحركة لمواد على السفوح (المنحدرات)
١١٢-٩٩	الفصل الرابع القياسات الميدانية لظواهرات الكارست.....
١٤٨-١١٣	الفصل الخامس قياسات وتجارب ميدانية ومعملية للأشكال الأرضية المرتبطة بالرياح.....
١٦٥-١٤٩	الفصل السادس الأنهار والتعرية النهرية من الدراسة الميدانية والتجارب المعملية.....
٢٠٨-١٦٧	الفصل السابع العمليات والأشكال الساحلية من القياسات والتجارب الميدانية والمعملية.....
٢٣٠-٢٠٩	الفصل الثامن تحليل الرواسب.....
٢٦٤-٢٣١	الفصل التاسع القطاعات التضاريسية والتحليل المورفومتري من الخريطة الكنتورية.....
٢٧٤-٤٦٥	المراجع.....

ثانياً : فهرس الجداول :

م	الجدول	الصفحة
١	مقياس درجات التجوية للانحراف الهندسية.....	٣٣
٢	تجوية شواهد المقابر وفقاً لـ Rhans, ١٩٧١.....	٣٦
٣	تقسيم نظري لقياس منحدر.....	٦٠
٤	فئات الانحدار تبعاً لتقسيم Young.....	٦٣
٥	التوزيع التكراري لفئات زوايا الانحدار على جوانب سفوح منطقة الجلالة	٦٤
٦	فئات التقوس والنسبة المتوية لأشكالها على منحدرات منطقة الجلالة القبلية	٦٨
٧ أ	فئات التقوس والنسبة المتوية لأشكالها على سفوح جوانب الأودية.....	٦٩
٧ ب	نسبة التقوس على طول الأجزاء المختلفة لجوانب الأودية.....	٧١
٨	فئات التقوس والنسبة المتوية لأشكالها على منحدرات القطاعات الطولية	٧٣
٩	فئات التقوس والنسبة المتوية لأشكالها على جوانب أخافة الرئيسية.....	٧٤
١٠	الخصائص الكمية للجروف بالمنطقة.....	٨١
١٢	مصفوفة معاملات الارتباط بين الكثبان الطولية لمنطقة سيوة.....	١٤٠
١٣	نتائج التحليل الإحصائي لأبعاد نباك إحدى الحقول بمنخفض الواحات البحرية	١٤٣
١٤	نتائج التحليل الإحصائي لمتوسطات درجات المحدار جوانب نباك بمنخفض الواحات البحرية.....	١٤٣
١٥	مقياس الأحجام طبقاً لتصنيف وليثورث.....	٢١٣
١٦	فئات تصنيف الرواسب.....	٢١٧
١٧	فئات الالتواء ودرجته.....	٢٢٠
١٨	التعبيرات الوصفية لفئات الالتواء لتجني توزيع أحجام الرواسب.....	٢٢٠
١٩ أ	فئات تفلطح الرواسب.....	٢٢١
١٩ ب	فئات التفلطح في توزيع رواسب المراحل الفيضية.....	٢٢١
٢٠ أ	أقسام الحبيبات حسب أشكالها.....	٢٢٦
٢٠ ب	الخصائص الشكلية لرواسب أسطح بعض المراحل.....	٢٢٦
٢١	المتغيرات المورفولوجية لأحواض التصريف النهري.....	٢٤٥
٢٢	عدد من المتغيرات المورفومترية لشبكات التصريف النهري.....	٢٥١
٢٣	معدل التشعب بمحوض وادي بيشه الأعلى.....	٢٥٢
٢٤	بعض القياسات المورفومترية بأحواض أودية أبو سمرة وجابر والضبعة.....	٢٥٨
٢٥	قيم معدل التضرس والوعورة والكثافة بأحواض أبو سمرة وجابر والضبعة	٢٥٨
٢٦	معدلات التشعب بأحواض أبو سمرة وجابر والضبعة.....	٢٦٠

ثالثاً : فهرس الأشكال :

م	الشكل	الصفحة
١	ابنى ليقل	٢٥
٢	القياس باستخدام جهاز ابنى ليقل	٢٦
٣	شريط القياس	٢٦
٤	البوصلة المنشورية	٢٧
٥	الشاكوش الجيولوجى	٢٧
٦	القدمة المستخدمة فى قياس أبعاد الحيات الصخرية	٢٧
٧	طرق مختلفة توضح أثر التجوية على المدى البعيد	٣٥
٨	كيفية قياس معدلات التجوية على وجهة جرف ساحل مكون من صخور جيرية غرب استراليا	٣٩
٩	نتاج تجوية صخر الجرانيت	٤٧
١٠	حصى تعرض للتشقق بفعل حرارة الشمس فى صحراء طوميز فى بيرو	٤٧
١١	ميكانيكية تشقق جلمود صخرى	٤٧
١٢ أ	العلاقة بين جذور الأشجار وكذلك الصخور	٤٨
١٢ ب	أثر النباتات الشجرية على تجوية الصخور	٤٨
١٣	دور حيوان الكابوريا فى حفر تجويفات فى رواسب المسطحات المائية	٤٩
١٤	حفر التافون بأبعادها وأشكالها المختلفة	٤٩
١٥	نطاقات التجوية بالمنحدرات الجرانيتية بمجزيرة هونج كونج	٥٠
١٦	طريقة مقترحة لمراحل دراسة المنحدرات	٥٥
١٧ أ	القطاعات الطولية لأودية منطقة الدراسة	٥٧
١٧ ب	مكونات المنحدر	٥٨
١٨	فئات زوايا المنحدر منطقة الجلالة القبلية	٦٥
١٩	التقوس على منحدرات منطقة الجلالة القبلية	٦٧
٢٠	التقوس على أجزاء جوالب الأودية المختلفة	٧٠
٢١	تراجع المنحدرات	٧٦
٢٢	مصيصة الرواسب الناعمة عن التحت بفعل تدفق المياه فوق المنحدر	٩٤
٢٣	جهاز قياس توسع الشقوق (الفواصل) قليل اعرض الكتلة الصخرية للسقوط	٩٤

٢٤	جهاز قياس قوة الاحتكاك بين الكتلة المتحركة و سطح المنحدر.....	٩٤
٢٥	جهاز بسيط لقياس العلاقة بين زاوية الانحدار وسرعة الانزلاق اللوحى...	٩٥
٢٦	أشكال الانهيارات التى تتعرض لها جوانب قعر النمل فى قطاع كوم أمبو - أسنا	٩٦
٢٧	نموذج قياس المنحدر الركاهات الرسوبية.....	٩٧
٢٨	أشكال الحفر الكارستية.....	١٠٣
٢٩	بحيرات عيون الأفلاج بمضبة نجد بالسعودية.....	١٠٥
٣٠	تكون حفر الإذابة بفعل المياه الجوفية والخياف الطبقات الجيرية العلوية....	١٠٦
٣١	حفر غائرة شمالي غرب ولاية أوليانز الأمريكية.....	١٠٧
٣٢	حفر البولنج الناتجة عن اتصال أكثر من حفرة غائرة.....	١٠٧
٣٣	كهف الشباب بجبل قارة بواحة الإحساء بالسعودية.....	١٠٩
٣٤	كيفية نحت الرياح للباردينج وتطور شكلها.....	١٢٠
٣٥	دور الرياح فى نحت الصخور المتعاقبة بمالدة صحراوية غرب منخفض سيوة	١٢١
٣٦	تأثير الارتفاع عن سطح الأرض على دور الرياح فى نحت الصخور بجبل أم هويلج بسيوة.....	١٢٢
٣٧	حفر التذرية بين سيوف رملية جنوب غرب بتسوانا.....	١٢٥
٣٨	كيفية تكون وتطور حفر التذرية.....	١٢٦
٣٩	أشكال الحصى الهندسى وأبعاده بالواحاح البحرية.....	١٢٦
٤٠	أبعاد الحصى الهندسى وعلاقته بتغير اتجاه الرياح.....	١٢٧
٤١	العلاقات المرتبطة بتكون النيم.....	١٣٣
٤٢	قياس أبعاد كتيب هلالى متساوى القرنين.....	١٣٦
٤٣	قياس كثافة الكتيان الطولية فى إحدى المناطق بمنخفض سيوة.....	١٣٩
٤٤	قياس وإزالة وتراكم الرمال على أحد الكتيان الطولية بواحة سيوة.....	١٤١
٤٥	تكون الكتيان الهابطة والصاعدة وكتبان الظل وكتبان الصدى.....	١٤٤
٤٦ أ	مصيدتان للرمال المتحركة إحدهما رأسية والأخرى أفقية.....	١٤٦
٤٦ ب	النظام النهري.....	١٥٢
٤٧	قياس سرعة النهر وقياس منسوبه.....	١٥٣
٤٨	رسم بيانى مبسط لقياس تصريف النهر.....	١٥٤
٤٩	اختلاف سرعة التيار المائى تبعاً للعمق والبعد عن الجانبين.....	١٥٤
٥٠	الخط المبتل ونصف القطر الهيدروليكى.....	١٥٦

٥١	زجاجة أخذ عينات الماء من مجرى النهر.....	١٥٧
٥٢	طريقة قياس حمولة قاع النهر.....	١٥٩
٥٣	نمط قناة مضفرة وحدث تغيرات بها (خلال الفترة من ١٩٧٩-١٩٨٢)	١٦٠
٥٤	قطاع في سهل فيضى محدب.....	١٦١
٥٥	المدرجات النيلية القديمة.....	١٦٢
٥٦	نموذج لتطور الفروع عند نهاية النهر.....	١٦٣
٥٧	نموذج لتتبع قياس تدفق مياه قناة النهر.....	١٦٤
٥٨	نموذج معملي لتأكيد استقرار الجزينات الصخرية بمعدلات مختلفة حسب أحجامها	١٦٤
٥٩	زيادة فعالية النحت مع قدوم أمواج عاصف.....	١٧٤
٦٠	أنواع العوامات يعلوها راية يتدلى منها سلك ينتهي بثقل لحفظ توازنها	١٧٦
٦١	انحراف الأمواج مع اقترابها من الشاطئ.....	١٧٨
٦٢	سلوك الخضربة.....	١٧٨
٦٣	تحديد خط الشاطئ.....	١٨٦
٦٤	طبوغرافية القاع أمام ساحل الدلتا في مصر.....	١٨٧
٦٥	قياس معدل تطور فجوة أمواج بجرف بحري.....	١٨٩
٦٦	قياسات بقطاع في جرف من صخور الطباشير بجزيرة ثانت.....	١٨٩
٦٧	جرف ذو شرفة وفجوة أمواج لساحل جزيرة فرسان.....	١٩٠
٦٨	رسم توضيحي لأحد الجروف الساحلية تتعدد به الملامح والأشكال التي ترتبط بالجروف.....	١٩١
٦٩	تصنيف للجروف وفقاً لتكويناتها الصخرية وتتابعها الطبقي.....	١٩٢
٧٠	التأثيرات النسيبة لعمليات النحت البحرية والقارية على سواحل جرفية	١٩٣
٧١	أقسام الشاطئ المختلفة.....	١٩٨
٧٢	قطاعات الشاطئ لساحل الدلتا المصرية.....	٢٠١
٧٣	أحد المستنات لساحل شرق استراليا.....	٢٠٦
٧٤	المدرج والمنحنى التكرارى لتوزيع أحجام الرواسب.....	٢١٥
٧٥	المنحنى المتجمع الصاعد لتوزيع أحجام الرواسب.....	٢١٥
٧٦	العلاقة بين حجم الرواسب والانحراف المعيارى لرواسب المرواح.....	٢١٨
٧٧	المدرجات التكرارية لتوزيع أحجام رواسب بعض المرواح الفيضية.....	٢١٨
٧٨	المنحنيات المتجمعة الصاعدة لتوزيع أحجام الرواسب لبعض المرواح الفيضية	٢١٩

٢٢٣	مقياس ستورت لتحديد بيئة الترسيب	٧٩
٢٢٤	الأقسام الخطية لمنحنى Visher	٨٠
٢٢٥	الأشكال الخارجية للرواسب الرملية	٨١
٢٢٧	الخصائص الشكلية لرواسب أسطح بعض المراحل الفيضية	٨٢
٢٢٨	الخصائص الشكلية للرواسب الدقيقة لخصائص أسطح السطح	٨٣ أ
٢٣٠	الخصائص الكيميائية لرواسب المراحل الفيضية	٨٣ ب
٢٣٤	قطاع تضاريسى مستقيم	٨٤
٢٣٤	القطاعات المتداخلة	٨٥
٢٣٤	القطاعات البانورامية	٨٦
٢٣٥	قطاعات طولية على الأنهار	٨٧
٢٣٥	قطاع طولى لأحد الأنهار	٨٨
٢٣٦	قطاع عرضى على أحد الأنهار	٨٩
٢٣٧	المنحنى الهسومتري	٩٠
٢٣٨	المنحنى الهسومتري والمرحلة الجيولوجية لحوض النهر	٩١
٢٣٩	فكرة المنحنى الكليولوجرافى	٩٢
٢٣٩	المنحنى الكليولوجرافى	٩٣
٢٤٠	طريقة إنشاء المنحنى الاليميتري	٩٤
٢٤٠	المنحنى الاليميتري	٩٥
٢٤٢	التضاريس النسبية فى أوهايو	٩٦
٢٤٢	خريطة معدل ارتفاع التضاريس	٩٧
٢٥٢	مزالج الأودية بحوض بيشة الأعلى	٩٨
٢٥٤	حوض وادى سفاجا	٩٩
٢٥٧	أودية جابر والضبعة وأبو سمرة ومنحنيهما الهسومترية	١٠٠
٢٦٣	بحيرات مرسى مطروح	١٠١

رابعاً : فهرس الصور الفوتوغرافية :

م	الوصف	الصفحة
١	استخدام الشاكوش الجيولوجى فى الحصول على عينة صخرية	٢٥
٢	جهاز الـ G.P.S	٢٦
٣	أثر النباتات الشجرية على تجوية الصخور	٣٢
٤	تجوية أوجه شواهد المقابر وإزالة الكتابة عليها	٣٦
٥	تشقق الطرق بفعل التجوية الملحية وتدميرها	٤١
٦	أثر تسرب المياه إلى الطبقة الطفيلية أسفل الطبقات الجيرية	٤٤
٧	تجربة لإذابة الحجر الجيري فى حمض الكربونيك وتبخر الأخير وتركه لرواسب المتبخرات	٤٥
٨	قياس سرعة تدفق المياه فى الرواسب	٤٦
٩	حفر إذابة التافونى Tafoni	٤٩
١١	المنحدرات الخدبة - المقعرة	٧٩
١٢	منحدرات الجروف - المقعرة	٨٠
١٣	المنحدرات شبه السلمية	٨٢
١٤	المنحدرات السلمية	٨٣
١٥	الأرصعة الصخرية الدقيقة	٨٤
١٦	محروطات الهشيم	٨٥
١٧	الأرصعة الحصوية	٨٦
١٨	التجمعات الرملية فى مخارج الأودية وفى جوانب التلال	٨٦
١٩	انزلاق الكتل الصخرية على جوانب هضبة المقطم	٩٠
٢٠	الفواصل الرأسية فى صخور أركية	٩١
٢١	زيادة كثافة الشقوق على أحد المنحدرات	٩٢
٢٢	فواصل عمودية متقاطعة مع فواصل أفقية فى صخور أركية	٩٢
٢٣	أثر النبات على تجوية الصخور	٩٣
٢٤	انزلاقات أرضية دورانية بجبل ميساك بليبيا	٩٣
٢٥	أحد الكهوف التى تكونت على الجانب الغربى لنهر النيل شمالى نجع هيكل	٩٥
٢٦	ظاهرة البطيخ المسخوط فى الهضبة الجيرية فى صحراء مصر الشرقية	١١٠

٢٧	الأرصفة الجيرية المخززة قرب غزير في جبال لبنان.....	١١٠
٢٨	كهف كارستى بالجبل الأخضر في ليبيا.....	١١١
٢٩	مجموعة من الiardنج.....	١١٨
٣٠	أحد الiardنجات النموذجية بمنخفض الواحات البحرية.....	١١٩
٣١	المائدة الصحراوية المدروسة بالشكل "٣٥" بمنطقة المراقى غرب سيوة...	١٢١
٣٢	أحد الشواهد الصحراوية بالواحات البحرية.....	١٢٢
٣٣	تراجع الصخور بجبل الطبطاح بالحافة الجنوبية لمنخفض سيوة.....	١٢٣
٣٤	تخزرات الرياح في صخور غير متجانسة.....	١٢٤
٣٥ أ	حفر التدرية يظهر بقاعها جلاميد وحصى.....	١٢٤
٣٥ ب	أشكال من الحصى الهندسى بالواحات البحرية في مصر.....	١٢٨
٣٦	أحد الأقواس الهوائية الناتجة أساساً من تحت الرياح.....	١٢٨
٣٧	أحد التلال الخيمية بالواحات البحرية التي تظهر به آثار النحت الريعى في التخرزات والتساقط الصخرى.....	١٢٩
٣٨	كتلة صخرية محاطة كلية مفرغة من الرمال بالواحات الداخلة.....	١٣٠
٣٩	أشكال ناتجة عن تحت الرياح غرب منخفض سيوة.....	١٣٠
٤٠	تموجات رملية متداخلة شمالى إحدى التلال بالواحات.....	١٣٤
٤١	الأوتاد المثبتة لقياس الإزاحة والإرساب في الكيب المدروس في شكل "٤٤"	١٤١
٤٢	أحد كتبان الظل خلف إحدى العقبات بطرق بئر واحد بالحافة الجنوبية لمنخفض سيوة.....	١٤٥
٤٣	واجهة جرفية لمدرج ١٥ متر شرق لمجمع الكالين شمال غرب قوص.....	١٦٢
٤٤	جرف بحرى برأس أبو سومة بالبحر الأحمر شمالى سفاجا.....	١٩٤
٤٥	جرف بحرى من صخور جيرية رقى رأس أبو سومة تعرض لنحت الأمواج	١٩٤
٤٦	رصيف ضيق تغطية تكوينات حصوية أمام أحد الجروف المنخفضة على الساحل الشمالى الشرقى كوشة الفردقة.....	١٩٦
٤٧	رصيف مرجاني "مسطح مدى" من صخور مرجانية متماسكة.....	١٩٧
٤٨	بلاج رملى مع وضوح مسطح الشاطئ.....	١٩٩
٤٩	مسلة متبقية أمام جرف على ساحل أبو درج بالجانب الغربى لخليج السويس	٢٠٢
٥٠	كتلة بحرية منخفضة تتناثر حولها كتل أصغر حجماً فوق رصيف تحت بحرى مغمور بالمياه.....	٢٠٢
٥١	كهف بحرى تتساقط أمامه كتل صخرية على ساحل البحر الأحمر.....	٢٠٣

٢٠٤	بركة ملحية تمتلئ بالمياه على رصيف مرجاني بساحل جيزان على البحر الأحمر	٥٢
٢٠٥	لسان القردود الحصوى لساحل محمية أبو جالوم على خليج العقبة.....	٥٣
٢٠٥	لسان حصوى متماسك يمثل بقايا نحت تعرض لها شاطئ حصوى بساحل أبو درج غرب خليج السويس.....	٥٤
٢٠٦	لسان رملي معقوف صغير الحجم لساحل رأس الضبعة بالبحر الأحمر.....	٥٥
٢٠٧	مستن شاطئ رملي بالشاطئ الجنوبي لدشة الضبعة على البحر الأحمر.....	٥٦
٢٠٧	لاجون صغير للغاية على شاطئ رملي في ساحل الفردقة.....	٥٧
٢٠٨	جزء من سطح جزيرة يوبيان الكويتية تقطعه قنوات مدية واضحة المعالم	٥٨
٢٠٨	نيم الأمواج لساحل جدة السعودي على البحر الأحمر.....	٥٩
٢١٤	المنخل الكهربائي.....	٦٠

1. The first part of the document is a letter from the President of the United States to the Congress, dated January 1, 1861. It is a very important document, as it sets out the President's policy for the new year. The President states that he is pleased to see the Congress assembled, and that he is confident that the country is in a state of peace and prosperity. He also mentions that he has received a letter from the President of Mexico, and that he is pleased to hear that the two countries are on friendly terms. The President then goes on to discuss the state of the Union, and mentions that he has received a report from the Secretary of the Interior, which states that the country is in a state of peace and prosperity. The President then goes on to discuss the state of the Union, and mentions that he has received a report from the Secretary of the Interior, which states that the country is in a state of peace and prosperity.

2. The second part of the document is a letter from the President of the United States to the Congress, dated January 1, 1861. It is a very important document, as it sets out the President's policy for the new year. The President states that he is pleased to see the Congress assembled, and that he is confident that the country is in a state of peace and prosperity. He also mentions that he has received a letter from the President of Mexico, and that he is pleased to hear that the two countries are on friendly terms. The President then goes on to discuss the state of the Union, and mentions that he has received a report from the Secretary of the Interior, which states that the country is in a state of peace and prosperity. The President then goes on to discuss the state of the Union, and mentions that he has received a report from the Secretary of the Interior, which states that the country is in a state of peace and prosperity.

يتضمن هذا الكتاب المعنون "الدراسة الميدانية والتجارب العملية في الجيومورفولوجيا" تسعة فصول تبدأ بالفصل الأول، وهو عبارة عن مدخل لفهم ماذا يقصد بالدراسة الميدانية والعمل العملي وماذا يتم من قياسات وتجارب في الميدان، وماذا يتم في العمل من خلال القياسات والتجارب من خلال نماذج تحاكي في معظمها ما يتم في الطبيعة، وينتهي هذا الفصل بتحديد لأهم الأجهزة والأدوات الخاصة بالعمل الميداني.

ويختص الفصل الثاني بالتجوية بأنواعها المختلفة وكيفية متابعتها وملاحظتها ميدانياً ومعملياً ومدى إمكانية قياس آثارها وتأثيرها على الأشكال الأرضية وذلك بأبسط الطرق وأقل الإمكانيات المتاحة والملائمة لظروفها وظروف منطقتنا.

ويتضمن الفصل الثالث القياسات الميدانية الخاصة بالمنحدرات والأودية الجافة وحركة المواد على السفوح مع الإشارة إلى بعض الدراسات التي تمت بالفعل من قبل دارسين سابقين.

ويتضمن الفصل الرابع القياسات الميدانية الخاصة بالأشكال والظواهر الكارستية مع أمثلة من القياسات التي قام بها المؤلف الأول وغيره بمناطق كارستية في مصر وبعض الدول العربية.

ويعد الفصل الخامس من الفصول التي تتضمن قياسات ميدانية وتجارب معملية للعمليات المرتبطة بالرياح وهي من العوامل الأكثر أهمية في تشكيل سطح الأرض في مصر خاصة في المناطق الصحراوية.

والفصل السادس بعنوان الأنهار والتعرية النهرية من الدراسة الميدانية والتجارب الميدانية.

أما الفصل السابع فيختص بالدراسة والقياس الميداني للعمليات البحرية الساحلية بجانب التجارب الميدانية والمعملية الخاصة بدور تلك العمليات في تشكيل الأشكال الساحلية سواء تلك المرتبطة بالنحت وتلك المرتبطة بالإرساب إلى جانب القياسات الخاصة بتلك الأشكال والخصائص التي تميز السواحل بأنواعها المختلفة.

والفصل الثامن يختص بكيفية جمع عينات الرواسب وتحديد خصائصها معملياً من خلال تمثيلها بيانياً.

وينتهي الكتاب بالفصل التاسع وهو بعنوان "القطاعات والتحليل المورفومتري من الخريطة الكنتورية" وينقسم إلى قسمين الأول يختص بالقطاعات التضاريسية والقسم الثاني ويشمل التحليل المورفومتري للأشكال الأرضية خاصة ما يرتبط بأحواض الأودية والبحيرات وغيرها.

والكتاب بما يتضمنه من مبادئ وأسس للدراسة الميدانية يعد جهداً في الطريق ساهم في إنجازه مؤلفان؛ الأول وقد قام بكتابة معظم فصوله أما المؤلف الثاني فقام بكتابة الجزء الأول من الفصل الثالث الخاص بقياسات المنحدرات والأودية والمراوح الفيضية وكذلك قام بكتابة الفصل الثامن بكاملة والخاص بتحليل الرواسب وتحديد خصائصها الكيماوية والحجمية والمعدنية وكذلك تحليلها ميكروسكوبياً كما قام بإخراج الكتاب وتنظيم الخرائط والأشكال.

ويأمل المؤلفان أن يكون هذا الجهد، إضافة للمكتبة الجغرافية العربية يجد فيه طلاب الجغرافيا بشكل عام وطلاب الجيومورفولوجيا بشكل خاص ما ينفعهم في دراستهم.

ولا يفوتنا التقدم بالشكر لكل من؛ الأستاذ عمرو صبرى محسوب المعيد بآداب عين شمس والأستاذ محمد إبراهيم خطاب والأستاذ محمود عبد الراضى أبو المجد فى الخرائط ونظم المعلومات الجغرافية بآداب سوهاج للمساعدة وتنظيم المادة العلمية والإخراج النهائى للخرائط والأشكال.

والله الموفق

المؤلفان،

الفصل الأول

الدراسة الميدانية والتجارب العملية في الجيومورفولوجيا

مدخل لفهم الدراسة الميدانية والعمل
الميداني وأجهزة وأدوات العمل الميداني

أولاً: الدراسة الميدانية.

ثانياً: التجارب والعمل الميداني.

ثالثاً: الأجهزة والأدوات اللازمة للعمل الميداني.

1. The first part of the document is a letter from the President of the United States to the Congress, dated January 1, 1863. It is a very important document, as it contains the President's annual message to Congress. The letter is written in a formal, dignified style, and it is one of the most important documents in the history of the United States.

2. The second part of the document is a letter from the Secretary of the War Department to the Secretary of the Navy, dated January 1, 1863. It is a very important document, as it contains the Secretary's report to the Navy on the state of the war. The letter is written in a formal, dignified style, and it is one of the most important documents in the history of the United States.

3. The third part of the document is a letter from the Secretary of the War Department to the Secretary of the Navy, dated January 1, 1863. It is a very important document, as it contains the Secretary's report to the Navy on the state of the war. The letter is written in a formal, dignified style, and it is one of the most important documents in the history of the United States.

4. The fourth part of the document is a letter from the Secretary of the War Department to the Secretary of the Navy, dated January 1, 1863. It is a very important document, as it contains the Secretary's report to the Navy on the state of the war. The letter is written in a formal, dignified style, and it is one of the most important documents in the history of the United States.

5. The fifth part of the document is a letter from the Secretary of the War Department to the Secretary of the Navy, dated January 1, 1863. It is a very important document, as it contains the Secretary's report to the Navy on the state of the war. The letter is written in a formal, dignified style, and it is one of the most important documents in the history of the United States.

أولاً : الدراسة الميدانية (أ) أهميتها :

تلعب الدراسات الميدانية دوراً حيوياً في كل المجالات الجيومورفولوجية، وتعد الملاحظات الميدانية *Field Observation* ذات أهمية كبرى في تأكيد واختبار الفروض *Hypothesis* والحسابات النظرية إلى جانب ارتباطها بعمل النماذج *Models*.

والواقع أن الطرق المستخدمة في دراسة أشكال سطح الأرض تعتمد أساساً على طبيعة المشكلة التي يراد حلها والتي يمكن تقسيم مجالاتها إلى نوعين؛ النوع الأول ويختص بالأشكال الأرضية الثابتة نسبياً، والنوع الثاني ويتمثل في العمليات الجيومورفولوجية *Geomorphic Processes* ودورها في تعديل شكل الأرض وإظهار أشكال عديدة ترتبط بها.

والنوع الأول من مجالات الدراسة الميدانية يعالج فيه الدارس أو الباحث الشكل المرنى للأرض في أي وقت، وعندما يدرسه فإنه ينظر إليه كشكل ثابت *Static Form* وذلك رغم تغيره ببطء مع مرور الزمن مثل الحافات الجبلية التي تتعرض للتراجع البطيء للغاية وذلك مع تعرضها لعمليات النحت والتجوية المختلفة (King, C., A., 1978, pp: 6-35).

وبالنسبة للنوع الثاني من مجالات الدراسة الميدانية، فنجد أنه يتضمن العمليات الجيومورفولوجية والتغيرات الكبرى السريعة نسبياً التي تتعرض لها مناطق وأشكال أرضية عديدة مثلما الحال في نطاق الشاطئ الأمامي *Fore-Shore* والتي يمكن تتبعها بالقياس من سنة إلى أخرى أو من فترات أقل من ذلك. بل يمكن في نطاق المد والجزر تتبع تغيرات سريعة جداً تحدث مع تعاقب المد والجزر على المسطحات المائية خلال ٢٤ ساعة أو خلال ١٢ ساعة تبعاً لطبيعة المد والجزر سواء كان يومي *Durnal Tide* أو نصف يومي، ونذكر هنا أن هناك محاولة ناجحة قام بها مجدى تراب لتتبع تغيرات سريعة جداً في منطقة شاطئ رأس سدر وقام بعمل خريطة جيومورفولوجية موقوتة للنطاق المحصور بين أدنى جزر وأعلى مد كما سيتضح ذلك تفصيلاً فيما بعد.

كذلك من الأشكال التي تتعرض للتغيرات السريعة والتي تحتاج لمتابعة وقياس ميداني للعمليات والشكل، الكثبان الرملية وتغيرات مجارى الأودية التي تتعرض لجريانات سيلية تحدث تغيرات سريعة وواضحة وكذلك النطاقات المناخية لخط تراجع الغطاءات الجليدية *Retreating Ice Sheets* وغيرها. هذا إلى جانب المناطق والأشكال التي تتعرض للتغير بسبب التدخلات البشرية والتي إلى جانب ما يمكن أن يحدثه من تغيرات شاملة للأبعاد والخصائص الجيومورفولوجية للمناطق التي تتعرض لها وكذلك للعديد من الأشكال الأرضية فإن هذه التدخلات قد تظهر أشكالاً ترجع برمتها للإنسان

مما جعل الكثيرين يطلقون عليها أشكال أرضية من صنع الإنسان *Man Made Land Forms* أو ظاهرات بشرية *Human Phenomena*. والأخيرة يمكن تبعتها ميدانياً بالملاحظة الدقيقة والقياس مع المقارنة بالوضع الذي كان سائداً قبل التدخل البشري في المنطقة أو الظاهرة، وذلك بالاعتماد على دراسات سابقة للمنطقة أو خرائط تفصيلية أو صور جوية مع تواريخ سابقة حتى تسهل المقارنة وتكون الدراسة ذات جدوى بالنسبة للباحث وبالنسبة لمن يعتمد على قياساته الميدانية ونتائج تلك القياسات.

(ب) المسح الجيومورفولوجي الميداني :

عادة ما نجد أن الخرائط المنشورة ذات مقاييس الرسم الكبيرة الصالحة للدراسة الميدانية التفصيلية غير متوفرة وإن توفرت فإنها قد لا تتضمن التفاصيل المطلوبة.

فعلى سبيل المثال نجد أن التغيرات الساحلية السريعة خاصة في منطقة الشاطئ الأمامي لا يسهل متابعتها ميدانياً وبشكل دوري مثلما الحال مع العديد من الملامح المرتبطة بعمليات الترسب والتي يمكن معرفة تطورها وتحليل أبعادها من خلال عمليات المسح الميداني المتكرر، فالألجنة الرملية الشاطئية *Coastal Sandy Spits* على سبيل المثال يمكن تتطع تطورها من الصور الجوية ولكن من المهم معرفة الخصائص الحجمية والكيمائية والمعدنية لرواسبها حتى يمكن تفسير هذا التطور وأسباب حدوثه ومن ثم يتطلب الأمر مسحاً جيومورفولوجياً ميدانياً (King, C., A., 1978, p. 35).

وإذا كان عمل الخريطة المورفولوجية لا يحتاج إلى دراسة ميدانية ويمكن لإنجازها الاعتماد على الصور الجوية والخرائط الجيولوجية والكتورية في المكتب واستخراج البيانات المطلوبة وتوقيع رموزها على الخريطة المورفولوجية المزمع إنشاؤها، فإن الخريطة الجيومورفولوجية تعتمد أساساً على الدراسة الميدانية بجانب ما وقع من ظاهرات وأشكال أرضية من الصور الجوية والخرائط (محمود عاشور، ١٩٩١، ص ٢٥).

وعادة ما يقوم الباحث الميداني بجمع المعلومات والبيانات عن العديد من الأشكال الأرضية التي تم قياسها ومتابعتها ميدانياً ثم يوقعها بعد ذلك على الصور الجوية أو الخرائط التفصيلية المتاحة لديه.

ومن هذه البيانات أبعاد الظاهرات والأشكال ومساحتها ومعدلات انحدار سطح الأرض وأنواع الرواسب والأخيرة تؤخذ في شكل عينات ثم تجميعها بكمية محددة ويتم تحليلها معملياً كما يتضح ذلك من الفصل الثامن من الكتاب ويتم تمثيلها بيانياً بطرق إحصائية معروفة كما يتم ميدانياً قياس الرواسب الجلمودية والحصوية من حيث الحجم والشكل ونوع الصخر الذي اشتقت منه ومصدره سواء كان محلياً أو من مناطق بعيدة عن مواضع ترسبه.

وكما هو معروف يمكن للدارس الميداني أن يقوم بعمله ميدانياً بشكل مكثف إذا ما كانت منطقة الدراسة محدودة المساحة، أما في حالة ما إذا كانت منطقة الدراسة واسعة فيمكن دراستها من خلال تحديد أجزاء منها تتركز بها الدراسة تبعاً لنظام العينة والذي يعتمد على مدى التشابه والتباين وعن أفضل أسلوب للمسح الجيومورفولوجي الميداني في المناطق الواسعة أن يتبع أسلوب المسح على طول محور طولي (قطاع طولي) يبدأ من أعلى السطح وينتهي عند أدنى نقطة في السطح (للاستزادة راجع عاشور، ١٩٩١).

(ج) متطلبات الدراسة الميدانية :

- جدير بالذكر أن الدراسة الميدانية لا تبدأ من فراغ بمعنى أنه لابد للباحث قبل البدء في دراسة الميدانية أن يأخذ في الاعتبار عدة أمور يمكن إيجازها فيما يلي :
- (١) أن يكون على دراية كاملة بكل الدراسات الجيومورفولوجية والجيولوجية والمناخية والجغرافية بشكل عام التي تعرضت لمنطقة دراسته على بداية إلمامه بكل خصائص الأشكال الأرضية.
 - (٢) أن تتوفر لديه الخرائط والصور الجوية والمرئيات الفضائية بمقاييس رسم مناسبة.
 - (٣) أن يؤمن وسائل الوصول والإقامة بمنطقة الدراسة.
 - (٤) أن يكون قد قام بزيارة سريعة للمنطقة لأخذ فكرة عن الوضع الجغرافي للمنطقة بشكل عام ويحدد مجالات القياس والدراسة الميدانية سواء في مناطق بعينها أو ظاهرات معينة، بمعنى إذا ما كان يهدف للدراسة أشكال الإرساب الرملية في منطقة ما - على سبيل المثال - فإن الدراسة في هذه الحالة تتم بدراسة الأبعاد الجيومورفولوجية لأشكال الإرساب ومتابعة تحركاتها - راجع الفصل الخامس من الكتاب - وجمع عينات من الرواسب لتحليلها معملياً إلى جانب التقاط الصور الفوتوغرافية لها.

ويفضل أن يكون تركيز الدارس الميداني على مجال جيومورفولوجي محدد حتى يكون التركيز بشكل كاف وذلك لأن لكل شكل جيومورفولوجي أو لكل عملية جيومورفولوجية وسائل قياسها ومتابعة تغيرها التي تختلف عن غيرها، فعلى سبيل المثال دراسة السبخات ميدانياً تختلف تماماً عن دراسة المسطحات المدية أو الشواطئ الرملية كما سوف يتضح تفصيلاً خلال صفحات الكتاب.

- (٥) أن يتوفر لدى الباحث بقدر الإمكان أجهزة القياس الميداني وأدوات الدراسة الميدانية المعروفة مثل البوصلة والشواخص والكاميرا والشاكوش الجيولوجي وأبني ليدل لقياس الانحدارات وأكياس لجمع عينات الرواسب وغيرها من الأجهزة الضرورية لإجراء الدراسة الميدانية والتي سوف يشار إليها في آخر هذا الفصل.

(٦) أن يكون للدارس الميداني القدرة على رسم الكروكيات في الميدان بحيث يمكن أن يسجل عليها العديد من الملامح الجيومورفولوجية التي يراها سواء كانت خطية أو مساحية وذلك للمساعدة في عمليات التفسير حيث تعد في كثير من الأحوال أفضل من التصوير الفوتوغرافي من حيث إبرازها لقدرات الدارس في توقيع ظاهرة كبيرة في موضوع محدود إلى جانب أنها أقل تكلفة وأسرع في إنجازها.

وقد حدد التركماني (٢٠٠٤) الأسس التي وضعها James, 1988 لتصميم الإطار العام

الكروكي الميداني *Field Sketching* والتي يمكن إنجازها على النحو التالي :

وسط الهدف (الشكل المراد رسمه أو المنطقة المراد رسمها) ثم الركن الأيمن وهو المساحة الأرضية التي تقع على يمين الباحث الميداني ثم الركن الأيسر وهو المسافة الواقعة على يسار الراصد، وقد يكون الهدف أشكال أرضية أو صخور أو صور بنائية وغيرها (جودة التركماني، ٢٠٠٤، ص ١٠٣).

(٧) أن يكون الدارس الميداني على دراية كافية بإمكانية التصوير الفوتوغرافي حيث أن للصور الفوتوغرافية دورها الكبير في نقل الشكل الأرضي كاملاً ومجسماً في كثير من الأحوال مع إمكانية القياس الفعلي للشكل من خلال وضع علامات معروفة الأبعاد بجوار الشكل المراد تصويره كأن توضع قامة مدرجة أمام جرف منخفض أو أمام كثيب أو أمام فتحة أو كهف أو بجوار مسلة بحرية وغير ذلك من وسائل تمكن الباحث من القياس من الصورة الفوتوغرافية خاصة إذا ما تعذر القياس ميدانياً مثلما الحال في قطار الأمواج (اتجاه قدوم سلسلة من الأمواج) والمخرفات اتجاهها مع اقترابها من خط الشاطئ وغير ذلك.

ونادراً ما لا تتضمن دراسة جيومورفولوجية لأي منطقة أو ظاهرة صوراً فوتوغرافية والتي في حد ذاتها تعتبر وثائق هامة يمكن الرجوع إليها عند الحاجة لمعرفة تفاصيل معينة للمنطقة التي تم دراستها ميدانياً.

فالصورة الفوتوغرافية عبارة عن نموذج مصغر يمثل للوضع الطبيعي للظاهرة أيًا كانت والتي يمكننا بشكل ما أن عرف أبعادها (أي أبعاد الشكل أو الظاهرة) كما رأينا، كذلك يمكن عمل بانوراما لظاهرة جيومورفولوجية مثل سلسلة تلية أو ساحل بحيرة بحيث تعطينا تصوراً أكثر شمولية يمكن من خلاله المقارنة والوضع النسبي للظاهرة.

كذلك يمكن من خلال الصور الفوتوغرافية تتبع تغير أبعاد ظاهرة جغرافية مثل الكبان أو قطاع ساحلي أو الكبان الرملية (جودة التركماني، ٢٠٠٣، ص ١٠٨).

ثانياً : التجارب والعمل المعملی :

إن استخدام التجارب في المعمل ذات تأثير كبير في تفهم العمليات الجيومورفولوجية المختلفة خاصة فيما يرتبط بالتجوية الفيزيائية *Physical Weathering* وكذلك العمليات الأخرى التي يصعب كثيراً إمكانية تفهمها ميدانياً وأحياناً يستحيل قياسها مثل عملية انتقال الطاقة من الرياح للماء وتولد الأمواج في منطقة تولد الأمواج *Wave Generation Zone* وكذلك انكسار الأمواج *Wave Refraction* (انحراف اتجاهها) عند اقترابها من خط الشاطئ ومعدلات فقد طاقة الأمواج خلال رحيلها وغير ذلك من عمليات يصعب قياسها ميدانياً، ومن ثم يتم عمل نماذج تجريبية في المعامل يمكن من خلالها تفهمها ومضاهاها مع ما يتم في الواقع كما سيتضح في صفحات هذا الكتاب.

وقد تطورت في الفترة الأخيرة العديد من التجارب الخاصة بالعمليات الجيومورفولوجية المختلفة بعضها تجارب ميدانية ومعظمها تجارب معملية لتأكيد الكثير من التفسيرات والتحليلات الخاصة بالعمليات الجيومورفولوجية في الطبيعة وآثارها في تشكيل سطح الأرض خاصة تلك العمليات التي يصعب قياسها في الطبيعة (الميدان) ومن هذه التجارب ما يرتبط بالتجوية مثل قياس معدلات التجوية بطريقة الأقراص الصخرية والتي تفسر وتبرز أهمية عمليات الإذابة والنحت الكيماوي للكهوف والأرصفة الساحلية وغيرها كما يتضح تفصيلاً في الفصل الخاص بالتجوية في هذا الكتاب. ومن التجارب المعملية الخاصة بالتجوية ما قام به كل من *Nepper and Chriestensen, 1965* من تجربة معملية خاصة بالانتفاخ بفعل الرطوبة *Moisture*، وتجربة أخرى بسيطة للملاحظة كيفية تلاحم الحبيبات الصخرية وكيفية قياس المسام وعلاقته بحجم الجزئيات الصخرية وتجربة خاصة بقياس معدلات تدفق الماء في الرواسب وما يحتجز منه داخل المسام.

بالنسبة للعمليات الجيومورفولوجية الأخرى، هناك تجارب عديدة أثبتت نجاحها وأكدت الكثير من الحقائق المستقاة من الميدان مثل التجارب المعملية التي أثبتت أن معدل نقل الرمال يتناسب تناسباً طردياً مع معدل سرعة الرياح بالإضافة إلى تأثيره بعوامل أخرى مثل حجم الحبيبات وكثافتها النوعية وكثافة الهواء.

كذلك تمت دراسات معملية عديدة على يد *Belly, 1961* خاصة بعلاقة الرياح بالرمال المتحركة وكذلك التجارب الخاصة بمدى تأثير الرطوبة على سرعة الرياح المطلوبة لتحريك حبيبات الرمال وهو الذي ابتكر "نفق الرياح" وهو نموذج تجريبي درس من خلاله العديد من الديناميكيات والخاصة بالرياح وتأثيرها على الأشكال الرملية كما يتضح ذلك من الفصل الرابع من هذا الكتاب.

كذلك توجد تجارب ودراسات معملية عديدة خاصة بالتعرية النهرية منها ما هو مذكور في هذا الكتاب مثل التجربة الخاصة بالتعرف على كيفية تطور الفروع النهرية. وتلك الخاصة بقياس سرعة النهر معملياً كذلك التجربة الخاصة باختلاف معدلات ترسب الجزئيات الصخرية في مياه النهر - باتجاه القاع - حسب أحجامها وغير ذلك.

وفي التعرية الساحلية يعد كل من *Frantz Gerstner* من الرواد الأوائل في عمل تجارب وقياسات خاصة بالأمواج وهما اللذان ابتكرا ما يعرف بصهريج الأمواج الذي قامت خلاله تجارب عديدة خاصة بانحراف الأمواج وتشعبها وتولدها وغير ذلك من تغيرات تؤثر بدورها على درجة فعاليتها في تشكيل المناطق الساحلية التي تتعرض لها. وقد أظهرت الدراسات والتجارب التي تمت في المعامل أن هناك علاقة خطية بين عمق الإثارة للرواسب وارتفاع الموجة.

ومن التجارب المعملية العديدة تلك التي تمت على نماذج للشاطئ لدراسة أثر الأمواج والتيارات البحرية على إعادة تشكيلها والتأثير على ملامحها وغير ذلك من آثاره. ولا يقتصر العمل المعمل على التجارب الخاصة بمتابعة وقياس العمليات الجيومورفولوجية المختلفة وتأثيراتها الجيومورفولوجية ولكن هناك دراسات معملية هامة أخرى تتمثل في تحليل الرواسب حجماً وكمياً ومعدنياً وكذلك تحليلها ميكروسكوبياً وذلك لتفسير الكثير من الخصائص التي تميز المناطق التي أخذت منها تلك العينات إلى جانب الإفادة في تحديد أصل ونشأة المنطقة محل الدراسة ومعرفة مصادر هذه الرواسب وأثر العمليات الجيومورفولوجية المختلفة في نشأتها وغير ذلك من تفسيرات هامة بالنسبة للجيومورفولوجي.

والواقع أن تحليل الخرائط الطبوغرافية والصور الجوية والقياسات المورفومترية للأشكال الأرضية المختلفة وتمثيلها كارتوجرافية يمكن أن يعتبر عملاً معملياً مكماً للدراسات والتجارب سابقة الذكر سواء كانت ميدانية أو معملية ومن ثم فإن هذا الكتاب ومن هذا المنطلق يتضمن فصله الأخير التحليل المورفومتري لأشكال سطح الأرض المختلفة.

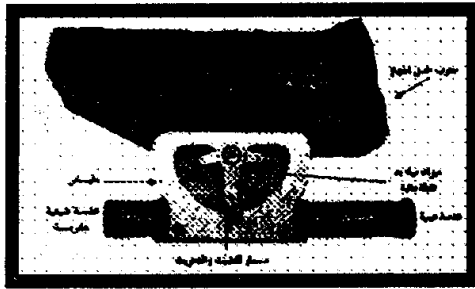
ثالثاً : الأجهزة والأدوات الرئيسية اللازمة للعمل الميداني :

من المهم للدارس الميداني أن يتوفر لديه أدوات معينة وأجهزة مختلفة، تساعد في إنجاز عمله في الميدان والتي بدونها يكون عمله عبارة عن ملاحظات عابرة لا يعتد بها كثيراً في المسح الجيومورفولوجي فجانبا الخرائط بمقاييسها وأنواعها المختلفة خاصة الطبوغرافية كبيرة المقياس مثل خرائط ١ : ٢٥٠٠٠ و ١ : ٥٠٠٠٠ و ١ : ٢٥٠٠٠٠ وغيرها، وكذلك الصور الجوية التي تتاح للدارس والمطلوبة فعلياً للمساعدة في إنجاز الدراسة والخرائط الجيولوجية المطلوبة لتحديد أنواع الصخور والتراكيب الجيولوجية والرواسب السطحية لمنطقة الدراسة. يجب عليه التزود بعدد من الأدوات والأجهزة الخاصة بالقياس الميداني والتسجيل وجمع العينات وغيرها والتي يمكن أن نشير فيما يلي إلى أهمها :

أ) أجهزة وأدوات القياس الميداني :

يتمثل أهمها فيما يلي :

١) جهاز أبني ليفل : شكل (١)

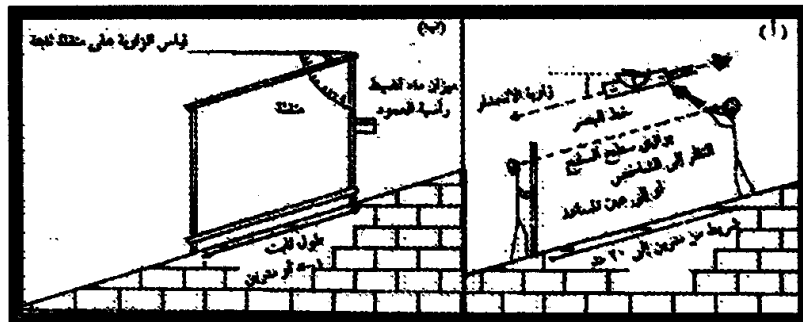


شكل (١) أبني ليفل

وهو جهاز يستخدم في قياس زوايا الانحدار لقطاعات المنحدرات والمحدارات سطح الأرض بشكل عام.

وتتمثل خطوات استخدامه على النحو التالي :

- لابد من وجود شخصين على الأقل يقفان على سطح أحد المنحدرات المطلوب قياس زوايا المنحدرات وذلك عند بداية القياس وعند نهايته أو عند بداية ونهاية نقطة تغير الانحدار وذلك إذا ما كان المنحدر غير مستقيم.
- ينظر الشخص الحامل للجهاز إلى الشخص الآخر من العدسة العينية ويبدأ في تحريك ميزان المياه بواسطة مسمار التحريك والثبيت، بحيث يصبح الشخصان والجهاز ونقطة المياه والخط الذي يظهر في منتصف العدسة الشبكية عند مستوى واحد شكل (٢).

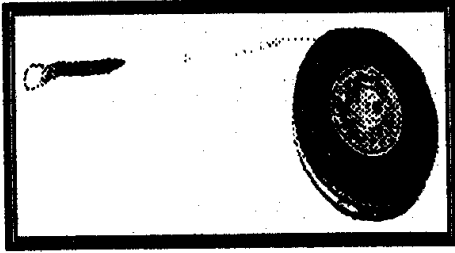


شكل (٢) القياس باستخدام جهاز أبني ليفل

• يتم تسجيل الدرجة المسجلة على المنقلة بعد أن يتم تثبيت مسمار التحريك والتثبيت ثم يتم تدوينها في نوتة الحقل.

• توجد أجهزة قياس لزوايا الانحدار أخرى، منها ما هو بسيط مثل جهاز الكلينوميتر *Clinometer* والذي يقيس بسهولة ميل الطبقات، وكذلك بوصلة برنتون *Brunton Compass* والتي تتضمن ميزان لقياس الميل والانحدار وهناك أجهزة أخرى أكثر تركيباً وتعقيداً تتطلبها القياسات بالغة الدقة.

(٣) شريط للقياس :



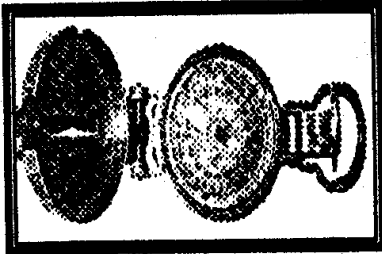
شكل (٣) شريط القياس

من التيل أو من الصلب بطول ٥٠ متراً على الأكبر بحيث لا يقل طوله عن ٢٠ متراً ويستخدم في قياس القطاعات على المنحدرات أو على طول امتداد الأودية (القطاعات الطولية)، وكذلك في عمل قطاعها العرضية

وفي القياسات الخاصة بكل الأشكال الأرضية المتنوعة وذلك مع أدوات القياس الأساسية الأخرى مثل أبني ليهل *Abney Level* شكل (٣).

(٣) البوصلة : *Compass*

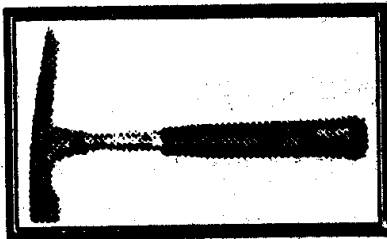
وتتعدد أنواعها، فمنها البوصلة المنشورية *Prismatic Compass* وتستخدم في تحديد الاتجاهات



شكل (٤) البوصلة المنشورية

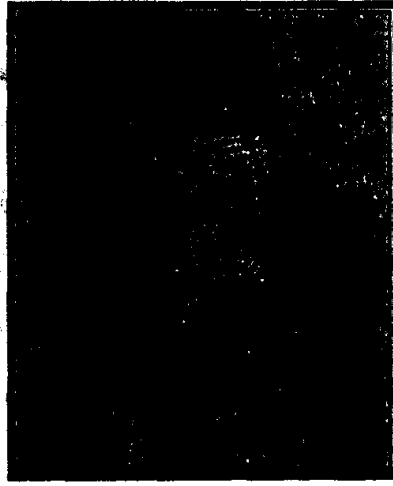
شكل (٤) وتوجيه الخريطة بالميزان وتحديد موضوع القياس وكذلك في قياس ميل الطبقات الصخرية وتحديد بعض الانحرافات (أحمد سالم، ١٩٩٩، ص ٢٧)، ومن البوصلات متعددة الأغراض بوصلة برنتون والتي تستخدم كذلك في تعيين اتجاه ميل الطبقات *Dip of Strata* واتجاه مضرها.

(٤) المطرقة (الشاكوش) الجيولوجية :



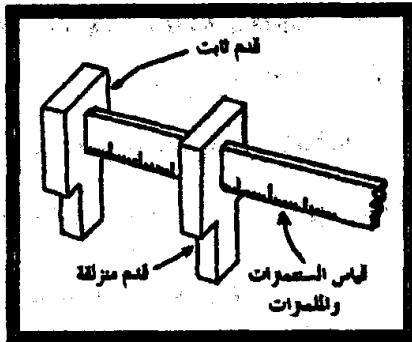
شكل (٥) الشاكوش الجيولوجي

وتستخدم في تكسير الصخور والحصول على عينات منها شكل (٥) كما تستخدم معها فأس صغيرة للحصول على عينات من الفتحات والرواسب السطحية، ويمكن استخدام المطرقة الجيولوجية *Geological Hammer* في فحص درجة تجوية الصخور في الميدان على النحو الموضح في الفصل الخاص بالتجوية، لوحة (١).



لوحة (١) استخدام الشاكوش الجيولوجي
في الحصول على عينة صخرية

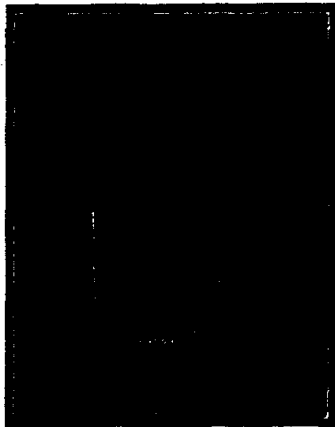
(٥) مقياس أبعاد الحبيبات الخشنة :



شكل (٦) القدمة المستخدمة
في قياس الحبيبات الصخرية

ويعرف "بالقدمة" وهي عبارة عن زوج من الورنيات (مقياس متحرك) على مسطرة مدرجة بالسنتيمترات والمليمترات شكل (٦) حيث يمكن قياس أكبر طول للحصوة (ل)، وأكبر عرض (ع) في اتجاه متباعد على الطول، وأكبر سمك (س) وبعد ذلك يمكن حساب معامل القرطحة وكذلك معامل الاستدارة للحبيبة (للاستدارة راجع جودة حسنين جودة وآخرون، ١٩٩١، ص ص ٢٢٦-٢٢٩).

(٦) جهاز الـ *Global Positioning System : G.P.S*



لوحة (٣) جهاز الـ G.P.S

وهو نظام حديث لتحديد المواقع عن طريق استخدام أجهزة استقبال يمكنها الاتصال بالأقمار الصناعية لوحة (٢)، وهو من أكثر الأنظمة نجاحاً حتى الآن وهو النظام الذي تدعمه إدارة الدفاع الأمريكية (DOD) والذي يسمى *Navstar Global Positioning System (G.P.S)*، والذي عمل بطائه الكاملة في سنة ١٩٩٤ ويتكون من ٢٤ قمراً سياراً منها ٢١ عاملة وثلاثة احتياطية ويمكن لأي موقع على الأرض أن يُرى من أربع إلى سبع أقمار في أي وقت، وتقع هذه الأقمار على ارتفاع ٢٠٠٠٠ كم فوق سطح الأرض وتتم دورتها في ١٢ ساعة (محمود عاشور، ١٩٩٨، ص ص ١٧١-١٧٢).

هذا وتتوقف دقة أجهزة (G.P.S) على عوامل يأتي في مقدمتها مستوى الخدمة الذي يدعمه جهاز الأمن العسكري للنظام، وكذلك نوعية الجهاز وعدد الأجهزة وعدد الأقمار التي يمكن الاتصال بها والوقت الذي يتم فيه عملية الرصد.

(ب) أجهزة وأدوات للملاحظة والتسجيل والمساعدة فى القياس :

(١) منظار (تليسكوب) مقرب :

يستخدم عادة فى المناطق الواسعة للمساعدة فى ملاحظة ورؤية بعض الأشكال والملامح البعيدة والسعى يصعب الوصول إليها مثل الملامح الدقيقة بالمواقع الداخلية من السبخات مثل التشققات الطينية والتجمعات النباتية والنبكات وغيرها، وكذلك فى مناطق الشاطئ القريب والملامح والأشكال البارزة منه مثل الجزيرات الحواجز المرجانية وغيرها.

(٢) عدسة مكبرة :

لإمكانية رؤية بعض الملامح الميكروسكوب التى يصعب رؤيتها وملاحظتها بالعين المجردة مثل البلورات الصخرية وشكل الحبيبات (النسيج الصخرى) والتشققات الدقيقة *Micro Cracks* والفواصل الدقيقة وغيرها.

(٣) مجهر هيدروليك منقلد :

داخل زجاجة وذلك لاختبار بعض أنواع الصخور التى من الصعب التعرف عليها بالرؤية المجردة حيث يمكن باستخدام حمض الهيدروليك المخفف مع العدسة المكبرة معرفة الكثير من أنواع الصخور (صابر أمين دسوقي، بدون تاريخ، ص ٣٨).

(٤) أكياس من القماش :

لأخذ العينات من الصخور والرواسب السطحية وحفظها لتحليلها معملياً، وهذه الأكياس مواصفات خاصة من حيث أحجامها والتى عادة ما تكون 25×15 سم مع فتحة علوية يجب غلقها بإحكام خاصة فى حالة حفظ المواد الرسوبية السطحية (المرجع السابق، ص ٣٨).

(٥) بطاقة العقل مع الأقسام بأنواع مختلفة :

وهى ذات أهمية قصوى بالنسبة للدارس فى الميدان، حيث يتم تسجيل جميع قياساته وملاحظاته ونتائج تجاربه وقياساته الميدانية، وعادة ما تكون بحجم مناسب ولا يشترط أن تكون بمواصفات محددة.

(٦) كاميرا للتصوير :

وكلما كانت من الأنواع الجيدة كلما كانت أكثر فائدة وأكثر دقة فى تسجيل الأشكال والأرضية المختلفة وبطبيعة الحال خبرة الدارس فى التقاط الصور وتحديد أنسب الأوقات للتصوير خلال ساعات النهار دور كبير فى ذلك. بجانب الأجهزة البسيطة سابقة الذكر فإن على الدارس فى الميدان أن يحمل معه حقيبة تحوى على ما يمكن حمله من طعام وشراب ومستلزمات شخصية ضرورية له مع تصريح من الجهات المسئولة بتحديد مهمته حتى يسهل له التنقل والقياس والتقاط الصور الفوتوغرافية وغيرها من مستلزمات دراسته بجانب تأمينه لأماكن المبيت والتنقل. هذا بالإضافة إلى وجود دليل من قاطى المنطقة التى يتم دراستها خاصة إذا كانت مناطق جبلية غير مأهولة بالسكان كالصحارى المصرية.

الفصل الثانى

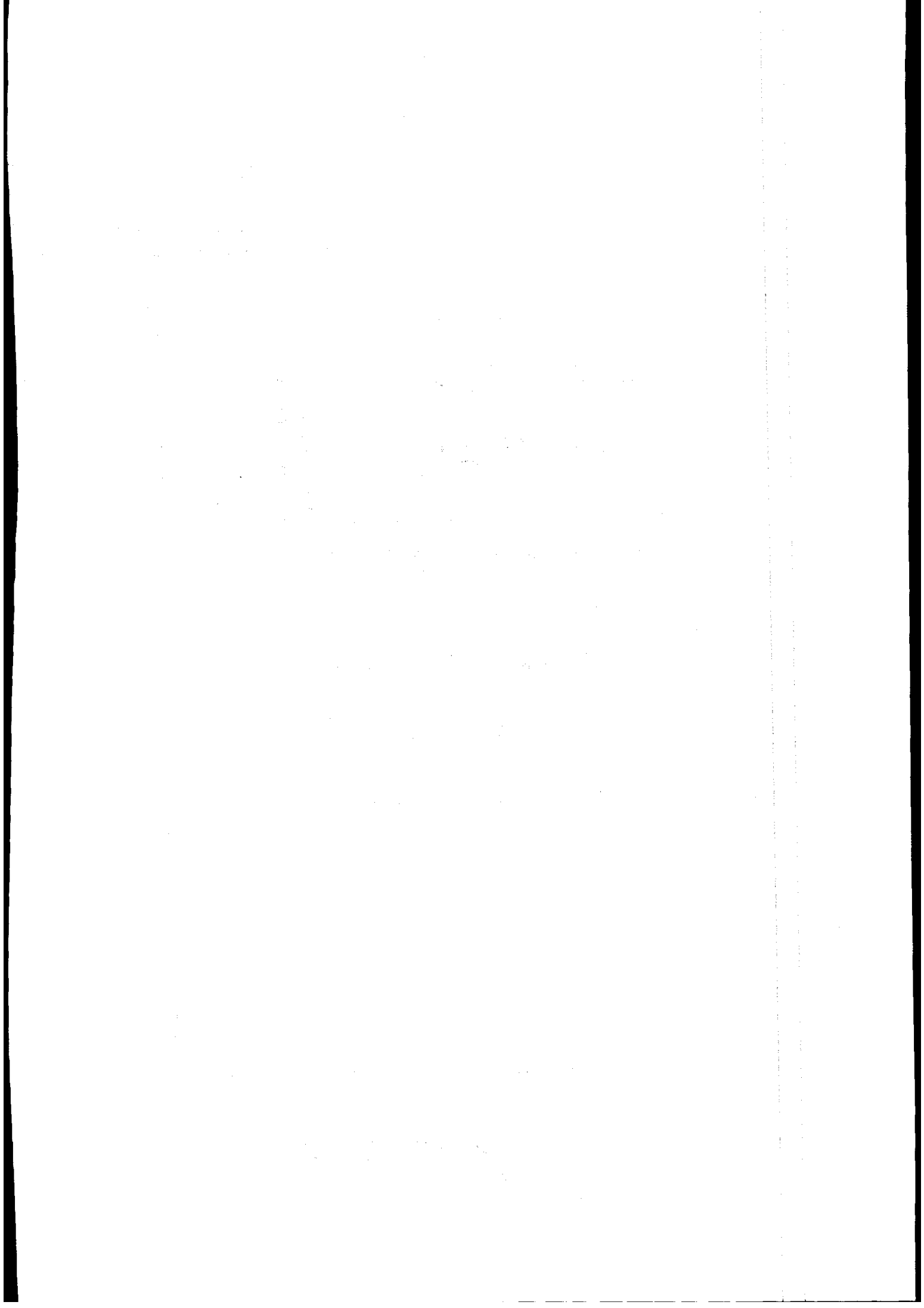
التجوية من القياسات والتجارب الميدانية العملية

الحراسة الميدانية والتجارب العملية فى الجيومورفولوجيا

أولاً: مؤشرات التجوية ومعدلاتها.

ثانياً: تجارب عملية فى التجوية الحرارية.

ثالثاً: ملاحظات وقياسات هامة للملامح الأرضية المرتبطة بالتجوية



مقدمة .

كما نعرف فإن التجوية عبارة عن عمليات تفكك ميكانيكى (فيزيائى) أو تغير فى المكونات والخصائص الكيماوية للصخور القريبة من سطح الأرض.

ورغم ما يميز الصخور الجوية - فيزيائياً وكيميائياً - من استقرار فى المواضع إلا أن هناك نوع من الإزاحة المحدودة للمفتحات التى تمت تجويتها. حيث أن كل مكون من مكونات الصخر يتعرض إلى عمليات منفردة مثل الانتفاش فى حالة نشع التكونات الطينية أو الطفلية بالمياه وكذلك ما يتعرض له الصخر من نمو لبلوراته بالنمو وغير ذلك من عمليات.

ورغم وجود نوعين معروفين من التجوية وهما التجوية الفيزيائية والتجوية الكيماوية فإنه فى الواقع يصعب الفصل بين العمليتين الفيزيائية والكيماوية، فرغم أنهما لا يعملان فى أغلب الأحيان مع بعضهما إلا أن كل واحدة تدعم الأخرى، فعلى سبيل المثال عندما يتعرض الصخر للتشقق بفعل التجوية الفيزيائية بمفردها نجد أن تلك الشقوق تعد بمثابة مسارات يسيرها المياه الأمطار التى تتخلل الصخر لتقوم بدورها فى التحلل الكيماوى للمعادن الصخرية خاصة على جوانبها وحدودها خاصة على المنحدرات العليا للمرتفعات حيث تسود التجوية الفيزيائية (الطبيعية) بفعل الصقيع أو التمدد والانكماش الحرارى مكونة شقوقاً أو تجويفات تمثل بدورها مواضع ضعف صخرية تقوم التجوية الكيماوية بعد ذلك بتوسيعها متضافرة مع التجوية الفيزيائية سابقة الذكر وهنا كذلك يقوم النبات من خلال مجموعه الجزرى بعملية تجوية حيوية.

ولعل النمو البلورى للأملاح *Salt Crystallization* ونمو بلورات الملح داخل الشقوق الصخرية وحدوث تقشر للصخر *Exfoliation* يعد مثلاً واضحاً على تضافر عمليتى التجوية الفيزيائية (الميكانيكية) والكيماوية فى القيام بدور مشترك لتفكك وتحلل الصخر (محمد صبرى محسوب، ٢٠٠١، ص ٧٦).

وعمليات التجوية بأنواعها المختلفة تتأثر بعوامل داخلية وعوامل خارجية؛ ترتبط الأولى بتكوين وتركيب الصخر فالمعادن المكونة للصخر تتحكم فى نمط ودرجة فاعلية التجوية الكيماوية، مثالنا فى ذلك أن الكالسيت يتأثر بالكربن والفلسبار بتغير بفعل التحلل المائى، كذلك نجد أن للنسيج الصخرى *Texture* دورة الواضح، فالصخور المكونة من حبيبات ناعمة تتجوى بمعدلات أسرع مقارنة بالصخور ذات الحبيبات الخشنة وذلك لقلة مواضع الضعف وخطوطه فى الأخيرة مقارنة بالأولى.

كما أن وجود الفواصل *Joints* والأسطح الطبقية *Bedding Planes* والشقوق الدقيقة *Micro Fissures* تعد من مواضع الضعف التى تتخيرها عمليات التجوية لتقوم بدورها على عكس الحال مع الصخور الكتلية المتماسكة. أما العوامل الخارجية المؤثرة فى عمليات التجوية فتتمثل أساساً

في العناصر المناخية المختلفة والنبات، يتحكم الأول في إمكانية توفر المياه ودرجة حرارة الأسطح الصخرية والفوارق الحرارية اليومية والسنوية في أية منطقة، فالماء أساسى في معظم عمليات التجوية بنوعيتها ومن ثم فإن التجوية ليست ذات شأن كبير في المناطق الجافة ونتائجها يقتصر عادة على مفتتات صخرية محدودة أو تشققات ناجمة أساساً عن المدى الحرارى المتسع^(٢).

أما بالنسبة للحرارة فإن هناك علاقة طردية واضحة بين ارتفاع درجة الحرارة ومعدلات التفاعل الكيماوى للمواد الصخرية، فيقدر بأن زيادة درجة الحرارة عشر درجات مئوية تزيد معدلات التفاعل الكيماوى للمواد الصخرية بما يتراوح بين مرتين إلى ثلاث مرات (Thomas, M., F., 1974)، كذلك نجد أن الفارق الحرارى اليومى والسنوى يعد من الضوابط الهامة لبعض أنواع التجوية الفيزيائية خاصة فيما يتعلق بعملية التفكك الصخرى الحرارى في المناطق ذات المناخ القارى المتطرف مثلما الحال في صحارى مصر.

ويقوم النبات بدور كبير في عمليات التجوية الفيزيائية وذلك من خلال امتداد جذوره وانتشارها داخل الشقوق مما يؤدي إلى زيادة اتساعها وتفكك الصخر كما يتضح ذلك من الصورة الفوتوغرافية (٣).



لوحة (٣) أثر النباتات الشجرية على تجوية الصخور

(٢) يقدر بأن معدل تراجع الأوجه الصخرية في المناطق المدارية الجافة لا يزيد على نصف ملليمتر كل عشرة آلاف سنة، بينما يصل في جبال الألب السويسرية إلى هضبة البرازيل ما بين ملليمتر واحد وملليمترين في السنة (Clark, M., and Small, J., p.15)، وهذا يدل بوضوح على أهمية المياه لإتمام عمليات التجوية وزيادة فعاليتها.

أولاً : مؤشرات التجوية ومعدلاتها :

توجد العديد من المؤشرات التي تدل على درجات تجوية الصخور المختلفة والتي يمكن ملاحظتها في الميدان وتسبع معدلاتها بقياسات كمية وشبه كمية *Semi Quantitative* ومرئية.

(أ) ومن هذه المقاييس المقياس الخاص بدرجات التجوية للأغراض الهندسية خاصة في

ما يتعلق أساساً بالجرانيت والذي وضعه ديرمان *Dearman* على النحو التالي :

جدول (1) مقياس درجات التجوية للأغراض الهندسية (أساساً من سفر الجرانيت)

م	المصطلح	الدرجة	الوصف
١	غير مجوى <i>Fresh</i>	١	لا توجد علامات مرئية للتجوية وربما يوجد تغير بسيط في لون أسطح الانفصال
٢	مجوى تجوية خفيفة	٢	تختفي ألوان بعض المعادن وإن لم يضعف الصخر بشيء ملحوظ.
٣	مجوى تجوية متوسطة	٣	يغير لون المعادن الصخرية مع ضعف لبعض المكونات الصخرية.
٤	مجوى تجوية شديدة	٤	تتفكك أو تتحلل بعض المعادن الصخرية إلى تربة مع ظهور نويات صخرية وسط الرواسب المفككة مع ظهور نويات ضعيفة وتغير اللون.
٥	تجوية تامة	٥	تفكك أو تحلل كلي للصخر.
٦	تربة متبقية	٦	تربة متبقية نتجت عن تحول وتدمير كامل للبنية وحدوث تغير كبير في الحجم، والتربة مستقرة لن تتعرض للنقل.

After Dearman, et al.

كما طور أوليير *Ollier* مقياساً خاصاً للهشاشة *Friability* وذلك في عام ١٩٦٩، ويتمثل هذا المقياس الخاص بملاحظة درجات تجوية الصخر على النحو التالي :

(١) صخر طازج *Fresh Rock*، عندما يطرق عليه بالشاكوش فإن الأخير يرتد بوضوح.

(٢) يكسر بسهولة عندما يطرق بالشاكوش *Hammer*.

(٣) يمكن أن يحطم الصخر بركلة بالقدم وليس باليد.

(٤) يمكن أن يحطم الصخر باليد تحطماً جزئياً ولكنه لا يتفكك في الماء.

(٥) صخر لين *Soft Rock* يتفكك عند غمره في الماء.

ومن وسائل قياس معدل تجوية الصخور ما قام به كل من *Cook and Mason, 1973*، ويتمثل

القياس هنا ببساطة في تحديد درجة التجوية من خلال عدد الطرقات المستغرقة في دق مثقاب *Punch*

من انتساب في الصخر في مستويات مختلفة بحيث يتم حساب عدد الطرقات والتي تعني زيادتها زيادة

تماسك الصخر وعدم تعرضه للتجوية والعكس مع قلة عدد الطرقات، وقد استخدمنا في تجربتنا مثقاباً

"بقننة مسطحة" يثق أنثياً في الصخر الأساس.

(ب) مؤشر مظاهر التجوية في الصخور البركانية لميلتون :

وضع ميلتون *Melton* مؤشراً خاصياً يوضح ترتيب مظاهر تجوية الصخور البركانية والجرانيتية^(٢) (*Melton, 1965, p. 717*). ويتمثل على النحو التالي :

الرتبة	خصائص الصخر ومظاهره المرئية
١	ظهور شظايا صخرية لا يظهر عليها التآكسد على السطح مع عدم تحول مرئي أو وجود ضعف في الصخر.
٢	سطح الشظية ملون (مصبوغ) أو متقر <i>Pitted</i> ولكن لا يحدث تغير في الداخل (داخل الشظية).
٣	تغير واحد للشظية مع ظهور قشرة تجوية سميكة <i>Weathering Rind</i> وتغير لون الصخر بالداخل ويمكن تكسيرها بعد عدة طرقات بالشاكوش.
٤	تتحلل الشظية جزئياً وإن كانت مازالت متماسكة ويمكن تكسيرها باليد أو مع طرقتها طرقة خفيفاً بالشاكوش.
٥	تحلل كلي للشظية بحيث لا يمكنها مقاومة لمسها باليد أو ركنها بالقدم.

Goudi, 1981.

وقد قامت محاولات لعمل تقدير كمي لمدى التغير الذي يحدث للصخر بفعل التجوية، على سبيل المثال فقد طور *Ollier, 1956* معامل التجوية *Coefficient K_i* يعتمد على النسبة بين سرعات الموجات فوق الصوتية *Ultra Sound Wave* في الصخر غير المجوى والصخر المجوى وذلك من خلال المعادلة التالية.

$$K_i = (V_o / V_w) V_o$$

حيث أنه :

V_o = سرعة الموجات فوق الصوتية في الصخر غير المجوى.

V_w = سرعة الموجات فوق الصوتية في الصخر المجوى.

(٢) لا يطبق هذا المقياس على الأنواع الأخرى من الصخور.

(ج) طرق أخرى لقياس معدلات التجوية في الميدان :

(١) نهربة بيبوس 1976 : Bearce

تمثل واحدة من التجارب الحقلية التي يحاول من خلالها تحديد معدلات التخفيض التي يتعرض لها السطح الصخري (صخر الأساس بفعل عمليات التجوية المختلفة).

وتمثل في قيامه بتحديد مساحات تتراوح ما بين ٨-٢٥ م^٢ على صخر الأساس ثم حدها بشكل يمنع أو يقلل بقدر الإمكان أى مواد تأتي إليها من المناطق المجاورة بواسطة المطر أو العكس. ثم قام بتنظيف السطح داخل هذه المساحات المحددة والمختارة بواسطة فرشاة خشنة، وبعد فترة زمنية مناسبة جمع المواد التي أمكن إزالتها من السطح إما بفرشاة أو بالالتقاط اليدوي أو باستخدام مكنسة (Goudi, 1988, p.143).

وجدير بالذكر أن بعض الباحثين قد ركز على تطور مقاطع التجوية ودرجتها المرتبطة بظواهرات جيومورفولوجية مثل الطفوح البركانية والكثبان والركامات وغيرها إلى جانب الظواهر البشرية المحدد وعمرها مثل الحفر Excavations والتماثيل والنصب التذكارية والأسوار الصخرية وشواهد المقابر Tomb Stones وغيرها.

ويوضح شكل (٧) ثلاث طرق تم استخدامها :

(أ) يوضح رابية أثرية علمت على حماية ما تحتها من عمليات الإذابة بينما تم تخفيض السطح المحيط بها.

(ب) كتلة صخرية ضالة تقوم بنفس الدور في حماية ما تحتها مقارنة بمستوى السطح المحيط بها.

(ج) كتل صلبة (غير قابلة للإذابة) تبرز وسط سطح تعرض

للنحت الجليدي، وتشبه في ذلك الأسطح التي تبرز فوقها

كتل الجلاميد الصوانية التي كانت مدفونة في طبقة جيرية

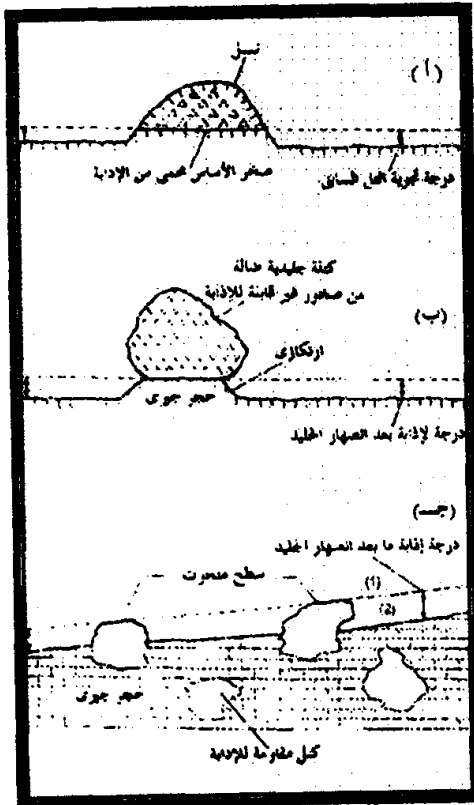
قابلة للإذابة مثلما الحال في أجزاء من الهضبة الجيرية

الوسطى بالصحراء الغربية في مصر والتي تمكن تقدير

معدلات الإذابة التي تعرض لها المنطقة خلال فترة المطر

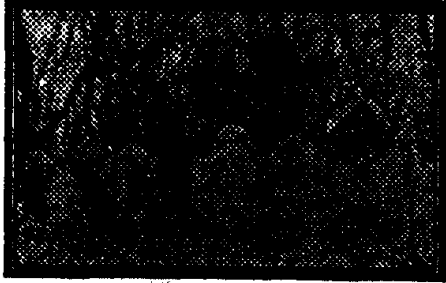
البليستوسيني حتى الوقت الحاضر على النحو المناظر لما في

الشكل (٧ ح)



شكل (٧) طرق مختلفة توهم أثر التجوية على المدى البعيد

وهناك طرق أخرى استخدمها *Pigott, 1965* وذلك باستخدامه البقايا غير القابلة للإذابة والمتراكمة فوق صخر جيري كمؤشر للكمية الكلية للصخر الصلب الذي تمت إذابته والتي كان يحتوى على تلك البقايا معتمداً أساساً على معرفة عمر السطح الجيري وخصائص البقايا غير المذابة *Insoluble Residue*. وهناك طرق لتحديد ومتابعة معدلات التجوية وقابلية الصخور المختلفة للتجوية بأنواعها المختلفة طبقت على اللوحات الصخرية والنصب التذكارية وغيرها، شريطة أن يكون معروفاً عمر هذه اللوحات وبداية حفر الكتابة لها.



لوحة (٤) تجوية أوجه شواهد المقابر وإزالة الكتابة عليها

فقد استخدم *Mathias, 1956* على سبيل المثال أعماق الكتابات (النقوش) المحفورة *Depth of Inscriptions* في صخور شواهد المقابر في بورتلاند بولاية كونكتكت، وقد سبقه في استخدام تلك الوسيلة *Geikie* في فترة مبكرة وذلك في عام ١٨٨٠.

(د) كذلك استخدم رانز *Rhans, 1971* طريقة أقل دقة لتحديد درجة التجوية من خلال تقسيمه لصخور المقابر (شواهد المقابر) إلى ستة أقسام وذلك على النحو التالي:

- (١) غير مجواه.
- (٢) مجواه تجوية ضعيفة.
- (٣) تجوية معتدلة حيث تظهر خشونة في السطح مع إمكانية قراءة الحروف.
- (٤) تجوية شديدة وفيها يصعب قراءة الحروف.
- (٥) تجوية شديدة جداً وفيها الحروف يصعب تمييزها.
- (٦) تجوية شديدة للغاية واختفاء الحروف.

ويوضح الجدول التالي (٣) تجوية شواهد المقابر وفقاً لـ *Rhans, 1971*

نوع الصخر	عدد القياسات	معدل العمر بالسنوات	معدل درجة التجوية	معدل التجوية كل ١٥٥ سنة
الحجر الرملي	٦٥٠	١٧٩	٤,٤٢	٢,٩٢
الرخام	٧٣٨	١٢٦	٣,٣٠	٢,٨٢
الثلث	٧٦٥	١٦١	٣,٣٨	٢,٤٨
الجرانيت	٢٦٢	١٢٣	١,٤٠	١,٣٣

From Rhans, 1971.

وقد جمع بيانات عن عمر المقابر وحصل على معدل درجة التجوية لكل ١٠٠ سنة في كل نوع صخري كما أوضح من الجدول السابق (٢).

(هـ) قياس معدلات التجوية بطريقة الأقراص الصخرية^(١) *Rock Tablets* اقترحه *Trudgill, 1975*:

ويقصد بهذا القياس حساب معدل التجوية من خلال وضع قطعة صخرية معلقة داخل كيس شبكى دقيق جداً (فتحات أقل من ٦٣ ميكرون) بحيث لا يسمح بمرور أى جزيئات منحوتة، ويتم وزن قطعة الصخر قبل وضعها داخل الكيس وبعد وضعها لفترة زمنية معينة بحيث يكون فارق الوزن بعد ذلك يمثل ما يتم تجويته (الفاقد بسبب التجوية). ويمكن استخدام شبكة أوسع في فتحاتها *Acoarser Mesh* لتتبع درجة النحت في المجارى المائية. والأقراص الصخرية المستخدمة تبرز الأهمية النسبية لإذابة الحجر الجيرى والنحت في الكهوف والأرصعة الساحلية وتستخدم كذلك لمقارنة معدلات الإذابة في الصخور المختلفة. ويتم القيام بها على النحو التالى:

- (١) استخراج نواة صخرية بشنيور (مثقاب) *A core Drill* لاستخراج قلب صخرى بقطر ٥,١ سم.
 - (٢) تقطع إلى أقراص صخرية بسمك ٥,٠ سم.
 - (٣) يتم تنعيم وصقل الأقراص الصخرية والتي يجب أن تكون بنفس الحجم وبشكل منتظم.
 - (٤) يتم تنظيفها بالماء المقطر والكحل أو الأسيتون لإزالة أية شحوم من جراء اقتطاعها.
 - (٥) يتم تجفيفها عند درجة حرارة ١٠٥,٠ لمدة ٢٤ ساعة، ثم تبرد قبل وزنها لأقرب كسر.
 - (٦) يتم وضعها فى الأكياس الشبكية (من النايلون) والتي يتم غلقها وترقيمها.
 - (٧) يكرر غسلها وتجفيفها وإعادة وزنها.
 - (٨) يتم التعبير عن النتيجة بـ مليجرام/السنة أو مللم فى السنة وذلك فى حالة ما إذا كانت كثافة القرص وسطحه معروفين مسبقاً.
- وقد استخدم *Caine, 1979* طريقة أخرى تتمثل فى سحقه للصخر بحيث يتحول إلى جزيئات قطرها نحو ٦٠ مللم يتم وزنها لأقرب كسر ووضعها فى أكياس شبكية بفتحات ١ مللم وتركها تحت ظروف تسودها التجوية لمدة ٧ سنوات ويقدر بعد ذلك معدلات تجويتها (*Goudi, Ibid, p.143*).

(١) عادة ما تحتاج دراسة التجوية الكيماوية إلى أخذ عينات من أعماق مختلفة وإخضاعها للتحليل الكيماوى ومقارنة الصخر الطازج - غير المجوى - بالصخر فى مراحل التحلل المختلفة حيث يكون بفقدان عناصر معينة يحدد معدل التجوية.

(و) قياس معدل الإذابة من خلال التحليل الكيماوى لمياه المجارى المائية :

ويتم من خلال تحليل مياه النهر لتحديد محتواها من الكالسيوم *Calcium Content* فإذا ما تم الحصول على رقم خاص بذلك بجانب تحديد الكمية الكلية لتصريف النهر فإنه يمكن حساب الفاقد من الكالسيوم.

وقد حدد *Corbel* علاقة لحساب عدد المليمترات من الحجر الجيري التى أزيلت لكل ١٠٠٠ سنة بواسطة الإذابة فى منطقة مكونة من الحجر الجيري.

وتتمثل على النحو التالى :

$$\text{Erosion in } m^3 / yr / Km^2 = \frac{4ET}{100}$$

حيث أن :

E = تمثل الجريان السطحى للماء بالديسمترات.

T = كمية كربونات الكالسيوم مليجرام لكل لتر.

(ز) وهناك معادلة مغايرة اقترحها كل من *Williams and Eroom, 1965* وتأخذ الشكل التالى :

$$\text{Solution in } m^3 / yr / Km^2 = \frac{M}{S_a \times 10^6}$$

حيث أن :

M = كتلة الحجر الجيري التى أزيلت فى عام واحد بالجرامات.

S = الكثافة النوعية للحجر الجيري.

a = مساحة منطقة تصيد المياه بالكيلومتر المربع.

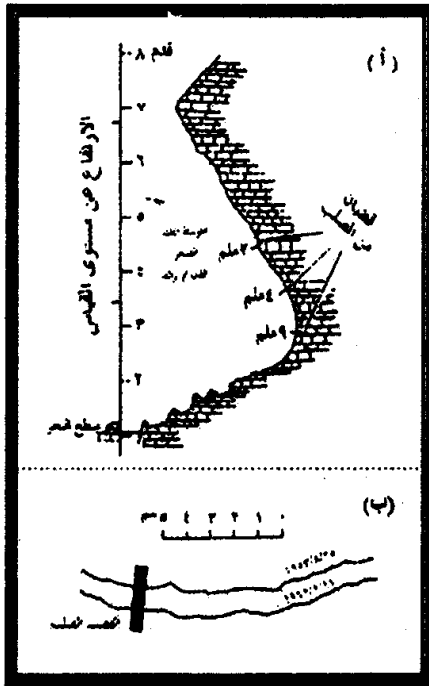
ويمكن تحويل ناتج المعادلتين السابقتين من كمية الحجر الجيري المذاب إلى معدل،

فلإزالة ١٦ م^٣/كم^٢/السنة تساوى ١٦ مللم/لكل ١٠٠٠ سنة، أو بمعنى آخر تخفيض السطح بمعدل

١٦ مللم فى كل ١٠٠٠ سنة (*Ollier, Ibid, p.247*).

(ح) ويوضح الشكل التالي (٨) كيفية قياس معدلات تجوية وجه جرف ساحلى منخفض يتكون من

صخور جيرية عند موضع Peron غرب استراليا بارتفاع ٨ أقدام :



شكل (٨) كيفية قياس معدلات التجوية على وجهة جرف ساحلى مكون من صخور جيرية غرب استراليا

وقد استخدم هودكين Hodgkin, 1964 فيه وسيلة القياس المباشر للحصول على معدل النحت، حيث ثبت قضباناً من الصلب غير القابل للصدأ في صخور الحجر الجيري الصلبة لفجوة أمواج Notch عند ارتفاعها مختلفة فوق مستوى سطح البحر، وقد أزيلت القشرة السطحية من الفجوة خلال فترة زمنية، وأمكن قياس معدل التراجع للجرف مقارنة بنهايات القطبان، وقد وجد أن وجه الجرف قد نحت تحت كلاً وكلاً أكثر قطاعه تأثيراً هو القطاع السفلى حيث كان معدل التراجع ١ ملم كل سنة.

وجدير بالذكر أنه رغم إمكانية حساب معدلات التراجع واختلافها حسب المناسيب على وجه الجروف إلا أنه ليس من الواضح حتى الآن لماذا يعوقف التراجع بشكل مفاجئ أو يصبح بطي جداً عند مستوى سطح الماء. وإن كان من المحتمل أن لعاقب الليل Wetting والتجفيف Drying أهمية كبيرة في ذلك.

(ط) وهناك قياسات مماثلة لما قام به Hodgkin تمت على يد الكثيرين مثل قياسات إيمري Emery, 1941 :

التي استخدم فيها تجوية النقوش المؤرخة Dated Inscriptions في لاجولا La Jolla بكاليفورنيا وذلك للحصول على معدل التجوية والذي حدده وفقاً لقياساته بنصف ملليمتر في السنة.

وفي جزيرة نورفوك Norfolk فإن درجات حاجر الأمواج المبنى من الحجر الجيري قد تعرضت لتجوية شديدة فيما بين عامي ١٩٣٩ و ١٩٥٥ وقد استطاع Hodgkin من تتبعه لها استنتاج ما يلي :

- ١) عند أدنى منسوب وجد أن معدل النحت والتجوية تروح ما بين نصف ملليمتر والملليمتر الواحد في العام.
 - ٢) يتناقص معدل النحت بالارتفاع مع تناقص تكرار الليل.
 - ٣) التجوية تكون أكثر سرعة في الحفر التي تتراكم فيها المياه.
 - ٤) أن التجوية في الأوجه الرأسية أبطأ نسبياً منها في الأسطح الأفقية.
- وقد وجد بشكل عام أن معدلات التجوية على الصخور الجيرية الساحلية عادة ما تكون ثابتة وذلك بسبب الثبات النسبي للظروف السائدة مع عدم وجود أى تعقيدات قد تتج من تراكم المواد الجوية^(٢).

(٢) جدير بالذكر أن وسائل تحديد معدلات التجوية الكيماوية نادراً ما تتم في صخور أخرى غير الحجر الجيري وذلك بسبب وجود الكثير من التعقيدات.

ثانياً : مؤشرات وقياس معدلات التجوية الملحية من الميدان :

مقدمة:

إن نمو بللورات الملح من المحاليل قد تؤدي في ظروف معينة إلى تفكك الصخر Disaggregation of Rock فيما يشبه دور الصقيع، والقضية هنا ليست قضية تكون الملح في ذاته ولكنها تكمن في صعوبة شرح كيفية استمرار النمو البللوري للملح في الضغط على الجوانب الصخرية بالشقوق والفجوات أو في الفراغات البينية Voids وقيامها بتفكك حبيباته.

وعموماً عند نمو البللورات الملحية فإنها تولد إجهادات مد Expanse Stresses على حدود الفواصل الصخرية وعلى حبيباته وهذا التفكك قد يحدث بانتظام على المنحدرات أو قد يتركز في مواضع ضعف محددة مثل حفر التجوية أو التكهفات الصخرية خاصة في البيئات الصحراوية المدارية حيث الظروف البينية ملائمة ممثلة في تساقط محدود وحرارة مرتفعة مما يساعد على تكون بللورات الملح خاصة عند أقدام المنحدرات.

وفي المناطق شبه الجافة يعد الغبار الملحي من العوامل الأكثر أهمية في عمليات التجوية حيث يستقر في الشقوق ويعمل على اتساعها إلى جانب ما يسببه من انبعاجات في السطوح الصخرية عقب سقوط المطر، يظهر ذلك بوضوح على السواحل المدارية حيث تزيد طاقة التبخر مع تبلور للملح الموجود القادم مع رذاذ البحر داخل الشقوق الدقيقة بالصخر (Pitty, A., F., 1973, p186). وفي المناطق المدارية الأكثر رطوبة توجد عملية غسيل للملح نحو طبقة ما تحت التربة مما يقلل من دورها في عمليات التجوية (للاستزادة، راجع محمد صبرى محسوب، ٢٠٠١)، ويجد شكل آخر للتجوية الملحية وفقاً لرؤية كل من Cooke and Warren يتمثل في تمدد الأملاح بالحرارة داخل مسامات الصخر خاصة مع ارتفاع درجة الحرارة خلال ساعات النهار في الصحارى المدارية مما يؤدي إلى ترسب ببلورات الملح في التشققات Crevices قرب سطح الأرض وتعرض الصخر للتفكك الحبيبي Grenular Disintegration أو ما يشبه التقشر Exfoliation.

وحديثاً بالذكر أنه لا توجد أشكال أرضية محدودة يمكن أن ترجعها كلية للتجوية الملحية وإن كان هناك العديد من الملامح الدقيقة تعود في تكوينها لهذه العملية (Ollier, 1979, p.13) على سبيل المثال نجد أن هضبة المعازة بالصحراء الشرقية بمصر تحوى صخورها على كلوريد الصوديوم مما ساعد على تشقق سفوح جوانب التلال والأودية وظهورها في شكل جرف شديد الانحدار. كما يرى بعض الجيومورفولوجيين أن الشكل الفعلي للجزيرة الجبلية Inselberg قد يعود إلى التجوية الملحية Salt Weathering.

وتبدو آثار التجوية الملحية بوضوح على المباني والمنشآت من خلال تشققها وتقرش طلائها وتآكل جدرانها وهبوط أساساتها كما تتأثر الطرق الممتدة في المناطق السبخية المنخفضة التي يقترب فيها منسوب المياه الجوفية من السطح، أو في السهول الساحلية المدارية مثل ساحل جيزان في السعودية وسواحل مصر على البحر الأحمر والبحر المتوسط. وجدير بالذكر أن التفكك الناجم عن التجوية الملحية عادة ما تصحبه تجوية كيماوية.

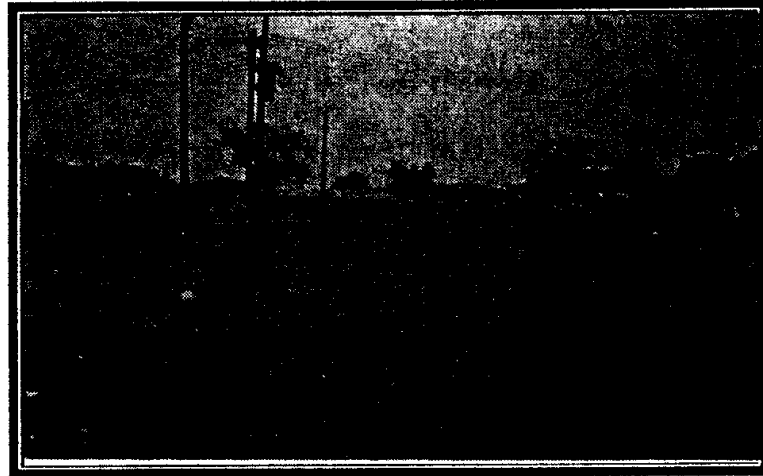
تتمثل الأشكال المرتبطة بالتجوية الملحية والتي يمكن تتبعها بالملاحظة والقياس الميداني فيما يلي :

(أ) حفر التجوية Weathering Pits :

وهي حفر متباينة الأحجام تشكلت بفعل التفكك الحبيبي الناجم عن تركيز للملح في مواضع ضعف في مكاشف الطبقات Outcrops وفي مواضع الشقوق، ويمكن معرفة أثر التجوية الملحية في تكوينها مع وجود تراكمات من الأملاح والمفتتات والتي يمكن أخذ عينات منها وتحليلها وتحديد نسبة الأملاح وأنواعها.

(ب) التصدعات السطحية بالمناطق المغطاة بقشور أو راقات ملحية Crusts or Layers of Salts مثلما الحال في منطقة سهل الطينة شمال غربي شبه جزيرة سيناء، كذلك يظهر أثر التجوية الملحية في توسيع التشققات الطينية الناتجة أساساً من تعاقب البلل والجفاف.

(ج) يعد تشقق الطرق في المناطق الجافة المنخفضة - مثل السهول الساحلية الممتدة على طول البحر الأحمر في مصر وكذلك الساحل المتوسطي شمالي الصحراء الغربية - من مؤشرات التجوية الملحية مع ظهور هبوط واضح في قطاعات منها حيث تنشط التجوية في إحداث هذه التشققات ومظاهر الهبوط بسبب زيادة معدلات التبخر للمياه الجوفية الصاعدة بفعل الخاصية الشعرية بحيث تبقى الأملاح متراكمة داخل الشقوق وتعرض بدورها للتمدد أو التمدد الحراري مولدة إجهادات على جوانب الشقوق وتوسيعها. ويمكن قياس امتدادات هذه الشقوق وأعماقها واتساعاتها على طول امتدادها مع معرفة منسوب المياه تحت السطحية، ويمكن أخذ عينات من حشو هذه الشقوق وتحليلها معملياً. لوحة (٥).



لوحة (٥) تشقق الطرق بفعل التجوية الملحية وتدميرها

نظراً للآثار التدميرية على المباني من جراء زيادة نشاط التجوية للملحية يمكن تتبع آثارها على دهانات المباني من خلال تحديد مظاهره على المباني في المناطق التي تتعرض لها وربط درجة خطورتها بمعرفة عمر المبنى ومنسوب الأرض ومنسوب المياه الجوفية ونسبة كلوريد الصوديوم في المادة الحام التي دخلت في البناء وكذلك مواجهة المبنى للبحر أو السبخة أو المسطحات الملحية ودراسة العلاقات الارتباطية بين كل هذه المتغيرات.

(٤) ومن التجارب العملية التي تمت بخصوص التجوية الملحية ما قام به Tricort, 1960 على منحور الجرانيت التي دخلت في بناء حاجز أمواج وتعرضت للتدمير السريع حيث حصل على عينات صخرية وغمسها في ماء شديد الملوحة ثم قام بتجفيفها ثم قام بإزالة المواد المجوأة من خلال تمرير فرشاة عليها ثم قام بوزنها (أي وزن المواد المجوأة) وقد كرر هذا العمل عدة مرات وكانت النتيجة أن معدلات التجوية والكميات الكلية للمواد المجوأة شديدة التباين ولكن الحالة المتطرفة في التجربة تمثلت في فقد كتلة صخرية ٢٪ من وزنها بعد ١٢ دورة خلال التجربة العملية، واستخلص من هذه التجربة أنه ليس واضحاً إذ ما كانت التجوية الملحية مسئولة بمفردها أو أن الإذابة وتعاقب الليل والتجفيف لعبت أدوارها جزئياً في تجوية الجرانيت محل التجربة.

(٥) كذلك تم قياس عملية التمدد الحراري لبلورات الملح في المعمل ووجد أن البلورات الملحية تتأثر بالفارق الحراري اليومي حيث يؤدي إلى تغير أحجامها إلى درجة يمكن أن تسبب في تفتت الصخر، كما لوحظ كذلك حدوث إجهادات بسبب تموء البلورات بعمل بدورها على زيادة فعالية التجوية الملحية في التأثير على الصخور وتفتتها، مع ملاحظة أن معاملات التمدد بفعل التمدد لمعظم الأملاح الشائعة عادة ما تكون أعلى منها مقارنة بالصخور، فعلى سبيل المثال نجد أن حجم كربونات الكالسيوم يزيد بنسبة تصل إلى ٠,٥ ٪ مما يؤدي إلى حدوث إجهادات شديدة على جوانب الشقوق (راجع محمد صبرى محسوب، ٢٠٠١).

وفي دراسة على مصطفى ميرغني (١٩٩٨) عن التجوية الكيماوية وأثرها على المنشآت بالمناطق الساحلية بمدينة الإسكندرية ١٩٩٨. قام بملاحظات وقياسات ميدانية وذلك من خلال تحديد مواقع ومنشآت (عينات عشوائية) فقام بتحليلها وتصنيفها وحدد أثر التجوية على المنشآت من خلال مظاهر التجوية التي تعرضت لها ومنها ظهور كلوريد وكبريتات مع غمو بللوري أدى إلى تساقط الطلاء الخارجي كذلك ظهور تشققات مائلة وطولية في الحوائط مما ساعد على تسرب المياه داخلها وزيادة معدلات التحلل كذلك لاحظ إزالة الطبقة الأسمتية الخارجية وانكشاف حديد التسليح وتعرضه للتأكسد "الصدأ" مع غمو بللوري للأملاح في الأسطح الخارجية للشقوق ومن أوضح ما سجله حدوث هبوط للأسطح الخارجية للأرض وحدد أسباب ذلك من خلال زيادة نسبة القلويات في المياه المتسربة في التربة، وقام بقياس كثافة الشقوق في الأعمدة والكميرات في الحوائط وحدد مواضع سقوط الطلاء الخارجي (للاستزادة راجع على مصطفى ميرغني، ١٩٩٨).

ثالثاً : تجارب معملية فى التجوية الحرارية :

(أ) **عَرَض بلاكويلدر Blackwelder** أنواعاً مختلفة من الصخور لتغيرات حرارية مفاجئة ووجد أن البازلت والجرانيت قد قاوما التسخين المفاجئ من ٢٠٠ - ٣٠٠ وذلك قبل أن تتكسر بما وجد أن صخر الأوبسيدان التبريد المفاجئ نحو - ٢٠٠ بدون أن يتعرض للتكسر (Ollier, Ibid, p.15). كما صمم Griggs جهازاً يمكن من خلاله تسخين عينة صخرية فى سخان كهربائى تم تبريدها عن طريق تمرير تيار هوائى بارد وجاف وكان معدل التغير الحرارى ١٠°م وكان معدل التسخين والتبريد سريع مع تعاقب هذه الدورات فيما يضاف ٢٤٤ سنة من التجوية، وقد تمثلت النتيجة فى عدم حدوث تجوية واضحة للصخر الجرانيتى المصقول بعد هذه الدورات التى تساوى ما يقدر بـ ٢٤٤ سنة ولكن عندما حدث التبريد بواسطة مياه باردة فقد وجد تأثير واضح وتشقق سطحى Surface Cracking وبداية لحدوث تقشر وذلك بعد دورات تعادل ما يتم فى عامين ونصف فقط.

(ب) الانتفاخ بفعل الرطوبة Moisture Swelling

وجد من خلال التجارب للمعملية أن التغيرات الكبيرة فى حجم الصخور قد تنتج ببساطة بسبب امتصاص الصخر للماء (الرطوبة) بحيث تكون تغيرات الحجم كافية لحدوث تجوية فيزيائية. فقد قام كل من Nepper and Christensen, 1965 بتعريض عينات صخرية للتشبع بالماء وتعريضها لرطوبة نسبية ٦٥% ودرجة حرارة ٢٠ مئوية، وقاما بقياس كل عينة قبل تعرضها للظروف المذكورة آنفاً وبعد تعرضها ثم قاما بالتعبير عن الانكماش Shrinkage بنسبة مئوية بالاعتماد على الطول. وجدا أن الانكماش بلغ فى البازلت ما بين ٠,١٥% - ٠,٢٠% والطران Flint بـ ٠,٠٦%. ورغم أن ميكانيكية الانحماص غير واضحة إلا أنه قد وجد أن العملية ذات أهمية كبيرة فى المناطق التى تتراوح بها الرطوبة النسبية ما بين ٩٠ و ١٠٠%. وقد تم تطبيق التجربة سابقة الذكر على ٢٢ عينة من صخور مختلفة الأنواع وذلك بواسطة كل من Nishioka and Hard, 1958 وتم قياس التمدد الناتج عن امتصاص الرطوبة، ومن هذه الصخور الحجر الرملى والطفلة والحجر الجيري.

(ج) نتائج الترطيب والتجفيف للصخور وأثره فى تجويتها :

تم تعريض عينات من الحجر الرملى والحجر الغرينى والطفلة والحجر الطينى لدورات متعاقبة من الترطيب حيث يتم فى البداية غمسها فى الماء لمدة ٢٤ ساعة ثم ترك لتجف فى الهواء الطلق ثم لفها بقماش (شاش خفيف) Fly Sheet لمدة يوم.

وقد أظهر الحجر الرملى عدم تشقق مع ظهور تأكسد محدود للغاية بينما تأثر الحجر الطينى بالتأكسد بشكل محدود. بينما تعرضت الصخور الأخرى ذات النسيج الناعم للتفكك بشكل واضح جداً.

وقد اخذ التفكك شكلين؛ الأول تفلق *Splitting*، والثانى الترقق (تشقق فى شكل رقائق)، والأول ظهر فى تكسر الكتلة الصخرية إلى قطعتين كبيرتين أو كائز بأحجام متساوية تقريباً، وقد ظهر التشقق على طول أسطح الطبقة *Bedding Planes* وكذلك على طول أسطح التشقق *Cleavage* إذا ما وجدت كذلك لوحظ أن هذا التشقق قد حدث فى اليوم الثانى من التجفيف ونادراً ما يحدث أثناء الليل وقد حدث الترقق بعد ٥ دورات من التجفيف والبلل.

وفى العينات التى تفككت تماماً إلى رقاقات صغيرة فإن أول ترقق حدث فى أقل من خمس دورات وأكبر شق ظهر فى أقل من ١٠ دورات وأكبر تفكك حدث فى العينات أخذ ما بين ١٥ - ٧٦ دورة، بينما التفكك الكامل إلى رقاقات صغيرة قد أخذ نحو ١٨٠ دورة، وعادة ما يحدث التشقق مع تعاقب البلل والتجفيف مرتبط بميكانيكية ضغط جزيئات الماء *Water Molecular Pressure* على جوانب الشقوق، وتوضح اللوحة (٦) أثر تسرب المياه من خلال الشقوق إلى الطبقة الطفلية أسفل التكوينات الجيرية بمضخة المقطم وانتفاخها مما أدى إلى انهيار أعلاها.



لوحة (٦) أثر تسرب المياه إلى الطبقة الطفلية أسفل الطبقات الجيرية مما أدى إلى

تشقق وانحيار كتل صغيرة من الطبقات الجيرية فى مضخة المقطم

(د) تجربة بسيطة لملاحظة كيفية تلاحم الحبيبات الصخرية :

مراحل التجربة : (Jackson, J., and Evans, E., 1973, p.254)

- (١) خلط كمية من الغراء الأبيض *White Glue* مع نصفها من الماء.
- (٢) إحضار كوب ورقية وثقبه عدة ثقوب.
- (٣) وضع حفنة من الحصى أو صخر مجروش فى الكوب المثقوبة.
- (٤) نسكب الخليط بالكوب مع تجمع المياه المتسربة من ثقوبه فى كوب آخر والانتظار دقائق.
- (٥) إعادة سكب الماء المتسرب ثانية إلى الكوب المثقوبة والاستمرار فى تكرار العملية بعد انتظار دقائق بين كل مرة ثم التوقف عنها بعد التأكد من حدوث اختلاط كامل بين الخليط الغروي والحبات.
- (٦) يترك الكوب ومحتوياتها فى مكان دافئ من الليل حتى النهار.
- (٧) سوف تلتصق (تلاحم) الحبات ويمكن التأكد من وجود فراغات أو مسامات من علمه بلمس سلم رقيق فى أحد ثقوب الكوب.

(هـ) تجربة لمعرفة تكون الصخور بدون تلاحم (Ibid, p.257) :

يحضر المواد التالية :

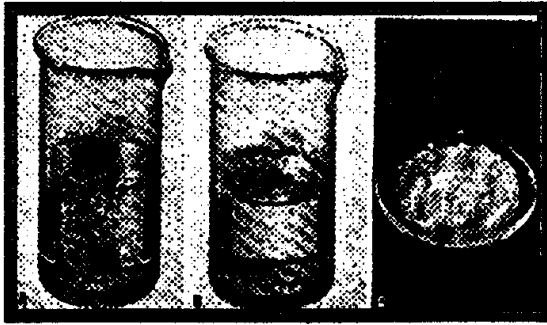
(ملح طعام - سكر - صودة خبز - ملون غذائي ليحل محل المعادن)

- (١) إحضار إناء به ماء نقي مع إذابة جرامات قليلة من كل مادة من المواد المذكورة في الكوب.
- (٢) تضاف قطرة من ملون الغذاء في الإناء وخلطه خليطاً جيداً.
- (٣) يترك المحلول في الإناء حتى يتبخر الماء.
- (٤) بعد ذلك سوف نجد تكون رواسب في قاع الإناء وهي ما يعرف في الطبيعة برواسب المتبخرات *Evaporates* وهكذا نجد أن رواسب الطوفا في الطبيعة تتكون بهذه الكيفية.

(و) تجربة بسيطة لإذابة الحجر الجيري بحمض

الكربونيك ثم تراكم مواد بعد تبخره :

- (١) إحضار كوب به حمض ثم نضع قطعة من الحجر الجيري بع كما في شكل (A).
- (٢) إذابة كاملة للقطعة الصخرية كما في الشكل (B).
- (٣) بعد التبخر الكامل للحمض تبقى مواد فيما يمكن تسميته للتبخرات (C). راجع اللوحة رقم (٧).



لوحة (٧) تجربة لإذابة الحجر الجيري
في حمض الكربونيك وتبخر الأخير
وتروكه لرواسب المتبخرات

(ز) كيفية قياس المسام وحجم الجزيئات الصخرية :

من المعروف أن الرمل خليط من جزيئات مختلفة الأحجام وكلما كبر حجم الرمل كلما زادت الفراغات البينية (المسام) والعكس مع صغر الحبيبات، وهذه تجربة بسيطة في متناول الجميع وليست في حاجة إلى أجهزة وتعطى مؤشرات.

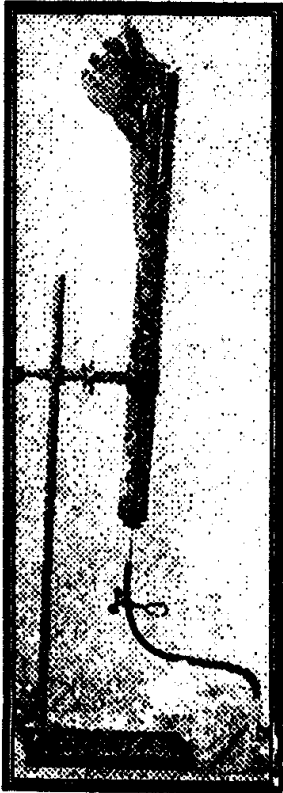
الأدوات المطلوبة :

(مناخل بفتحات مختلفة - أنابيب اختبار - رمل - قلم شمع "فلوماستر")

- (١) يتم نخل الرمل وتحديد نوعين من الأحجام الرملية وذلك لمقارنة حجم الجزيء والمسام.
- (٢) يتم ملء أنبوب اختبار بالكامل بالحبات الخشنة.
- (٣) يتم ملء أنبوب اختبار بالكامل بالحبات الناعمة.
- (٤) يتم الضغط برفق على الحبات الرملية في الأنبوبين إلى أن تتماسك الحبات بإحكام بقدر الإمكان.

٥. تستمر إضافة حبات لكل نوع على حده ويكتب حرف (ك) على الأنبوب الممتلئ بالحبات الخشنة و (ص) على الأنبوب ذو الحبات الناعمة
٦. يتم وضع إصبع اليد على فتحة أحدهما ويقلب الأنبوب ويغمر في إناء به ماء مع عدم تحريك الإصبع إلى أن تصبح فتحة الأنبوب تحت سطح الماء
٧. يسمح للرمل بالسقوط من الأنبوب في إناء الماء.
٨. قبل إخراج الأنبوب تحدد علامة أقصى ارتفاع للماء في الأنبوب عندما خرجت منه الرمال (سقطت في الإناء) مع ملاحظة أن الماء قد حل محل الرمل ولم يحل محل الهواء الذي احتجز في المسامات بين الجزيئات والذي بقي في الأنبوب.
٩. تعاد العملية السابقة في الأنبوب (ص) بنفس الترتيب السابق.
١٠. ماذا نستنتج مما سبق ؟ أى الحجمين يحتوى على هواء أكثر وأيهما يحتوى على مسام أكثر

رابعاً : قياس معدل تدفق الماء في الرواسب وما احتجز داخل مسامها :

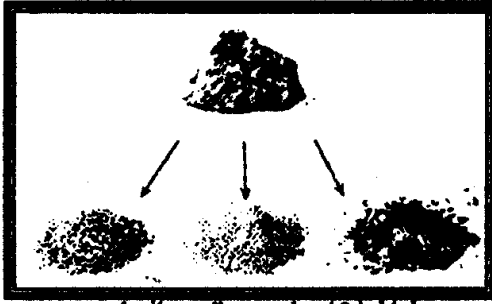


لوحة (٨) تقياس سرعة تدفق المياه في الرواسب

- (أ) يحضر نوعان من الرواسب الرملية الجافة (خشنة وناعمة)
- (ب) يوضع كل نوع في إناء (أنبوب)، مع الضغط الخفيف عليه.
- (جـ) يصب ماء محدد الكمية (معروف كميته) بالمليمترات.
- (د) يوضع إناء أسفل الأنبوب المعلق كما باللوحة (٨)
- (هـ) تستخدم ساعة توقيت لتحديد الفترة التي تستغرقها تصرف الماء في الأنبوب بعد فتح الصمام.
- (و) يتم الاحتفاظ بالماء المنصرف ويحدد الوقت الذي استغرق في تفريغ الماء من الأنبوب ثم يتم قياس حجمه (الماء المنصرف) وهنا يكون ناتج طرح الكمية المنصرفة من الكمية التي تم صبها بمثابة الماء الذي تم اختزانه في المسام.
- (ز) تعاد التجربة على الرواسب الرملية الخشنة مع استخدام نفس كمية المياه المستخدمة في التجربة الأولى والقيام بنفس العمليات
- (ح) بالمقارنة بين التجريبتين سنجد أن تحرك المياه في الثانية يكون أسرع وبكمية أكبر وهذا يدل على أن الرواسب الناعمة تحتفظ بالمياه

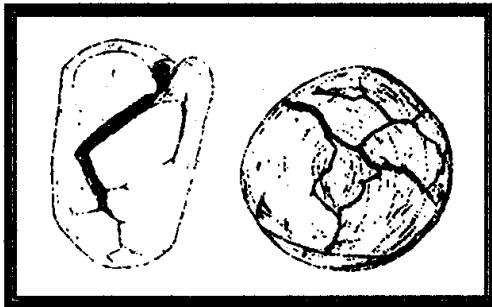
بكمية أكبر مقارنة بالرواسب الرملية الخشنة (Jackson J. and Evans, E. 1974, p.372)

خامساً : ملاحظات وقياسات هامة للأشكال والملامح الأرضية المرتبطة بالتجوية :



شكل (٩) نتائج تجوية صخر الجرانيت

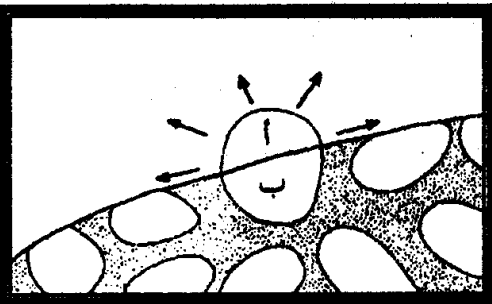
(أ) يوضح الشكل (٩) أنه إذا ما تعرضت قطعة من صخر الجرانيت لعمليات التجوية سيتج عنها رمل (سيليك) وصلصال *Clay* (الفلسبار) ثم شرائح الميكا *Mica Flakes* ويمكن ملاحظة ذلك بأخذ عينات صخرية من أقدام تلال جرانيتية مجاورة.



شكل (١٠) صخر تعرض للتشقق بفعل حرارة الشمس في صحراء طومبز في بوير

(ب) يوضح الشكل (١٠) حصى تعرض للتشقق بفعل التباين الحرارى الحاد وبعض هذه التشققات قد تكون سطحية وبعضها متعمق بحيث تؤدي إلى تعلق الحصى أو الجلاميد.

(جـ) هناك مل يمكن ملاحظته ميدانياً فيما يخص التجوية الحرارية وهو ما يعرف بالشكك الكلى *Blocky Disintegration*^(١)، وهذه تلاحظ عادة في الصخور الكوارتزية مثل الجرانيت في الصحارى المدارية.



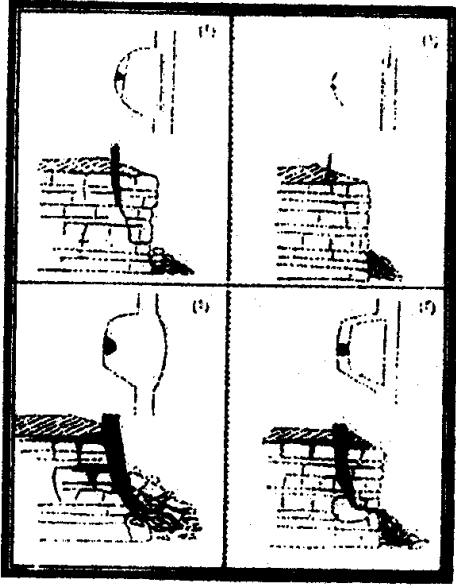
شكل (١١) ميكانيكية تشقق جلود صخرى

(د) يوضح الشكل (١١) ميكانيكية تشقق جلود صخرى نصفه مدفون في الرواسب والنصف العلوى مكشوف بعد إزالة الرواسب منه العلوى لم يعد مقيداً *Unconfined* (أ) وأصبح حرراً في عده مع التسخين ولكن الجزء (ب) المقيد *Confined Part* لا يتعرض للحرارة بمثل ما يتعرض له الجزء العلوى

إلى جانب صعوبة تمده مما يولد إجهاداً *Stress* بين الجزئين العلوى والسفلى مما يؤدي إلى تكون شق *Crack* بين الجزئين ويمكن للجزء العلوى السقوط إذا ما كان موجوداً على منحدر أرضى، وفي بعض الجلاميد المتشققة بفعل التجوية الحرارية نجد حدوث تشققات الصخر لا تؤدي إلى انشطاره ولكنها قد تكون تشققات جزئية تملئ بالمفتات.

(٢) تعمل النباتات التي تنمو داخل الشقوق التي ترسبت فيها مكونات صخرية مفتحة على زيادة عملية التكك خاصة مع تشرها بالمياه التي تساعد على تشعب المجموع الجذري.

(هـ) يلاحظ من اللوحة (٣) كيف أن انحنوع الجذرى للأشجار يتعمق في الشقوق الصخرية ويعمل على زيادة فعالية تفككها.



شكل (١٢ أ) العلاقة بين جذور الأشجار وتفتك الصخور

(و) يوضح الشكل (١٢ أ) العلاقة بين جذور الأشجار وتشكك الصخور بالمحدرات شديدة الانحدار :

(١) بداية توغل الجذر في أحد الشقوق لمسافة محدودة في امتداد وتلدئ مع وجود تراكبات من القشور عند حوض الحرف.

(٢) زيادة امتداد الجذر مع وضوح اتساع الشق.

(٣) زيادة امتداد وتوغل الجذر واتساع الشقوق الرأسية والأفقية مع استقرار وجه الحرف الجوى.

(٤) تضخم في حجم الجذر وتشعبه داخل الشقوق مع حدوث انهيار لوجه الحرف.

(ز) دور النمو الشجرى في تطور سطح الأرض وتكون الترتوات الصخرية الرأسية أو ما يعرف بالأبراج الصخرية *Rocky Tors* شكل (١٢ ب) :

(١) مرحلة أولية.

(٢) تفكك للكل الطبقية كثيرة الفواصل بواسطة الشو الشط للمجموع الجوى مع تخفيض سطح التربة.

(٣) زيادة عمليات التفكك وبروز الترتوات الصخرية الرأسية.

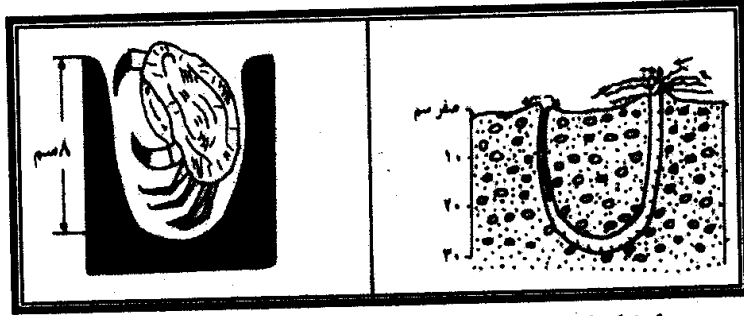


شكل (١٢ ب) أثر النباتات الشجرية على تجوية الصخور

(ح) يوضح الشكل (١٣) دور حيوان الكابوريا (سروطان البحر) *Crab* في حفر تجويفات

في رواسب المسطحات المائية الداخلية - لاحظ شكل اخترة التي يوجد بها الحيوان وعمقها -

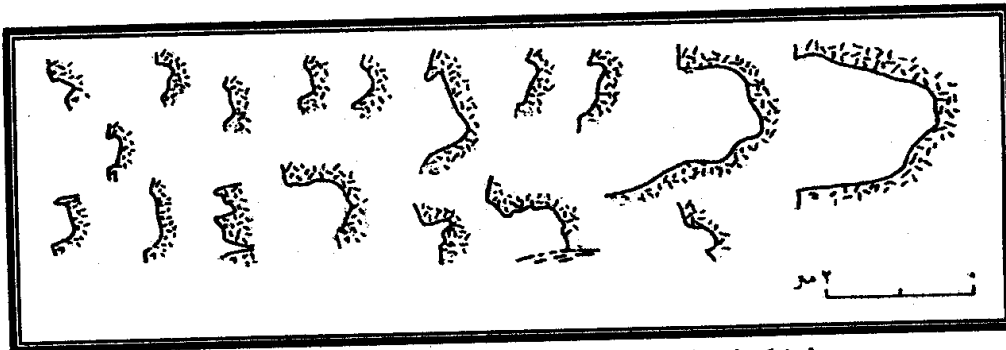
من خلال مقياس الرسم الذى يصل إلى نحو ثمانية أمتار (Pitt, 1973, p.152).



شكل (١٣) دور حيوان الكابوريا في حفر تجويفات
في رواسب المسطحات المديدة

(ط) تتكون قشور كلسية صلبة على جوانب التلال الجيرية مثلما الحال في تلال الحجر الجيري البطروخي بالساحل الشمالى في مصر في منطقة رأس الضبعة ومرسى مطروح وغيرها، وعادة ما تتكون هذه القشور مع تكرار تصاعد محلول يكرىونات الكالسيوم إلى السطح بعد فترة سقوط المطر وذلك بواسطة الخاصة الشعرية ثم تعرضه للتبخر ومن ثم تتراكم المواد الصلبة وتتبلور في شكل قشور صلبة *Duri Crusts* وإذا ما كان لوها بنى فإن هذا اللون يرجع عادة إلى حدوث تفاعل بين ماء المطر أو الرطوبة النسبية المرتفعة في الجو مع الشوائب الحديدية المحدودة جداً في صخور الحجر الجيري، ومع تحولها بالتموء إلى أكاسيد حديد غير قابلة للذوبان يؤدي ذلك إلى صبغ الطبقة السطحية باللون المائل للاحمرار وكثيراً ما تظهر هذه العملية في مناطق من الصحارى حيث يظهر ما يعرف بالورنيش الصحراوى بعد صقل الأرضة الصحراوية بفعل الرياح.

(ي) حفر التافونى *Tafoni* حيث يوضح الشكل (١٤) مقاطع رأسية لعينة من التافونى في صخور جرانيتية ونيسية جنوب استراليا، وهذه الظاهرة منتشرة في مناطق مختلفة في ظروفها المناخية خاصة قرب السواحل المدارية الحارة، واللوحه (٩) توضح حفر إذابة تافونى *Tafoni*.

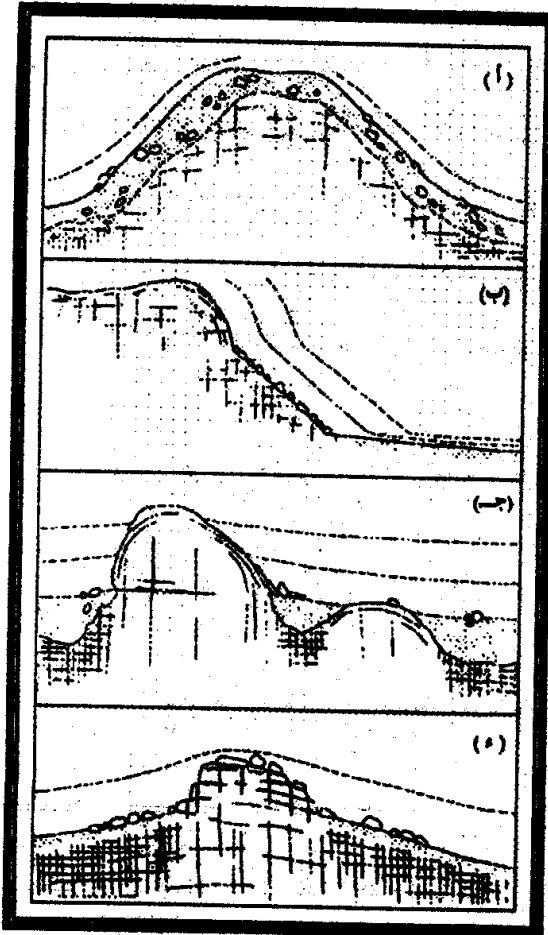


شكل (١٤) حفر التافونى بأبعادها وأشكالها المختلفة



لوحة (٩) مفراذابة التافونو *Tafoni*

(ك) يوضح الشكل (١٥) نطاقات التجوية بالسفوح الجرانيتية بجزيرة هونج كونج :



شكل (١٥) نطاقات التجوية بالمنحدرات
الجرانيتية بجزيرة هونج كونج

(١) النطاق العلوى (أ) ويتكون من مفتحات متبقية من رمال كوارتزمية مع احواضها على كتل صخرية غير مجواه يبلغ سمكها ما بين ١-٢٥ متراً.

(٢) النطاق (ب) يحترى على مفتحات متبقية مع لويحات من الصخور المستديرة تمثل ٥٠٪ من سمك رواسب هذا القطاع.

(٣) النطاق (ج) يتكون من كتل صخرية مسطيلة من صخر الأديم *Bedrock* وهي صخور منفصلة بشكل واضح، يراوح كل هذا النطاق ما بين ٧-١٧ متراً.

(٤) النطاق (د) صخور جرانيتية منفصلة مجواه بشكل جزئى بسبب تغلغل المياه بها في المراحل الأولى من الفواصل والفتحات ومع مرور الزمن تزداد مع زيادة سمك النطاقات العلوية الثلاثة على حساب النطاق الذى تعرف تجويته عند الحد الذى تغطى عنده الواجهات الصخرية.

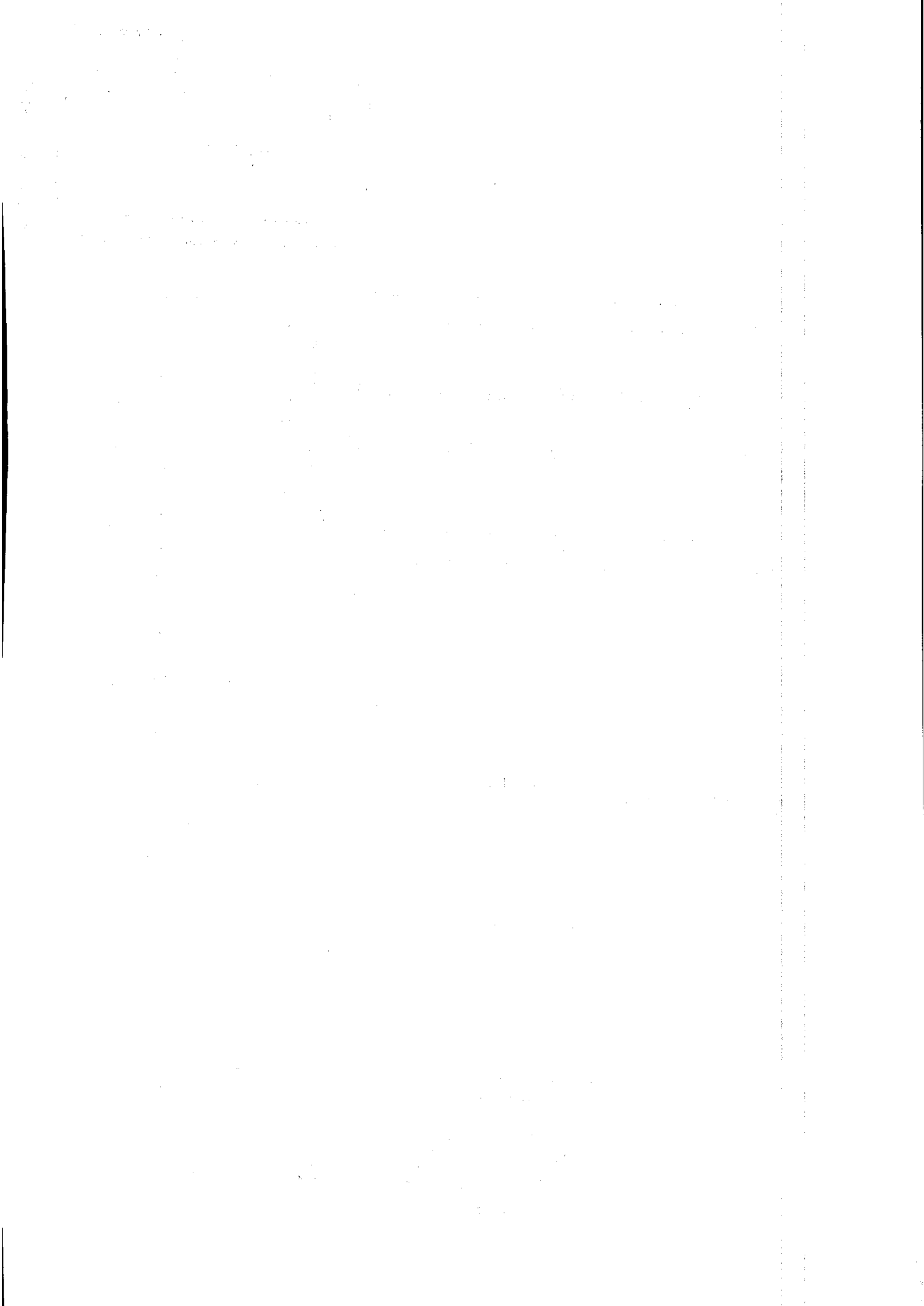
الفصل الثالث

القياسات الميدانية الخاصة بالمنحدرات
والأودية الجافة وحركة المواد على السفوح

الدراسة الميدانية والتجارب العملية في الجيومورفولوجيا

أولاً : تحليل المنحدرات.

ثانياً : حركة المواد على المنحدرات من الدراسة الميدانية.



مقدمة :

أهمية دراسة المنحدرات :

تفيد دراسة المنحدرات لاسيما من الناحية المورفومترية في التعرف على أشكالها وتطورها وإلقاء الضوء على أهم العوامل والعمليات الجيومورفولوجية التي أسهمت في تشكيلها وما زالت تؤثر عليها وعلى تطورها اجيومورفولوجي، وتجسد الإشارة إلى أن أشكال المنحدرات ما هي إلا انعكاس لظروف الجيولوجية والمناخية والجغرافية المختلفة التي انتابت المنطقة.

ولإتمام ما سبق لابد للباحث أن يحدد مجموعة من القطاعات العرضية والطولية على جوانب الأودية وعلى الحافات المختلفة وذلك من خلال الخرائط الطبوغرافية مقياس ١ : ٥٠.٠٠٠ أو الخرائط مقياس ١ : ٢٥.٠٠٠ كلما أمكن ذلك، والخرائط المصورة "الموزايك" نفس المقياسين السابقين، ثم معرفة الخصائص الجيولوجية للمواقع المختارة عليها القطاعات من خلال الخرائط الجيولوجية والمرئيات الفضائية الرقمية (TM) والدراسات الجيولوجية السابقة، كل ذلك يسبق الدراسة الميدانية.

ويجب أن تمثل القطاعات للمناطق المختارة من حيث الخصائص الليثولوجية والتركيبية للتكوينات هذا بالإضافة إلى أنها يجب أن تمثل منحدرات منطقة الدراسة خير تمثيل. كما يتم قياس القطاعات ميدانياً من خط تقسيم المياه حتى مجرى الوادى أو عندما يتلاشى المنحدر ويلتقى بمنطقة سهلية - كما في قطاعات الحواف المطلية على السهول الدلتاوية - (مرتفعات البحر الأحمر)، هذا ويتم القياس على أشد أجزاء المنحدر انحداراً، أو كما أطلق عليها ينج *Young* اسم الانحدار الحقيقي *True Slope* مع استخدام بعض الأدوات التي تستخدم الدراسة الميدانية مثل، شريط نيل وبوصلة وشاخص وآلة تصوير وجهاز *GPS* ... وغيرها من أدوات الدراسة الميدانية.

ثم يتم بعد العمل الميداني رسم القطاعات والملاحظات الميدانية من خلال الزوايا والمسافات الأرضية لكل زاوية، عن طريق ترتيبها في كل قطاع من صفر - ٩٠ درجة وتجمع المسافة الأرضية لكل زاوية وتحسب نسبتها من إجمالي أطوال القطاعات، ثم يتم بناءً على ما سبق تصنيفها إلى فئات ومجموعات انحدارية مختلفة، بحيث يمكن من خلالها معرفة وتحديد لأهم الروايات الشائعة *Characteristic Angles* في كل فئة ونسبتها المئوية وكذلك لتحديد الزوايا الحديثة الدنيا والعليا وذلك لتوضيح خصائص الانحدار بمنطقة الدراسة، مع اتباع أحد التصنيفات المعروفة مثل تصنيف ينج *Young* وغيره من النيتمين بدراسة المنحدرات، وربط كل ما سبق بالظروف الجيولوجية والجيومورفولوجية والمرحلة العمرية التي مر بها المنحدر. لأن المنحدر يعد انعكاساً لكل هذه الظروف والخصائص الجيومورفولوجية التي نمرها المنطقة قيد الدراسة.

ثم يتم حساب نسبة معدلات القوس للدرجات الانحدار في كل قاع وعلى مستوى مجموعة القطاعات لبعض الظواهرات (جوانب الأودية)، وذلك لتحديد خصائص الانحدار وتصنيفه لفئات فيها الخدب والمقعر والمستقيم من أجل الوصول إلى تحديد أهم العوامل الجيومورفولوجية التي شكلت هذه المنحدرات.

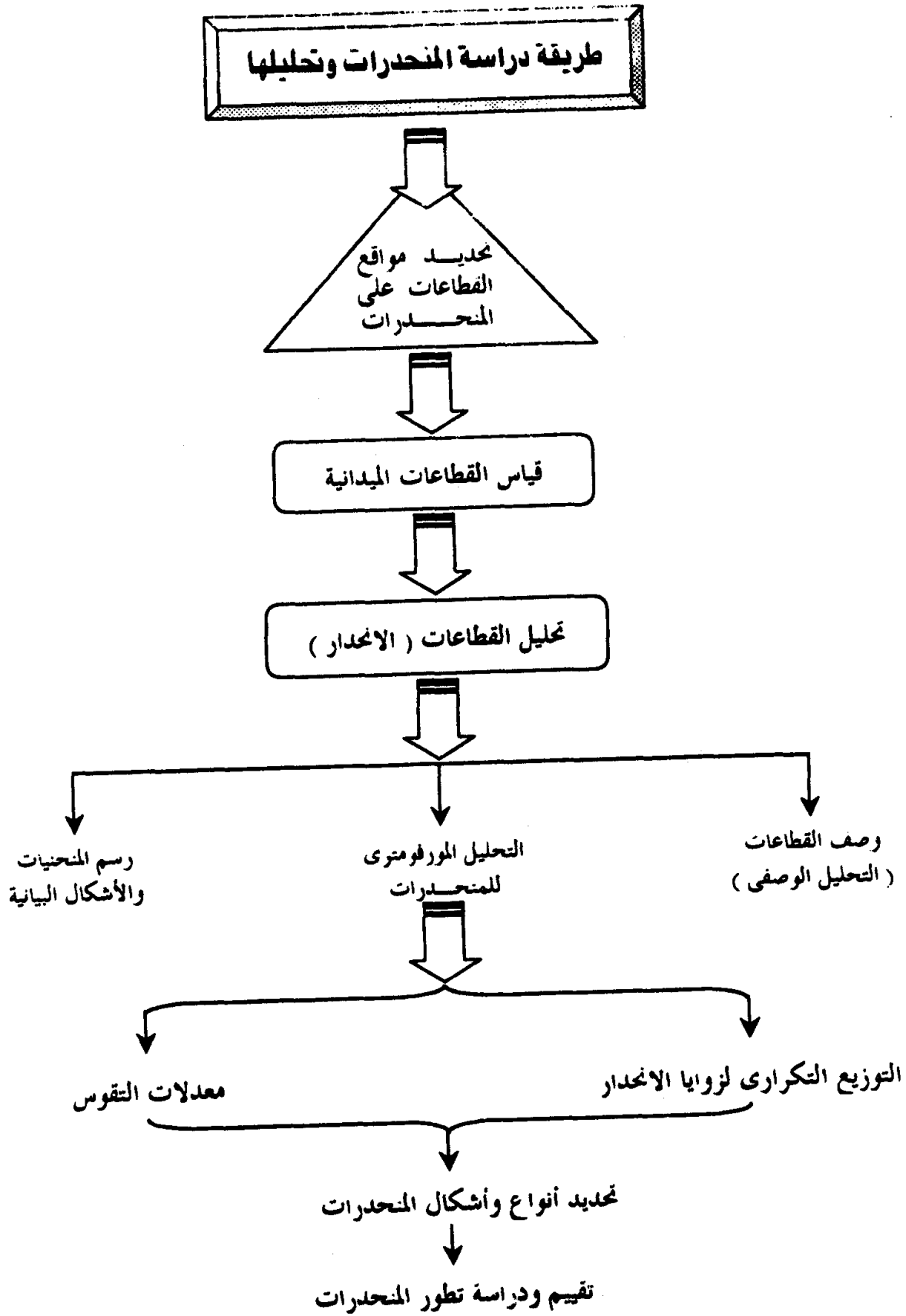
ومما زاد من أهمية هذه الدراسات مدى التطور الحديث في وسائل التكنولوجيا المتقدمة من استخدام لأنظمة المعلومات الجغرافية والاستشعار من بعد والتطبيقات الهندسية في دراسة المنحدرات ودخول الحاسب الآلي في عمليات التحليل والمعالجة.

كل ذلك عمل على زيادة الإلمام بأشكال المنحدرات وتطورها وخصائصها الجيومورفولوجية والمورفولوجية المختلفة ثم معرفة مراحل تطورها المختلفة.

هذا وقد تطورت دراسة المنحدرات في العقدين الأخيرين تطوراً كبيراً، وقد وجهت دراسة المنحدرات في السنوات الأخيرة إلى الجوانب التالية :

- (١) تطوير أساليب قياس العمليات الجيومورفولوجية في الميدان، ومع قطاعات الانحدار في بيئات تحتية مختلفة، مع تركيز خاص على الانهيارات الأرضية.
- (٢) تطوير النماذج النظرية للمنحدرات ومقارنتها بمعظم المنحدرات الطبيعية.
- (٣) تطبيق أساليب المسح الجيوفيزيائي في دراسة المنحدرات والمواد السطحية التي تغطيها.
- (٤) دراسة التوزيع التكراري لزوايا الانحدارات في البيئات تحتية المختلفة.
- (٥) دراسة المنحدرات على المستوى الإقليمي في بيئات مناطق جيولوجية متفاوتة ومقارنتها مع بعضها البعض.
- (٦) تطوير أساليب رياضية ومعملية للدراسة المنحدرات على المستوى التفصيلي ودراسة المواد السطحية.
- (٧) تطوير النماذج التي توضح تطور المنحدرات مع الزمن.
- (٨) تطور الدراسات التطبيقية الخاصة بتطبيق أساليب تحليل المنحدرات في معالجة المشاكل الهندسية، لا سيما معرفة مدى استقرار المنحدرات بالنسبة للمشاريع الهندسية كالطرق والمراكز العمرانية.
- (٩) تطور الدراسات التطبيقية، الخاصة بتطبيق أساليب تحليل المنحدرات في مشاريع مسح التربة وتعريضها وتخطيط استغلال الأرض للزراعة وغيرها.

وبوض هذا الشكل طريقة مقترحة لمرامل دراسة المنحدرات :



شكل (١٦) طريقة مقترحة لمرامل دراسة المنحدرات

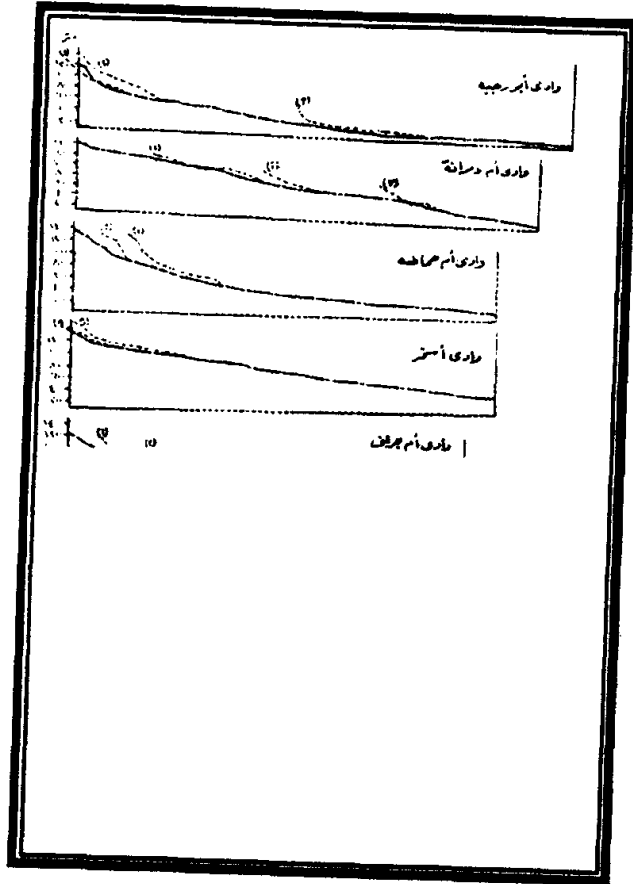
ومن الشكل السابق والذي يوضح مقترح لدراسة المنحدرات، يمكن الاعتماد عليه في دراسة المنحدرات على أية منطقة في أى بيئة مختلفة، حيث يتم في المرحلة الأولى للدراسة وضع نظام لاختيار قطاعات الانحدار وفقاً لمتغيرات مورفولوجية حتى تكون هذه القطاعات ممثلة تمثيلاً جيداً لمورفولوجية منطقة الدراسة، وبعد اختيار مواضع القطاعات يتم مسحها ميدانياً، وبعد مرحلة المسح الميداني لجميع القطاعات، تبدأ مرحلة تحليل القطاعات، وقد سبق تلك المرحلة تمثيل البيانات الحقلية الخاصة بزوايا الانحدار والمسافات المقاسة حقلياً على أشكال بيانية بمقياس رسم مناسب.

وبعد ذلك يتم إخضاع تلك البيانات والقياسات للتحليل المورفومتري عن طريق التوزيع التكرارى لزوايا الانحدار ودراسة معدلات التقوس، ومن خلال التحليل السابق يمكن الوقوف على أهم أنواع المنحدرات بالمنطقة قيد الدراسة، ثم في النهاية تتوصل الدراسة إلى استنتاج لطريقة تطور المنحدرات خلال الزمن مع توضيح لنماذج تلك المنحدرات (Young, 1972, Small, 1979)، علاوة على تقييم للمنحدرات وذلك بناءً على التدخلات البشرية وآثار المنحدرات السلبية والأخطار الناجمة عنها، والتي قد أوجه النشاط البشرى والموارد الطبيعية بالمنطقة، ووضع المقترحات لحل مثل هذه المشكلات المختلفة.

الخصائص العامة للقطاعات :

- بلغت أعداد القطاعات التي تم قياسها ميدانياً ثلاثة وثلاثون قطاعاً، بطول حوالى عشرين كيلو متراً، غطت جميعها الحافة الرئيسة وجوانب الأودية المختلفة، والقطاعات الطولية للأودية، وقد روعى في اختيار مواقع هذه القطاعات أن تمثل جميع أجزاء الأودية والحافة الرئيسة بتكوينها الجيولوجية المختلفة.
- بلغت أطوال القطاعات على جوانب الأودية ١٢,٧ كيلومتراً بنسبة ٦٣,٨٪ من جملة أطوال القطاعات، وكانت في أعالي الأودية ١١,٤٪ وفي أواسط الأودية ٢٧,٢٪، بينما بلغت نسبة الأجزاء الدنيا للأودية ٢٥٪ من جملة أطوال القطاعات التي تم قياسها على جوانب الأودية.
- بلغت نسبة أطوال القطاعات الطولية ٢٩٪ من جملة أطوال القطاعات، غطت خمسة أودية فقط شكل رقم (٤٥) وهى نسبة ضئيلة إذا ما قورنت بأطوال القطاعات العرضية نظراً لأنها الظاهرة الوحيدة التي أوضحها القطاعات الطولية هى نقط تغير الانحدار التي ترجع إلى الاختلافات الليتولوجية للتكوينات مع تغير أيضاً في مستوى القاعدة للأودية.

- بلغت أعداد القطاعات على الحافة الرئيسة ثلاث قطاعات شكل رقم (١٧ أ) بلغت أطوالها ١٤٨٨ متر بنسبة ٧,٤٪ من جملة أطوال القطاعات. حيث بلغت نسبتها حوالي ٩٥٪



شكل (١٧ أ)

من أجزاء القطاعات الحافة الرئيسة، في حين بلغت نسبة الأجزاء المغطاة بالركام على جوانب الأودية ١٠٠٪ في بعض القطاعات، بينما لم تقل هذه النسبة عن ٢٧٪ في أى قطاع من القطاعات التي تم قياسها ميدانياً، كما اختلفت أيضاً أحجام وأنواع الرواسب على القطاعات.

- تنوعت التكوينات على مستوى القطاعات، ورغم ذلك فقد لوحظ أن تكوينات الأيوسين الأسفل والأوسط تظهر في كل القطاعات في صورة جروف رأسية متأثرة بالشقوق والفواصل بالتجوية والتعرية، ويتضح ذلك من خلال المفتحات المترامية أسفلها على طول المنحدرات، بالإضافة إلى تكوينات الكريتاسي

بتقسيماتها المختلفة وتكوينات الزمن الرابع، المتمثلة في مصاطب الأودية والمراوح الفيضية وركام المنحدرات التي جلبتها الأودية من أعلى الهضبة.

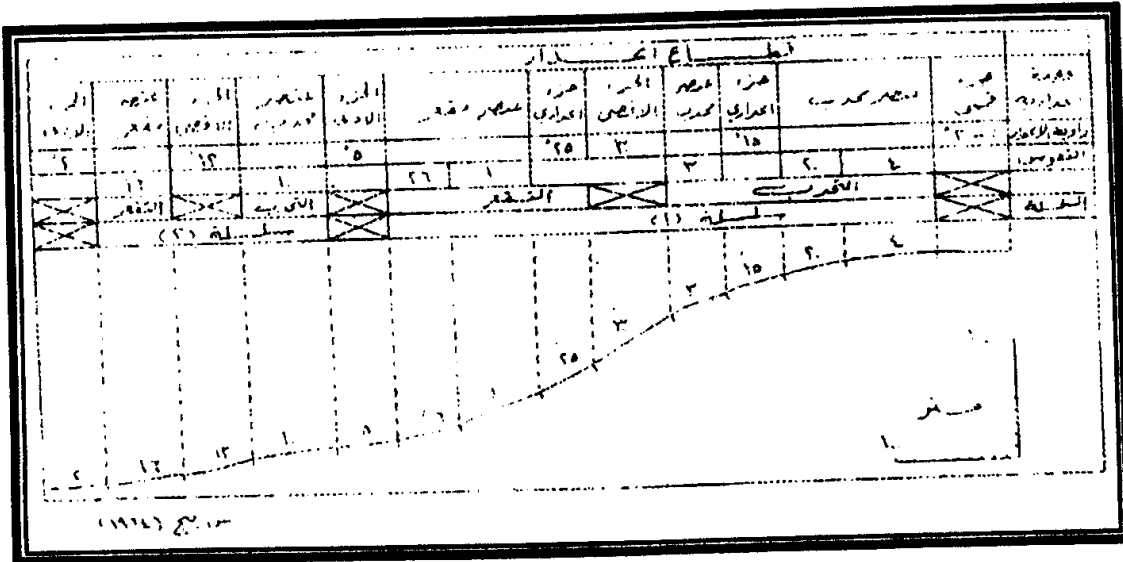
- أما بالنسبة لأشكال القطاعات العرضية فكانت في الأجزاء العليا على شكل حرف (V)، أما القطاعات في الأجزاء الوسطى والدنيا فكانت على شكل حرف (V) المفتوح الزاوية، وشكل حرف (U) لاسيما في الأجزاء الدنيا، كما في أدنى وادي أم حمادة التي وصلت إليها الأودية، علاوة على تباين التكوينات الجيولوجية لاسيما في الأجزاء الدنيا للأودية.
- تباينت أيضاً قيم المتوسطات لزوايا الانحدار على القطاعات بالمنطقة، حيث بلغ متوسط زوايا الانحدار على القطاعات الطولية ١٠,٧ درجة، وتعد لأقل متوسطات لدرجات انحدار على مستوى القطاعات المنطقة، في حين بلغ متوسط زوايا انحدار قطاعات الحافة الرئيسة ٢٥ درجة فهي ذات انحدار متوسط، أما أجزاء الأودية المختلفة فتباينت عليها متوسطات زوايا الانحدار حيث بلغت ٤٠,٧ درجة في أعاليها، بينما كانت ٣٩ درجة في أواسطها، أما أدناها فبلغ متوسط زوايا انحدار قطاعها ٢٧,٨ درجة.

• كما اختلفت أيضاً أطوال لقطاعات، فبلغت أطوالها في أدنى وأواسط الأودية وعلى سيل المثال كان طول قطاع أوسط أم حمضة ١٥٦٠ متر، بينما تقل أطوال قطاعات أعالي الأودية، حيث بلغ طول قطاع أعلى وادي أسخر ٣٢٠ متر. أما بالنسبة للقطاعات الطولية فبلغت أطوالها ٥,٧ كيلو متر وهي لا تقارن بأطوال القطاعات العرضية.

تضم عملية تحليل القطاع تقسيمه إلى أجزاء صغيرة تتميز كل منها بخصائص مورفولوجية معينة، ويتم تحديد الأجزاء والوحدات الانحدارية بناء على الشكل الكلي لقطاع الانحدار بعض النظر عن العمليات الجيومورفولوجية التي تمارس نشاطها على طول القطاع، أو التطور الجيومورفولوجي للقطاع (Young, 1972, P. 148).

هذا وقد تطورت أساليب التحليل المورفولوجي للمنحدرات على يد العديد من الباحثين^(١) ويتم تحليل القطاع عن طريق استخدام أسلوبين هما، (١) **الأسلوب الوصفي**؛ الذي يقوم على اختيار الشكل البياني للقطاع، (٢) **الأسلوب الكمي** في تحليل القطاع؛ وهو ما يعرف بنظام الوحدات الأمثل المبرمج الذي وصفه Yang, A., حديثاً (Young, 1972).

بعد كل من سافيجير Savigear وبنج Young ممن وضعوا الأسس الكمية للمنحدرات، وقد يعد Young أبرز الباحثين المحدثين في هذا المجال، ويرى أنه يمكن تقسيم القطاع الكلي للمنحدر (الذي يتكون من عدد كبير من القراءات الخاصة بأطوال المسافات المقاسة في الحقل وزوايا ميل تلك المسافات) إلى قطاعات صغرى مستقيمة Rectilinear مقوسة Curved أطلق عليها اسم أجزاء المنحدارية Slope Segments وعناصر المنحدارية Slope Elements ووحدات المنحدارية Slope Units وقد تكون الوحدة الانحدارية إما جزءاً أو عنصراً المنحدارية شكل (١٧ ب).



شكل (١٧ ب) مكونات المنحدر (الوحدات والأجزاء والعناصر بقطاع منحدر)

(*) أهم الباحثين:

- 1- Savigear, 1952, 1956.
- 2- Young, 1963, 1964, 1972. 200.

ويتم وصف الأجزاء الانحدارية على أساس متغيرين هما؛ درجات انحدارها (ميلها)، وأطولها المقاسه في الحقل (أى ليست المسافة الأفقية المقابلة) كأن يقال جزء انحدارى طوله ٥٠ متراً ودرجة ميله ٢٠ درجة من جهة أخرى توصف العناصر الانحدارية استناداً إلى ثلاثة متغيرات هى :

- (١) معامل التقوس (أى معدل التغير في زاوية الميل على طول العنصر، ويعبر عنه بالدرجات لكل ١٠٠ متر).
- (٢) درجات الميل عند النهايتين العليا والسفلى للعنصر.
- (٣) طول العنصر بالأمتار.

كأن يقال عنصر انحدارى طوله ٥٠ متراً وزاويتا الميل العليا والسفلى ٥° ، ١٠° ومعامل تقوسه ١٠ / ١٠٠ متر.

ومن الشكل (١٧ ب) الذى يوضح الوحدات والأجزاء والعناصر الانحدارية التى يتضمنها قطاع انحدارى نظرى، يعرف الجزء من القطاع الذى يكون انحداره أكبر من الوحدات الانحدارية أعلاه وأسفله مباشرة اسم الجزء الأقصى *Maximum Segment*، أما القسم الذى يقل انحداره عن الوحدات المجاورة فيسمى قسم الدرجة الدنيا *Minimum Segment*، ويطلق على الجزء أو الوحدة المستوية السطح نسبياً والتي تفصل بين انحدارين متضادين وقد يكون حافة ضيقة كما هو فى الأراضي الشابة *Reguvenated*، أو منطقة متبقية من التعرية (سهل تحتاتى) *Rejuvenated*، اسم الجزء القمى (قسم القمة) *Crest Segment*.

أما العنصر فقد يكون عنصراً محدباً أو عنصراً مقعراً ويطلق التحدب *Convexity* على مجموعة الوحدات الانحدارية (عناصر انحدارية) المتجاورة التى تزداد على طولها زاوية الميل أسفل المنحدر أو تبقى ثابتة لمسافة ما قبل أن تتزايد ثانية، أما إذا تناقصت زاوية الميل أسفل المنحدر يصبح القطاع مقعراً، هذه المجموعة يطلق عليها اسم تتابع السفح *Slope Sequence* وقد يحدد تتابع السفح قسم القمة من ناحية أو قسم الدرجة الدنيا عند القاعدة، وقد يحدها النهر أو خط الساحل ولكن هذه الأقسام خارجة عن تتابعات السطح، وقد يتكون السفح من أكثر من تتابع واحد، وترقم التتابعات تاريخياً من القمة نحو القاعدة ويعزى ظهور تتابعين من تتابعات السطح إلى وجود طبقة من الصخور الصلبة أو قد تكون نتيجة لتجديد شباب الأنهار *Rejuvenatiern* الذى يؤدي إلى استئناف النحت الرأسى عند أقدام المنحدرات ويطلق على الفترة الزمنية التى يتم خلالها تكوين تتابع واحد اسم طور النمو *Phase of Development of Slope* (السيد الحسنى، ١٩٧٧، ص ٢١).

هذا وقد يحدث الان من أطوار النمو ينتج عنها تكون تتابعين للسفوح، بل وأكثر من ثلاث تتابعات وهو أمر شائع الحدوث (Savigear, 1956, p. 62)، كما هو الحال في جنوب ويلز وجنوب وغرب إنجلترا (Young, 1963, 1964, 1970).

وفيما يلي أهم المصطلحات التي أوردها Young شكل (١٧ ب) في التحليل المورفولوجي للقطاعات هي:

- (١) وحدة المنحدر (الوحدة الانحدارية) *Slope Unit* وهي إما الجزء *Segment* أو العنصر *Element*.
 - (٢) الجزء الانحداري *Segment* وهو الجزء من قطاع المنحدر الذي تبقى على طول زوايا الميل ثابتة (هو الجزء المستقيم في القطاع).
 - (٣) العنصر الانحداري *Slope Element*، وهو الجزء من قطاع المنحدر الذي يبقى على طول معامل التقوس ثابتاً.
 - (٤) العنصر المحدث *Convex Element* في القطاع، وهو العنصر الذي تزداد على طول زوايا الميل باتجاه أسفل القطاع، بمعنى آخر تكون قيمة تقوسه موجبة.
 - (٥) العنصر المقعر *Concave Element* في القطاع وهو ذلك العنصر الذي تتناقص على طول زوايا الميل باتجاه أسفل القطاع بمعنى آخر تكون قيمة معامل تقوسه سالبة.
 - (٦) الجزء الأقصى *Maximum Segment* من القطاع وهو ذلك الجزء من القطاع الذي تكون درجة ميله أكبر من درجة الوحدات الانحدارية أعلاه وأسفله، وقد تعلو الوحدة السفلية من القطاع وحدة أخرى أقل منها انحداراً.
 - الجزء الأدنى *Minimum Segment* من القطاع وهو ذلك الجزء من القطاع الذي تكون درجة ميله أقل من درجة ميل الوحدات الانحدارية أعلاه وأسفله وقد تعلوه الوحدة السفلية من القطاع وحدة أشد منها انحداراً.
 - (٧) قسم القمة *Crest Segment* وهو ذلك الجزء الذي يحده من الجانبين منحدران هابطان إلى أسفل.
- ونظراً لأن التقسيم السابق للمنحدرات إلى وحدات وأجزاء وعناصر انحدارية يُعدّ تقسيماً وصفيّاً يتم باستخدام الشكل اليان للقطاع ويخضع في معظم الأحوال للحكم الذاتي للشخص الذي يقوم بالتحليل، وبالتالي تتباين نتائج تحليل القطاعات من شخص لآخر ونسوق لذلك مثلاً يوضح هذه الفكرة.

جدول (٣) تقسيم نظري لقياس منحدر

١٠	١٠	١٠	١٠	١٠	١٠	١٠	١٠	المسافة (متر)
٨	٧	٨	٧	٦	٧	٦	٧	الدرجة

... هذا يؤكد أن هناك إمكانية وجود اختلاف في نتائج تحليل وتفسير القطاعات من شخص لآخر باستخدام النتائج الوصفية للشكل البياني، ويرجع هذا كما يذكر (يحيى فرحان، ص ٢٧) إلى عدم تحديد معدل التغير *Variability* في درجات الانحدار ومعامل التقوس المسموح به على طول الأجزاء والعناصر الانحدارية.

كما يمكن تأكيد ما سبق من خلال المثال التالي:

أخذت القراءات التالية : ٣ ، ٣ ، ٤ ، ٢ ، ٣ ، ٣ ، ٣ ، ٣ ، ٣ ، ٣ .

هنا يمكن اعتبارها أجزاءً انحدارية معدل المخدر كل منها (٣) على الرغم من أن القراءات الخاصة بالجزء الانحدارى الأول تشير إلى أنه جزء أكثر استقامة من الجزء الثانى، وهذا يؤكد مرة أخرى بأن المقصود بالثبت التقريبى لزاوية الانحدار للجزء الانحدارى هو ثابت نسبي وليس مطلقاً.

أما كيفية التخلص من هذه الرؤية الذاتية وآثارها على النتائج الخاصة بتحليل القطاعات الانحدارية المختلفة، فقد اقترح (Young, 1971 A, 1971 B) نطاقاً مبرمجاً يهدف إلى تقسيم قطاع الانحدار إلى الوحدات والأجزاء والعناصر التي يتكون منها بحيث لا يزيد معامل التغير لزاويا الانحدار والتقوس عند حد معين (يمجدده الباحث مسبقاً)، أطلق على هذا النظام "نظام الوحدات الأمثل" *The System of Best Units*.

أهم مميزات هذا النظام :

- (١) يتبع نفس مبدأ الأسلوب الوصفى في تقسيم القطاع وتحليله إلى الوحدات والأجزاء والعناصر الانحدارية التي يتكون فيها.
- (٢) لا يشترط في أى قطاع تساوى المسافات المقاسة في الميدان.
- (٣) يشترط تحديد معدل التغير المسموح به^(١) لتغير زوايا الانحدار على طول الجزء الانحدارى، وكذلك معدل التغير المسموح به لتغير معامل التقوس على طول العنصر الانحدارى قبل بدء العمل.
- (٤) أن هذا النظام صالح للتخزين والاسترجاع والنقل بالكمبيوتر مما يؤكد البعد عن الأحكام الذاتية.

(*) بناءً على معامل التغير Coefficient of Variation الذى استعمله Young فإن العنصر الانحدارى هو ذلك الجزء من القطاع الذى لا يزيد فيه معامل التغير للتقوس (Vemax) عن مقدار محدد.

أما معامل التغير فقد تم حسابه من المعادلة التالية :

$$م غ = \frac{\frac{(مغ د ز)^2}{مغ د} - (مغ ز)^2}{م ز} \sqrt{100}$$

م ز = معدل زوايا الانحدار الموزونة^(١)

د = المسافة المقاسة في الحقل.

ز = زاوية الانحدار.

وقد استخدم *Young* معامل التغير بدلاً من الانحراف المعياري كمقياس إحصائي، لأن قيمة التفاوت في درجات الانحدار مهما كانت صغيرة "درجة واحدة مثلاً" على جزء انحداري خفيف من القطاع يكون أكبر وأكثر أهمية منها على جزء انحداري شديد الميل.

التوزيع التكراري لزوايا الانحدار : *Angel Frequency Distribution*

استخدم المؤلف التوزيع التكراري لزوايا الانحدار في تحليل الزوايا التي قام بقياسها على منحدرات منطقة الجلالة القبلية بالصحراء الشرقية، وترجع أهمية استخدام التوزيع التكراري لزوايا الانحدار في الدراسات المورفومترية للمنحدرات كأداة لتمثيل زوايا الانحدار التي تم قياسها ميدانياً في صورة أشكال بيانية توضح التوزيع التكراري لزوايا الانحدار على المنطقة قيد الدراسة.

وذلك للاستفادة من الآتي :

- مقارنة زوايا الانحدار على بعض أشكال السطح في بيئات تحتية مختلفة من حيث تكوينها الجيولوجي وظروفها المناخية وتطورها الجيومورفولوجي وذلك للتعرف على أوجه التشابه والاختلاف بينهما مما يساعد على معرفة الشذوذ في الخصائص المورفولوجية المحلية التي تميز أشكال السطح المختلفة.
- التعرف على الزوايا الشائعة *Characteristic Angles* التي تميز أنواعاً مختلفة من المنحدرات في أقاليم تحتية مختلفة من النواحي الجيولوجية والمناخية واستخدامها في تفسير مورفولوجية الوحدات والأجزاء الانحدارية وطبيعة تطورها، والتعرف على طبيعة التوزيع التكراري من حيث أنه وحيد أم ثنائي أو ثلاثي النوال واستخدام نتائجها في تمييز المنحدرات وتحديد خصائصها المورفولوجية على أساس الشكل والظروف المناخية (Young, 1972, p: 167).

(١) معدل زوايا الانحدار الموزونة = م ز = $\frac{\text{مغ د ز}}{\text{مغ د}}$

- مقارنة البيانات الخاصة بأحواض التصريف أو بأحدها مع درجة معينة من البيانات الكلية عن المنطقة، وذلك للتعرف على أوجه التشابه والاختلاف بين نمط التوزيع التكرارى للبيانات.
- استخدام التوزيع التكرارى لزوايا الانحدار فى الدراسات الهندسية للمنحدرات بما فى ذلك تطبيقات ميكانيكا التربة *Soil Mechanics* مع التركيز على دراسة استقرارية المنحدرات واختيار العلاقة الموجودة بين طبيعة المواد السطحية والصخرية *Regolith*، وخصائصها الهندسية من جهة، ونمط التوزيع التكرارى لزوايا الانحدار والزوايا النهائية لاستقرارية المنحدرات من جهة أخرى، إذ فسرت الزوايا الشائعة فى هذا المجال على أنها الزاوية النهائية أو الحرجة تجاه بعض العمليات الجيومورفولوجية كالاتفيلات الأرضية *Mass Movement* وبالتالى فسرت مورفولوجية المنحدرات الجانبية للأودية على أنها نتاج عمليات الاتفيلات الأرضية السريعة (فرحان، بدون، ص ٤٤).
- يعكس أيضاً توزيع زوايا الانحدار على أشكال السطح المختلفة التاريخ المورفولوجى الذى مرت به هذه الأشكال، فشروع الانحدارات الخفيفة - كما يرى *Young* - قد يشير إلى المرحلة الأخيرة من مراحل التطور حين تشير أيضاً الانحدارات المتوسطة إلى مرحلة وسط بين المرحلتين السابقتين (Young, 1972, p: 167)، ويتضح مما سبق مدى أهمية التوزيع التكرارى كأحد الأساليب التى تستخدم فى تمثيل وتحليل البيانات التى تم قياسها ميدانياً، ويقوم المؤلف بتحليل التوزيع التكرارى لزوايا انحدار المنطقة، ثم تحليل زوايا انحدار باقى أشكال الانحدارات بهذا، كما يلى :

التوزيع التكرارى لزوايا انحدار المنطقة :

تم تقسيم زوايا الانحدار إلى سبع فئات تبعاً لتقسيم *Young* (1972) لزوايا الانحدار والذى يعتمد على توضيح الخصائص العامة للانحدار كالتالى :

جدول (٤) فئات الانحدار تبعاً لتقسيم *Young*

سطح مسطح	من صفر - ٢.
سطح خفيف الانحدار	من ٣ - ٥.
سطح متوسط الانحدار	من ٦ - ١٠.
سطح فوق متوسط	من ١١ - ١٨.
سطح شديد الانحدار	من ١٩ - ٣٠.
سطح شديد الانحدار جداً	من ٣١ - ٤٥.
الجـرـوف	أكثر من ٤٥.

After : Young, 1972

وقد قام المؤلف باستخدام تعديل لهذا التقسيم أستخدم في العديد من الدراسات السابقة لكي تظهر الاختلافات فيما بين منحدرات المنطقة حتى يتسنى المقارنة بمنحدرات قريبة من المنطقة مجال الدراسة.

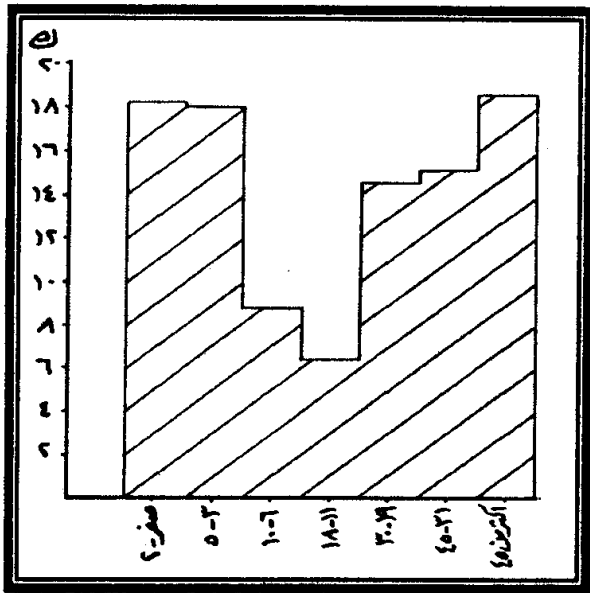
جدول (٥) التوزيع التكراري لفئات زوايا الانحدار على جوانب سفوح منطقة الجلالة

فئات الانحدار	طبيعة الانحدار	إجمالي أطول القطاعات		التقسيم المعدل	
		المسافة (متر)	% من أطوال القطاعات	الانحدار	المسافة (متر)
صفر - ٢	مستوى	٣٨٢٦	١٨,٢	خفيف	٩٤٥٤
٣ - ٥	خفيف	٣٨١٣	١٨,١		
٦ - ١٠	متوسط نوعاً	١٨١٥	٨,٦		
١١ - ١٨	متوسط	١٤٥٠	٦,٩	متوسط	٤٤٩٣
١٩ - ٣٠	شديد	٣٠٤٣	١٤,٤		
٣١ - ٤٥	شديد جداً	٣١٠٩,٥	١٤,٧	شديد	٣١٠٩,٥
أكثر من ٤٥	جروف	٤٠٣٧	١٩,١	جروف	٤٠٣٧
الإجمالي	—	٢١٠٩٣,٥	%١٠٠	—	٢١٠٩٣,٥
					%١٠٠

... من الجدول رقم (٥) انضم ما يلي :

- تحتل الانحدارات البسيطة (صفر - ١٠ درجة) نسبة ٤٤,٩% من جملة أطوال قطاعات المنطقة، وهي أعلى نسبة مقارنة بدرجات الانحدار الأخرى، حيث أنها تمثل المناطق المستوية وقيعان الأودية وأسطح البيدمنت وأسطح المراوح الفيضية ومصاطب الأودية وبصفة عامة تزيد الانحدارات البسيطة (المستوية والخفيفة)، تليها الانحدارات المتوسطة الشديدة نسبياً بنسبة ٢١,٣% من جملة القطاعات، وتكاد تمثل جميع السطوح لاسيما تلك التي تنشط عليها آثار التجوية مما يؤدي إلى زيادة مخروطات الهشيم على جوانب الأودية والحافة الرئيسة.
- بلغت الانحدارات الشديدة جداً نسبة ١٤,٧% من جملة القطاعات حيث تمثل السطوح المعرة من الرواسب وتقع أسفل القطاع المغطى بالركام والانهيالات الكتلية، كما تمثل الأجزاء المشرفة على قيعان الأودية مباشرة متمثلة في حواف أسطح الصدع كما في وادي أم عنبه وأبو معمل وأبو رجة، كما تضم واجهات بعض مصاطب الأودية التي تشرف على المجرى مباشرة. أما الجروف فتتمثل بنسبة ١٩,١% من جملة أطوال القطاعات وهي نسبة لا بأس بها نظراً لسيادة هذا العنصر في جميع القطاعات التي تم قياسها حيث تظهر في صورة رأسية على مكاشف تكوينات الحجر الجيري الأيوسيني متأثرة بالشقوق والفواصل المختلفة، كما تظهر عليها أيضاً آثار التجوية والتعرية.

يتضح مما سبق سيادة الانحدارات البسيطة، مما يشير إلى أن منحدراتها تمر بالمرحلة الأخيرة من مراحل تطورها، مما يتيح الفرصة لتكون التربة، من هنا يمكن زراعتها اعتماداً على المياه الجوفية بالمنطقة.



شكل (١٨) فئات زوايا الانحدار منطقة الجلالة القبلية

من الشكل (١٨) يتضمن ما يلي :

- تتوزع زوايا الانحدار بالمنطقة في سبع مجموعات، وتوضح كل مجموعة الزاوية الشائعة ونسبتها المئوية وأيضاً الزاوية الحدية العليا والدنيا، وقد كانت الزوايا الشائعة كالتالي؛ صفر، ٥ درجة، ١٣ درجة، ٢٥ درجة، ٣٥ درجة، ٤٥ درجة، ٩٠ درجة، كما بلغت نسبة ما تشغله من أطوال المسافات المقاسة لكل مجموعة على الترتيب ٢٩,٧٪، ٣٢,٤٪،

٤٨,٩٪، ٣٠,١٪، ٢٤,٥٪، ٤٧,٨٪، ٧٧,٤٪.

- يتميز التوزيع التكراري لزوايا الانحدار بالمنطقة بكونه ثنائي المنوال، حيث يميز هذا النمط المنحدرات في الأقاليم المناخية شبه الجافة (Young, 1972, p: 167)، حيث بلغت الزاوية (١٣ درجة) نسبة ٤٩٪، والزاوية (٩٠ درجة) نسبة ٧٧,٤٪ من أطوال المجموعات كما بلغت أيضاً ١٧,٥٪ و ١٤,٣٪ من جملة القطاعات.

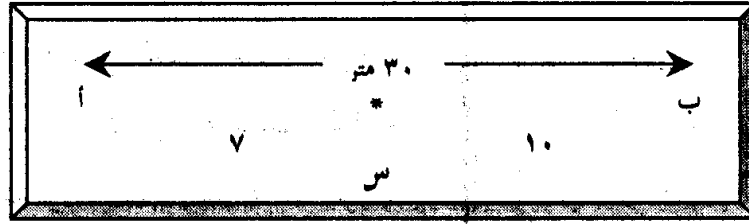
- تنظم زوايا الانحدار من صفر - ٩٠ درجة في الظهور على جانبي المدرج التكراري، مع انخفاض شديد في الجانب الأيمن للمدرج، ثم تعاود الظهور والارتفاع مرة أخرى في أقصى يمين المدرج التكراري، وتتضمن القمم الرئيسة في التوزيع التكراري للمنحدرات في المنطقة فئات الانحدار التالية؛ صفر - ٣ درجة، ٤ - ١٠ درجة، ٦٠ - ٩٠ درجة.

يتضح مما سبق سيادة الانحدارات الشديدة أيضاً ولكن بنسبة قليلة نظراً لسيادة الحواف الصدمية وحواف أسطح الصدع، بالإضافة إلى المنحدرات الشديدة المتمثلة في الجوانب المطلة على الأودية، ومنحدرات الحافة الرئيسة الممتدة بعرض المنطقة.

ثانياً : معدل التقوس : Curvature

يمكن تحديد معدل التقوس على طول عدد متتابع من القراءات والزوايا الانحدار والمسافات المقاسة في حقل، إما عند نقطة معينة على خط القطاع أو لمسافة مقاسه واحدة على خط القطاع أو لمجموعة مسافات مقاسه على خط القطاع وذلك كالتالي :

(١) قياس معامل التقوس عند نقطة معينة على خط القطاع كالتالى :



فإذا فرض وجود مسافتين هما (أ ، ب) ، وكان طول فائدة ١٠ متر وانحدار كل مسافة ١٠ ، ٧ على التوالى ، فإن معامل التقوس للنقطة (س) بين المسافتين (أ ، ب) تحسب كالتالى :

$$م. ق = \frac{ز أ - ز ب}{\frac{١}{٢} (أ + ب)} \times ١٠٠ = \text{درجة} / ١٠٠ \text{ متر}$$

هكذا أن :

م ق = معامل التقوس درجة / ١٠٠ متر .

ز أ = درجة انحدار المسافة (أ) .

ز ب = درجة انحدار المسافة (ب) .

وبالتالى يكون معامل التقوس عند النقطة (س) = ٣٠ / ١٠٠ متر

(٣) قياس معامل التقوس لمسافة على خط القطاع :

يعتمد قياس معامل التقوس لمسافة من لأهمية لمعرفة ما إذا كانت هذه المسافة تقع ضمن جزء المنحدرى أو عنصر المنحدرى ولمعرفة ذلك نأخذ المثال التالى :

"لو كانت هناك مسافة (أ ، ب ، ج) طول كل منها ١٠ متر ودرجة ميل كل منها (٥ ، ٧ ، ١٠) على التوالى " ، فإن معامل التقوس لكل مسافة يتم حسابه كالتالى :

$$م. ق = \frac{ز أ - ز ج}{\frac{١}{٢} أ + ب + \frac{١}{٢} ج} \times ١٠٠ = \text{درجة} / ١٠٠ \text{ متر}$$

فتكون النتيجة كالتالى :

(١٠ / ١٠٠ متر ، ٢٥ / ١٠٠ متر ، ١٥ / ١٠٠ متر) على التوالى .

(٣) قياس معامل التقوس لجزء من القطاع يحتوى على عدد من المسافات المقاسة فى الميدان ودرجات انحدارها .
 لقياس معامل التقوس لجزء من القطاع يحتوى على عدد من المسافات المقاسة وبالقياسون
 السابق فإذا ذلك يتطلب وقت وجهد كبير ولذلك فإن هناك طريقة تسهل هذه العملية ويختصره
 من خلال المعادلة التالية :

$$م ق = \frac{ر أ - ز ج}{ل \times ١٠٠} = \text{درجة} / ١٠٠ \text{ متر}$$

(Ahnert, 1970)

حيث أن :

ل = مجموع أطوال المسافات المقاسة بالأمتار .

ز أ = درجة انحدار المسافة العليا .

ز ج = درجة انحدار المسافة الدنيا .

.... ومن ثم فإن معامل التقوس بالنسبة للمثل السابق يكون ١٥,٢ / ١٠٠ متر .

.... وللعلم فإن هذا المعامل يمثل متوسط معاملات التقوس للقراءات فى المثال السابق

عند حسابها بالقانون السابق فى النقطة (٢) .

فى النهاية يمكن القول بأن معامل التقوس من المقاييس الهامة لتحديد أجزاء القطاع
 الانحدارية وهو أكثر دقة من الوصف النظرى من خلال شكل القطاع البيان، وعموماً فإن قيمة
 معامل التقوس تكون صفراً فى حالة الأجزاء المستقيمة من القطاع بينما تكون القيمة موجبة
 للعناصر المحدبة وسالبة للعناصر المقعرة، ومن خلال نتائج هذا المعامل يكون تفسير أشكال
 المنحدرات الموجودة بمنطقة الدراسة وطبيعة العوامل الجيومورفولوجية التى أثرت فى المنطقة
 والتكوينات الجيولوجية والقراءات المناخية السائدة بالمنطقة لأن مثل هذه العوامل يكون لها الأثر
 الأكبر فى تغير شكل المنحدرات وتطورها خلال العصور المختلفة، هذا بالإضافة إلى إمكانية المقارنة
 بين منطقة الدراسة وأجزاء ومناطق أخرى مختلفة ثم دراستها من قبل والوقوف على عوامل
 الاختلاف بين المنطقتين وتفسير تلك النتائج من وجهة نظر الجيومورفولوجيا .

... وتأكيداً لما سبق فقد تم تطبيق مقياس التقوس على منحدرات منطقة الجلالة القبلية بالصحراء الشرقية

- بمصر :-

وقسمها المؤلف إلى ثلاثة أقسام :

(١) التقوس على منحدرات المنطقة بصفة عامة .

(٢) التقوس على منحدرات جوارب الأودية بأجزائها المختلفة .

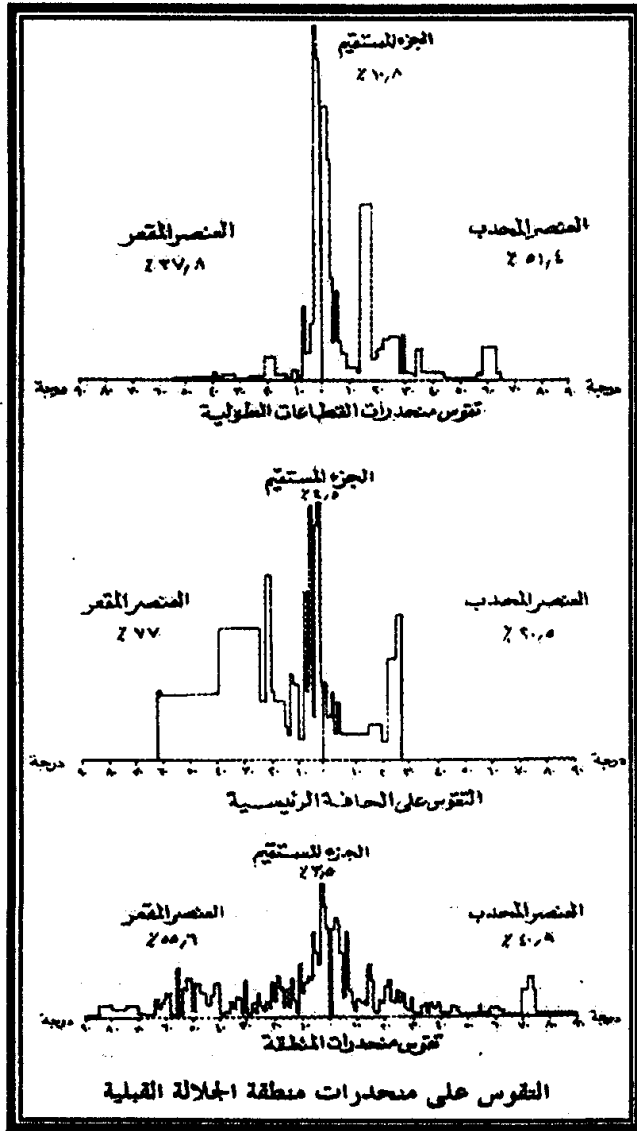
(٣) التقوس على منحدرات الحافة الرئيسية .

(٤) تقوس منحدرات القطاعات الطولية

أولاً : تقوس منحدرات منطقة الجلالة القبلية :

جدول (٦) فئات التقوس والنسبة المئوية لأشكالها على منحدرات منطقة الجلالة القبلية

فئات التقوس (درجة)	شكل التقوس (الانحدار)	المسافة المخرجة			المسافة المخرجة		
		الطول (متر)	% من طول المسافات المخرجة	% من طول العنصر	الطول (متر)	% من طول المسافات المخرجة	% من طول العنصر
١ - ١٠	خفيف الانحدار	٣٨٤٤	٤٣,٦	١٧,٨	٥٤٣٩	٤٥,٣	٢٥,٢
١١ - ٣٠	متوسط	٣٠٦٤	٣٤,٧	١٤,٢	٢٨٩٧,٥	٢٤,٢	١٣,٤
٣١ - ٤٥	شديد	٦٩٠,٥	٧,٨	٣,٤	١١٠٩,٥	٩,٢	٥,١
أكثر من ٤٥	جروف	١٢٢٤	١٣,٩	٥,٧	٢٥٥٤,٥	٢١,٣	١١,٨
الإجمالي		٨٨٢٢,٥	١٠٠%	٤٠,٩%	١٢٠٠٠,٥	١٠٠%	٥٥,٦%



شكل (١٩)

من الجدول (٦) والشكل (١٩) انضج ما يلي :

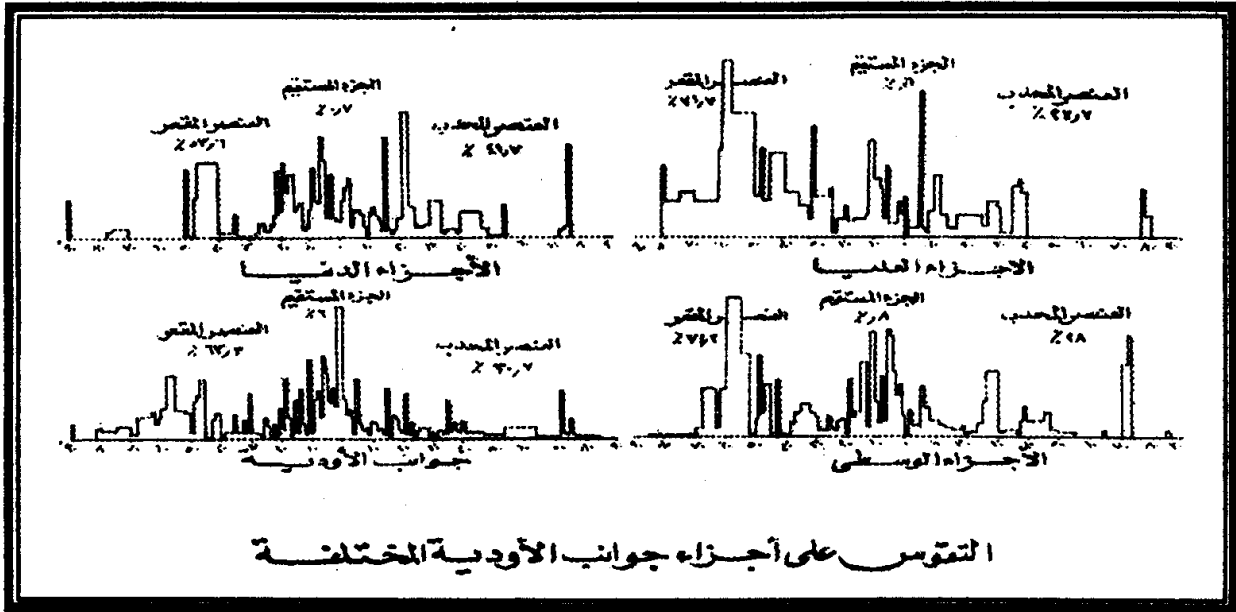
- تشكيل العناصر المقعرة نسبة ٥٥,٦% من أطوال القطاعات في المنطقة، في حين تستحوذ العناصر المحدبة على ٤٠,٩% بينما تنخفض نسبة الأجزاء المستقيمة إلى ٣,٥% وشيوع العناصر المقعرة يعد مؤشرا هاما على أن المياه الجارية كانت العامل الجيومورفولوجي الرئيسي في تشكيل سطح المنطقة، ويؤكد ذلك فينمان FENEMAN حيث ربط بين شكل المنحدر والظروف المناخية، ورأى أن الشكل المقعر يتطور في الأقاليم حيث تزداد مساحة الأجزاء الانحدارية المتأثرة بالماء الجارى، وأن الشكل المحدب ينشأ في الأقاليم الجافة بسبب اختلاف العمليات الجيومورفولوجية السائدة في الأقاليم المناخية المختلفة (سلامة، ١٩٨٧، ص ص ١٧ - ١٨) وإن كان أيضاً للحركات الأرضية ونوعية الصخر أثرها في أشكال المنحدرات.

- تشغل فئات التقوس الخفيف الانحدار نسبة كبيرة على العناصر المقعرة والمحدبة حيث كانت فئة التقوس خفيف الانحدار ٤٣,٦٪ من العناصر المحدبة، بينما كانت نسبتها ١٧,٨٪ من طول المسافات المقاسه، في حين بلغت هذه الفئة ٤٥,٣٪ من طول العناصر المقعرة ونسبة ٢٥,٢٪ من إجمالي المسافات، وهذا يعد مؤشرا على تقدم المنطقة في دورتها للمحاذية وسيادة نشاط عوامل التعرية وعمليات التجوية على طول قطاعات المنحدرات وان كان لنظام الصخر ونوعه أثره في ذلك.
- ارتفاع نسبة الفئات الدنيا في كل من العناصر المقعرة و المحدبة، وانخفاض النسب في الأجزاء الوسطى ثم تعاود الارتفاع مرة أخرى في الأجزاء العليا والجروف، وذلك لشيوع الزوايا من صفر - ٣٠ درجة وان كان هناك ارتفاع في الأجزاء الوسطى في الجانب المقعر لزيادة نسب العناصر المقعرة بصفة عامة في المنطقة.
- تشغل نسبة الجروف ١٣,٩٪ من أطول الأجزاء المقاسه من المسافات المحدبة ونسبة ٢١,٣٪ من أجزاء المسافات المقعرة، في حين شغلت منحدرات التقوس الشديد (٣١-٤٥ درجة) أقل الأجزاء حيث بلغت نسبتها في العناصر المحدبة ٧,٨٪، بينما شغلت نسبة ٩,٢٪ من العناصر المقعرة.

(أ) التقوس على منحدرات جوانب الأودية :

جدول (٧ أ) فئات التقوس والنسبة المئوية لأشكالها على سقوف جوانب الأودية

فئات التقوس (درجة)	شكل التقوس (الانحدار)	المسافة المحدبة			المسافة المقعرة		
		الطول (متر)	٪ من طول المسافات المحدبة	٪ من طول العنصر	الطول (متر)	٪ من طول المسافات المقعرة	٪ من طول العنصر
صفر - ١٠	خفيف الانحدار	١٤٠٤	٣١,٥	٩,٧	٣١٠٧	٣٣,٦	٢١,٢
١١ - ٣٠	متوسط	١٥٨٢	٣٥,٥	١٠,٩	٢٤٠٨,٥	٢٦,٠	١٦,٦
٣١ - ٤٥	شديد	٧٣٣,٥	١٦,٧	٥,١	١٢٤٣	١٣,٤	١٨,٤
أكثر من ٤٥	جروف	٧٣٦	١٦,٥	٥,٠	٢٤٩١	٢٧,٠	١٧,١
الإجمالي		٤٤٥٥,٥	٪١٠٠	٣٠,٧	٩٢٤٩,٥	٪١٠٠	٪٦٣,٣



شكل (٣٠)

من الجدول (٧) والشكل (٣٠) انضم ما يلي :

- تشغل العناصر المقعرة ٦٣,٣% من إجمالي القطاعات، بينما تشغل العناصر المخدبة ٣٠,٧% أي بنسبة ٢,١ : ١ ويرجع انخفاض النسبة إلى سيادة الجروف، ولأن العامل الرئيسي في حفر وتشكيل هذه الأودية هي المياه الجارية، في حين بلغت نسبة الأجزاء المستقيمة ٦% من إجمالي القطاعات.
- ترتفع نسبة الفئات الوسطى في العناصر المخدبة، نظراً لسيادة وارتفاع واجهات المصاطب النهرية حيث تشرف مباشرة على القاع، أما في العناصر المقعرة فترتفع نسبة الفئات الدنيا بنسبة ٢١,٢%، كما ترتفع نسبة الجروف إلى أكثر من ١٧% وما يزيد من نسبة الجروف امتداد مخروطات الهشيم واتساع أسطح المصاطب دوره في زيادة نسبة الفئات الدنيا.
- بلغت نسبة التقوس بمنحدرات جوانب الأودية (٥,٥) مما يشير إلى سيادة المنحدرات المقعرة على الأشكال المخدبة، وتتفق تقريباً مع نسبة التقوس على منحدرات المنطقة كلها، وذلك لأن العامل الرئيسي المشكل لمنحدرات وظاهرات المنطقة هي المياه الجارية بالإضافة إلى بعض العوامل الأخرى مثل الحركات الأرضية ونوع الصخر ونظامه والظروف المناخية السائدة. أما عن التقوس بالنسبة لأجزاء الأودية فيكون كالآتي :

(١) التقوس على الأجزاء العليا للأودية :

جدول (٧ ب) نسبة التقوس على طول الأجزاء المختلفة لجوانب الأودية

شكل المنحدر	الأجزاء العليا % من العنصر	الأجزاء الوسطى % من العنصر	الأجزاء الدنيا % من العنصر
مستقيم	٠,٦	٠,٨	٠,٧
محدب خفيف	١١,٦	٦,٥	١١,٣
محدب متوسط	٦,٨	٧,٩	٢١,٤
محدب شديد	٧,١	٣,١	٢,٠
شديد جدل	٢,٢	١٠,٥	٧,٠
جملته الخدب	٢٧,٧%	٢٨,٠%	٤١,٧%
مقعر خفيف	١٦,٤	٢٧,٣	٢١,١
مقعر متوسط	١٣,٩	١٤,١	٢٠,٣
مقعر شديد	٩,٦	٨,٤	٤,٨
مقعر شديد جداً	٣١,٨	٢١,٤	٧,٤
جملته المقعر	٧١,٧	٧١,٢	٥٣,٦
نسبة التقوس	٠,٠٤	٠,٣٩	٠,٧٧

من الجدول (٧) والشكل (٢١) انضم ما يلي :

- ترتفع نسبة العناصر المتعرة إلى ٧١,٧% في حين بلغت نسبة العناصر المحدبة ٢٧,٧% بينما وصلت الأجزاء المستقيمة إلى ٠,٦%.
- ترتفع نسبة الفئات الدنيا إلى ١١,٦% في العناصر المحدبة ، بينما انخفضت نسبة هذه الفئات الدنيا إلى ١٦,٤% في العناصر المقعرة ، في حين ترتفع العناصر المقعرة ذات التفرع الشديد جدا إلى ٣١,٨% في الأجزاء العليا وقد يرجع ذلك لشدة استقامة المنحدرات

وزيادة الركامات الكتلية شديدة الانحدار أسفل الأجزاء المرتفعة ذات الشكل الرأسى المستقيم.

- ترتفع نسبة المنحدرات ذات التفرع المتوسط إلى ١٣,٩% ويرجع ذلك لطول المسافة التي تشغلها الأجزاء المغطاة بالمخروطات، وضيق الجارى المائية والتي تغطى في معظم الأودية بالكتل الكبيرة التي تنهار من جوانب الأودية المرتفعة.
- بلغت نسبة التقوس على منحدرات القطاعات العليا للأودية ٠,٤% وهي نسبة ضئيلة جداً، مما تشير إلى سيادة المنحدرات المقعرة.

(٢) التقوس على الأجزاء الوسطى للأودية

من الجدول (٧) والشكل (٢١) انضم ما يلي :

- ترتفع نسبة العناصر المقعرة إلى ٧١,٢% عن العناصر المحدبة التي نسبتها ٢٨% أما الأجزاء المستقيمة فتبلغ نسبتها ٠,٨%.
- ترتفع أيضا نسبة الفئات الدنيا بالنسبة للعناصر المقعرة إلى ٢٧,٣% في حين تنخفض هذه الفئات الدنيا في العناصر المحدبة لارتفاع نسبة الجروف إلى ١٠,٥%.
- كما ترتفع أيضا نسبة المقعرات الوسطى لوجود المصاطب مخروطات الهشيم في هذه الأجزاء.

- ترتفع نسبة المكدبات الشديدة جداً في الأجزاء العليا ويرجع ذلك بصفة عامة إلى عوامل الجاذبة وارتطام المطر *Rain Splash*، واكتساح الركامات السطحية بفعل الغسل السطحي *Surface Wash*، لاسيما على السطوح العارية الخالية من غطاءات نباتية وجدير بالذكر أن غالبية جوانب الأودية عارية تماماً من النباتات في المنطقة وإن وُجِدَتْ فهي بصورة قزمية.
- بلغت نسبة القوس على طول قطاعات الأجزاء الوسطى للأودية ٠,٣٩، مما يشير إلى سيادة المنحدرات المقعرة على المنحدرات المكدبة.
- تزيد نسبة الفئات الوسطى والدنيا على العناصر المكدبة وقد يرجع ذلك إلى أنها قريبة من مصدر المفتات كما أنها تمثل السطح الأول الذي يتم عليه الترسيب.

(٣) القوس على الأجزاء الدنيا للأودية :

من الجدول (٧) والشكل (٣١) انضم ما يلي :

- ترتفع نسبة العناصر المقعرة إلى ٥٣,٦% في حين تبلغ نسبة العناصر المكدبة ٤١,٧% أما الأجزاء المستقيمة فتبلغ نسبتها ٠,٧%.
- تزيد نسبة الفئات الدنيا والمتوسطة في العناصر المكدبة و المقعرة على السواء، حيث بلغت نسبتها على الترتيب ٣٢,٧% و ٤١,٤%، وذلك لزيادة المفتات والركامات على جوانب الأودية واتساع قيعان الأودية، علاوة على أن الأودية في هذه الأجزاء الدنيا تعكس مرحلة التحات الأخيرة والتي تزيد فيها المفتات الدنيا والوسطى عنها في الفئات العليا.
- تزيد نسبة المكدبات في الأجزاء الدنيا عنها في الأجزاء العليا والوسطى للأودية، ويجب أن يكون العكس لكن تمثل القطاعات الدنيا مخارج الأودية من الحافة الرئيسة وهي تكون بصورة خانقية شديدة الانحدار، وليس أدل على ذلك من تساوى نسبة الفئات الانحدارية الشديدة سواء في العناصر المكدبة أو العناصر المقعرة.
- ارتفعت نسبة القوس في الأجزاء الدنيا للأودية إلى ٠,٧٧، مما يشير إلى سيادة الشكل المكدب بنسبة ١ : ١,٣ وهي أعلى نسبة على مستوى المنطقة.

انضم من خلال خصائص القوس على أجزاء الأودية المختلفة ما يلي :

- ترتفع نسبة الفئات الدنيا والمتوسطة في العناصر المكدبة والمقعرة حيث تشغل على الترتيب ١٨,٤ و ٣٠,٣% في الأجزاء العليا، ونسبة ١٤,٤% و ٤١,٤% من الأجزاء لوسطى، في حين تمثل نسبة ٣٢,٧% و ٤١,٤% من الأجزاء الدنيا، مما يعطى مؤشراً على زيادة مخروقات الرواسب على جوانب الأودية، وتقدمها في الدورة التحاتية وزيادة نشاط عمليات التجوية على منحدراتها المختلفة.

- تقل نسبة المجموعات التي تتميز بالتقوس الشديد سواء أكان محدباً أم مقعراً فقد بلغت نسبة درجات التقوس العليا الموجبة المخصوصة بين ٣٠ - ٩٠ درجة. نحو ٩,٣% و ١٣,٦% و ٩% على الأجزاء العليا والوسطى والدنيا بالترتيب، في حين بلغت درجات التقوس العليا السالبة المخصوصة بين (٣٠-) - (٩٠-) درجة نحو ٤١,٤% و ٢٩,٨% و ١٢,٢% على الترتيب كما تقل نسبة الأجزاء المستقيمة على جميع أجزاء الأودية نظراً لضيق مجارى المائية بصفة عامة، وزيادة رواسب السيول والانهيالات التي تملأ بطون الأودية.
- تدرج نسبة التقوس في الارتفاع من الأجزاء الدنيا إلى الوسطى فالعليا على الترتيب ٠,٠٤ ، ٠,٣٩ ، ٠,٧٧ ، ويلاحظ من خلال هذه النسبة انخفاضها في الأجزاء الدنيا وارتفاعها في الأجزاء العليا، ويرجع ذلك إلى اختلاف الخصائص الليثولوجية للتكوينات وأطوارها العمرية المختلفة وظروف الجفاف التي تتعرض لها المنطقة.
- تشغل العناصر نسبة ٧١,٧% ، ٧١,٢% ، ٥٣,٦% على الترتيب في الأجزاء العليا والوسطى والدنيا، في حين تمثل العناصر المحدبة على الترتيب ٢٧,٧% ، ٢٨% ، ٤١,٧% من جملة الأطوال، بينما استحوذت الأجزاء المستقيمة على نسب ٠,٦% ، ٠,٨% ، ٠,٧% على الترتيب، ويتضح من ذلك مدى سيادة الانحدارات المقعرة على جوانب الأودية وتتفق في هذه مع منحدرات المنطقة، وهذا يُعدُّ دليلاً على أثر المياه الجارية في تشكيل منحدراتها حيث عملت على حفر وتعميق هذه الأودية.

(ب) التقوس على منحدرات القطاعات الطولية :

جدول (٨) فئات التقوس والنسبة المئوية لأشكالها على منحدرات القطاعات الطولية

فئات التقوس	خصائص التقوس	% من المسافات المحدبة	% من المسافات المقعرة	نسبة التقوس
صفر - ١٠	خفيف الانحدار	٣١,٩	٣٤,٤	
١١ - ٣٠	متوسط الانحدار	١٥,٠	٢,٥	
٣١ - ٩٠	شديد الانحدار	٤,٥	٠,٩	
الإجمالي		٥١,٤	٣٧,٨	١,٣

من الجدول (٨) والشكل (٣٠) اتضح ما يلي :

- بلغت نسبة العناصر المحدبة ٥١,٤% والعناصر المقعرة نسبة ٣٧,٨%، أما الأجزاء المستقيمة فبلغت نسبتها ١٠,٨% وتختلف عن التقوس في منطقة الدراسة، حيث يسود بها العناصر المحدبة نظراً لتعدد نقط تغير الانحدار، والتي ترتفع درجات انحدارها كثيراً نتيجة للاختلافات الليثولوجية للتكوينات، وتغير مستوى القاعدة للأودية خلا الفترات السابقة.

- ترتفع نسبة الأجزاء المستقيمة إلى ١٠,٨٪ وارتفاع هذه النسبة للأجزاء المستقيمة يرجع إلى وجود وحدات الانحدارية طويلة ذات الانحدار واحد تقريباً.
- ترتفع نسبة الانحدارات الخفيفة من (صفر - ١٠) درجة إلى ٣١,٩٪ من المسافات الخدبة ونسبة ٣٤,٤٪ من المسافات المقعرة، في حين تمثل فئة الانحدار المتوسط (١١ - ٣٠) درجة نسبة ١٥٪ من العناصر الخدبة ونسبة ٢,٥٪ من العناصر المقعرة، أما الانحدارات الشديدة (٣١ - ٩٠) درجة فتقل نسبتها عن ٥,٤٪.
- بلغت نسبة التقوس ١,٣٪ مما يؤكد سيادة المنحدرات المقعرة - الخدبة والتي تمثل نقط غير الانحدار. من الشكل (٢٠) يلاحظ ما يلي:
 - تتميز القطاعات الطولية للأودية بأنها تسير في شكل مقوس دون أى تغير واختلاف في الشكل باستثناء بعض نقاط تغير الانحدار الخفيفة كما في قطاع وادى أم عنة وروافد وادى أركاس ووادى أبو غرادن، نظراً لأن منابعهم من الحافة الرئيسة حيث أطوالهم قليلة وبالإضافة لتجانس التكوينات على طول هذه الأودية مما عمل على تنظيم قطاعاتها الطولية.
 - تزيد نقط تغير الانحدار على طول قطاع وادى أبو عظام ووادى العبيد، نظراً لأن وادى أبو عظام في مرحلة متقدمة من دورته للتعرية، علاوة على أنه ينبع من مناطق مرتفعة (تزيد عن ١٠٠٠ متر) بالإضافة إلى الاختلافات الليثولوجية للتكوينات. تغطي معظم القطاعات الطولية برواسب السيول الحديثة الناعمة والخشنة أحياناً لاسيما في أعالي الأودية.

(ج) التقوس على الحافة الرئيسة :

جدول (٩) فئات التقوس والنسبة المئوية لأشكالها على جوانب الحافة الرئيسة

فئات التقوس (درجة)	شكل التقوس (الانحدار)	المسافة الخدبة			المسافة المقعرة	
		الطول (متر)	% من طول المسافات الخدبة	% من طول العنصر	الطول (متر)	% من طول المسافات المقعرة
١٠ - ١	خفيف الانحدار	١١٥	٣٧,٦	٧,٧	٦٨٥	٦٠,٣
٣٠ - ١١	متوسط	٩١	٦٢,٤	١٢,٨	٣٨١	٣٣,٥
٤٥ - ٣١	سديد	—	—	—	٣٠	٢,٧
أكثر من ٤٥	شديد الانحدار	—	—	—	٤٠	٣,٥
الإجمالي		٣٠٦	١٠٠	٢٠,٥	١١٣٦	١٠٠
						٧٧,٠

من الجدول (٩) والشكل (٣١) اتضح ما يلي :

- بلغت نسبة العنصر المكدب على جوانب الحافة ٢٠,٥٪، في حين بلغت نسبة العنصر المقعر ٧٧٪، أما الأجزاء المستقيمة فكانت نسبتها ٢,٥٪.

- شغلت الانحدارات الخفيفة (١ - ١٠ درجة) نسبة ٣٧,٦٪ من العنصر المقعر ونسبة ٤٦,٢٪ من المسافات الكلية، أما انحدبات المتوسطة (١١ - ٣٠ درجة) فبلغت نسبتها ١٢,٨٪ حيث كانت نسبة المقعرات المتوسطة ٢٥,٥٪ من جولة الأطوال وقد يرجع ذلك لطول المسافات التي تغطيها مخروطات الهشيم وأسطح البیدمت وأسطح المراوح الفيضية ذات الانحدار الخفيف، مما يشير إلى أن منحدرات الحافة الرئيسة تمر بمرحلة التطور الأخيرة.
- شغلت أيضاً المقعرات الشديدة والشديدة جداً (٣١ - ٩٠ درجة) نسبة ٥,٣٪ من المسافات المقاسة، في حين لم تظهر أى نسب تذكر للمحدبات الشديدة والشديدة جداً.
- كما بلغت نسبة الأجزاء المستقيمة ٢,٥٪، وتمثلت في المكاشف الجيرية التي تقف في صورة جروف على طول الحافة الرئيسة.
- بلغت نسبة التقوس ٠,٢٦٪ وهذا مؤشر على سيادة المنحدرات المقعرة على مثلها كما في جوانب الأودية، ووضوح أثر المياه الجارية في تشكيل منحدرات الحافة الرئيسة مثلها مثل جوانب الأودية ومنحدرات منطقة الدراسة.

استنتاج تطور المنحدرات :

يعتقد المؤلف بأن الدراسة المورفولوجية للمنحدرات لا ينبغي أن تقتصر على وصف أشكالها فقط، بل ينبغي معرفة تطورها وتفسير أنماط هذا التطور والوقوف على أهم العمليات والعوامل الجيومورفولوجية التي أثرت في تشكيلها، حتى أصبحت على صورتها الحالية.

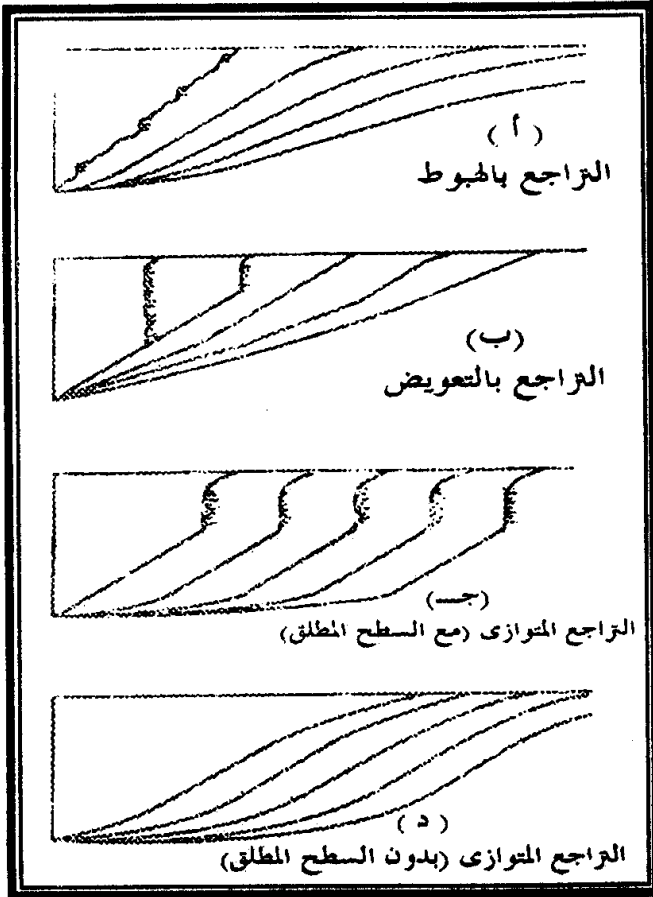
ويقصد بتطور المنحدرات تغير أشكالها مع مرور الزمن، ولكي يتم معرفة وتبع تطور المنحدرات يتطلب المر عمل بعض النماذج التي توضح كيفية تطورها ومعرفة العوامل التي أسهمت في تشكيلها وتطورها مثل التكوين الجيولوجي والظروف المناخية في الماضي والحاضر، هذا بالإضافة إلى معرفة الأشكال الحالية للمنحدرات وخصائص زوايا الانحدار بها وطبيعة الزوايا الشائعة عليها، وللعلم فإن بناء مثل هذه النماذج من الصعوبة بمكانة لمعرفة مراحل تطور المنحدرات.

هذا وقد اجتهد العديد من الجيومورفولوجين للتغلب على صعوبة دراسة مراحل تطور المنحدرات وذلك طريقة وضع نماذج مختلفة^(٢) خاصة بأشكال المنحدرات وما يعترها من تغير خلال مراحل تطورها والهدف من ذلك يتمثل في تفهم تطور أشكال المنحدرات خلال تاريخها الجيومورفولوجي الذي يصعب تتبعه بالقياس من الطبيعة (محمد صبرى محسوب، ١٩٩٧، ص ١٣٢)، وقد أورد ينج (Young, 1972) طريقة تطور المنحدرات وتراجعها حسب الفرضيات الثلاثة التي طورها الجيومورفولوجيون لدراسة تطور المنحدرات (يحيى فرحان، بدون، ص ص ٩٠ - ٩٢) كالتالي :

(٢) من هذه النماذج :

- | | |
|----------------|-----------------|
| - Young Model | - Wood's Model |
| - Penk's Model | - Caine's Model |

وللاستزادة انظر : (Young, 1972).



عن: يحيى فرحان ص ٩٢

شكل (٢١) تراجع المنحدرات

(١) الفرضية الأولى :

ترى أنه إذا تراجع المنحدر في جميع النقاط بنفس المقدار فإن هذا يعرف بالتراجع المتوازي للمنحدر، شكل (٢١).

(٢) الفرضية الثانية :

ترى أنه في حالة بقاء القسم الأسفل من القطاع ثابتاً في حين يتراجع القسم العلوي منه، فإن المنحدر يتراجع بطريقة الهبوط *Slope Decline* حيث تتناقص درجات الانحدار على الطول الكلي للقطاع جنباً إلى جنب مع تناقص ارتفاع المنحدر.

(٣) الفرضية الثالثة :

ترى أنه إذا تراجع قطاع الانحدار في جميع نقاطه وكان معدل التراجع

في القسم العلوي منه أكبر من معدل تراجع الجزء السفلي فإن عملية التراجع تلك تتم بطريقة التراجع المتوازي والتراجع بالهبوط، وقد يتم تراجع المنحدر بطريقة التقويض أو الإحلال *Slope Replacement* وفيه يقل الميل الأفقي للقطاع ويعوضه في المقابل تكون وحدة انحدارية خفيفة الانحدار أسفله، ويؤدي هذا النمط من التراجع إلى تحول القمم الأكبر في القطاع إلى عنصر انحداري مقعر متصل أو متقطع.

وفي هذا يرى (فرحان، بدون، ص ٩١)، أنه عند تراجع المنحدر بطريقة التقويض فإن العنصر المقعر بشكل نسبة ٦٠٪ من الطول الكلي للقطاع، بينما لا يزيد طول العنصر المحدب عن ٥٪ من الطول الكلي لقطاع، أما عندما يتراجع المنحدر بطريقة الهبوط فإن العنصر المحدب بشكل حوالي ٢٠٪ من الطول الكلي للقطاع بينما يزيد العنصر المقعر في أغلب الأحوال عن ١٠٪ من الطول الكلي للقطاع.

... ولكن هذه الفرضيات التي وضعها كل من وود *Wood* وبنك *Penk* يشوبها النقد حيث أنها تتطلب شروطاً معينة، يصعب توافرها وانتظامها في الطبيعة، فمثلاً يتطلب نموذج كل من وود وبنك شروطاً مثالية أهمها :

- (١) تجانس التركيب الصخري للمنحدر الأصلي.
 - (٢) التجوية وهي العامل الوحيد في نحت الواجهة الصخرية والانهيارات الأرضية هي الوسيلة الوحيدة لنقل المفتتات الناجمة عن هذه التجوية.
 - (٣) تجانس معدلات التجوية على طول سطح الواجهة.
 - (٤) افتراض عدم تغير الظروف المناخية أو مستوى القاعدة.
 - (٥) وجود مساحة كبيرة منبسطة عند قاعدة المنحدر تتلقى الرواسب المنهارة.
- ... من خلال تحليل المؤلف ودراسته للمنحدرات على القطاعات الميدانية التي تم قياسها على منحدرات الحافة الشمالية لهضبة الجلالة الجنوبية (الحافة الرئيسية، جوانب الأودية) (أحمد ضاحي، ١٩٩٩، ص ص ١٣١ - ١٣٢).
- اتضح أن أشكالها تتباين على قطاعات الحافة الرئيسية عنها على قطاعات جوانب الأودية حيث كانت معظم المنحدرات جوانب الأودية شديدة الانحدار لاسيما على مكاشف الحجر الجيري الأيوسيني التي تقف في صورة واجهات حرة *Free Face* على جوانب الأودية، ونظراً لشدة تأثيرها بمجموعة من الفواصل والشقوق مما أدى إلى انهيارها لاسيما بعد تعرضها للأمطار ومن ثم تعرضت للتراجع، وقد يتباين هذا التراجع على أجزاء الأودية المختلفة، فيكون على الأجزاء العليا والوسطى في شكل تراجع متوازي مع وجود سطح مطلق نظراً لشدة انحدار جوانبه وزيادة تعميق مجاريه فيظهر قطاعه العرضي على هيئة حرف (V) ، على عكس الأجزاء الدنيا حيث تتسع الأودية وتزيد الانهيارات الأرضية الناعمة وتقل حركة المواد على المنحدرات لذا يقتصر التراجع فقد على الأجزاء التي تمثل الواجهة الصخرية من صخور الحجر الجيري الأيوسيني في كل الأودية تقريباً.
- أما بالنسبة للحافة الرئيسية فإن غالبية جوانبها تكون ذات المنحدرات خفيفة وتزيد العناصر المقعرة فيها على ٧٧٪ من إجمالي القطاعات ومن هنا تكون طريقة تراجعها بطريقة التعويض والإحلال، وذلك لاتساع سطح البيدمنت، ومثل هذه السطوح تعد اكبر دليل على فعل المسيلات المائية والفيضانات الغطائية التي تتاب الحافة الرئيسية حيث عملت على تآكل وتراجع الواجهة الصحراوية وزيادة المفتتات أسفلها وزاد من امتداد هذه المفتتات أيضاً تلك الأمطار الغزيرة التي تعرضت لها المنطقة أثناء الفترات المطيرة في البلايستوسين بالإضافة إلى السيول الحديثة مما عمل على تحريك المواد المفتتة أسفل منحدرات الحافة الرئيسية.

هذا وتختلف طريقة تطور وتراجع المنحدرات في المنطقة، وذلك حسب المراحل العمرية والظروف الجيومورفولوجية والتكتونية التي تمر بها الأودية من خلال الظروف الجغرافية والحركات الأرضية أثناء الميوسين والظروف المطيرة خلال البلايستوسين نشطت على أثرها الأودية وأحدثت تعمق وتكون مجاريها، ومن ثم أصبح شكل الوادي على هيئة شكل (V) ذو جوانب شديدة الانحدار. ومع هذا الانحدار الشديد للجوانب، لم تتكون مفتتات وانحيازات أرضية، ومن ثم لم يكن هناك تراجع للحواف بصورة كبيرة، وإنما كان في صورة تراجع متواز، أى أن كل أجزاء المنحدر حدث لها تراجع وتبدو آثار هذا التراجع في الكتل الكبيرة المنهارة التي تملأ قيعان أعالي معظم الأودية.

ومع تطور الظروف الجغرافية زادت المواد المنهارة والمفتتات على جوانب الأودية واتسعت الأجزاء المغطاة بالمفتتات لاسيما في الأجزاء الوسطى والدنيا من الودية وأخذت تقل كثيراً الجزء المستقيم من جوانب الأودية الوسطى والدنيا ومع تعرض المنطقة فيما بعد لظروف الجفاف ونشاط عوامل التجوية أصبح التراجع هذا عن طريق التعويض والإحلال.

والدليل على تعاقب الجفاف والمطر بمنطقة الجلالة القبلية بالصحراء الشرقية بمصر، تعدد ظاهرة المصاطب وانتشارها على جوانب الأودية، وزيادة منحدرات نقط تغير الانحدار، واتساع كبير في نطاق البيدمنت والتي يشير اتساعها على تكوينها في فترات أكثر مطراً، حيث كانت المياه تشغل أكبر مساحة من الأودية التي تقطع المنطقة، كما يفصل سطح البيدمنت من أعالي جزء أكثر ارتفاعاً واشد انحداراً بمعنى أن زاوية الاتصال بين السطحين تكون حادة ويرجعها مابوت Mabbutt إلى ظروف شبه جافة (Mabbutt, 1997, p.85) مع مراعاة أن هذه الزاوية ليست ثابتة بل تختلف من قطاع لآخر حسب خصائص الانحدار.

... ومن خلال ما سبق يمكن القول أن هناك تبايناً في أشكال المنحدرات وتطورها على مستوى منطقة الجلالة القبلية ومن ثم اختلفت معها طريقة تراجعها وتطورها فكان تراجع متوازى على الأجزاء العليا وبعض الأجزاء الوسطى، بينما كانت طريقة التراجع بالإحلال والتعويض على الأجزاء الدنيا ومنحدرات الحافة الرئيسية، كما أن للظروف الجغرافية والجيولوجية والمناخية أثرها في تشكيل وتطور منحدرات منطقة الجلالة القبلية بالصحراء الشرقية بمصر.

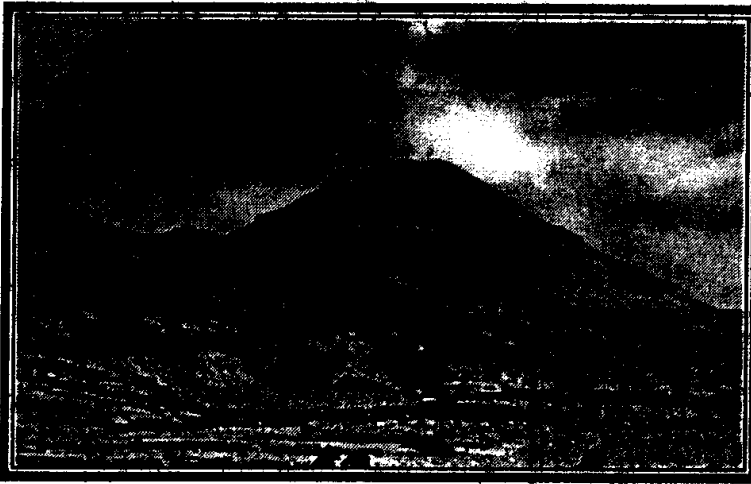
تقييم المنحدرات وتحديد أشكالها :

... من خلال العرض السابق لدراسة منحدرات وتحليل قطاعاً كمياً من حيث تحليل زوايا الانحدار ومعدلات التقوس أمكن معرفة تطورها ومن خلال هذا التطور والتحليل الكمي للمنحدرات يمكن الوقوف على تقييم وتحديد أشكال المنحدرات والتي تمثل الصورة النهائية لنموذج دراسة المنحدرات التي تبنته الدراسة الحالية.

أوضحت دراسة المنحدرات بمنطقة الجلالة القبليّة بالصحراء الشرقية بمصر أنّها تمتد على مسافات متباينة على طول القطاعات، ويذكر إمبابي (١٩٧٢، ص ٨٤) أن المنحدرات التي تمتد على مسافات طويلة يطلق عليها منحدرات كبيرة في حين تشغل الأشكال الدقيقة مسافات قصيرة. هذا وقد تم تقسيم المنحدرات وتعدد أشكالها في الصورة التالية:

(١) المنحدرات الكبيرة: والتي تنقسم إلى:

(أ) المنحدرات المحدبة - المقعرة: *Convex - Concave Slopes*



لوحة (١١) المنحدرات المحدبة - المقعرة

يظهر هذا النوع من المنحدرات على القطاعات التي تم قياسها ميدانياً، فتظهر على جوانب الأودية والحافة الرئيسية، كما يظهر أيضاً على أجزاء الأودية المختلفة لاسيما في القطاعات الوسطى ويفسر تكرار حدوث التقرع والتحدب والاستقامة في ضوء نوعية

الصخور وتبادل الطبقات الصخرية الصلبة والهشة ومدى نفاذيتها وخصائص الرواسب السطحية ونوع العملية الجيومورفولوجية السائدة والبنية الجيولوجية، فالتقرع يرتبط بالصخور غير المنفذة وبالرواسب السطحية الناعمة المتراكمة على المنحدرات ويتكون أيضاً في ظل سيادة الجريان المائي المركز، كما يتكون في ظل سيادة الجريان المائي غير المركز في حين ترتبط الأجزاء المستقيمة بالصخور الصلبة والرواسب السطحية المتنوعة الأحجام.

ومن خلال تحليل معدلات التقوس لجوانب الأودية بلغت نسبة العناصر المقعرة ٦٣,٣٪، أما العناصر المحدبة فبلغت نسبتها ٣٠,٧٪ والأجزاء المستقيمة ٦٪ شكل (٢٢) وتأكيداً لأسباب تكرار التحدب والاستقامة والتقرع فإن ظروف الأمطار الشديدة أثناء الفترات المطيرة في البلايستوسين والسيول الحديثة في الوقت الحالي عملت بدورها على تحليل وتفكك الصخور المشكلة لجوانب الأودية، وتشير الدلائل على أن المياه كانت تسير على جوانب الأودية في صورة غطاء من المياه أو ما يسمى بالجريان الانتشاري والذي يعمل على التقاط ما يصادفه من فقدانات وبالاتجاه نحو أسفل المنحدر تزداد كمية المياه، ومن ثم تزيد معها كمية الفتات التي تحملها

وبالتالى يزيد مقدار النحت ويزيد معه الانحدار ومن هنا كانت الأجزاء العليا من المنحدرات محدبة، أما الأجزاء الدنيا فيصبح غط الجريان مركزاً ويساهم بدوره فى حصر خطوط تصريف ذات انحدار حقهير ويارسابه للمفتتات على الأجزاء الدنيا من المنحدرات يتكون الشكل المقعر، أما فى الوقت الحال فيقتصر دور السيول الحديثة على تعديل المنحدرات المحدبة - المقعرة عن طريق إطالة المحدبة والمقعرة بواسطة الرواسب التى تحملها من أعالى المنحدرات.

... وقد اتضح من خلال دراسة خصائص معدلات التقوس أن المنحدرات المقعرة - المقعرة هى أكثر أشكال المنحدرات شيوعاً بالمنطقة ويرجع ذلك إلى أن العامل الجيومورفولوجى الرئيسى المسئول عن تكون وتشكيل هذه المنحدرات هو المياه الجارية (أحمد طباحى، ١٩٩٩، ص ١٢٠).

٢٠) منحدرات الجروف - المقعرة : Cliff - Concave Slopes



لوحة (١٣) منحدرات الجروف - المقعرة

أوضحت دراسة المنحدرات بمنطقة الجلالة القبلية بالصحرى الشرقية أيضاً أن النسبة المئوية للجروف^(١) بالنسبة لطول القطاعات تختلف من قطاع آخر حيث تراوحت بين ٠,٢٪ و ٧٤,٤٪ ، نفس النسبة من منحدرات المنطقة حيث بلغت ٤٤,٣٪ على جوانب الأودية و ٣٣,١٪ وقد تباينت على

منحدرات جوانب الحافة الرئيسية فى حين بلغت نسبتها ١,١٪ على منحدرات القطاعات الطولية ويفسر هذا التباين باختلاف الخصائص الليثولوجية للتكوينات على طول كل قطاع وأيضاً للعمليات الجيومورفولوجية والتى تعد من أهم العوامل المؤثرة (Young, 1972).

هذا وتتنخفض نسبتها على طول القطاعات الطولية للأودية انخفاضاً واضحاً لاسيما القطاعات الدنيا بصفة خاصة، كما تفسر قلة الجروف أيضاً على منحدرات أجزاء الدنيا وبعض أجزاء الأودية الوسطى.

(١) الجروف : هى تلك الأجزاء من المنحدرات التى تزيد زاوية انحدارها عن ٤٥ درجة، ويتكون شكل الجروف - المقعرة من قمم الدرجة القصوى ٤٠ وعنصر مقعر يشغل الجزء السفلى من المنحدر.

جدول (١٠) الخصائص الكمية للجروف بالمنطقة

الخصائص	المنحدرات	منحدرات جوانب الأودية	منحدرات الحافة الرئيسية	منحدرات القطاعات الطولية	منحدرات منطقة الدراسة
عدد القطاعات	٢٤	٣	٣	٣	٣٠
عدد الجروف	١١٠	٦	٩	١٢٥	
مجموع أطوال الجروف (متر)	٥٤٤٨,٥	٢٥٥	٣٩,٥	٥٧٤٣	
متوسط أطوال الجروف	٥٤,٦	٤٤,٢	٤,٦	٣٤,٥	
نسبة الجروف على طول القطاعات	٤٤,٣%	٣٣,١%	١,١%	٢٦,٢%	

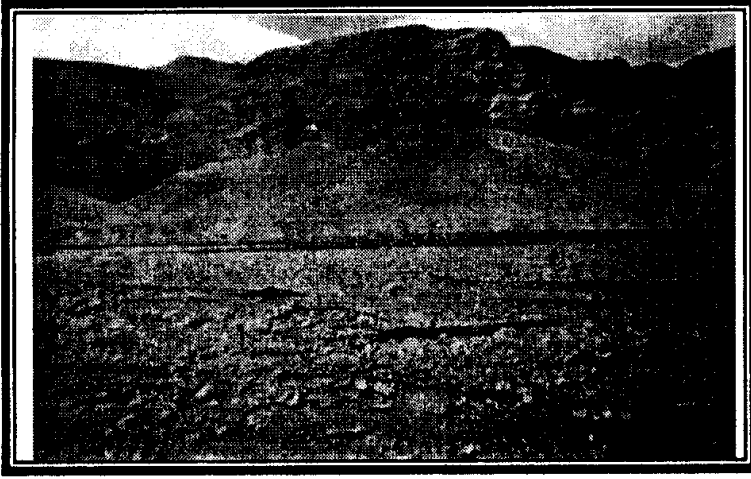
(*) الجدول من إعداد المؤلف.

إلى أنها مرت بمراحل مورفولوجية تختلف عما عداها ، فبعد أن شقت المياه مجارى الأودية خلال فترات مطيرة سابقة، عملت التجوية على تراكم الفتحات الصخرية على جوانب الأودية - في فترات جفاف تالية - وأخفت ما تحتها من صخور صلبة مما عملت هذه الفتحات على التقليل من شدة الانحدار.

تجدر الإشارة إلى أن مثل هذه المنحدرات تزيد في المواضع التي تكثر فيها الشقوق والفواصل العمودية فيها أو الموازية للطبقات والتي تمثل مسرحاً لنشاط عمليات التجوية وحدوث الانهيارات الأرضية الناتجة عن العمليات السابقة، وتساقط الكتل الكبيرة أسفل هذه الجروف مما يؤثر على تراجع هذه المنحدرات المستقيمة الشكل، حيث ينكشف السطح الجديد، ويكون مسرحاً لنشاط عمليات التجوية مرة أخرى تغطي الفتحات السطحية نسبة كبيرة من أطوال المنحدرات، وهذا يشير إلى دور التجوية في تشكيل المنحدرات وإن كانت هناك بعض أجزاء من القطاعات لا تغطي بالفتحات ويرجع ذلك إلى عدم استقرارها بسبب شدة الانحدار.

هذا وقد تلعب المرحلة العمرية دوراً هاماً في زيادة أو قلة الجروف ففي أعالي الأودية حيث سيادة مرحلة الشباب وحدوث عمليات النحت الرأسى للمجارى المائية ويحدث أيضاً تفكك للصخور المرتكزة على جانب الوادى من هنا يزيد انحدار الأجزاء العليا من المنحدر وتكون الجروف. أما الأجزاء السفلية منه فتكون ذات شكل مقعر قصير نسبياً، أما الأجزاء الوسطى والدنيا للأودية حيث مرحلة الشيخوخة فيزداد طول الأجزاء المقعرة، وتقل نسبة الجروف نتيجة للتراجع الشديد لها مع تغطية الجزء الواقع أسفلها بالفتحات مما يصبح أقل عرضة لعمليات التجوية وإنما يزيد نشاطها فقط على الأجزاء العليا المكشوفة.

بالإضافة إلى ما سبق فقد أوضحت الدراسة مدى ارتباط هذا النوع من المنحدرات بالصخور المتباينة والمتبادلة مع بعضها، وهذا يتفق مع ما توصلت به العديد من الدراسات على الصحراء الشرقية (أمين، ١٩٨٧، ص ٢٧٩).

(٣) المنحدرات شبه السلمية : *Step-Like Slopes*

لوحة (١٣) المنحدرات شبه السلمية

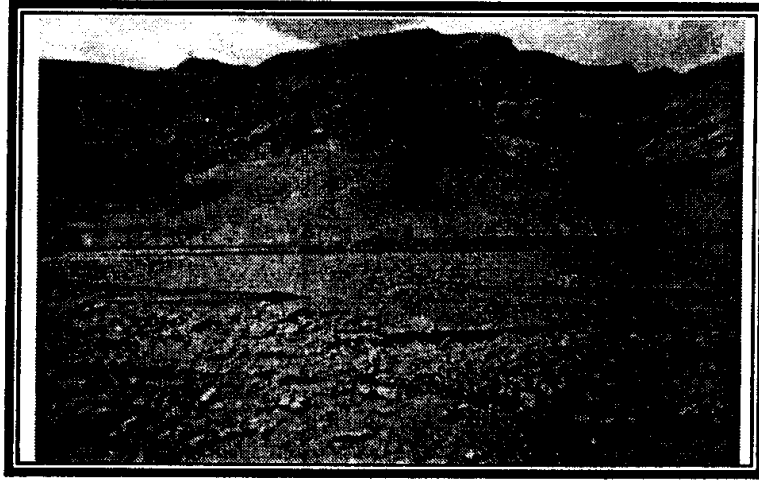
تتكون هذه المنحدرات من أكثر من تتابع من تتابعات المنحدرات لوحدة رقم (١٣)، وهي أيضاً مركب من المنحدرات المكدبة والمقعرة ومنحدرات الجروف - المقعرة، ويظهر هذا التتابع على منحدرات قطاعات أواسط أودية أم حمضة وأدنى أم خيشر وأم دمرانة وقطاع أدنى وادي أسخر، ويتخلى هذا

التتابع هنا في صورة مصاطب أودية تشكل كل مصطبة فيها طور من أطوال التطور والنمو للوادي محاولاً أن يصل في كل طور إلى مستوى قاعدته (وادي عربة)، وبالتالي يبدأ في النحت الرأسى تاركاً على جانبيه مصاطب تشير ارتفاعاً على عمق المياه فيه، كما أن أعلى هذه المصاطب يعد أقدم طور من أطوار النمو من حيث النشأة، ولا يقتصر الأمر على ما سبق فقط ولكن قد يكون سبب التتابع يرجع إلى الاختلاف في التركيب الجيولوجي والبنية الجيولوجية حيث تميل الطبقات ميلاً خفيفاً ويحدث هنا تبادل في الطبقات الصخرية الصلبة واللينة وتظهر في صورة مدرجات صخرية كما هو في أدنى وادي الخرزة ويختلف طول واتساع كل درجة حسب الخصائص الليثولوجية للتكوينات (سمك الطبقات) وكذلك الفترة الزمنية التي قطعتها مرحلة التطور التي مرت بها المنطقة خلا العصور الجيولوجية المختلفة.

... هنا وقد اتضح من خلال الدراسة أن هذا الشكل من أشكال المنحدرات يكثر وجوده بالمناطق الدنيا والوسطى من الأودية والمناطق التي تعرضت لحركات أرضية متتابعة تظهر كل حركة في صورة درجة سلم ويختلف اتساعها وانحدارها حسب قوة هذه الحركة وطبيعة التكوينات الجيولوجية نفسها وعوامل التعرية وعمليات التجوية فيما بعد.

(٤) المنحدرات المستقيمة : *Rectilinear Slopes*

اتضح من خلال الدراسة التي أجراها المؤلف على منحدرات منطقة الجلالة القبلية أنها ترتبط بالأجزاء العليا من القطاعات أسفل وحدة القمة *Crest Unite* حيث تغطيها الرواسب والمفتتات المتنوعة الأحجام لوحة رقم (١٤) حيث أطلق كل من *Strahler, Small (1977)* على الجزء الواقع أسفل الواجهة الحرة *Free Face* المغطى بالمفتتات بالمنحدرات المستقيمة ولكن اختلفاً فقط في كونه منحدر إرساب أم تعرية وقد اعتبره *Small* أنه منحدر نحت حيث يذكر أن *Rectilinear Slopes can be essentially denudational forms underlain by Soil Rocks* . (Small, 1977, p.192)



لوحة (١٤) المنحدرات السلمية

هذا وقد أوضحت الدراسة الميدانية التي قام بها المؤلف أن مثل هذه المنحدرات ترجع إلى التعرية والنحت عن طريق المياه وليس أدل على ذلك من أن معظمها غير مغطى بالرواسب وصخوره تبدو مكشوفة.

ومن خلال تحليل معدلات التقوس لمنحدرات المنطقة أتضح أن المنحدرات المستقيمة تمثل قليلة مقارنة بالعناصر الخدبة والمقعرة حيث شغلت نسبة ٣,٥٪ على مستوى منحدرات المنطقة. وقد تباينت نسبتها أيضاً على مستوى أجزاء الأودية فزادت في الأجزاء الدنيا والوسطى عنها في الأجزاء العليا (وهذا يشذ عن القاعدة العامة التي توضح أنها تزيد في القطاعات العليا)، ويرجع ذلك إلى أن معظم القطاعات على الأجزاء الدنيا كانت عند مخرج الأودية من الحافة الرئيسية المرتفعة والشديدة في انحدارها مثلها مثل الأجزاء العليا. هذا وقد ارتفعت نسبتها إلى ١١٪ على منحدرات القطاعات الطولية للأودية نظراً لاستواء معظم قيعان الأودية وقلة الاختلافات الليثولوجية على طول معظم القطاعات الطولية.

... وتجدر الإشارة إلى أن زيادة المنحدرات المستقيمة في أعالي الأودية ترجع في حقيقة الأمر إلى أنها تمثل مناطق انحدار شديد حيث النحت الرأسى وشكل قطاع الوادى على هيئة حرف (V).

(ب) الأشكال الدقيقة :

ترجع هذه الأشكال الدقيقة إلى أنها انعكاس واضح للاختلافات المحلية الدقيقة في بنية الصخور ونطاقها وعوامل التشكيل الخارجية المؤثرة فيه وهي تبدو على طول القطاعات في صورة متابعات صغيرة نسبياً.

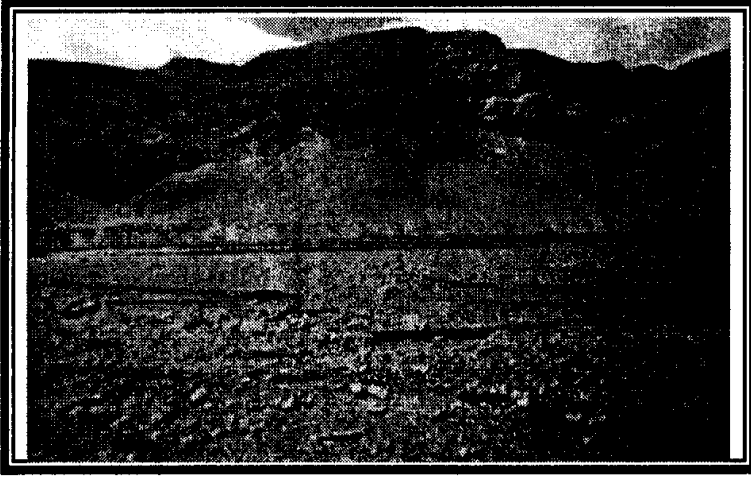
وقد أمكن تقسيم الأشكال الدقيقة التي تم ملاحظتها ميدانياً على منحدرات المنطقة طبقاً لعوامل تشكيلها إلى الآتى :

(١) الأشكال الناتجة عن تأثير الاختلافات الليثولوجية للتكوينات.

(٢) الأشكال الناتجة عن تأثير التفكك الميكانيكى وتأثير الجاذبية.

(٣) الأشكال الناتجة عن الإرساب الهوائى.

(١) الأشكال الناتجة عنه تأييد الاختلافات الليثولوجية للتكوينات :
الأصفة الصخرية الدقيقة :



لوحة (١٥) الأرضة الصخرية الدقيقة

يترتب على الاختلافات
الليثولوجية للتكوينات حدوث ما
يسمى بالتجوية المتغيرة حيث تعمل
على تفكك الأجزاء اللينة بصورة
أكبر وترك الأجزاء الصلبة ممتدة
ولكن في صورة أفقية، فتبدو على
هيئة منحدرات سلمية، تظهر
بصفة خاصة في تكوينات الحجر
الجري والمار كما في قطاع أدنى

وادي الخرزة لوحة رقم (١٥)، وفي أعلى قطاع وادي أم خيشر حيث يبلغ متوسط زاوية انحدارها
٣٥ درجة للواجهة و ٣ درجات للسطح الذي يبدو معري من الفتحات تماماً.

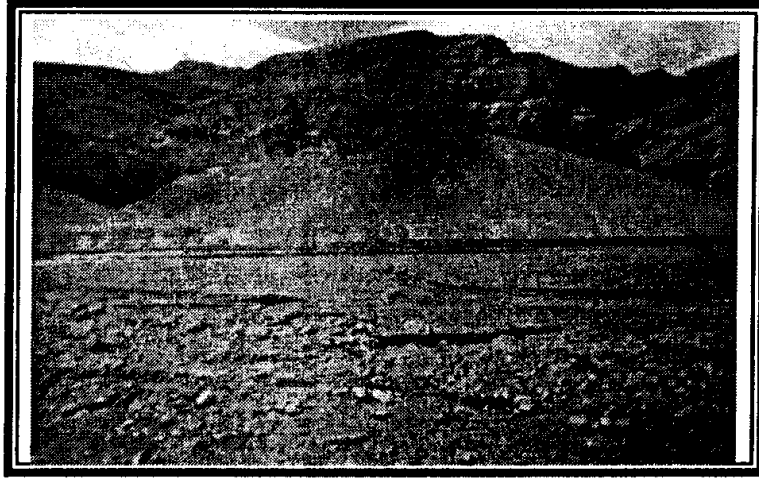
هذا وقد اتضح للمؤلف أن مثل هذه الأرضة الصخرية الدقيقة أنها تكثر في مواضع
التيارات وفي مواضع تجديد الشباب بالنسبة للأودية.

أما عن نشأتها فإنها ترجع إلى ما يسمى بالتطابق الدقيق، حيث تعتبر كل مصطبة من هذه المصاطب
طبقة صخرية مختلفة في خصائصها إلى حد ما عما عداها ويفصلها أسطح طبقية عن طبقتين أعلاها وأسفلها
وتتراجع هذه الجروف بنفس تراجع الجروف الكبيرة نظراً لوجود الفواصل الأفقية والرأسية والتي تعد مجالاً
سهلاً لنشاط عمليات التجوية وعوامل التعرية فتقل أجزاء منها وتستقر أسفلها على الجانب الهين الانحدار.

(٢) الأشكال الناتجة عنه التفكك الميكانيكي وتأثير الجاذبية :

ركامات الهشيم : Scree

ترجع هذه الركامات إلى تراكم الفتحات الصخرية الناتجة عن التفكك الميكانيكي
للصخور عند قاعدة أقدم المنحدرات. وتباين قطاعات المنحدرات التي تم قياسها ميدانياً من حيث
نسبة المغطى فيها بركامات الهشيم تصل في بعض القطاعات إلى ١٠٠٪، ويتراوح متوسط انحدار
سطوحها ٣٦-٤٠ درجة، تتباين أيضاً هذه المخروطات من حيث أحجام رواسبها وأشكالها نتيجة
تباين نوع الصخور المشتقة منها هذه المخروطات ويبدو أنها تقل أسفل الواجهة الحرة تقريباً
في جميع القطاعات تقريباً ومع مرور الوقت وتغير ظروف المناخ فتعرض مثل هذه المخروطات
للتجوية فتتدهار منها مفتحات أقل حجماً تحركها للسيول في صورة ركامات هشيم لوحة رقم (١٦).



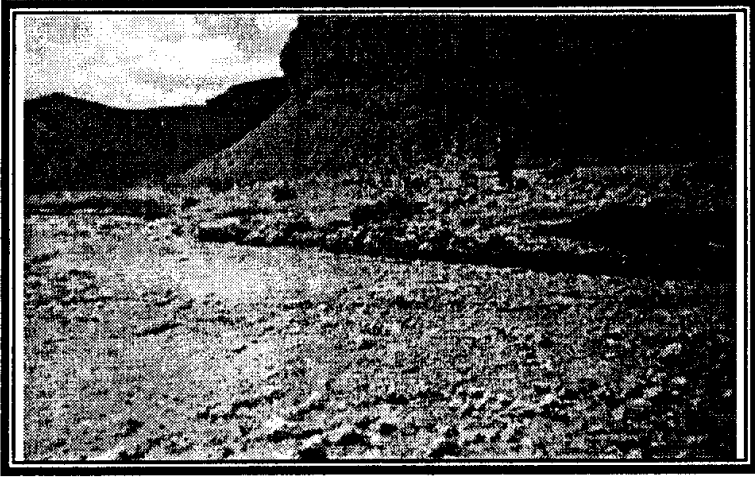
لوحة (١٦) مخروطات الهشيم

ويؤكد ذلك التحليل الميكانيكي لرواسب مخروطات الهشيم اتضح أنها نسبة المواد الناعمة تمثل ٣٥٪، كما بلغ متوسط أحجام الرواسب الخشنة ٦٥,٢٪ ونسبة الرمل الناعم ٣٤,٨٪. وتزيد بصفة عامة نسبة الأحجام الناعمة من السهل الناعم وأجزاء الطمي والصلصال لأنها تعمل على زحف التربة ولاسيما في ظروف الجفاف الحالية التي تعاني منها منطقة الجلالة القبلية بالصحراء الشرقية.

(٣) الأشكال الناتجة عن فعل المياه الجارية :

تتباين منحدرات الأشكال الدقيقة الناجمة عن إرساب المياه الجارية نتيجة للعوامل التالية :

- (١) الشكل الذي يأخذه جريان المياه سواء أكان مركزاً أو غير مركز.
 - (٢) أنواع المواد المرسبة بواسطة المياه من حيث قابليتها للذوبان أم لا، وشكلها وحجمها من حيث كونها دقيقة أم خشنة الحبيبات.
 - (٣) الشكل الأصلي للمنحدر الذي أرسب عليه هل هو خفيف أم شديد الانحدار ومن أمثلتها مصاطب الأودية والأرصعة الإرسابية الدقيقة والمراوح الفيضية.
- ... وقد أوضحت الدراسة التي أجراها المؤلف على مصاطب الأودية بمنطقة الجلالة القبلية بالصحراء الشرقية بمصر أنها تختلف فيما بينها من حيث انحدار سطح المصطبة وانحدار واجهتها وامتدادها ويتأثر كل ذلك بالظروف الجيومورفولوجية التي مر بها الوادي ومنها تقطع هذه انصاطب بالمسيلات وانحدار المقتات على سطوحها من الجوانب المجاورة ونشاط عمليات التجوية وعوامل التعرية على سطوحها وأشكالها المختلفة.

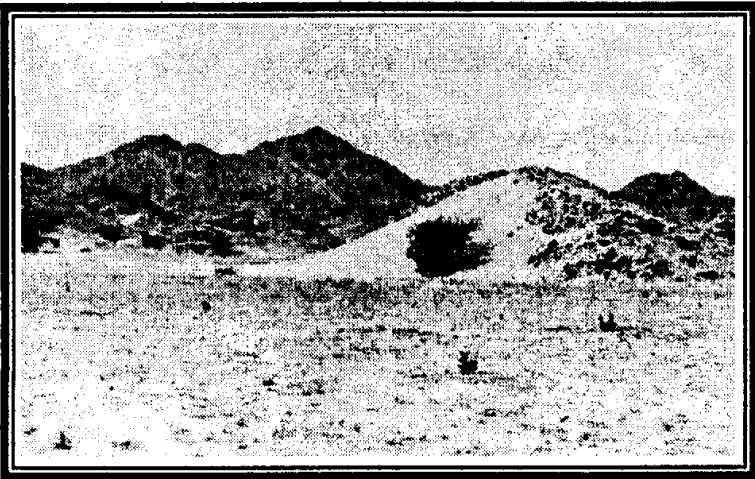


لوحة (١٧) الأرضة الحصى

أما الأرضة الحصى الدقيقة، فهي من الظاهرات المنتشرة في قيعان معظم الأودية لاسيما وأن المنطقة تتعرض لسقوط أمطار تتدفق في شكل سيول مؤقتة لا تكاد تملأ قيعان المجارى ثم ما تلبث أن تبخر أو تتسرب أثناء جريانها في أثناء جريانها تحمل معها الرواسب والمفتتات لا تلبث أيضاً أن تتركها بعد تبخرها وتسربها في صورة جروف دقيقة تتميز بأنها رديئة التصنيف حيث

تتكون من رواسب مستديرة وشبه مستديرة وناعمة وخليط من الرواسب الحشنة والناعمة ويتراوح ارتفاعها ما بين نصف متر ومترين فوق مستوى القاع لوحة (١٧)، وتكثر في الأودية التي تتعرض للسيول بصورة أكبر. أما المراوح الفيضية فهي من الأشكال الإرسابية الدقيقة على المنحدرات وتتكون عند أقدام المنحدرات من المواد المختلفة التي جلبتها الأودية من أعلى المنحدرات الجانبية ويختلف حجمها وشكلها حسب حجم الأودية التي ترسبها وحسب خصائص أحواض التصريف وكمية الحمولة من الرواسب (التركمان، ١٩٩١، ص ص ٧٩ - ٨١)، وتباين انحدار أسطحها ويُرجع ذلك Small, 1978 إلى نمط الجريان وحجم الرواسب المنقولة وطريقة نقلها وترسيبها وطوبوغرافية السطح نفسه بالإضافة إلى خصائص أحواض التصريف (Small, E., 1987, pp: 389 - 310).

(٤) الأشكال الدقيقة الناتجة عن الإسباب الهوائي :



لوحة (١٨) التجمعات الرملية في مفاير الأودية وفي جوانب التلال

قد تغطي بعض المنحدرات بالرواسب الرملية التي تجلبها الرياح، ونتيجة لاصطدامها بالمنحدر تقوم بإلقاء حولتها من الرواسب الرملية فوق سطوح المنحدرات وتختلف هذه الرواسب في مساهمتها حسب طبيعة إرسابها وأشهرها ظلال الرمال والجروفات، وقد لاحظ المؤلف انتشار مثل هذه التجمعات الرملية في

مخارج الأودية وجوانب المنحدرات خلال دراسته على طول ساحل البحر الأحمر لوحة (١٨). وقد اتضح للمؤلف أن هذه الجروفات الرملية تتباين في درجات انحدارها وذلك حسب الشكل المرسب عليه والموقع والاتجاه بالنسبة للرياح السائدة وخصائص الرواسب الرملية نفسها.

ثانياً : حركة المواد على المنحدرات من الدراسة الميدانية :

كما نعرف فإن السفوح (المنحدرات) *Slopes* بشكل عام سواء كانت طبيعية أو من صنع الإنسان *Man Made Slopes* تتميز بعدم الاستقرار فهي دائماً ما تكون عرضة للتغير التدريجي أو التغير السريع، وفي كثير من الأحوال تتكرر عمليات انهيار السفوح *Slope Collapse* لأسباب طبيعية أو لأسباب بشرية، وقد يتسبب عن ذلك أضرار بيئية كأن ينغلق طريق ما مع انهيار كتل صخرية من المنحدرات التي تحده وخاصة إذا ما كان يمتد على طول امتداد الأودية المحاطة بحافات شديدة الانحدار وشديدة التقطع بفعل عمليات التجوية والتعرية المختلفة، مثل طريق نوبيع في سيناء والذي كثيراً ما يتعرض لانهيارات أرضية وسقوط صخري خاصة في أعقاب سقوط أمطار سيالية *Torrential Rain*.

ومن ثم يجب التفهم الكامل للميكانيكيات التي تتسبب في عدم استقرار السفح وذلك قبل البناء فوقه أو البناء والتشييد للمباني والطرق عند أقدامه أو بالقرب منه أو أعلاه.

وقبل أن تكون ملاحظتنا ثابتة في الميدان فيما يتعلق بخصائص المنحدرات المعرضة لحركة المواد وفوقها وقبل أن نقوم بقياسات حركتها وتبعها ميدانياً يجب علينا أن نتعرف باختصار على أهم العوامل المؤثرة في تطور المنحدرات والمتمثلة في التقويض السفلي للمنحدر *Undercutting* وتعرضه للتجوية التي توفر بدورها المواد المتحركة بأحجامها وخصائصها المختلفة والتي تساعد على القيام بدورها ظروف ترتبط بخصائص الصخر وليثولوجيته وضعه الاستراتيجي والتركيبى، إلى جانب تغير الظروف الخارجية مثل التشبع بالمياه التي تتسببها التربة أو التكوينات الفتاتية السطحية وكذلك حدوث ارتفاع في منسوب سطح المياه الجوفية.

وفيما يختص بدور نوع الصخر الذي يتكون منه المنحدر وبنيته فإن لهما دورهما الكبير في تطوره وذلك لكونهما لهما دور كبير في تطوره حيث تتحكمان في حجم المفتحات الناتجة عن التجوية، ويرتبط بالبنية اتجاه ميل الطبقات، وتعاقب الطبقات الصخرية مثل تعاقب طبقات من الحجر الرملى مع طبقة من الطفل وانعكاس ذلك على شكل السفح ودرجة انحداره واستقرار المواد فوقه من عدمها، وكل ذلك يمكن تحديده ميدانياً بالملاحظات المباشرة وبالقياس خاصة فيما يرتبط بكثافة الشقوق والفواصل وسمك الطبقة المتحركة ومدى توافق ميل الطبقات مع اتجاه الانحدار العام للأرض حيث أنه في الحالة الأخيرة نجد أن تجوية الصخر تؤدي إلى تساقط المفتحات بعيداً نحو أقدام المنحدر، بينما نجد أن المواد الناتجة عن تجوية الطبقات التي تميل عكس الانحدار العام للمنحدر تستقر في مواضعها.

وهناك سفوح ذات نقل محدود أى تتحرك فوقها المكونات الصخرية بمعدل أقل من معدلات التجوية التى تتعرض لها، وتبدو التربة فوقها متماسكة بفعل النمو النباتى، وهى عادة ما تظهر فى العروض المعتدلة الرطبة أو العروض المدارية، أما **النوع الثانى** من السفوح فهى التى تشهد تحركاً سريعاً للمواد فوقها مقارنة بما يتعرض له من تجوية، وعادة ما تظهر فى العروض المدارية الجافة.

وفى النوع الأول يجب عمل قياسات ميدانية لسمك الغطاء الرسوبى السطحى (التربة) حيث أنها قد تتحرك بالزحف عند زاوية انحدار معين لسطح الانزلاق *Sliding Plane* وذلك عند تشبعها بالماء.

كذلك من المهم معرفة طول السفح، وهو من الأبعاد التى تلعب دوراً هاماً فى ثبات المواد الصخرية فوق السفح حيث أن أى سفح بزاوية استقرار يصبح أقل ثباتاً واستقراراً مع زيادة طوله وثبات زاوية انحداره (محمد صبرى محسوب، ٢٠٠١، ص ١٦٤).

ويتمثل الانهيار الأرضى فى الانزلاقات *Sliding*، حيث تتحرك التربة كوحدة واحدة مترقة على سطح الانزلاق عندما تتعرض للتسييل *Liquification*، ويتسبب الاحتكاك وأثناء انزلاقها اهتزازاً للتربة بدرجة تجعلها تتحرك فى شكل متدفق على سطح أقل انحداراً من سطح الانزلاق.

وعادة إذا ما كانت التربة مركزة على صخور متماسكة يسود المنطقة انزلاق ضحل *Shallow Slip*، وإذا ما كانت هناك مواد صخرية سميكة غير متماسكة، مثل الرواسب الفيضية حيث يسود الانزلاق الدورانى *Rotational Slip*.

وفى الميدان يمكن للدارس أن يحدد بعض المؤشرات التى تدل على إمكانية حدوث تدفق للمفتتات الصخرية مثل تكون السفوح من مفتتات غير مصنفة *Unsorted Debris* عادة ما تتكون من حصى ورمال وهذا يستدعى مع الملاحظة المباشرة فى الميدان إلى أخذ عينات من هذه الصخور المفتتة وتحليلها ميكانيكياً. ومن المؤشرات الأخرى لإمكانية حدوث تدفق للمفتتات الصخرية ظهور قنوات عميقة على منحدرات شديدة الانحدار *Steep Slope*.

كيفية تحديد المناطق المعرضة للانزلاق والسقوط الصخرى :

يتمثل دور الجيومورفولوجى أساساً فى توقع المناطق التى يمكن أن تتعرض للانزلاقات الأرضية أو السقوط الصخرى وكذلك تحديد الخصائص البيئية المتحكم فى مثل هذه العمليات.

ويتمثل الدور الأول فى توقع حدوث انزلاقات أو سقوط وشيك أو توقع حدوث انزلاقات أرضية أو سقوط أرضى يمكن تحجيمه أو إيقافه.

بالنسبة للخصائص المتحركة في حركة المواد على السفوح فتتمثل أساساً في وجود عوامل تؤدي إلى زيادة ضغط أو إجهاد القص مثل التقويض السفلي الذي يقوم به مياه الأنهار أو الأمواج عند أقدام جوانبها أو عند أقدام الجروف الساحلية وتجوية الطبقات الأضعف عند أقدام السفوح وعمليات الحفر والتجوير بواسطة الإنسان أو نتيجة لزيادة قوى الاضطراب مثل التراكم الطبيعي للمياه أو الثلوج أو تراكم ركامات السفوح أو نتيجة لضغوط من صنع الإنسان مثلما يحدث عند عمليات التشييد المختلفة أو نتيجة لتراكم المواد الخام على السطح أو نتيجة لمرور وسائل النقل الثقيلة بشكل مستمر على طول طريق وتظهر في قطاعات منه منحدرات مفككة وشديدة الانحدار، وقد ترتبط الانزلاقات أساساً بحدوث الزلازل وما ينتج منها من اهتزازاً، كذلك قد تنتج الانزلاقات الأرضية نتيجة لضغط داخلي للمياه المختزنة في مسامات أو في الشقوق والفواصل التي توجد بها (Cooke R., U., and Doornkamp, 1978, p.131).

لكي نحدد ميدانياً المناطق المعرضة للانزلاقات الأرضية يجب أن نحدد بوضوح المقصود بالموقع ومفهوم الموضع.

مواقع الانزلاقات الأرضية Landslide Locations التي يمكن أن نتوقعها توجد في الجهات الجبلية وعلى جوانب الأودية الجبلية شديدة الانحدار وعلى سفوح التلال المنحدرة والحافات الصاعدة وجوانب الأنهار التي تتعرض للتقويض السفلي لمياه النهر وكذلك لعمليات التجوية والتخوير وغيرها.....، بينما تمثل المواقع التي لا تتعرض للانزلاقات في المناطق المستوية نسبياً.

أما الموضع Site فيشير إلى انزلاق أرضي محدد فعلى سبيل المثال سفح شديد لانحدار نحدده بدقة من الطبيعة يتميز مع شدة انحداره بتشققه وكثرة الفواصل ومع تعرضه لأمطار غزيرة.

ولتحديد خصائص مواضع الانزلاقات الوشيكة والمحتملة يمكننا أن نحدد ما يمكن اتباعه ميدانياً في تحديدها بدقة وتحديد درجات خطورتها إن وجدت على النحو التالي :

(١) التضاريس :

كلما كان انحدار المنحدر الجبلي شديداً كان بدورة أقل استقراراً وثباتاً، وهذه المنحدرات عادة ما تقطعها أودية عميقة مع انكشاف صخور الأساس *Bed Rocks* التي تعد أكثر المواضع عرضة للسقوط الصخري، وقد عرفنا كيف نحدد درجة الانحدار في الميدان بأجهزة القياس المعروفة أو من الخريطة الكنتورية التفصيلية بجانب بعض القياسات الخاصة بالتضرس وشكل المنحدر، فنجد على سبيل المثال أن عملية تسجيل الارتفاعات في الأراضي الفاصلة بين عدد من الأودية (أراضي ما بين الأودية) يبدو ذات أهمية كبيرة إذا ما عرفنا أن النهايات المنخفضة للبروزات *Spurs*

الفاصلة بين نظامين هجريين تعد من أكثر المواضع عرضة لنشع المياه الجوفية *Seepage Of Ground Water* وما يترتب عليها من انزلاقات أرضية خاصة مع كثرة الشقوق والفواصل، وهذا يؤدي بالتالى إلى عدم استقرار جوانب الوادى الأقل منسوباً وفى مناطق الكهوف والخلجان التى تظهر على جوانب الأودية النهرية عادة ما نجد عرضة لضغوط المياه داخل المسامات الصخرية مما يجعلها بالتالى معرضة للانهيارات الأرضية.

(٢) التصريف المائى :

تعد كثافة التصريف المرتفعة مؤشر على وجود طبقات صخرية غير ممررة *Impervious Layers* وتعد كذلك دليل على حدوث أمطار غزيرة ونباتات غير كثيفة وزيادة فى نشاط تعميق الأنهار لجاريها، وكل هذه الظواهر قد ترتبط بحركات انهيار أرضى فالنهر أو الوادى السيلى شديد الانحدار، يدل على مرحلة تعميق سريعة، يرتبط به عادة سقوط صخرى أو سقوط للمفتتات الصخرية *Debris Fall*، وانزلاقات أرضية، وكلها عمليات ترتبط بتعمق المجرى، وإن كانت ترتبط كذلك بالنحت الجانبي *Lateral Erosion* والتى قد تسود فى هربطى الانحدار، أو وسط سهل فيضى، إلى جانب ارتباطها بالأودية السيلية الجبلية، كذلك قد يعمل النشع من جوانب التل على حدوث نحت فى التكوينات الرملية أو الغرينية، إلى جانب ما يقوم به النشع من ضغط ينتج عنه تحريك المفتتات مما يعرض السفح لعدم الاستقرار *Instability*.



لوحة (١٩) إنزلاق الكتل الصخرية على جوانب هضبة المقطم

ويمكننا فى الميدان تحديد مواضع النشع على منحدر ما وذلك من خلال تعيين بعض الأدلة (المؤشرات) والملامح التى ترتبط به مثل زيادة واضحة فى كثافة الجداول المائية *Gullies* وحفر التقويض الينبوعى *Spring* *Sapping* أو انهيار الأنابيب والقنوات الطبيعية أو تشرب

السفح بمياه الصرف الزراعى أو الصرف الصحى مثلما يحدث على هضبة المقطم حيث يتعرض الشطح للتشقق الذى يزداد كثافة، وتزداد الشقوق اتساعاً مع انفصال كتل صخرية وانزلاقها فوق طبقة الطفلة المنتفشة نتيجة لتشبعها للمياه لوحة (١٩).

(٣) صخور الأساس :

يتحدد حجم الكتل الساقطة على المنحدر من خلال كثافة الفواصل الصخرية *Joint Density* والصدوع وسطح الطبقة وغيرها من أشكال، واتجاهات التشققات الصخرية. فاتجاهات الفواصل الصخرية واتجاه ميلها بالنسبة للاتجاه العام لانحدار السفح، ذات تأثير مباشر على درجة استقرار السفح، وكل هذه الخصائص يمكن لأي جيومورفولوجي قياسها في الميدان، كما يمكن له أن يستنتجها من تحليل الصور الجوية.

بالنسبة لقياس الفواصل^(*) والشقوق من الميدان :



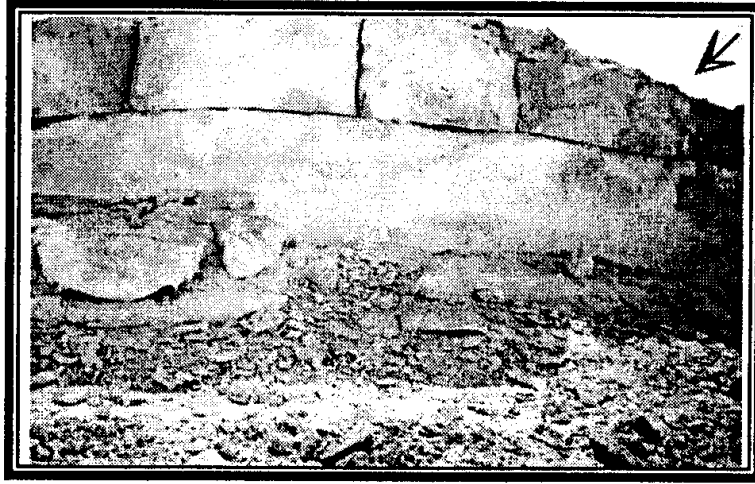
لوحة (٣٠) الفواصل الرأسية (العمودية) في صخور أركية

كما ذكرنا يمكن قياسها من حيث تحديد أنواعها، فهناك فواصل الميل *Dip Joints*، وهى عبارة عن شقوق ممتدة فى اتجاه ميل الطبقات، وفواصل المضرب *Strike Joints* وتمتد عمودية على اتجاه ميل الطبقات، وعادة ما تتقاطع مع فواصل الميل، وهناك الفواصل الغطائية مثل الفواصل الغطائية

الواسعة *Sheet Joints* المرتبطة بتفصيل الصخور الجرانيتية كما تظهرها لوحة (٣٠)، ثم بعد تحديد أنواعها من الميدان يمكن إتمام قياسها من خلال حساب أطوالها على سفح الانحدار باستخدام شريط التيل، ومن ثم حساب متوسط أطوالها على مساحة محددة من واجهة الحافة المطلوب دراستها، ثم دراسة متوسط اتساع هذه الفواصل ودرجة تعمقها والمسافات البينية واتجاهاتها، والأخيرة ذات أهمية كبيرة حيث أنها عندما تمتد مائلة أو متقاطعة مع طبقات صلبة (حجر جبرى مثلاً مع طفلة هشة) فإن ذلك يؤدى إلى سرعة تشرب الطبقات الهشة بالمياه وانتفاشها وسهولة تحريك الطبقات الصلبة فوقها، مثلما يحدث فى حافة هضبة المقطم (كما ذكرنا)، كذلك يتم حساب كثافتها وذلك بعمل مربعات بأبعاد معروفة وحساب عد الشقوق فى كل ١٠٠ متر مربع مثلاً. وكذلك باعتبار الفواصل من المتغيرات الرئيسية المؤثر تماماً فى نشاط عمليات التجوية وسرعة تحرك المواد فوق السطح.

(*) شق طبيعى فى الصخور غير مصحوب بزحزحة على أحد جانبيه.

وتوضح اللوحة التالية (٢١) كثافة الشقوق في حافة ودورها في زيادة حركة المواد على السطح.



لوحة (٢١) زيادة كثافة الشقوق على أحد المنحدرات ودور ذلك في زيادة نشاط عمليات الانهيار الأرضي



لوحة (٢٢) فواصل عمودية متقاطعة مع فواصل أفقية في صخور أركية بجبال عسير

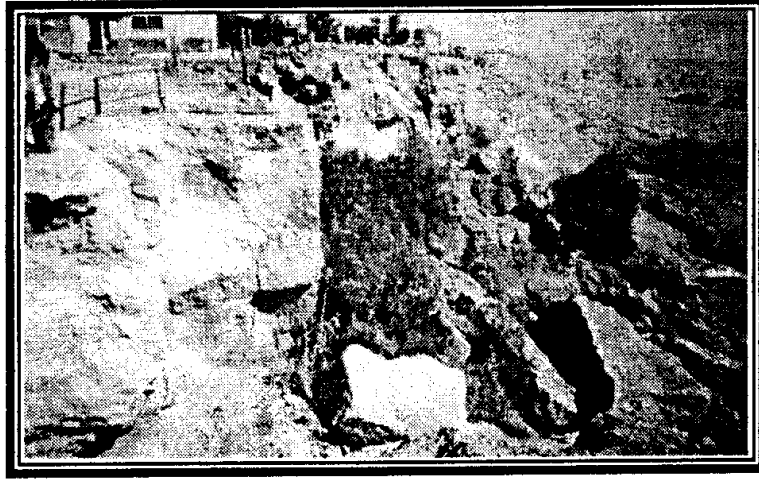
كذلك تبين اللوحة (٢٢) فواصل عمودية متقاطعة مع بعض الفواصل الأفقية في صخور أركية قديمة في جبال عسير بالسعودية قرب مدينة خميس مسيط، مع حدوث تقويض على طول امتداد أحد الفواصل الأفقية المتقاطعة مما أدى إلى هذا المظهر الملفت وتعرض

أعلى الحافة للانفصالات والإنقلاب الصخري *Rock Toppling* ^(*).

كما تظهر من اللوحة (٢٣) خطوط الضعف والتقاطع في صخور متنوعة (أنماط الفواصل) يمكن الاهتداء بها عند المسح الميداني :

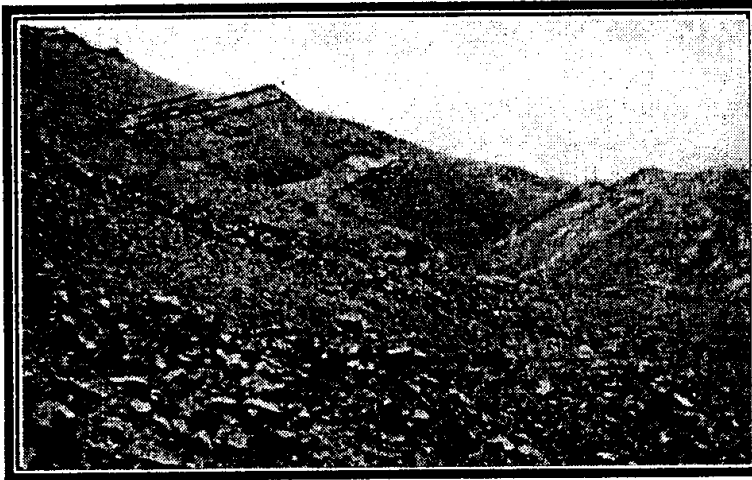
- (أ) منظر يوضح الفواصل غير المنتظمة وتقاطعها مع فواصل منتظمة.
- (ب) كتلة صخرية توضح العلاقة بين الفواصل المتقاطعة *Cross Joints* و سطح الطبقة.
- (جـ ، د) يوضحان أنماطاً من الفواصل الرأسية مع تقاطعات لفواصل رأسية أخرى في اتجاهات مغايرة.

(*) عادة عندما تمتد فواصل في اتجاه واحد على وجه الجرف تكون ذات عمر واحد (ترجع لفترة زمنية واحدة).



لوحة (٢٣) أثر النباتات الشجرية على تجوية الصخور

وجدير بالذكر أن الدراسة الميدانية قد تكشف أن ما توضحه الصور الفوتوغرافية على أنه منحدر ذا فاصل بنائي تكتوني هو في الحقيقة نتاج انزلاق أرضي مثل دراسة J., Granrt, عن الانزلاق الأرضي في الصحراء جنوب غرب ليبيا وذلك عام ١٩٨٦ والتي لا تدل الظروف الجافة على إمكانية حدوث انزلاق أرضي نشط حيث استدل من الدراسة الميدانية على حدوث انزلاقات أرضية موروثه *Inherited Landslide*، عندما كانت تسود المنطقة فترات مطر أغزر.



لوحة (٢٤) انزلاقات أرضية دورانية بجبل ميساك بليبيا

وتوضح اللوحة (٢٤)

انزلاقات أرضية دورانية

Rotational Landslide ضخمة

على الحافة الشمالية لجبل ميساك

بليبيا يراجع كذلك اللوحة (؟؟؟)

التي توضح الانزلاقات الأرضية

التي تغطي المنحدر من حافة الهضبة

الشرقية من الصورة حتى أقدام

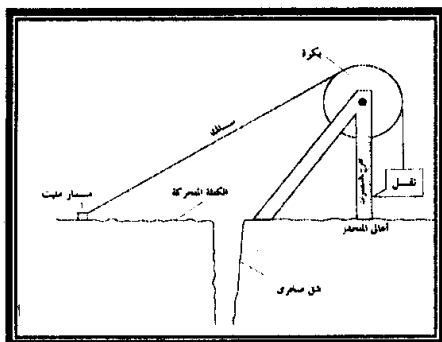
المنحدر في مسافة ٧٠٠ متر بينما

يبلغ ارتفاع الهضبة ١١٦ متراً، حيث تبدو الظروف الاستراتجية مواتية (مساعدة)، حيث توجد طبقة سمكية شديدة المقاومة من الحجر الرملي تتركز فوق طبقات من الحجر الرملي الهش وطبقات من الطين والغرين.

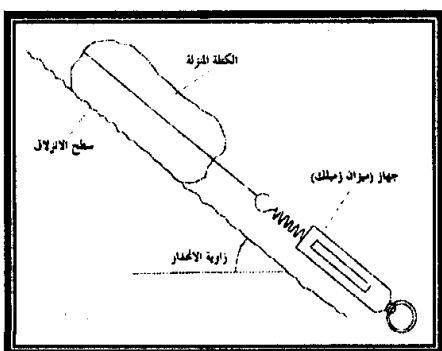
ويقدر أن المطر الذي أدى إلى حدوث هذا الانزلاق يبلغ ٣٠٠ ملليمتر/سنة، بينما في الوضع الحالي

يقل المطر عن ٢٠ ملليمتر سنوياً ومن ثم فإن المنحدر يتميز بالاستقرار (Zhang, Z., Y., et al, 1985, p. 49).

التكوينات الهشة، بحيث يمكن تتبع التراجع كل فترة زمنية خاصة مع تسارع عملية التراجع التي قد يحدث خلال سنوات أو خلال عدة شهور، ومن ثم يمكننا من خلال تحليل نتائج القياس تحديد طبيعة العلاقات بين العملية والعوامل الخارجية، راجع الشكل (٢٢) الذي يوضح مصيدة روااسب لقياس معدلات النحت بفعل تدفق المياه على المنحدرات^(١).



ومن وسائل القياس التي تمت لمتابعة الانزلاق الصخرى ما قام به كل من *Hoek and Bray* من متابعة قياسية لفواصل صخرية أعلى المنحدر في المراحل السابقة لانفجاره، وهي من فواصل الشد *Tensional Joints* حيث قاما بمتابعة ما تتعرض له من توسيع *Widening* خلال فترات زمنية وذلك بواسطة جهاز بسيط شكل (٢٣) يمكن القياس المباشر للإزاحة التي يتعرض لها الشق أو الفاصل^(٢٢).



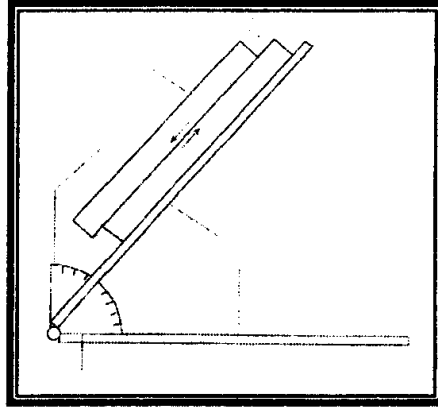
وتوجد أجهزة عديدة خاصة بقياس السفوح
مثل الجهاز الخاص بقياس قوة الاحتكاك *Frictional Strength* شكل (٢٤)، وجهاز قاس زحف التربة
وزحف ركامات السفوح والأخيرة يمكن قياسها من
خلال تثبيت أوتاد خشبية أو حديدية عند أطرافه وعلى
مسافة محددة منه ومتابعة الاقتراب منها بعد فترة زمنية
معينة فيما يشبه وسيلة قياس حركة الرمال وهي وسيلة
بسيطة جداً يمكن لأي باحث ميداني القيام بها.

(*) شرح الجهاز مرفق بالرسم الخاص به.

(**) الشرح المذكور على الرسم.

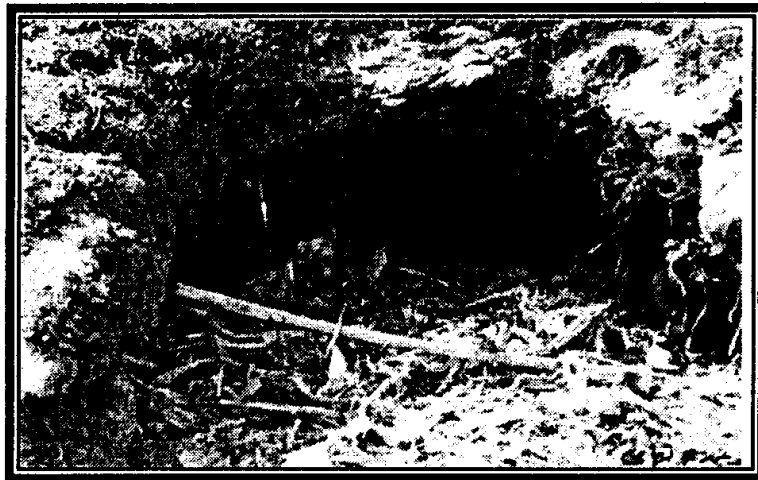
كما يمكن القيام بقياسات زحف التربة في المناطق الزراعية على سفوح منحدرية وذلك بوسيلة للغاية تتمثل في لوح خشبي مقوى ومتحرك في مجرى على طول لوحين في تعامل مع تعمقه في التربة حتى سطح الزحف بحيث يتحرك باتجاه حركة زحف التربة، ويمكن استخدام هذا الجهاز البسيط (غير المكلف) في قياس حركة زحف ركام السفوح.

كذلك يوضح الشكل التالي (٢٥) جهازاً بسيطاً لقياس العلاقة بين زاوية الانحدار والانزلاق اللوحي على المنحدرات (سطح الانحدار).



شكل (٢٥) جهاز بسيط لقياس العلاقة بين زاوية الانحدار وسرعة الانزلاق اللوحي

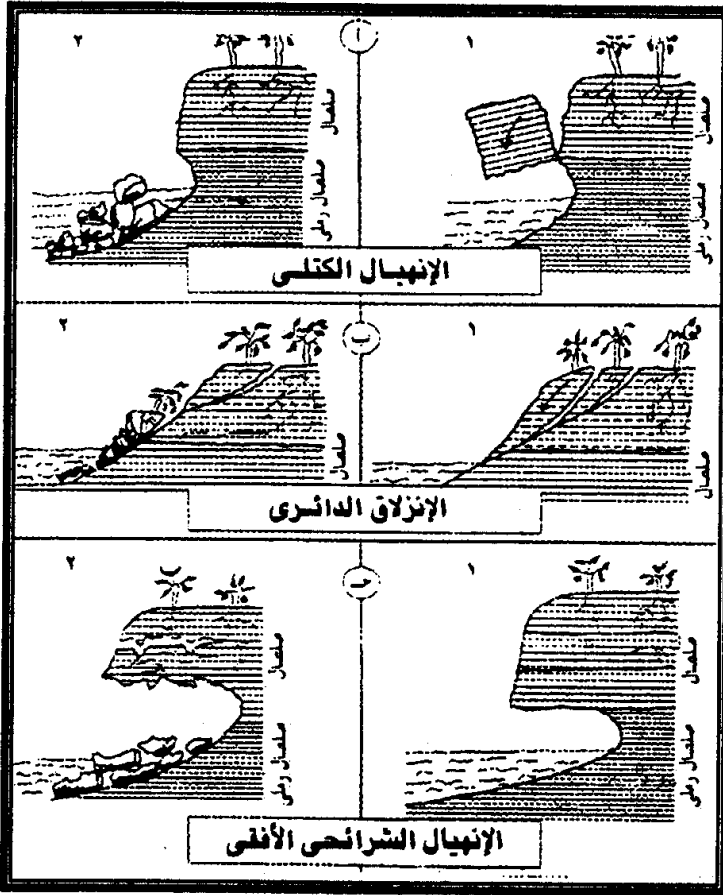
وتوضح اللوحة (٢٥) أحد الكهوف التي تكونت على الجانب الغربي لنهر النيل شمالي نجع هيكل بمحافظة أسوان مع وجود تشققات أعلاها مما يعرض الضفة للانهيار (ممدوح قهامي، ٢٠٠٣، ص ٨٦)، ويمكن قياس أبعاد هذا الكهف ميدانياً واتجاهات شقوقه، ثم العودة إليه بعد فترة وإعادة القياس والتصوير الفوتوغرافي لمتابعة معدلات تغير الأبعاد وحدوث الانهيار، راجع كذلك الشكل (٢٦ جـ) الذي يبين كيفية حدوث انهيار كهفي.



لوحة (٢٥) أحد الكهوف التي تكونت على الجانب الغربي لنهر النيل شمالي نجع هيكل محافظة أسوان

وتوضح الأشكال التالية (٢٦ أ، ب، جـ) والتي تضمنتها دراسة قمامى، ٢٠٠٣

أشكال الانهيارات التي تتعرض لها جانوب نهر النيل في قطاع كوم أمبو - إسنا.



الشكل (٢٦ أ) المعرض

لتقويض سفلى في طبقة الصلصال
الرملي ثم انهيار الطبقة العلوية
الصلصالية وبشكل (أ ٢) حدوث
انهيار وتراكم الكتل المنهارة فوق
سطح سفح معتدل الانحدار.

ويوضح الشكل (٢٦ ب)

انزلاق دوراني بعد ظهور شقوق
منحنية في الطبقة العلوية مع وضوح
أسطح انزلاق منحنية تزلق عليها
الكتل الصلصالية على النحو المبين.

وهناك انهيار شرائحي أفقى

نتيجة لوجود تشققات أفقية موازية
لسطح الطبقة العلوية واتساعها
وتساقطها شكل (٢٦ جـ)، كما
يوجد انهيار رأسى لظهور تشققات

رأسية متعامدة على مستوى الطبقة الصلصالية وتشبه كثيراً الانهيار الدوراني باستثناء عمودية
الشقوق على سطح الطبقة.

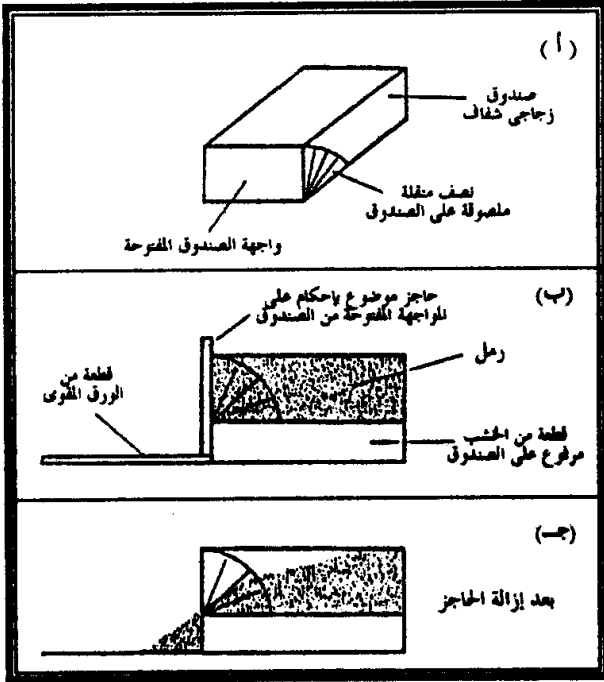
ونظراً لسرعة حدوث الانهيارات سابقة الذكر على طول جوانب الأنهار دائمة الجريان

مثلاً الحال في نهر النيل في مصر، فيمكن تتبع مراحل تطورها وحدوثها من خلال تتبع قياسات
أبعادها والتقاط صور فوتوغرافية في مراحل زمنية متتالية ومتقاربة نسبياً، مع دراسة خصائص
مساميتها ونسيجها الصخرى وقياس أبعاد واتجاهات الشقوق في الطبقات الصلصالية على نحو ما
قام به قمامى في دراسته السابقة ٢٠٠٣.

عن قمامى، ٢٠٠٣

شكل (٢٦) أشكال الانهيارات التي تتعرض لها جوانب
نهر النيل في قطاع كوم أمبو / إسنا

نموذج معملى لتحديد زاوية الاستقرار للرواسب المتحركة^(٢):



شكل (٢٧) نموذج قياس انحدار الركامات الرسوبية

النموذج عبارة عن صندوق من البلاستيك مفتوح من أحد جوانبه وموضوع على قطعة خشبية فوق طاولة، ومرسوم على جانبه زاوية بأقسامها (فيما يشبه المنقلة) وذلك في اتجاه الجانب المفتوح كما يظهر ذلك من الشكل (٢٧) الذى يوضح نموذج قياس انحدار الركامات الصخرية.

يتم صب كميات من الرمال الكوارتزية فاتحة اللون (دقيقة الحبيبات) بعناية في الصندوق مع إغلاق الجانب المفتوح بورق مقوى، وبعد صب الرمال يتم سحب الحاجز الورقى المقوى مع ترك الرمل ينهال فوق ورقة كبيرة أمام الجانب المفتوح.

يتم قراءة زاوية السفح الرملى بعد سقوط كميات الرمال خارج الصندوق بالشكل الموضح بالرسم، ويتم تسجيلها لتعاد الكرة أكثر من مرة.

تعاد التجربة بوضع رمال خشنة (ذات أحجام كبيرة) وذات كثافة نوعية عالية (ثقيلة الوزن) وتتم الخطوات سابقة الذكر ويتكرر قياس زاوية السفح الرملى الخشن وتقارن بزوايا انهال الرمال الناعمة لتحديد الاختلاف في قيم الزوايا والتي ترتبط بطبيعة الحال بالخصائص الحجمية للرواسب وكذلك بخصائصها المعدنية (آمال إسماعيل شاور، محمود دياب راضى، ١٩٩١، ص ص ١٧٤-١٧٥).

وتدل نتائج هذا النموذج على أن زاوية الاستقرار *Stable Angle* الحقيقة تتوقف على عدد من الضوابط والخصائص يمثل أهمها في حجم وشكل والكثافة النوعية *Specific Density Gravity* للمواد الأرضية السائبة ودرجة التجانس في الحبيبات والمسافة السفحية التي تقطعها في تحركها من أعلى إلى أسفل (المرجع السابق، ص ١٧٣).

^(٢) مثل الحال في جوانب الكتيان الرملية، وزاوية الاستقرار لوجه الكتيب الملالي والتي تبلغ نحو (٣٣) في حالة الرواسب وتفككها.

الفصل الرابع

القياسات الميدانية لظواهر الكارست

الدراسة الميدانية والتجارب العملية في الجيومورفولوجيا

أولاً : طرق الدراسة القياس الميداني.

ثانياً : أهم الأشكال الكارستية وطرق قياسها ميدانياً.



مقدمة :

من المعروف أن الحجر الجيري *Limestone* بشكل عام كلسي يذوب في المياه تحت الأرضية وكذلك بفعل المياه الجارية التي تحتوى على حمض الكربونيك *Carbonic*^(١)، وينتج عن ذلك تكون العديد من الأشكال الأرضية التي توجد عليها ظاهرات كارستية نسبة إلى إقليم كارست *Karst* بشبه جزيرة استريا بساحل كرواتيا على البحر الإديراتي والذي تتمثل فيه معظم أشكال الكارست المعروفة مثل البوجاز *Bogaz* - الأسطح المشرشرة -، الحفر الغائرة (الهوات)، والأودية العمياء، والكهوف وغيرها.

ونظراً لكون الحجر الجيري من أكثر صخور قشرة الأرض انتشاراً، فإن الأشكال الكارستية توجد في مناطق كثيرة من العالم سواء في العروض المدارية مثل جزيرة جاميكا وفيتنام والجزيرة العربية وأجزاء من صحارى شمال أفريقيا إلى المناطق المعتدلة مثل وسط الغرب الأمريكى إلى المناطق القطبية مثل جزيرة ساوث هامبتون شمال كندا.

ومع شدة تباين الأشكال الكارستية من منطقة إلى أخرى وذلك بسبب اختلاف الظروف المناخية والخصائص الجيولوجية فإن الأشكال الكارستية النموذجية عادة ما توجد في العروض المعتدلة المشابهة لإقليم كارست الكرواتي.

وعادة ما تظهر أشكال لسطح الكارستية المثالية عندما تختفى المياه السطحية في صخور الحجر الجيري المنفذ للمياه والذي يسمح لها بالتشرب *Infiltration* والتخلل *Percolation* في الأرض بشكل سريع، ويؤدي وجود المياه داخل صخور ما تحت السطح وتحركها خلال شقوقها وفواصلها وفجواتها إلى حدوث ما يعرف بالنحت الكيماوى *Corrosion* والذي قد يحدث أعلى وأسفل مستوى الماء تحت الأرضي والذي بدوره يؤثر في صخور الحجر الجيري من خلال ثلاث طبقات تتمثل في الطبقة الواقعة أسفل السطح مباشرة وعلى عدة أمتار قليلة منه والتي تترشح خلالها المياه السطحية ببطء شديد وتقوم بالنحت تحت السطح مباشرة (Pitty, A., 1988, p199).

الطبقة الواقعة لمسافة بعيدة نسبياً من السطح - على عمق عدة مئات من أمتار - وتتأثر بالنحت الذي تقوم به المياه تحت السطحية *Subterranean* وهو نحت كيماوى وإن كان لا يخلو من التأثير الميكانيكى أما ما دون ذلك من أعماق بعيدة في طبقة التشبع الدائم فإنه يصعب التأكد من دور المياه الجوفية في القيام بعمليات النحت.

(١) من المعروف أن الحجر الجيري يتكون أساساً من كربونات الكالسيوم غير القابلة للذوبان *Insoluble*، ولكن لاني أكسيد الكربون الذى قمصه مياه المطر من الجو يحوّلها إلى بيكربونات قابلة للذوبان *Soluble Bicarbonate*، ومن ثم كانت إزالته بفعل إذابة مياه المطر ومياه الأنهار الجارية.

وبشكل عام فإن عمليات الإذابة التي تقوم بها المياه في الصخور الجيرية ينتهي بها الأمر إلى تخفيض سطح الأرض بمعدلات تتراوح في بعض المناطق ما بين ٠,١ إلى ٠,٢ ملم في السنة. وإن المياه السطحية تقوم بالنحت بفعالية كبيرة في السطح العلوي مباشرة يعضدها وجود الشقوق وغيرها من مواضع الضعف الجيولوجي التي تمثل مواضعاً لنشأة وتطور المنخفضات الكارستية بأشكالها المختلفة والتي تختلف من عروض إلى أخرى مما يوضح أثر المناخ في هذه العمليات الكارستية (William, P., W., p.110).

كيفية الدراسة والقياس الميداني :

- (أ) دراسة جيولوجية مستفيضة للمنطقة محل الدراسة لتحديد خصائص صخورها - الجيرية أساساً - الجيولوجية والتركيبية مستعيناً بخريطة جيولوجية تفصيلية.
- (ب) تحديد الخصائص المناخية السائدة، وهي عادة ظروف مناخية جافة في منطقتنا ومن ثم فإن الظاهرات الكارستية الموجودة إما أن تكون ظاهرات كارستية موروثية *Inherited Phenomena* أو نتاج قرب المياه تحت السطحية من الأرض وقيامها بالإذابة الكارستية.
- (ج) تحديد أهم الظاهرات والأشكال الكارستية ومحاولة التعرف على مساهمتها الحقيقية، ثم قياس الأبعاد المورفومترية لكل ظاهرة كارستية لاستنتاج كيفية نشأتها ومراحل تطورها.

وفيما يلي أهم الأشكال الكارستية وطرق قياسها ميدانياً :

(أ) الحفر الغائرة : Sinkholes

كما عرفنا فإن هناك العديد من أشكال التعرية الكارستية في صخور الحجر الجيري الذي يتميز كما عرفنا بكثرة فواصله وأسطح طبقيته والتي سرعان ما تصبح أكثر اتساعاً بفعل عمليات الإذابة لتأخذ أشكالاً وملامح أرضية متنوعة بعضها يظهر فوق سطح الأرض مثل الحفر والمنخفضات الكارستية بأشكالها وأبعادها وأحجامها المختلفة والبوغاز والبعض الآخر مخفياً تحت سطح الأرض مثل الكهوف وما بداخلها من ملامح مورفولوجية تفصيلية مثل النوازل والصواعد والقشور الملحية ومن الأشكال تحت الأرضية الأودية العمياء وغيرها من ملامح نتجت عن عمليات جيوكيماوية.

بالنسبة للحفر الغائرة فهي عبارة عن منخفضات معلقة تتكون وتتطور فوق أسطح جيرية بفعل عمليات الإذابة المائية الكربنة (عودة، ١٩٨٤، ص ١١)، وعادة ما تظهر هذه الأشكال في المناطق الجيرية حيث تكون نتاج تعرية كارستية قديمة ارتبطت بفترات أغزر مطراً كما هو الحال في الوقت الحاضر أو أنها نتجت عن عمليات إذابة تحتية.

وتعد الحفر الغائرة أو الهوات من أكثر الأشكال الكارستية وضوحاً، بعضها يتطور فوق سطح جوى منكهف *Cavernous* تحتى بالرواسب القادمة من جوانب الأودية القريبة وبعضها ذو جوانب شديدة الانحدار تنمى بالعمود عادة ما تتحرر مواضع تقاطع الفواصل الصخرية التى تتحول مع عملية الإذابة التدريجية إلى حفرة عميقة يتوقف شكلها على الخصائص التركيبية التفصيلية.

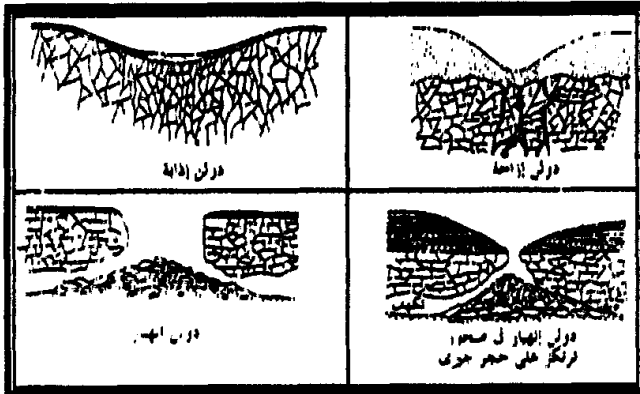
وفي الميدان يمكننا أن نميز بينه نوعيه هذه الحفر الكارستية :

(١) حفر الإذابة : *Solution Sinkholes*

وتنتج عن عملية إذابة تدريجية للصخور السطحية ويطلق عليها أسماء محلية مثل "الدحول والدولينات" وغير ذلك

(٢) حفر الانهيار : *Collapse Sinkholes*

وتنتج عن حدوث عمليات تقوض للتكوينات التحتية بفعل الإذابة مما يؤدي إلى انهيار الصخور السطحية الجيرية. وقد تتصل هذه الحفر بعضها وتكون بالوعات مركبة، كما قد ينتج عن الانهيار تكون أحواض تتميز بشدة المحدار جوانبها تعرف بالبولج *Polje*.



شكل (٢٨) أشكال الحفر الكارستية

ويستخدم الآن مصطلح *Dolin* بشكل واسع الانتشار في الدراسات الجيومورفولوجية الحديثة ليعنى جميع المنخفضات الكارستية بأحجامها وأشكالها وأبعادها الجيومورفولوجية المختلفة سواء كانت ناتجة عن الإذابة أم عن الانهيار، وتتراوح أعماق الدولينات ما بين بضعة سنتيمترات و ٣٠٠ متر أو أكثر وتتراوح انحدارات جوانبها بين ٢٠ و ٩٠ درجة شكل (٢٨).

ولابد في الميدان قبل القيام بالعمل الميداني للظاهرة ذاتها - الدولن *Dolin* - أن نتعرف جيداً على التكوين الصخرى لمنطقة وجودها حيث ترتبط في وجودها بالصخور الجيرية التى تكثر بها مواضع الصعف التركيبى. كذلك نتعرف على خصائص السطح فكلما قل الانحدار ساعد على بناء المساء فتره أطول مما يمكنها من القيام بعملية الإذابة الكارستية فوق سمك أكبر من الطبقات، كذلك معرفة منسوب الماء الجوى. والآخر الغائره انواع مختلفه منها حفر الإذابة وحفر الانهيار وحفر الركام وإذا كانت القياسات لمورفومتريه المعتمدة على خرائط والصور الجوية تفسر فقط الخصائص العامه لتلك الأشكال الكارستية فإن من الأهمية بمكان القيام بقياسات حقلية لإعطاء الخصائص التفصيلية وليس فقط بحجم معرفة الشكل *Shape* والحجم، الصور التورية

وهذه القياسات الميدانية الخاصة بالحفر الغائرة ما يلي :

كثافة الحفر الغائرة : *Dolines Density*

يمثل عدد الحفر الغائرة في كل وحدة مساحية محددة يمكن توقيها على خريطة تفصيلية وتكون معلومة المساحة مع حساب عددها وقسمة هذا العدد على مساحة الوحدة المساحية وتكون على سبيل المثال وحدات مساحية كل وحدة كيلو متر مربع واحد فنقول مثلاً خمس حفر غائرة في الكيلومتر المربع دون الأخذ في الاعتبار التباين في مساحات الحفر وأعمالها. وقد أظهرت الدراسات الخاصة بكثافة الحفر الغائرة وجود علاقة بين كثافتها ومساحتها كما أظهرت وجود علاقة بين الخصائص التركيبية والليثولوجية وكثافة الحفر.

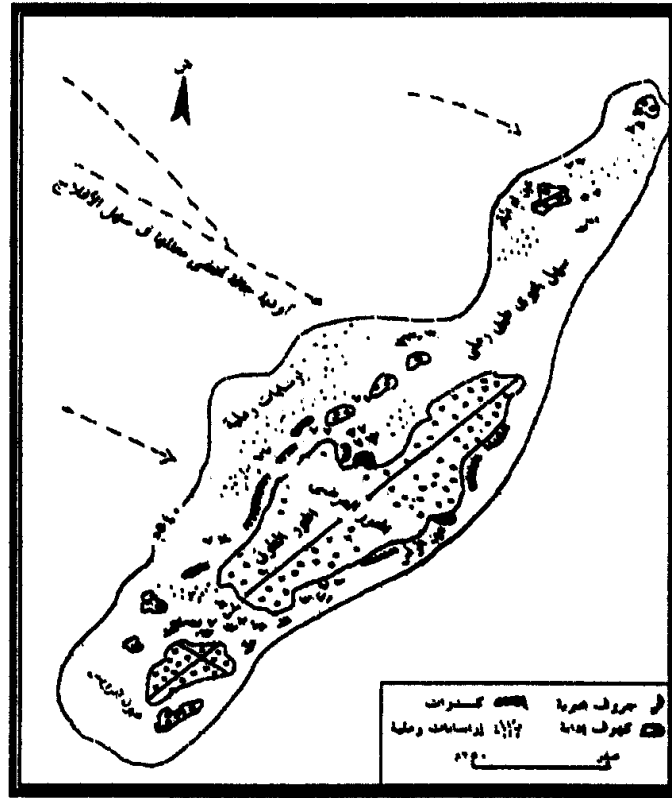
معامل طاقة التخرس : *Relief Energy Ratio*

يمكننا الحصول عليه من خلال النسبة بين عمق الحفرة وقطرها، وإذا كان قطر الحفرة يمكن قياسه ميدانياً أو من خلال خريطة تفصيلية أو صورة جوية فيفضل أن يقتصر قياس العمق في الميدان بطرق القياس المعروفة حيث يصعب بل يستحيل قياسه بدقة من الخرائط أو الصور الجوية لصغر هذه الظاهرة وضخامة معظمها.

ويرى كل من *Balchin* و *Coleman* أن منحني الحفر الغائرة الذي ينشأ بمعلومية إحداثيين أحدهما يمثل العمق والثاني يمثل طول القطر سيكون خطأ مستقيماً إذا ما كانت حفرة إذابة، وإذا ما ابتعد عن الخط المستقيم تكون الحفرة ناشئة بفعل الانهيار.

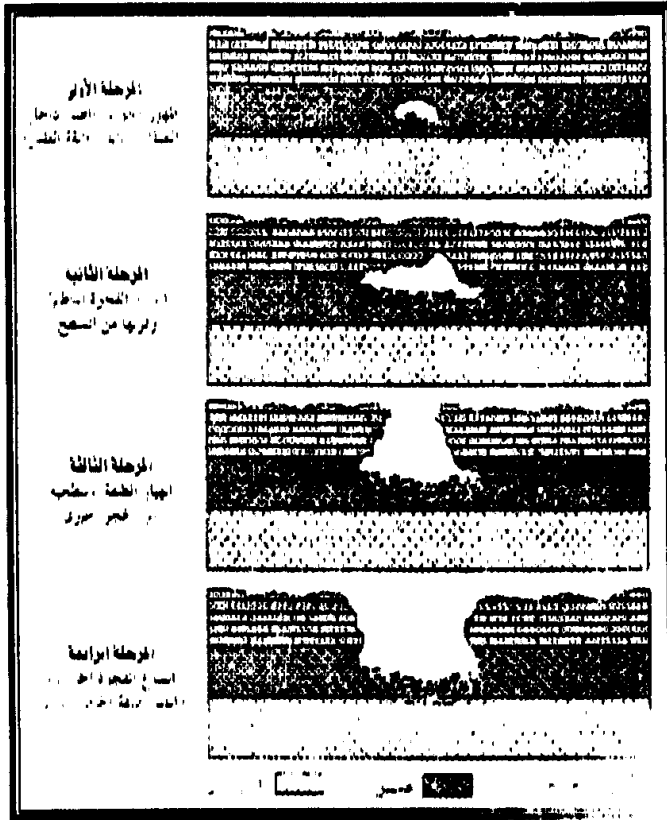
وقد أظهرت دراسة عودة لجيومورفولوجية الجبل الأخضر بليبيا نتائجاً مطابقة للعلاقة السابقة، فقد أظهرت خطوط العلاقة بين العمق والقطر عدم النظام في شكلها - عدم استقامة - كما أظهرت الدراسة كذلك وجود علاقة بين عمر الحفرة ومعدل طاقة التخرس وذلك في حالة حفر الانهيار، حيث أنه كلما صغر هذا المعدل دل ذلك على تقادم عمر الحفرة الغائرة (عودة، ١٩٨٤، ص ٢٧).

وفي دراسة المؤلف الأول بمنطقة التعرية الكارستية في إمارة الأفلاج "مضبة لجد" قام بقياس معامل طاقة التخرس للبحيرات الرئيسية الأربع باعتبارها حفرًا كارستية ووجد أنه يتراوح بين ٠,٠٤٩ في بحيرة الراس و ٠,٢٢ في بحيرة الرويس وهو معامل طاقة تخرس منخفض، إذا ما تم تمثيله على رسم بياني فإنه سوف يتخذ خطأً أقرب إلى الاستقامة مما يدل على الأثر الواضح لعمليات الإذابة بجانب الانهيارات المحددة التي تشهدها جوانبها والتي تم التحقيق منها ميدانياً (المؤلف، ١٩٨٦، ص ١٢٥). يراجع الشكل (٢٩).



شكل (٣٩) بحيرات "عبيون" الأقاليم بحضبة نجد
بالمملكة العربية السعودية

- يمكن الحصول على معامل استطالة الحفر الفائرة وذلك بالحصول على طول الحفر - المحور الطولي - من الخريطة التفصيلية أو من القياس الميداني ونفس الشيء يتم للحصول على العرض، ويستخدم ناتج هذا القياس للدلالة على شكل الحفرة وكذلك يستخدم لتحديد إمكانية الامتداد السطحي وتلاحم الحفر ببعضها وذلك من خلال تحديد محاور أكثر جوانب الحفر تراجعاً وتحديد مدى تماشيها مع الانحدار العام للمنطقة وميل الطبقات بها.
- يمكن عمل قطاعات عرضية أو قطاعات طولية للحفرة بنفس الكيفية التي يتم بها عمل قطاعات ميدانية للأودية أو السفوح خاصة للحفر قليلة العمق وذلك لتحديد أبعادها وتحديد اتجاهات ميل المحور وعلاقته بالانحدار السطح وميل الطبقات وعلاقته كذلك بالصور التركيبية خاصة الصدوع والشقوق حيث توجد بعض الحفر تضافرت في تكوينها وفي تشكيلها الصدوع مع الإذابة والانحياز كما يظهر الشكل (٣٠) تكون حفر الإذابة بفعل المياه الجوفية وانحياز الطبقة الجيرية العلوية، كذلك يمكن تحديد أقصى اتساع للحفرة عن القاع وحساب العلاقة بين مساحة الفتحة العلوية ومساحة القاع وذلك لدراسة وتتبع معدلات تراجع جوانب الحفرة وتحديد دور الإذابة والانهيار في عمليات التراجع، كذلك يمكن عمل قطاعات لجوانب الحفرة وتحليلها وذلك لتحديد ما إذا كانت حفرة إذابة أم حفرة انحدار.

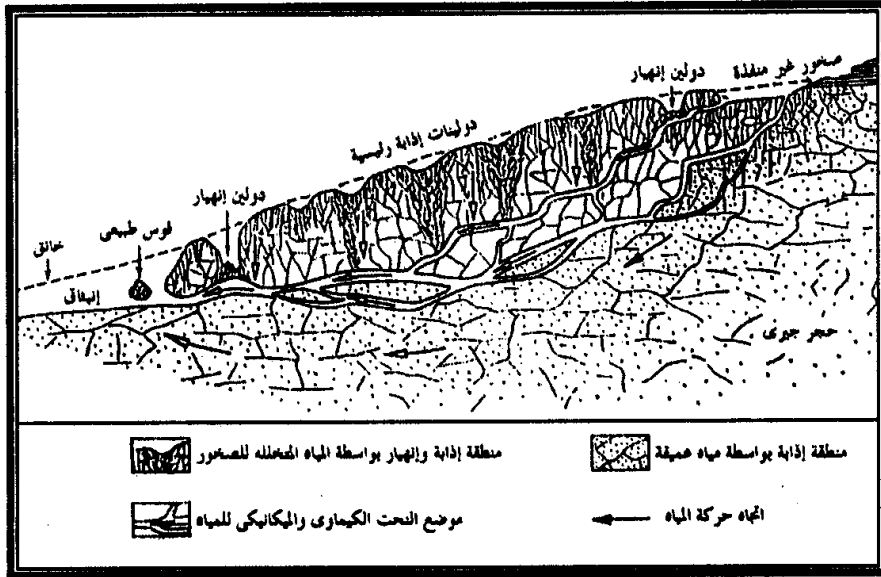


يكون حفر الإذابة بفعل المياه الجوفية
والبحار الطبقة الجيرية العلوية

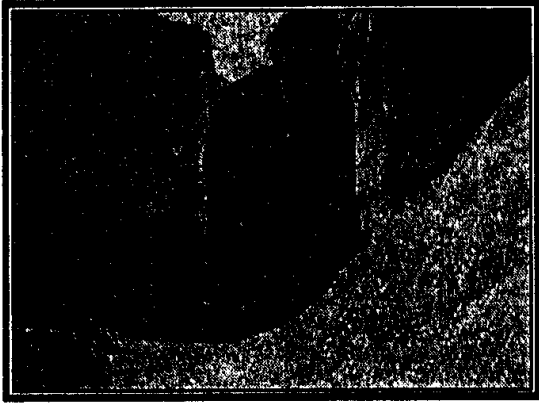
- يمكن من الملاحظات الميدانية تحديد بعض الخصائص التي تميز حفر الإذابة من حفر الانهيار حيث يلاحظ في الأولى خلوقاتها تقريباً من الكتل والمفتحات الصخرية بأحجامها المختلفة إلى جانب تميز جوانبها بنعومتها وتكون أغشية مغارة للون الأصلي للصخر بسبب التجوية الكيماوية بينما تتميز الحفر الناتجة عن الانهيار بتراكمات من الفتحات الصخرية في قيعانها أو عند أقدام جوانبها إلى جانب عدم انتظام الحدار جوانبها وخشونتها مقارنة بالأولى. راجع شكل (٣٠) الذي يوضح حفر الإذابة وحفر الانهيار، حيث يوضح شكل (أ) دولن إذاحة وهي حفر تتج

عن تقويض واتساع للشقوق في الصخور الجيرية التي تتركز عليها التكوينات التي حفرها الدور. ويوضح الشكل (ب) دولن إذابة تتج بسبب حدوث إذابة تدريجية مكرنة للصخور سطحاً وهي عادة ما توجد في مناطق جيرية ذات مناخ رطب مغاير لمناخ منطقتنا العربية وإذا ما وجدت في ستمسا فتكون ظاهرة موروثة *Inherited Phenomenon* من فترات كانت أكثر حظاً في مطرها. ويوضح شكل (ج) دولن انهيار تتج عن حدوث عمليات نفوذية للتكوينات الجيرية النحبة بفعل الإذابة. أدى إلى انهيار الصخور السطحية الجيرية وكثيراً ما تتصل هذه الحفر ببعضها وتكون بالوعة سرعتها. لأصحاب الخبرات العادية تميز كل هذه المؤشرات في الميدان، ويوضح الشكل (د) حفر الدول بعد زيادة الانهيار واتساعها. يلاحظ منها سده الحدار جوانبها وامتلاء قاعها بالفتات المهارة بالحجاب المتباينة.

- توضح الخريطة التالية شكل (٣١)، عددًا من الحفر الغائرة شمال غرب أوريانم بدلايد بدو الأمريكية حيث لها دولبات بقطر ١٠٠ قدم وأعماق ما بين ١٠ و ٣٠ عمقاً يلاحظ بها الشكل السائد للتخفر الغائرة الدائري والبصري مع ظهور عدد كبير حده من الدولبات.



شكل (٣١) حفرة غائرة شمالي غربي ولاية أوريغان الأمريكية



شكل (٣٢) حفرة البولم الناتجة عن اتصال أكثر من حفرة غائرة

- من المعروف أنه عندما تتصل أكثر من "دولن" وتتداخل مع بعضها يصبح المنخفض أكثر اتساعاً مع جوانب متعرجة شكل (٣٢) تعرف بالأوفالا *Ovala* وهناك ما يعرف بالبولج *Polje* ويعني بالسلافية السهل (ماكس ديروو، مترجم، ص ١٦٣)، وتبدو كسهل كارستي مغلق يتراوح اتساعه بين بضعة مئات من الأمتار وبين بضعة كيلومترات بينما يبلغ طوله ما بين عدة كيلومترات وبضعة عشرات من الكيلومترات مع جوانب شديدة الانحدار بينما يتميز القاع بالاستواء وتراكم مفتتات كلسية، وقد يخترقها نهر ولكن ليس له مخرجاً.

(ب) الكهوف الكارستية :

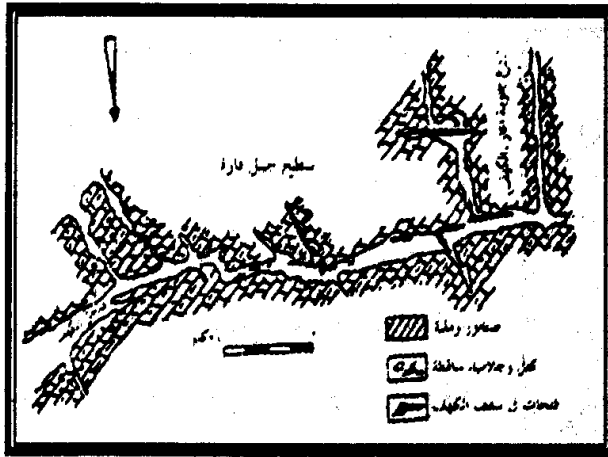
الكهوف الكارستية ببساطة عبارة عن فتحات تؤدي إلى ممرات تحت سطح الأرض مقفلة في امتدادها الفواصل *Joints* والشقوق الصخرية خاصة وأن الأخيرة تحدد أنماط الكهوف وأشكالها المختلفة. وعادة ما تظهر الكهوف الضخمة في المناطق الجيرية خاصة في المناطق الرطبة وإن كثرت في صحارينا الجافة المدارية كنتاج لعمليات تعرية كارستية قديمة أو نتاج فعل المياه الجوفية الحالية مثل تلك الموجودة بالواحات البحرية وجبل أبو رواش وهضبة المقطم وهضبة الأهرام ووادي سنور وغيرها الكثير.

وهناك كهوف تمتد لمسافة تزيد على مئات الكيلومترات مثل كهف ماموث بولاية كنسكى الأمريكية بطول ٣٠٥ كيلومترات وكهف كارلسبار بنيومكسيكو بطول ٤٠٠٠ قدم واتساع ٦٠٠ قدم مع ارتفاع نحو ٣٠٠ قدم.

وتعد الكهوف مناطق لإعادة ترسيب الكربونات والأوز في الشقوق المنتشرة بأسقفها وحوائطها فتكون بالكثير منها الأعمدة الترافرتينية الصاعدة *Up Ward Growing Stalagmites* والأعمدة الترافرتينية الهابطة *Down Ward Growing Stalactites* والتي قد تتصل ببعضها لتكون أعمدة تمتد من السقف حتى أرضية الكهف باستقامة أو بميل، وقد ترسب تراكمات من المتبخرات في قاع الكهف.

وتتم الدراسة الميدانية للكهوف على النحو التالي :

- تحديد مواضعها ومناسبتها بالنسبة للمنطقة فهناك كهوف عند حضيض الحافات والبعض على مناسيب أعلى.
- قبل تحديد مواضع الكهوف لابد للدارس أن يكون لديه دراية كاملة بالوضع الجيولوجى والتركيبى للمنطقة وخصائص الشقوق والفواصل بالمنطقة إلى جانب الدراية بالخصائص المورفولوجية للمنطقة.
- يتم قياس الأبعاد المورفومترية للكهف مثل اتساع فتحته والشكل العام لها وذلك من خلال القياس الميدانى واستخراج معاملات الشكل وطول الكهف داخل السطح ودرجات المحدار قاعه.
- تسجيل بعض الملامح المورفولوجية المرتبطة بالكهف مثل وجود منافس - فتحات رأسية إلى أعلى - أو حدوث انهيارات داخلية من خلال تراكم كتل أو مفتحات صخرية من عدمها وكذلك تسجيل النوازل والصواعد إن وجدت ويمكن أخذ عينات صخرية لتحليلها معملياً من الأعمدة أو من قاع الكهف، وتبع الشقوق داخل الكهف واتجاهاتها وتحديد دورها في تشكيل الجبال الداخلى والذي عادة ما يتجه للضيق نحو الداخل.
- وتوضيحاً لما سبق فقد قام المؤلف الأول بدراسة لكهف (غار) النشاب بجبل قارة بواحة الإحساء بالسعودية وقد اعتمدت الدراسة على القياسات الحقلية (الميدانية) والقياسات من الخرائط التفصيلية وتمثلت نتائج الدراسة فيما يلى :
- ◀ يمتد الكهف بالجانب الشرقى لجبل قارة شكل (٣٣) مع تشعبه داخله لمسافة تصل إلى كيلومتر ونصف.
- ◀ تمتد بالسقف تشققات رأسية إلى أعلى، قد ساعدت هذه التشققات والفواصل الصخرية التى يتميز بها موضع الكهف فى صخور الحجر الجيري على حدوث انهيارات لكتل صخرية بمدخل الكهف وعلى طول امتداده داخل جبل "قارة".



شكل (٣٣) كهف "النشاب" بجبل قارة
بولاية الإسماعيل بالملكة العربية السعودية

نلاحظ امتداد فتحات في سقف الكهف مع استقامة أعليها وتعامدها على امتداد الكهف الرئيسي وزيادة كثافتها بالجانب الجنوبي منه.

تتد على طول قاع الكهف قنوات ضيقة تنتشر في قيعانها تراكمت حصوية مستديرة *Rounded Gravels* ربما تدل على حدوث تحت مائي ميكانيكي نشط في مرحلة عمرية سابقة.

تظهر أعلى قمة جبل قارة التي يوجد كهف النشاب بها سطح متقطع بشقوق تمتد في نمط شجري بأعماق تصل إلى أربعة أمتار في المتوسط مع اتساعات تصل إلى بضعة أمتار مما يؤكد نشاط التعرية المائية القديمة، كذلك تظهر بعض الحفر الكارستية (حفر الإذابة) التي تعرف محلياً بالدحول تتميز بشكلها القمعي وقد يظهر ممتدة في شكل طولي فيما يشبه حفر الأوفالا *Ovala* صغيرة الحجم، وربما تكون نتيجة اتصال أكثر من دحل أو نتجت عن اتساع أحد الشقوق التي توجد فوق قمة جبل قارة شبه المستوية (للاستزادة راجع محمد صبرى محسوب، ١٩٩٠، ص ١٢٠).

كذلك قام سمير سامي بدراسة جيومورفولوجية اعتمدت كثيراً على القياسات والملاحظات الميدانية للكهوف والبالوعات جنوب عمان بمنطقة ظفار يمكن الرجوع إليها للإفادة من كيفية تفهم نشأتها والظروف البيئية الملائمة لها (سمير سامي، ٢٠٠١).

إلى جانب ما سبق توجد ظاهرات كارستية عديدة في منطقتنا مثل حقول الجلاميد *Boulders Fields* وهي مسطحات واسعة تنتشر فوقها جلاميد مستديرة الشكل أو شبه مستديرة ترجع في نشأتها إلى تعرض الصخور الجيري - التي تحوى داخلها عقد أودرنات صخرية *Concretions* من الطران أو الصوان الأكثر صلابة من الحجر الجيري نفسه والأقل قابلية للإذابة - لعمليات إذابة كيميائية بفعل مياه المطر أو المياه تحت الأرضية مما يؤدي إلى ذوبان الحجر الجيري بمعدل أسرع من العقد الطرانية بحيث ينخفض السطح الجيري ويتبقى الجلاميد بأحجامها المختلفة فوق السطح الجيري، وقد تظهر بكاملها أو تكون أجزاء منها مفروسة في الحجر الجيري.



لوحة (٢٦) ظاهرة البطيخ المسفوط بالمضبة الجيرية
في صحراء مصر الشرقية

ويوجد مثل هذا المظهر في مساحات واسعة من المضبة الجيرية فيما بين وادى النيل والوادي الجديد ويطلق عليها هنا "البطيخ المسفوط"، لوحة (٢٦) التي تبين هذه الظاهرة بوادي الأسوطى بالصحراء الشرقية، كذلك تنتشر الأسطح الجيرية المشرشرة في المناطق الجيرية التي تخفى منها الغطاءات النباتية، حيث تتميز بتضررها

وعدم انتظامها وتبدو في شكل أسطح منفصلة عن بعضها بقنوات غائرة نتجت أساساً عن عمليات إذابة على طول امتداد شقوق أرضية ساعدها على ذلك درجة النفاذية العالية التي يتميز بها الحجر الجيري وتوجد في مناطق كثيرة من الهضاب الجيرية المصرية ويمكن تتبعها ميدانياً بالقياس في مناطق حيث لا يتضح في الخرائط وتصبح تحليلها من الصور الجوية، وجدير بالذكر أنه نظراً لفترات الجفاف التي تسود المنطقة في الوقت الحاضر والممتدة من آلاف السنين فقد لعبت التعرية الريحية دورها في إعادة تشكيلها.



لوحة (٢٧) الأرصفة الجيرية المعززة قرب غزير في جبال لبنان

وفي دراسة لتهامي عن الظواهر الكارستية في لبنان ١٩٦٧ قام بدراسة وتحليل العديد منها معتمداً في جزء كبير على الملاحظة والقياس الميداني، ومن أهم الظواهر التي درسها؛ الأرصفة الجيرية والضلع الكارستية، الأولى هي عبارة عن أرسفة من صخور الحجر الجيري مستوية أو شبه مستوية تتحزز

في مواضع الفواصل في مساحات محدودة ترتبط بصخور الحجر الجيري المارلي في المنطقة مجال الدراسة (مدوح تمامي، ١٩٦٧، ص ١٧)، وقد أكدت دراسته على أن هناك مجموعة من الشروط الواجب توافرها لظهور مثل هذه الأرصفة مثل الصخور الجيرية كثرة الفواصل خاصة النوع المتقاطع منها أو النوع المتوازي مع خلو الأسطح من أغشية المفتتات الناتجة عن التجوية، إلى جانب أهمية خلوها من النباتات بحيث يُعطى المجال لتغلغل المياه وزيادة فعاليتها في عمليات الإذابة. لوحة (٢٧)

كذلك درس ضمن ما درس ميدانياً الضلوع الأرضية (وهي ثلمات أو تحزرات متوازية وشبه متوازية) فوق أسطح الصخور الجيرية شديدة الانحدار وهي ما يطلق عليها بالألمانية *Rarren* وبالفرنسية *Lapies* والبوجاز بلغة السلاف (للاستزادة المرجع السابق، ص ١٩). وتوضح اللوحة (٢٨) أحد الكهوف الكارستية بالجبل الأخضر بليبيا وخصائصه المورفولوجية ميدانياً بنفس كيفية دراسة الكهوف بشكل عام.



لوحة (٢٨) كهف كارستى بالجبل الأخضر فى ليبيا

الفصل الخامس

الدراسة الميدانية والتجارب العملية في الجيومورفولوجيا

قياسات وتجارب ميدانية ومعملية للأشكال الأرضية المرتبطة بالرياح

- أولاً: الأشكال الناتجة عن الفتح الرياحي وطرق دراستها ميدانياً ومعملياً.
ثانياً: الأشكال الناتجة عن الإرساب الرياحي وطرق دراستها ميدانياً ومعملياً.
ثالثاً: قياس حركة الرمال في الحقل والمعمل.

مقدمة :

عندما قب الرياح حاملة معها الرمال والأتربة ومحركة الحصباء باتجاه منصرفها فإنها تقوم بعملها الجيومورفولوجى فى نحت الأسطح الصخرية التى تمر عليها أو تقابلها وتؤدى بالتالى إلى صقلها وبريها أو تقوم بتشكيل العديد من الملامح المورفولوجية التى ترتبط بها.

ومن الأشكال المرتبطة بالحت الريعى الأرصفة الصحراوية وثقوب الرياح والحصى الهندسى والتحزرات الرياحية والياردنج والزيوجين وغيرها.

وعندما تقوم الرياح بترسيب حمولتها فإن ذلك لا يتم بشكل عشوائى وإنما توجد أنماط محددة ترتبط بنظم الرياح السائدة أكثر من ارتباطها بطبوغرافية السطح.

ويرى البعض أنه من الممكن توقع كيفية حدوث عمليات الترسيب ومواقع حدوثها من خلال وضع نظام خاص بحركة الرياح وعمل عدد كبير من محصلات انسياق الرمال فى منطقة ما (Derbyshire, and Others, 1978, p.17).

وجدير بالذكر أنه لابد من دراسة عدة عناصر لكى يتسنى لنا تفهم الأشكال الناتجة عن الإرساب الهوائى وخاصة الكثبان الرملية مثل خصائص السطح الذى ينتشر فوقه الرمال وكذلك دراسة المناطق الواقعة بينها والتى عادة ما تغطى برواسب رملية تختفى فى أغلب الأحوال تحت التكوينات الحصوية الخشنة.

وتعد دراسة العلاقة بين اتجاه الرياح وقوتها من جهة وكميات الرواسب من جهة أخرى ذات أهمية كبرى فى تفسير خصائص الكثبان الرملية من حيث الشكل وكيفية التكون والتشكيل وهكذا فإنه من الضرورى الاهتمام بتفهم نظم الرياح السائدة ومصادر الرمال المحلية، ومن المهم أيضاً توضيح مدى الاختلاف بين أثر كل من الرياح القوية والرياح الضعيفة. وهنا يمكن أن نشير إلى أن Bagnold قد حدد السرعة القوية بالنسبة للرياح بأنها تلك التى تزيد على ٢٥ سنتيمتر فى الثانية وذلك عند ارتفاع ٣,٠ سم من السطح وإن كان هذا يعتمد كما ذكر Bagnold نفسه اعتماداً جزئياً على خشونة السطح ونوع الصخور والغطاء النباتى بحيث إذا ما زادت درجة خشونة السطح Surface Roughness فإن الرياح قدأ قبل بناء الكيب، وعلى ذلك فإن بناء الكثبان وتكوها فى المناطق التى تتميز بخشونة سطحها يكون أقل احتمالاً مقارنة بإمكانية تكوها فوق السطوح الأقل خشونة والتى تتميز بالاستواء. وعادة ما تعتمد الرياح الباية للكثبان إلى العمل على زيادة حجم الكيب، ومن ثم يطلق عليها الرياح الباية للكثبان، بينما تؤدى الرياح الضعيفة إلى زيادة طول الكيب على امتداد كتله (King, C., A., H., p.134) إلى حاب أهمية فهم طبيعة الرياح من حيث الاتجاه والسرعة وعلاقة ذلك بتفهم الأشكال الرملية الناتجة عن الإرساب الهوائى، فإنه من الضرورى أيضاً الإلمام بتفاصيل أكثر عن نسب وفترات سكون الرياح وفترات قوتها وعمل مقارنة بينها.

وعندما تترسب الرمال أثناء عملية نقلها فإنها تأخذ شكل قموجات رملية أو ما يعرف بنيم الرمال *Ripples* أو قد تشكل كثنائاً عرضية *Trensverse Dunes*، وهذا الترسيب المؤقت ينتج عن حركتين هما حركة القذف الناتج عن اصطدام حبيبات الرمل القافزة فوق سطح غير منتظم نسبياً مع تراكم رمل في الجانب المواجه للرياح أكبر منه في الجانب المظاهر (للاستزادة، محمد صبرى محسوب، ٢٠٠١، ص ص ٢٩٦-٢٩٩). والحركات الايرو ديناميكية التي ينتج عنها ثلاثة أشكال من الإرساب الرملى تتباين فيما بينها من حيث الحجم وهى قموجات صغيرة أثبت باجنولد من تجاربه العملية أنها تظهر عندما تثار الرمال بفعل الرياح وكذلك كثنان رملية عادية وكثنان ضخمة.

وبشكل عام تتعدد الأشكال الرملية المرتبطة بالترسيب الرياحى وتتراوح بين قموجات خفيفة (نيم الرمال) أقل من بضعة سنتيمترات وكثنان ضخمة *Mega Dunes* تزيد ارتفاعاتها على ١٥٠ متراً، كذلك تختلف الأشكال الرملية وتتنوع من كثنان هلالية وكثنان طولية ونجمية وكثنان عرضية وكثنان الظل وغيرها مما يستوجب معرفتها ميدانياً وقياس أبعادها واستنتاج كيفية نشأتها ومتابعة حركتها وقياس معدلات التحرك كما يمكن قياس أبعادها وتطور أحجامها والعمليات التي تتم على كتلة الكثيب من إزالة وردم وغيرها.

أولاً : الأشكال الناتجة عن النحت الرياحى فى الميدان والمعمل :

(أ) الأرصفة الصحراوية :

تبدو فى الطبيعة كمنطقات متسعة ومستوية تقريباً تغطى بطبقة رقيقة من الرمال الخشنة المختلطة برمال ناعمة (قطر الحبة نحو ٠,٠٦ من المليمترات وقد تغطى بحصى وشظايا صخرية). وتعد الأرصفة الصحراوية *Desert Pavements* من الأدلة الواضحة على دور الرياح الهام كعامل نحت فى المناطق الجافة.

تظهر الأرصفة الصحراوية فى مناطق عديدة من الصحراء الغربية فى مصر ومناطق بالصحراوين الشرقية وسيناء فى مصر، وكذلك فى الصحارى المدارية الأخرى بالجزيرة العربية وشمال أفريقيا وأستراليا فى الأخير يعرف بسهول الجبير.

وتمر الأرصفة الصحراوية بثلاثة مراحل فى تطورها الجيومورفولوجى :

المرحلة الأولى :

ظهور سطح تعرض للتجوية فتكونت فوقه توضعات من الحصى مختلطة حبات الرمل بأنواعها المختلفة (أحجامها المختلفة).

المرحلة الثانية :

تشهد عمليات التذرية بفعل الرياح *Wind Deflation* مما يؤدي إلى إزالة الحبيبات الرملية باستثناء ما يحتوى من الرواسب الناعمة في الفراغات البينية للحصى وأسفله.

المرحلة الثالثة :

تتوقف عمليات التذرية بحيث يُغطى السطح برواسب خشنة من حصى ورمال محمية أو رمال خشنة لم تستطع أن تحركها أو تزيلها.

وقد قام *Bagnold* بتجربة معملية لاحظ فيها تركيز المواد الخشنة على سطح رملي تعرض لهبوب تيار هوائي، حيث اندفعت الرمال متوسطة الحجم ٣, ٥ ملم أما حبات الرمال الخشنة بينما استقرت الرمال الناعمة (٦, ٥ ملم) محتمية بين الحبات الرملية الخشنة (أكبر من ٥, ٥ ملم) والتي يصعب تحريكها بدون هبوب رياح قوية ومن هنا استنتج ظهور الأسطح المكونة من رمال خشنة مختلطة برمال ناعمة مع ندرة واختفاء الرمال المتوسطة الحجم، وكثيراً ما تظهر فوقها جلاميد *Boulders* وحصى وحصباء (محمد صبرى محسوب، ٢٠٠١، ص ٢٧٤).

وفي الميدان يمكن عمل قياسات تتمثل في تحديد منسوب سطح الرصيف بالنسبة للمناطق الخيطة ويمكن الاستعانة بخريطة كنتورية تفصيلية لتحديد المنسوب العام للرصيف، كذلك يمكن تحديد معدل التذرية بالرصيف الصحراوي من خلال أخذ عينات من الرمال من مواضع مختلفة ومتباعدة وحساب نسبة المواد الخشنة بالنسبة للرمال الناعمة وكلما زادت نسبة الرمال الخشنة فإن ذلك يدل على زيادة في فعالية وقدرة الرياح على التذرية، وبقسمة وزن الرمال الخشنة على وزن عينة الرمال الناعمة فإن الناتج إذا ما زاد على رقم (١) دل ذلك على زيادة عملية التذرية السائدة.

وجدير بالذكر أنه في حالة وجود حبات صخرية بنفس الكثافة النوعية ^(*) - ذات كثافة نوعية واحدة - وموجودة في نطاق هوائي متجانس في كثافتها النوعية أيضاً فإن حجم الحبات في هذه الحالة سيكون العامل الرئيسى الذى يلعب دوره مع الجاذبية الأرضية والتي تساوى ٩٨٠ سم/الثانية. كذلك هناك علاقة بين الحبات المتجانسة في كثافتها النوعية من حيث حجمها وبين سرعة الرياح المطلوبة لبدء تحريكها، فالحبات ذات الأقطار الأكبر حجماً من المليمتر تتطلب رياحاً تتراوح سرعتها ما بين ٩,٨ - ١٢,٤ متر/ ثانية وذلك لكى تبدأ في تحريكها ^(**).

(*) الكثافة النوعية لرمال الكوارتز يبلغ ٢,٦٥ جرام/سم^٣ وهناك معادن أقل وزناً مثل الماجنييت ومعادن أخف وزناً مثل الجبس.

(**) عادة ما تتحرك مع رياح قب في تيار سريع بين عقبتين.

ومن ثم فإن الدارس في الميدان عليه أن يعرف أحجام الحبيبات السائدة من خلال أخذ عينات بالطرق المعروفة وتحليلها حجمياً لتعطيه مؤشراً على معدلات تحركها بواسطة رياح متحركة بسرعات معينة، كذلك يمكنه عمل أعمدة رسوبية في مواضع من الرصيف الصحراوي لتحديد سمكه وتتبع أحجام الرواسب من أعلى إلى أسفل، كذلك يمكنه ميدانياً تحديد خصائص المواد المتلاحمة من حيث درجة مقاومتها لعمليات النحت وذلك بأخذ عينات من تلك المكونات المتلاحمة وتحليلها معملياً فإذا ما كانت نسبة الصلصال ما بين ٢٠ - ٣٠٪ والغرين من ٤٠ - ٥٠٪ والرمل ما بين ٢٠ - ٤٠٪ يكون هذا التكوين المتلاحم أكثر التكوينات قدرة على مقاومة نحت الرياح عكس الحال مع اختفاء الصلصال وسيادة الغرين الرمل في المادة اللاصقة وهذه التكوينات المتلاحمة يقصد بها تربة أو رواسب سطحية متماسكة وهي بدورها تختلف عن الصخور الرسوبية أو النارية القديمة التي لا تتعرض لنحت الرياح منها سوى الطبقات السطحية المكشوفة (محمد صبرى محسوب، ١٩٩٧، ص ٢٧١).

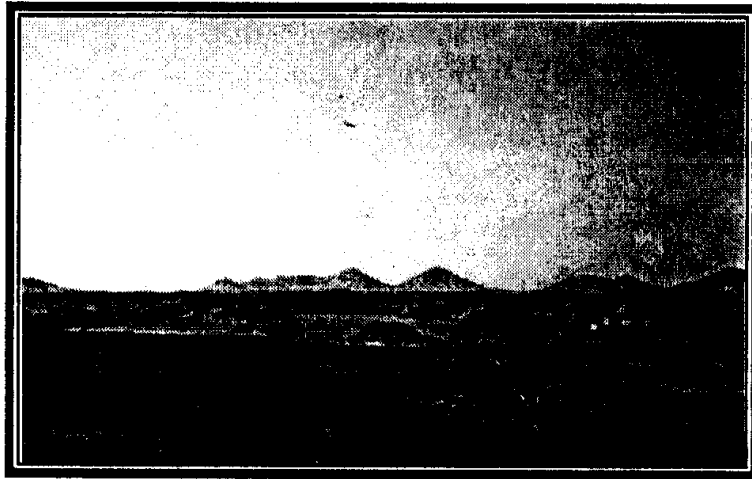
وفي هذا السياق يجب ذكر أن عملية التذرية تنتج عن قوة دفع للتيارات الهوائية واحتكاكها بالسطح والتقاطها للحبيبات الدقيقة التي يسهل حملها بالطرق المختلفة.

أما البرى فتقوم به الرياح المسلحة بحبيبات الرمال والتي تستخدمها كأدوات *Abrasive Tools* لبرى وكشط الصخور.

وقد أوضح شارب *Sharp* أن معدل البرى يزداد بدرجة كبيرة عندما تتوافر حمولة كبيرة للرياح وعلى مناسيب قريبة من سطح الأرض.

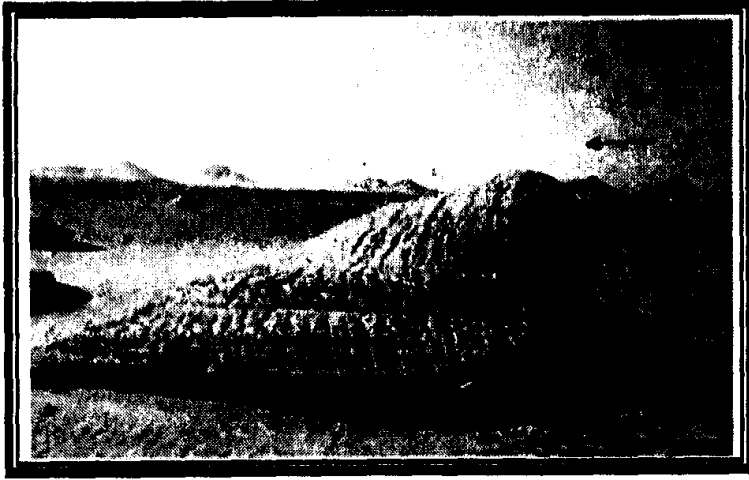
(ب) اليا (دنج) : *Yardangs*

من الأشكال المورفولوجية صغيرة الحجم والتي تنتشر في الصحاري المدارية بحيث تبدو في شكل حافات طولية ضيقة ومنفصلة أو متوازية فيما يمكن أن نسميه حقل ياردنجات لوحة (٢٩).

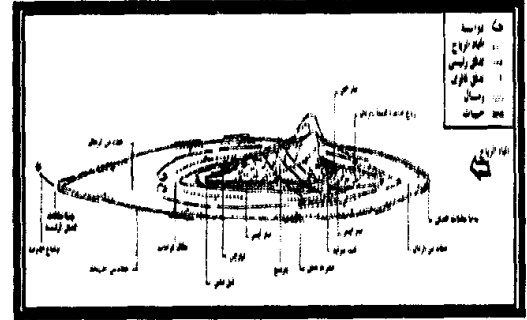


لوحة (٢٩) مجموعة من اليا (دنج)

ومما يعيننا هنا دون الخوض في دراسة نشأتها أن نحدد كيفية قياسها في الميدان وتحديد كيفية قيام الرياح بتشكيلها وتعديل أبعادها مع العلم مسبقاً أنها عادة ما تمتد في موازاة الرياح السائدة كما يتضح ذلك من الشكل (٣٤) والصورة (٣٠).



لوحة (٣٠) إحدى الهاردنجات النموذجية
بمنخفض الواحات البحرية



شكل (٣٤) كيفية بحث الرياح للباردمج
وتطور شكلها

(١) قياس الأبعاد :

يمكن أن تقاس أبعادها المتمثلة في الطول والعرض والمساحة التي تشغلها والطول الموجي - المسافات البينية - من خلال موزايك الصور الجوية (*).
وفي الميدان يمكن قياس طول الiardنج ومتوسط عرضه وارتفاعه بسهولة بواسطة شريط تيل وشواخص، كما تقاس الحداثات جوانبها ومقدماتها ومؤخراتها.

ويمكن حساب مساحة الiardنج من الميدان من خلال المعادلة التالية :

$$\text{مساحة الiardنج} = \text{طول الiardنج} \times \text{متوسط عرضها}$$

والأخيرة يتم من خلال عمل ثلاث قياسات في مواضع معينة على طول امتدادها خاصة مع عدم انتظام عرض الiardنج في معظم الأحوال.

كذلك يمكن حساب حجم الiardنج من المعادلة التالية :

$$\text{حجم الiardنج} = \text{المساحة} \times \text{الارتفاع}$$

(*) علماً بسهولة قياسها من الصور الجوية في حالة كبر أحجامها.

(٢) ويمكن بعد ذلك حساب متوسطات الأحجام ومتوسطات المساحة^(١) ومتوسطات الأبعاد المختلفة وكذلك الانحراف المعياري وغيرها من بيانات إحصائية لدراسة الصورة العامة لحقل ياردنج في منطقة ما ودراسة العلاقات الارتباطية بين الأبعاد المختلفة ومعرفة الخصائص المورفومترية والمراحل التطورية التي تعيشها الظاهرة.

(٣) ويمكن من خلال القياس تحديد البعد الرئيسي المتحكم في الأبعاد الأخرى للياردنج. مثلما حدث في معظم الدراسات التي تمت على الياردنج بالصحراء الغربية في مصر، فقد وجد أن الطول يمثل البعد الرئيسي الذي يرتبط في علاقات ارتباطية موجبة مع العرض والارتفاع. ويمكن حساب العلاقة بين شكل الياردنج وذلك من خلال تحديد معامل الشكل والممثل في العرض إلى الطول، والعملية الجيومورفولوجية التي شكلتها.

(٤) وفي هذا الشأن ذكر كل من Ward and Greeley, 1984, p.836 بأنه إذا ما كان معامل الشكل في الياردنج أكبر من ٤/١ فيدل ذلك على ضيق الياردنج وبالتالي يدل على زيادة فعالية عمليات النحت وإذا ما قلت النسبة عن ٤/١ يدل على ضعف عمليات النحت.

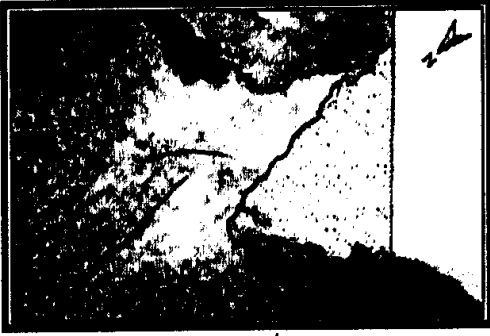
(٥) كذلك تدل زيادة المسافات البينية (الطول الموجي) على زيادة فعالية النحت وتراجع جوانب الياردنج. وفي الميدان كذلك يتم اخذ عينات من مناسيب مختلفة من الياردنج وتحديد خصائصها الحجمية والكيمائية من خلال التحليل المعملی للإفادة من نتائج التحليل مع تفهم الخصائص المورفولوجية والمورفومترية للياردنج.

(ج) الموائد الصحراوية " الصخور الارتكازية " : *Pedestal Rocks*

تشكل الموائد الصحراوية *Pedestal Rocks* من كتل صخرية متبقية من سطح تحاتي قديم أعلى منسوباً من المستوى الحالي، وعندما تتعرض الكتل الصخرية المتبقية للبرى بفعل الرياح فإنها تأخذ أشكالاً متميزة ترتبط أشكالها بخصائص صخورها من حيث الصلابة أو التباين في صلابتها (كأن تتعاقب صخور صلبة مع صخور لينية)، ومن حيث تعرضها للتشققات وكذلك ترتبط بسرعة الرياح ودرجة فعاليتها في النحت وفي مدى انكشاف الأسطح التي تهب فوقها.

وفي مناطق كثيرة من صحراء مصر الغربية تظهر الموائد الصحراوية مكونة من طبقات صلبة من الحجر الجيري تتعاقب مع طبقات طفلية أقل صلابة، ومن ثم يختلف معدل تآكل جوانب المائدة الصخرية حسب طبيعة صخورها وحسب الارتفاع وكذلك تبعاً لمواجهة الجوانب للرياح السائدة، حيث تقوم الرياح بالنحت على ارتفاعات محددة ويظهر تأثيرها بوضوح في حالة ما إذا كانت الطبقة السفلى مكونة من صخور طفلية لينية.

(١) يمكن حساب مساحة سطح الياردنج وحساب المساحة التي تشغلها القاعدة وإيجاد العلاقة بينهما.



المصدر: إحسان سعيد، ٢٠٠٥

شكل (٣٥) دور الرياح في تحت الصخور المتعاقبة
بمائدة صحراوية غرب منخفض سيوة

ويمكن في الميدان قياس معدلات التراجع لجوانب
المائدة الصخرية بالنحت في الطبقات الصخرية
المختلفة وذلك باستخدام شريط من الكتان وشاخص من
الخشب أو البلاستيك بطول مترين أو ثلاثة.

ويوضح الشكل (٣٥) كيفية متابعة دور

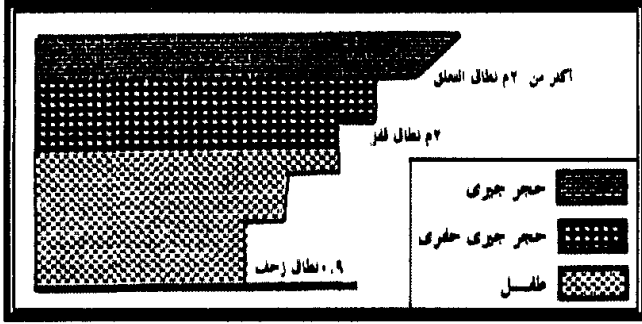
الرياح في تحت صخور متعاقبة بمائدة صحراوية
غربي منخفض سيوة، ويلاحظ فيها :

- (١) طبقة من الحجر الجيري الطلب تعلو طبقة من الحجر الجيري الحفرى تتركز على طبقة من الطفل.
"راجع اللوحة (٣١) التي تبين المائدة الصحراوية بالشكل السابق رقم (٣٥)."



لوحة (٣١) المائدة الصحراوية المدروسة بالشكل رقم ٣٥
بمنطقة الموائى غرب المنخفض (سيوة)

- (٢) نلاحظ التراجع في الجانب المواجه للرياح بشكل متناقص بالارتفاع مع إمكانية تعرض الطبقة العليا
للسقوط بعد التراجع للطبقات الأسفل (الحجر الجيري الحفرى بسمك ٦٠ سم، والطبقة الطفلية والجبسنية
بسمك ٥٠ سم السفلية التي تعرضت للتراجع بمعدل أسرع) (إحسان سعيد، ٢٠٠٤، ص ١٤٠).
(٣) يمكن من الميدان ملاحظة عدم تراجع الجانب المظاهر للرياح بشكل يمكن مقارنته بالجانب المواجه.
(٤) يلاحظ كذلك استواء قمة المائدة بسبب صلابة الطبقة والعليا الجيرية وعدم ميلها.
(٥) يتضح أن مقدار التراجع بالنحت الريحي يتوقف على الارتفاع عن سطح المنطقة المتاخمة لقاعدة
المائدة، فيتضح أن التراجع نتيجة لاصطدام الحبيبات الزاحفة والقافزة يصل إلى ما بين ٩, ٠
ومترين حيث تزيد القدرة على النحت بسبب كبر حجم أدوات الحت الممثلة في الحبات الرملية
الزاحفة والقافزة خاصة نطاق القفز الذى يبعد عن مجال الاحتكاك بسطح الأرض مما يزيد من
فعالية البرى Abrasion.



شكل (٣٦) تأثير الانخفاض عن سطح الأرض على دور الزحام في نحت الصخور بجبل أم دويجل بواحة سيوة

ويمكن في الميدان تحديد الارتفاعات بالأمتار أو السنتيمترات - حسب ارتفاع المائدة ومقدار تراجع الجانب المواجه للرياح بالقياس بالأمتار وكذلك للمقارنة قياس التراجع في الجانب المظاهر مع تحديد أنواع الطبقات الصخرية، كل ذلك يهدف إلى دراسة الارتباط بين هذه العناصر المذكورة، شكل (٣٦) الذى يلاحظ منه تأكل

الصخور اللينة وتراجعها بشكل أكبر مع تميز القاعدة باتساعها نتيجة لضعف فعالية الرمال الزاحفة في النحت.



لوحة (٣٢) أحد الشواهد الصحراوية بالواحات البحرية

وتوضح اللوحة (٣٢) أحد الشواهد الصخرية بالواحات البحرية والى يتضح منها تحديد آلية نحت الرياح للصخور المتعاقبة مع ملاحظة عدم استواء القمة على غير الحال مع الشكل السابق ويرجع ذلك إلى أن أعلى المائدة الصحراوية بالشكل (٢) يتكون من طبقة صلبة جيرية بينما في اللوحة (٣٢) فإنه يتكون من طبقة طفلية لينة مما جعل

القمة غير منتظمة على النحو المبين، يلاحظ من الصورة كذلك شدة تراجع القاعدة المكونة من حجر رملى بسمك ٣٣ سم مرتكزة على صخر جبرى وذلك في نطاق الزحف، وفي القطاع السفلى من نطاق القفز *Saltation Sector* (محمود دسوقي، ٢٠٠٥، ص ٩٠).

ويمكن من الحقل تحديد المراحل العمرية التى تمر بها المائدة الصحراوية من خلال تحديد مؤشرات تدل على ذلك فإذا لم يكتمل الشكل النموذجى للمائدة والمتمثل في تراجع واضح للقطاع السفلى من المائدة مقارنة بأعلىها مع وضوح قممها المستوية في أغلب الأحوال. وإذا ما تسارعت عمليات النحت الريحى مع تضافر عمليات جيومورفولوجية أخرى وعدم قدرة قاعدتها على تحمل أعاليها فتتهار الصخور العليا وتتجه المائدة نحو التلاشى وتصل بذلك إلى نهاية مرحلة الشيخوخة، كما تظهر اللوحة (٣٣) تكون شرفة *Visor* على جانب الطبطح بالحافة الجنوبية المنخفضة سيوة متجه لتراجع أسفل الحافة (أقدام الجرف).



لوحة (٣٣) تراجم الصخور بجبل الطباطام بالحافة الجنوبية لمدخض سبيوة
مع نحت أقدام الجروف وتكون شرفة جبلية Visor

(٤) ورنيش الصحراء : Desert Varnish

يقصد بالورنيش الصحراوى ظهور مساحات واسعة من الأسطح الصخرية العارية أو المغطاة بأغشية حصوية أو حصباء تبدو داكنة اللون أو ضاربة إلى الحمرة، وقد نتجت أساساً من تكون راقات من أكاسيد الحديد أو أكاسيد المنجنيز المختلطة ببعض السيليكات، وقد نتجت أصلاً لسببين أساسيين؛ **الأول:** إما نتيجة لصعود مياه تحت أرضية مشبعة بالأكاسيد بحيث تبخر نتيجة لزيادة طاقة التبخر مع ارتفاع درجة الحرارة، **الثاني:** أنها نتجت بسبب حدوث أكسدة للمكونات المعدنية للطبقة السطحية من الصخر مع زيادة نسبة الرطوبة في الجو خاصة قرب أسطح البلايا الداخلية أو بالأسطح الصخرية المتاخمة للسواحل كما أن لتكون الندى في الصباح الباكر دورة الكبير في تكورها.

ويتمثل دور الرياح هنا في صقل *Polishing* وتلميع هذه الأسطح من خلال هبوبها فوقها بما تحمله من رمال بحيث تبدو من بعيد كأسطح مائية نتيجة لانعكاس الضوء عليها.

وكما ذكرنا فقد تظهر الطبقة ذات السطح المتأكسد داكن اللون، وقد تظهر الحصوات مغطية لسطح رصيف صحراوى وقد غلفت بأغشية رقيقة من أكاسيد الحديد أو الماغنسيوم أو المنجنيز بحيث تلمعها حبيبات الرمال التي تسفيها الرياح تحت وهج أشعة الشمس، وإذا ما فحصنا ميدانياً حبات الحصى سنجد أسطحها المعرضة للهواء متأكسدة ولامعة عكس الحال مع أوجهها التي تتركز بها على السطح والتي يختلف ألوانها عن تلك المعرضة للهواء و أشعة الشمس. وجدير بالذكر أن اللون الأسود للحصى أو السطح العلوى دليل على نقص فعالية عمليات التعرية لفترة زمنية طويلة.

وفي الميدان يمكن تحديد مساحات هذه الأسطح المغلفة بالورنيش الصحراوى وتحديد مناسيبها وعمق مستوى الماء تحت الأرضى أسفلها وكذلك تحديد سمك الغلاف المتأكسد من خلال عمل ثقب ضحلة حيث لا يزيد سمكها عادة على بضعة سنتيمترات أو مليمتترات. كذلك يمكن أخذ عينات وتحليلها معملياً مع معرفة خصائص الرطوبة النسبية في موطن انتشارها وكذلك عنصر الندى ومصادره الرئيسية.

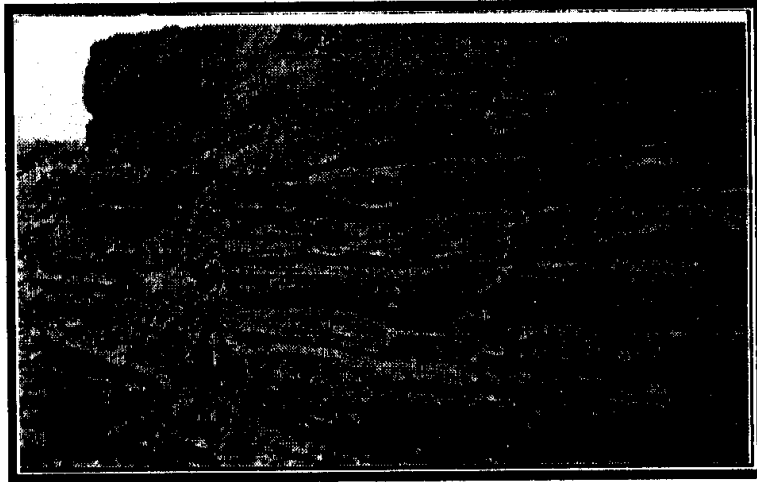
وفي دراسة "لنبيل إمبابي" للورنيش الصحراوي في منخفض الخارجة ومؤشرات المناخ القديم قام بدراسة خصائصه المورفولوجية والليثولوجية وتحديد أثر المناخ القديم، وقد أظهر أنه يعكس ظروف مناخية قديمة وليس للمناخ الحالي دور فيه، ودرسه على أساس في أراضى ما بين الأودية على طول أقدام الحافة الشمالية الغربية (شمال جبل طارف) وأقدام جبل الطير وعلى تلال الحجر الرملي في الجزء الجنوبي من المنخفض وغيرها، وقام بتحديد خصائصه الكيماوية وأظهر دور التجوية الحيوية في تكوينه. (للاستزادة راجع 94 - 89 pp: Embabi, N., S., 1969).

(هـ) بعض الأشكال الدقيقة الناتجة عن فعل الرياح من الميكان :

هناك العديد من الملامح الدقيقة الناتجة عن فعل الرياح في المناطق المدارية الجافة يتمثل أهمها فيما يلي :

(١) التحزرات : *Flutes*

تعرف كذلك بحزوز الرياح حيث تكون الأخيرة العامل الرئيسى في تكوينها على أن يكون امتداد هذه الحزوز على جوانب الأودية أو الحافات أو أى سطح بارز في موازاة الرياح المشكلة لها. حيث تقوم بنحت الطبقات اللينة *Soft Layers* مثل الطفل والمارل المتعاقبة مع تكونات صلبة حيث تبقى الأخيرة بارزة ومحددة لتلك الحزوز، وقد تمتد هذه الحزوز امتدادات طولية نسبياً ويتوقف اتساعها وعمقها على خصائص الطبقة المنحوتة من حيث سمك هذه الطبقة ودرجة ليونتها وكذلك قوة الرياح ومنسوب الشق (الحز) من السطح واتجاه الرياح بالنسبة للسفح المعرض للتحزز.



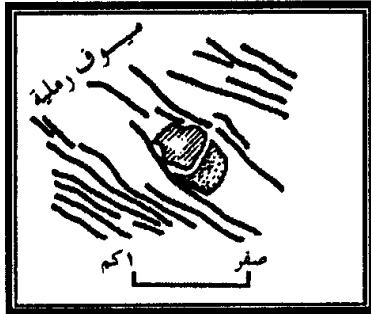
لوحة (٣٤) تحزرات الرياح في صخور غير متجانسة

وهناك تحزرات في صخور غير متجانسة وهى ما أشير إليها آنفاً كما يتضح باللوحة (٣٤)، وعادة ما تكون عميقة وأكثر اتساعاً مقارنة بتلك الموجودة في الصخور المتجانسة والتي تبدى مقاومة بدرجة واحدة أمام برى الرياح كما أنها - أى الأخيرة - تتميز عادة بقصرها وضحولتها.

ويتم مقياس التمزقات في الحقل (الميدان) فقط للصعوبة البالغة من قياسها من الصور الجوية أو الفوتوغرافية وذلك من خلال قياس أطوالها ومناسبتها من السطح العام ومتوسط أعماقها على طول امتدادها وكذلك متوسط اتساعها ودرجة موازاتها مع بعضها. مع الأخذ لعينات صخرية من داخل التمزقات والحواف الممثلة للصخور الأكثر صلابة لتحليلها معملياً. ويمكن ملاحظة عدم استمراريتها لأسباب تتعلق بوجود قاطع من صخور صلبة أو شق تكتوني على المنحدر الذي تظهر به تلك التمزقات (راجع الشكل الخاص بتطور المائدة الصحراوية).

(٣) حفرة التذرية : Deflation Hollows

حفر صغيرة الحجم في معظم الأحوال تنتج عادة من تحت الرياح لأسطح تغطيها تكوينات غير متماسكة أو ضعيفة التماسك من الطين والطفلة وفيها تقوم الرياح بتذرية السطح، وقد تنتج عن حدوث دوامات هوائية دورانية عنيفة أثناء فترات ارتفاع درجات الحرارة وسيادة الجفاف *Drought*. وتأخذ هذه الحفر أشكالاً متنوعة حسب طبيعة المنطقة موضع الحفر أو حسب قوة الرياح. وعادة كلما صغرت مساحات هذه الحفر قلت أعماقها. وبشكل عام فإن هذه الحفر ترتبط في امتداداتها وجودها باتجاه الرياح السائدة. وقد تظهر بين الكثبان الرملية - الممرات الفاصلة بينها - أو قد تظهر في مناطق منعزلة ترتبط بهوامش الغرود الرملية الهلالية في مناطق منصرف الرياح ويتراوح اتساعها بين عدة مئات من الأمتار المربعة أو أصغر من ذلك وقد تزيد إلى كيلو مترات مربعة.



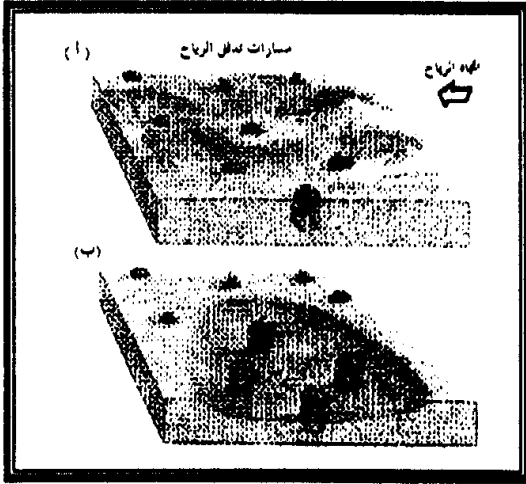
شكل (٣٧) حفر التذرية بين
سيوف رملية جنوب غرب بتسوانا

ويوضح الشكل (٣٧) حفر تذرية *Pans* بين سيوف رملية كما تظهر حفر بيضية الشكل ما بين قرني أحد الكثبان الهلالية جنوب غرب "بتسوانا" كما يظهر من الشكل السابق (٣٧ج) حفر تذرية متباعدة الشكل والمساحة بين الكثبان الرملية غرب السودان. راجع اللوحة (٣٥).



لوحة (٣٥ أ) حفر التذرية يظهر بقاعها جلايد ومصى

وكثيراً ما تظهر في صحارى مصر وداخل المنخفضات الصحراوية وكثيراً ما يتوقف عمقها عند منسوب المياه الجوفية.



شكل (٣٨) كيفية تكون وتطور حفرة التذرية

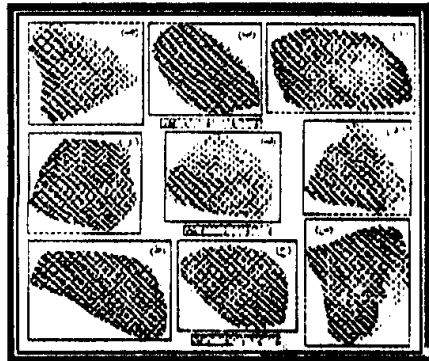
ويتم قياسها ميدانياً من خلال تحديد شكلها مساحتها وعمقها وخصائص الصخور التي تم حفرها بها وغير ذلك من قياسات وإذا ما كانت موجودة ضمن مجموعة من الحفر فبممكن تحديد نمط توزيعها للتمكن من تحديد أسباب وجودها بهذا الوضع. مع ملاحظة وجود بعض الحفر المحدودة تشكلت فوق أسطح رملية بسبب دوامات هوائية أو مع نمو نباتي قد يؤدي إلى وزيادة تفكك موضع النمو وسهولة حفر

الرياح له مع تدهور النبات وهذا ما نراه في بعض الواحات المصرية مثل الواحات الداخلة ويوضح الشكل (٣٨) كيفية تكون وتطور حفرة التذرية.

(٣) الحصى الهندسي : Ventifacts

عندما تزيل الرياح الرمال الدقيقة من فوق الأسطح الصخرية فإنها تترك تكوينات حصوية خشنة تفتريشها وتأخذ أشكالاً هندسية معينة بعضها هرمى الشكل *Three Facetted* يطلق عليها التعبير الألماني درايكانتر *Driekanter* والتي تتميز بأوجهها الثلاثة وحدودها الثلاثة وبعضها ذو وجهين وتعرف بالزيفايكانتر *Zweikanter* أى ثنائية الوجه كما يتميز بعضها بأشكاله الغريبة وأسطحها المصقولة بفعل الرياح وانتشارها فوق مناطق صحراوية واسعة.

ويرى كل من (Flint and Skinner, 1977, p.210)



شكل (٣٩) أشكال الحصى الهندسي وأبعاده بالواحات البحرية

بأن الرياح إذا هبت من اتجاه واحد طول العام فإنها تعمل على شطف الحصى الذى تقابله وذلك من جانب واحد بحيث يتشكل الحصى من وجه عريض ينحدر تجاه الرياح. وفي حالة تغير اتجاه الرياح يحدث شطف (تشظى) للجوانب الأخرى بحيث تتقابل الأوجه المشطوفة في حد أو أكثر وذلك تبعاً لعدد الأوجه أو الجوانب التي تتعرض للرياح شكل (٣٩) وشكل (٤٠).

ورغم عدم استقرار الآراء في كيفية النشأة الأولى لهذه الترسبات الحصوية فإن ما بعيننا هنا هو تفهم كيفية تشكيلها بمثل هذه الأشكال المميزة لها والتي أوضحناها وكيفية دراستها ميدانياً وتفهم خصائصها وقياس أبعادها المورفولوجية وآليات تشكيلها بفعل الرياح، يدعم ذلك ما يمكن أن يتم في المعامل من تجارب يمكن من خلالها تفهم المزيد من العمليات الايروديناميكية المرتبطة بالرياح خاصة فيما يختص بالتيارات الهوائية والدوامات الريحية وكذلك التكوين المعدني ودراسة زوايا الاصطدام بالنسبة للحصى وكثافته النوعية ودرجة خشونة أسطحها.

ماذا يتم في الحقل بالنسبة للحصى الهندسي؟

جمع عينات من الحصى من مواضع مختلفة من رصيف الحصى الهندسي وعمل قياسات للطول والعرض والسك وحساب معامل القرطحة والذي كلما زادت قيمته دل ذلك على فعل الرياح وبعده عن الشكل الكروي ويأتي معامل القرطحة من المعادلة التالية :

$$\text{معامل القرطحة} = \frac{ل + ع}{س}$$

حيث أن :

ل = الطول.

ع = العرض.

س = أكبر سلك

كذلك يتم قياس معامل استدارة الحبات على النحو التالي :

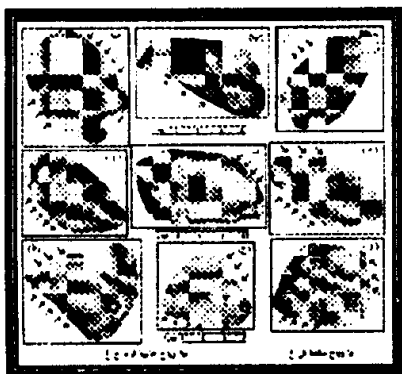
$$\text{معامل الاستدارة} = \frac{ل}{\text{نق} ٢} \times ١٠٠$$

حيث أن :

ل = الطول "وبسبب كون الناتج كسر عشري نقوم بضربه $\times ١٠٠٠$ ".

كذلك يتم حصر عدد أوجه كل حبه وتحديد النوع السائد مع ربطه بنمط الرياح السائدة بالمنطقة كما يظهر ذلك من الشكل التالي (٤٠).

ويجب كذلك عمل تحليل معملي لنوع الصخر المكون منه الحصى وتحديد مصدره هل هو موضعي أم منقول وتحديد دور العمليات الأخرى في تكوينه وتشكيله من خلال مؤشرات ذكرت في الجزء الخاص بالتجوية.



شكل (٤٠) أبعاد الحصى الهندسي وعلاقته بتغير اتجاه الرياح

◀ تطبيق معامل الشكل الذي طلبه (Barrett, 1980, p.249) على النحو التالي :

$$\text{معامل الشكل} = \frac{\text{طول الحبة} \times \text{سمكها "ارتفاعها"}}{\text{مربع عرض الحبة}}$$

وناتج هذه المعادلة يتراوح من الصفر حد أدنى باتجاه حد أقصى لا نهائي وكلما صغر يدل على عدم انتظامه والعكس مع زيادة قيمة الناتج.



◀ يتم قياس ميداني لكثافة الحصى فوق السطح وذلك بتقسيمه (حسب مساحة الحقل الحصى) إلى مربعات عادة ما تكون مساحة المربع متر مربع، ويتم حساب عدد الحصى في المتر المربع وبالتالي تحديد كثافة الحصى والتي كلما زادت دل ذلك على نقص نشاط

لوحة (٣٥ ب) أشكال من الحصى الهندسي بالواحات البحرية في مصر
فعل التجوية والتي مع زيادة نشاطها يزداد تفتت الحصى وتحويله إلى رمال. مع ملاحظة أنه عند حساب كثافة الحصى بحسب العدد بصرف النظر عن أحجامها لوحة (٣٥ ب) التي توضح بعض أشكال الحصى الهندسي بمنخفض الواحات البحرية (محمود دسوقي، المرجع السابق، ص ٢٠٢).



لوحة (٣٦) أحد الأقواس الهوائية الناتجة أساساً عن تحت الزبام

وهناك إلى جانب ما سبق أشكال عديدة ناتجة عن تحت الرياح مثل الأقواس الهوائية لوحة (٣٦) وتبدو في شكل فتحات في عرق صخري قد اختفت منه الرياح موضع ضعف معين ظل يتأثر فترة طويلة بالرياح الغميلة بالرمال والتي تصطدم به ويبدو مظهره قريب من الأقواس البحرية بصرف النظر عن عمليات

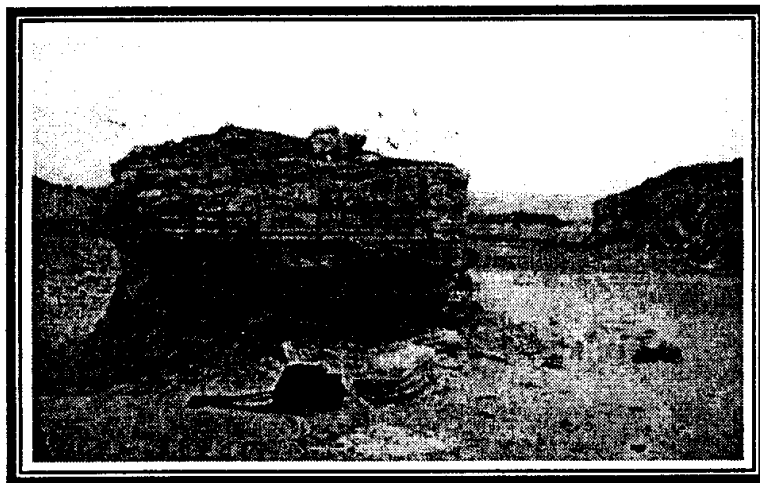
التشكيل، وعادة ما ينتهي أمره بالتهياره وانفصال الكتل الصخرية إلى جزئين.

كذلك هناك ثقب الرياح التي تظهر فيما يشبه حفر التافوني *Tafoni* على المنحدرات شديدة الانحدار خاصة في الصخور الرملية، ولا يعنى ذلك أن الرياح العامل الوحيد في تكوينها ولكن قد تكون هناك عمليات أخرى تتمثل أساساً في التجوية بنوعيتها عادة ما تكون وراء تكون مثل هذه الثقوب، مع الأخذ في الاعتبار أن هذه الحفر عادة ما تتشكل في صخور متجانسة مع تعاملها على اتجاه الرياح السائدة.

ويمكن تحديد خصائصها ميدانياً من خلال قياس أبعادها (طولها أو قطرها إذا كانت دائرية ومتوسطات عرضها وعمقها وكذلك كثافتها على السطح ومدى ارتباطها بمواقع ضعف معينة) كذلك يمكن ملاحظة داخلها ومدى خشونة جوانبها وقاعها كمؤشرات لدور الرياح والعمليات الأخرى حيث أن لكل عملية ما يدل عليها من خصائص وملامح تعرف بزيادة خبرة الدارس.

ومن أشكال النحت الأخرى ما تعرف محلياً بالخرافيش وهي تحزرات أفقية فوق أسطح صخرية، عادة ما تكون جيرية بحيث تتشكل قنوات غائرة بعمق محدود وممتدة طولياً في موازاة بعضها وفي موازاة الرياح التي شكلتها على طول خطوط ضعف يمكن تتبعها في مناطق كثيرة من السطوح الصحراوية الجيرية الصلبة بحيث تبرز الأرض الممتدة فيما بين القنوات الغائرة فيما كان يعرف بأضلع الحيوانات (الهوجباك).

وهناك العديد من الأشكال الأخرى التي يصعب حصرها أو تصنيفها مثل الميسات وهي هضبات متبقية وبارزة فوق سطح أقل منسوباً، ووجودها يعنى بقايا متبقية لسطح أولى كان أعلى منسوباً وكذلك البيوتات *Buttes* (التلال الخيمية) محدودة الحجم التي تميز بقممها المدببة وجوانبها المنحدرة وغير ذلك من أشكال يمكن ملاحظتها من اللوحة التالية (٣٧) التي توضح تلاً خيمياً بالواحات البحرية يلاحظ منها أثر نحت الرياح على جوانب التساقط الصخري وتحزرات الرياح.



لوحة (٣٧) أحد التلال الخيمية بالواحات البحرية التي تظهر به آثار النحت الريحي في التحزرات والتساقط الصخري وتراكم المفتتات أعلاها



لوحة (٣٨) كتلة صخرية محاطة بحلقة مفرغة من الرمال بالواحات الداخلة

كذلك قد تظهر كتل صخرية وسط ترسبات رملية تحاط بحلقة مفرغة من الرمال لوحة (٣٨) وهذه الظاهرة التي تراها مثيراً فوق أسطح الفرشات الرملية تدل على اصطدام الرياح بتلك الكتلة الرملية وتكون دوامات موضعية تؤدي إلى تذرية ما

يطوقها من الرمال وتفرغها بالشكل الذي تظهره الصورة السابقة، ويلاحظ من اللوحة (٣٨) أحد التلال المخروطية مع وجود إحدى اليردنجات المتأثرة بشدة عمليات النحت بفعل الرياح، ويظهر باللوحة (٣٩) أشكال ناتجة عن نحت الرياح غرب منخفض سيوة بمنطقة المراتي.



لوحة (٣٩) أشكال ناتجة عن نحت الرياح غرب منخفض سيوة (منطقة المراتي)

ثانياً : الأشكال الناتجة عن الإرساب بفعل الرياح من الميدان :

مدخل لدراسة الموضوع :

قبل أن تقوم الرياح بإرساب حملتها من الرمال بسبب ضعف أو تلاشي طاقتها فإنها أساساً تكون في مرحلة سابقة لها مهمة أساسية وهي نقل حملتها بطرق مختلفة، فسرعتها العادية تمكنها من نقل المواد الدقيقة في حالة تعلق *Suspension*، وقد أظهرت التجارب والدراسات المتعددة بأن الذرات الأقل حجماً من ١,٠ ملم تتحرك بالتعلق وتلك التي تتراوح في أحجامها ما بين ١,٠ - ١/٢ ملم تتحرك بالقفز *Saltation*، أما الأكبر من نصف ملليمتر فتتحرك بالزحف (Cooke, R., U., and Doornkamp, J., C., 1990, p.55)، ويرى Bagnold في ذلك بأن السرعة المطلوبة لتحريك المواد الدقيقة ٠,٢٥ ملم، تبلغ ٢٠ سم/ثانية.

وقد أكدت الدراسات الحقلية بأن معدل حجم الحبيبات يتزايد مع الارتفاع في الجزء الأسفل من السحابة الرملية وذلك في حالة هبوب رياح قوية ويرجع ذلك وفقاً لما ذكره باجنولد إلى أن أثر قوة الاصطدام للحبات كبيرة الحجم من الرمال بسطح الأرض يرفعها إلى مناسيب أعلى مقارنة بالحبيبات الأصغر (Warren, A., 1979, p.332) خاصة فوق سطح صخري متماسك. كذلك أوضحت التجارب المعملية أن معدل نقل الرمال يتناسب تناسباً طردياً مع معدل سرعة الرياح بالإضافة إلى تأثيره بعوامل أخرى مثل حجم الحبيبات وكثافتها النوعية وكثافة الهواء. وتوضح المعادلة التالية التي وضعها Hsu, 1973 بشكل بسيط العلاقة بين الكميات المنقولة من الرمال والعوامل التي تؤثر فيها.

$$K = (4.97 - 47) \left(\frac{0.4(275 - S)^2}{A(ج-ق)} \right)$$

حيث أن:

ك = وزن كمية الرمال المتحركة سنوياً بالطن لكل متر مربع.

أ = ارتفاع المنطقة التي تم فيها قياس سرعة الرياح بالمتر/ثانية.

ق = متوسط قطر الحبة بالملليمترات.

س = تكرار سرعة الرياح من اتجاه معين خلال السنة.

ج = ثابت الجاذبية وهو يساوي ٣٣ قدماً في الثانية.

وعموماً فإن كمية الرمال المتحركة تكون ذات علاقة طردية مع سرعة الرياح مع ملاحظة أن

الرياح المعتدلة التي تسود فترة طويلة من السنة يمكنها أن تساهم في نقل كميات كبيرة من الرمال

(Warren, A., 1979, p.332).

وقد وضع شيل Chepil قانوناً لتحديد سرعة الرياح المطلوبة لبدء تحريك الحبيبات الأكبر

من ٠.١ ملم وذلك على النحو التالي :

$$V' = \sqrt{\frac{(الكثافة النوعية للهواء - الكثافة النوعية للحبة) \cdot ج \cdot ق}{الكثافة النوعية للحبة}}$$

حيث أن:

ج = ثابت الجاذبية.

ق = قطر الحبة بالسنتيمتر.

مع العلم بأن كثافة الهواء في الظروف العادية = (١٢٢ - ١٠ - ٣ جرام/سم).

مع الأخذ في الاعتبار أن الحبيبات الأقل حجماً من ٠,١ ملم لا تلتزم في حركتها بنتائج هذا القانون (Cooke, R., U., and Doornkamp, J., C., 1990, p.55)، للاستزادة راجع محمد صبرى محسوب (٢٠٠١، ص ص ٢٩٠-٢٩١).

أما بالنسبة للترسيب فإنه لا يتم فوق الأسطح الصخرية بالمناطق الجافة بشكل عشوائي وإنما يتم في أنماط محددة ترتبط بنظم الرياح السائدة أكثر من ارتباطها بالطبوغرافيا وفي ذلك يرى Wilson أنه من الممكن توقع كيفية حدوث عمليات ترسيب وتحديد مواقع حدوثها وذلك من خلال وضع نظام خاص بحركة الرياح وعمل عدد كبير من محصلات انسياق الرمال في منطقة ما (Derbyshire, et al, p.175).
وجدير بالذكر أن Wilson قد خرج بنتائج من دراسته للكثبان الرملية بالصحراء الكبرى أهمها أن محصلات انسياق الرمال وتحركها يمكن استنتاجها من معرفة سرعة الرياح وتحديد فترات حدوث العواصف (ترددها) واتجاه الرياح، كذلك وجد أن الدراسة التحليلية للأشكال الناتجة عن الإرساب بفعل الرياح بأحجامها المختلفة تساعد في تفهم ومعرفة الاتجاهات الرئيسية للرمال المتحركة. وجدير بالذكر أنه لا بد لنا من دراسة عدة عناصر لكي نتفهم الأشكال الناتجة عن الإرساب الهوائي خاصة الكثبان ومنها السطح الذي تنتشر فوقه مثل هذه الكثبان وكذلك دراسة المناطق الواقعة بينها والتي عادة ما تغطي برواسب رملية تختفي في أغلب الأحوال تحت التكوينات الحصوية الحشنة.
وتعد دراسة العلاقة بين اتجاهات الرياح وقوتها من جهة وكميات الرواسب من جهة أخرى ذات أهمية كبيرة في تفسير خصائص الكثبان الرملية وذلك من حيث الشكل وكيفية التكون، وهكذا فإنه من الضروري تفهم نظم الرياح السائدة ومصادر الرمال المحلية، ومن المهم أيضاً توضيح مدى الاختلاف بين أثر كل من الرياح القوية والرياح الضعيفة، وهنا يمكن الإشارة إلى أن Bagnold قد حدد السرعة القوية للرياح بأنها تلك التي تزيد على ٢٥ ملم/ثانية وذلك عند ارتفاع ٠,٣ سم عن السطح ونوع الصخر والغطاء النباتي بحيث أنه في حالة زيادة خشونة السطح فإن الرياح قدأ قبل بناء الكثيب، وعلى ذلك فإن بناء الكثبان وتكونها في المناطق التي تتميز بخشونة السطح يكون أقل احتمالاً مقارنة بإمكانية تكونها فوق الأسطح الأقل خشونة والتي تتميز بالاستواء. وعادة ما تتجه الرياح القوية إلى العمل على زيادة حجم الكثيب بينما تؤدي الرياح الضعيفة إلى زيادة طول الكثيب على امتداد كتلته (King, C., A., H., p.134).

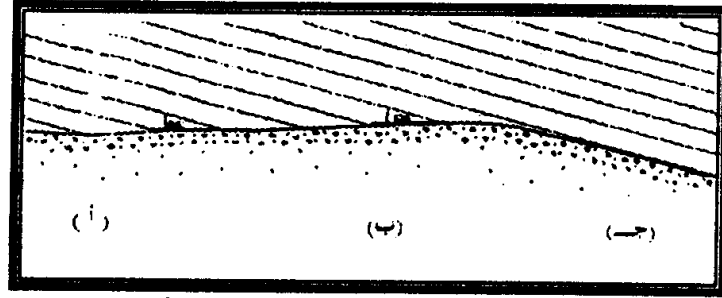
وجدير بالذكر أنه من الأهمية عند دراسة الأشكال الرملية الإلمام تفصيلياً بنسب السكون وفترات قوة الرياح وعمل مقارنة بينهما.

وعندما ترسب الرمال أثناء عملية نقلها فإنها تأخذ أشكالاً متنوعة ما بين نيم الرمال *Ripples* والكثبان العرضية *Transverse Dune* في حين عندما تتوقف سرعتها فإنها تشكل أنواعاً عديدة من الكثبان، تتراوح في أحجامها وفي أشكالها ومعدلات تحركها.

وفيما يلي بعض أساليب القياس والتجارب الميدانية للأشكال الرملية :

(أ) التموجات والحافات الرملية صغيرة الحجم : *Ripples and Minor Ridges*

التموجات الرملية من الأشكال التي تنتج عن عمليات ترسيب الرياح، كما تعتمد النسبة بين الارتفاع وطول الموجة على اتساع سطح التموجات *Fetch*، وعادة ما نجد أن هذه النسبة منخفضة جداً في حالة الرمال المتجانسة في حجم حبيباتها وعكس ذلك مع تباين الأحجام. وتمثل أهم العوامل المؤثرة في ارتفاع وطول النيم والتي يمكن معرفتها من بيانات المخطات المناخية سرعة الرياح وترددتها واتجاهها ومن الميدان طبيعة سطح المنطقة وخصائص حركة الرمال السطحية. ويوضح الشكل التالي (٤١) العلاقات المرتبطة بتكون النيم تبعاً لما استنتجه باجنولد *Bagnold* من تجاربه وقياساته العملية والحقلية.



شكل (٤١) العلاقات المرتبطة بتكون النيم تبعاً لاستنتاجات باجنولد "Bagnold"

- (١) عندما تبدأ حركة ما فوق سطح رملي فإن الفرصة تكون مواتية لظهور عدم انتظام به.
- (٢) هكذا فإن كميات أكبر من الرمال سيتم إزالتها على القطاع (أ و ب) مقارنة بتلك الموجودة على القطاع (ب ج-). والحماية بارتفاع السطح عند (ب).
- (٣) يؤدي قذف الحبيبات إلى إطلاق كميات أكبر من الحبيبات في القطاع (أ ب) عنه في القطاع (ب ج-). حيث تستقر بالأول (ترسب) على مسافة تساوي نصف طول مجال تحركها أثناء القفز.
- (٤) سوف يحدث تراكم في القطاع (ب ج-)، ونحت في القطاع (أ ب) مع حدوث حركة أمامية للسفح.
- (٥) حينما تحدث هذه الحركة في تموج واحد فإنها سوف تحدث على طول الخط وسوف تتحرك التموجات إلى الأمام محتفظة بالمسافات البينية (بين كل تموج وآخر).
- (٦) يتميز التموج بوجود ارتفاع متوازن وذلك لأن أي زيادات تتم على القمة فوق منسوب التوازن ستصبح في مجال التدفق السريع الذي تزال عنده الرمال بسرعة، ويرى *Bagnold* أن هذا النموذج البسيط لتكون النيم يرتبط عادة بالرمال المتجانسة المتماثلة في أحجامها، وعادة ما تكون التموجات التي تنشأ بهذه الطريقة منخفضة جداً.
- (٧) عادة ما يحدث في الحقل (الميدان) أن تتركز الحبيبات الخشنة فوق القمم ولا تتحرك منها، وعادة ما يتوقف ارتفاع التموج إلى حد كبير على قدرة الحبيبات الأخشن على البقاء في مواضعها على القمة والصمود أمام هبوب رياح شديدة.

الدراسة الميدانية والتجارب العملية

وقد أوجد *Bagnold* من خلال تجاربه علاقة بين سرعة الرياح وطول موجة النيم على النحو الموضح بالجدول التالي (١١)

جدول (١١) العلاقة بين سرعة الرياح سم/ثانية وطول موجة النيم

٨٨	٦٢,٥	٥٠,٥	٤٠,٤	٢٥	١٩	سرعة الرياح سم/ثانية
—	١١,٣	٩,١٥	٥,٣	٣	٢,٤	طول الموجة بالسنتيمتر

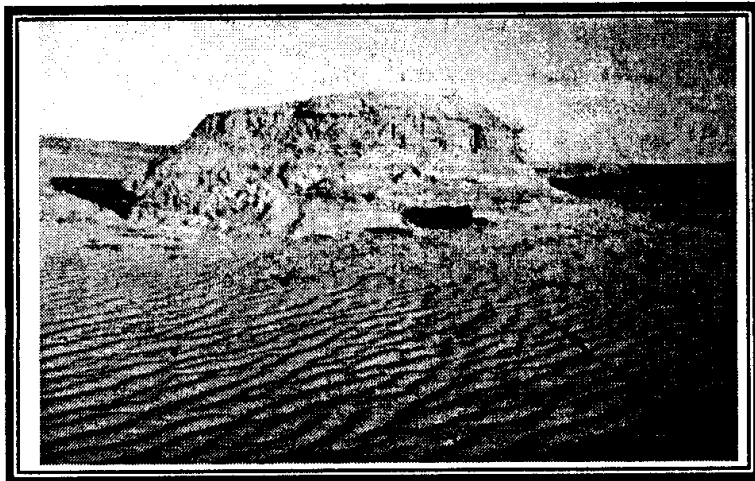
يقتضيه ما يلي :

- (١) يزداد طول موجة النيم مع تدرج الرياح في سرعتها.
- (٢) يستوى سطح النيم ويختفى عندما تتجاوز الرياح في سرعتها حداً معيناً.
- (٣) يتراوح معامل التموج *Ripple Index* (النسبة بين طول النيم وارتفاعه) ما بين ١٥ و ٢٠، يزداد إلى ما بين ٥٠ و ٦٠ مع هبوب رياح شديدة وحدوث تسطح للمسطح النيمى.
- وقد أظهر *Sharp* أن معامل التموج يتجه اتجاهاً عكسياً مع حجم الحبة ويرتبط ارتباطاً مباشراً مع سرعة الرياح.

(٤) ينقسم بروفيل التموج إلى أربعة عناصر تتمثل فيما يلي :

(السفح المواجه للرياح وسفح الظل والخرى والقمة)، وعادة ما تصل زاوية انحدار السفح المواجه للرياح إلى ما بين ٨ و ١٠ درجات وفي سفح الظل إلى ما بين ٢٠ و ٣٠ درجات (*Sharp, 1963, p.19*).

ماذا ندرس ونقيس فيما يختص بالتموجات الرملية في الميدان ؟



لوحة (٤٠) تموجات رملية متداخلة شمالى إحدى التلال بالواحات

(١) نحدد من خلال الملاحظات الميدانية أنواع التموجات وأحجامها فهناك تموجات منتظمة وصغيرة الحجم، وبجانب تعرجها فإنها تتداخل مع بعضها، وعادة ما تكون سريعة في تشكيلها مع تعرض سطح رملى جاف لهبوب رياح هادئة وقد تظهر على أسطح مستوية أو فوق ظهر كثيب رملى، وهناك نيم (تموجات) مضفرة

Braided Ripples، وعادة ما ينتج هذا التضفر من تعرض مسطح النيم لرياح أخرى جانبية قوية بحيث تتداخل التموجات مع بعضها وتضفر كما يتضح ذلك من اللوحة (٤٠).

وهناك شكل آخر من التموجات يمكن تسميته بالتموجات القوسية وعادة ما يظهر فوق ظهور الكثبان الهلالية وعادة ما ينشأ هذا النوع نتيجة لاختلاف حركة الحبيبات الرملية فوق سطح الكثيب، فمنها ما يتحرك ببطء ومنها ما يكون سريعة الحركة وتشغل الجانب المحدث من القوس.

(٢) وهناك ما يعرف بالعروق (الحافات) الرملية الدقيقة وهي عبارة عن تموجات رملية كبيرة الحجم وعادة ما تمتد متعامدة مع اتجاه الرياح السائدة، وقد ترتفع إلى أكثر من عشر سنتيمترات مع طول تموج يزيد على الارتفاع كثيراً، وكثيراً ما تشغل قممها تكوينات من رمال خشنة أو حصاء تمثل أسطح اصطدام لحبات الرمال المسافة لوحة (٤٠).

(٣) يمكن الحصول على القياسات المعروفة لارتفاع التموج بالسنتيمترات وطوله (المسافة بين قمتين متاليتين) من خلال قياسات عديدة وأخذ متوسطات وكذلك قياس درجة انحدار الجوانب المواجهة للرياح والواقعة في ظلها.

(٤) تجمع عينات من الرواسب من مواضع مختلفة، من القمم والجوانب وحوض النيم وتحليلها حجماً ومعدنياً حتى يمكن الاستفادة من نتائج التحليل في دراسة خصائصها (أى الخصائص المورفولوجية والمورفومترية للتموجات الرملية) مسترشداً بما ذكر في بداية دراسة النيم ونتائج التجارب التي قام كل من باجنولد *Bagnold* وشارب *Sharp* لتفسير نشأة النيم والعلاقات بين الأبعاد وسرعة الرياح وغيرها من عوامل ومتغيرات.

(ب) الخصائص المورفولوجية والمورفومترية للكثبان الهلالية من الميادين :

(١) تشمل أهم العوامل المؤثرة في تكوين الكثيب الهلالي أو البرخان فيما يلي :

- رياح قوية تزيد على ٢٠ كيلومتر في الساعة، قُب من اتجاه ثابت.
- رصيف صحراوي صلب متماسك ينحدر انحداراً هيناً.
- توافر مصدر الرمال.
- يبدأ تكون الكثيب بكومة رملية تزداد ارتفاعاً حتى يستقر الوضع المظاهر للرياح.
- عندما يصل البرخان إلى مرحلة النضج يظهر جانبه المواجه للرياح هين الانحدار في شكل محدب *Convex Shape*، بينما يشتد الانحدار في الجانب المظاهر للرياح المحصور بين القرنين المستجهان نحو مصرف الرياح ويلتقيان في غط مقوس عند منتصف حضيضه، وعندما تصل درجة انحدار الجانب المظاهر للرياح ما بين ٣٠ و ٣٤، تنهال رماله، ومن ثم يسمى بسفح الانهيار *Slip Face*.

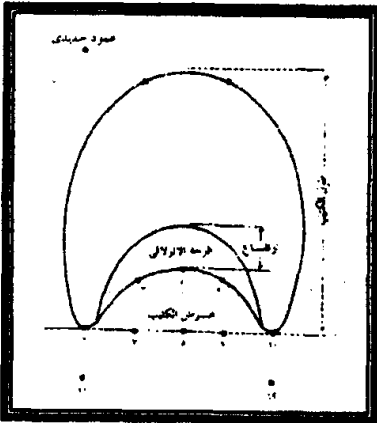
(٣) بعض القياسات من الخرائط والصور الجوية والميدان بالنسبة للكثبان الرملية الهلالية :
الارتفاع :

يتم ميدانياً عن طريق قياس طول ظهر الكتيب بواسطة شريط التيل مع قياس درجة انحداره سواءً بجهاز الابنى ليفل أو الكلينوميتر، ومع الحصول على طول ظهر الكتيب ودرجة انحداره أو متوسط درجة انحداره ^(١).

يمكن الحصول على الارتفاع منه خلال تطبيق المعادلة التالية :

الارتفاع = الطول (الذي تم الحصول عليه بالقياس المباشر) \times جيب زاوية الانحدار *Sine* (يمكن الحصول عليها من الآلة الحاسبة)

كذلك يمكن الحصول على الارتفاع من الخرائط التفصيلية بمعرفة منسوب القمة ومنسوب الأرض المتاحة لأقدام الكتيب.



شكل (٤٢) قياس أبعاد كتيب هلالى متساوى القرنين

العرض :

في حالة تماثل القرنين في الطول يتم حساب العرض بقياس المسافة بين طرفيها بشرط القياس في الحقل أو من الصور الجوية والخرائط الطبوغرافية التفصيلية بالطرق المعروفة ويمكن استخدام طرق أخرى في حالة عدم تساوى طول القرنين شكل (٤٢).

الطول :

يتم القياس من خلال قياس محوره الطولى من أقدام ظهر الكتيب حتى نهاية أحد القرنين في حالة تساويهما وذلك من خلال وضع عدد من الأوتاد أو الشواخص على طول امتداد أحد جانبي الكتيب.

طول سفح الجانب المواجه للرياح السائدة (ظهر الكتيب) :

يتم من خلال قياسه بشرط التيل من أقدامه حتى قمة جانب الأفيال.

قياس زوايا الانحدار :

يمكن القياس في الميدان بواسطة ابني ليفل *Abney Level* أو بجهاز كلينوميتر مثبت على لوح خشبي، ويمكن حساب وتحليل زوايا الانحدار من خلال توزيعها على سطح الكتيب وعلاقة الصور التوزيعية لها بحجم الكتيب، كما يمكن دراسة وتحليل أشكال سطح الكثبان من خلال رسم قطاعات عرضية لها. (نبيل إمامي ومحمود عاشور، ١٩٨٢).

^(١) وذلك عندما تعدد قياسات زوايا أو درجات الانحدار.

حساب كثافة التنبؤ في الحقل :

يمكن حساب كثافة الكثبان الرملية في منطقة ما وذلك بهدف تفهم خصائصها التوزيعية والعوامل المؤثرة وامتدادها ويمكن أن يتم ذلك في الطبيعة بالنسبة لمساحات محدودة وذلك خلال تقسيمها إلى مربعات متساوية المساحة وحساب عدد الكثبان داخل كل مربع بغض النظر عن أحجامها، وإن كان عادة ما يتم القياس للكثافة الحسابية للكثبان بأنواعها المختلفة من خلال صورة جوية كبيرة المقياس أو من خلال مرئيات فضائية أو من الخرائط الطبوغرافية التفصيلية وتقسيمها بطريقة معينة إلى مربعات محددة المسافة وفقاً لمقياس رسم الخريطة أو الصورة الجوية التي تم منها القياس.

قياس حركة التنبؤ الهلالي منه المبدأ :

لقياس معدلات حركة الكيب في الميدان يتم تثبيت أوتاد حديدية في المواضع المحددة بالشكل عند حضيض سفح الانقيال وعلى طول الخط الواصل بين طرفي قرني الكيب وأمامها (طرفي القرنين)، كما يجب تحديد موضع الكيب في الميدان ونقله على خريطة بمقياس رسم تفصيلي على روق بيان مع تحديد الخور الأساسي لامتداد الكيب (العوضي، ١٩٨٩، ص ٢١)، وبعد فترة زمنية محددة عادة ما تكون سنة يمكن العودة لتسجيل التغيرات المكانية التي حدثت من خلال تسجيل الوضع الجديد للكيب ومقارنته بالوضع السابق، ومن ثم يمكن حساب معدل حركة الكيب، مع إمكانية تطبيق ما ذكر على حركة الكثبان الطولية.

وهناك طريقة أخرى يمكن تطبيقها لقياس حركة واتجاه الكثبان وذلك بمقارنة صورتين جويتين للكثبان في فترتين مختلفتين ومقارنتهما يمكن معرفة معدل الإزاحة الأفقية للكثبان المطلوب دراستها. جدر بالذكر أن هناك نمذجة رياضية تستخدم في تحديد معدلات حركة الكثبان وتحديد العلاقات بين حركتها وأبعادها الهندسية مثل الطول والارتفاع والعرض، ومن المعروف أن القرون تتقدم بمعدل أسرع من جسم الكيب. وتراوح معدلات حركة الكيب السنوية من ستة أمتار للكيب الكبير وأكثر من ١٥ متراً للكيب الصغير، كما أن وجود تكوينات حصوية على ظهر الكيب يؤدي إلى حدوث اضطراب في تيار الهواء فوقه مما يؤدي إلى تقلصه وتلاشي خاصية مع هبوب رياح قوية.

وعادة ما يتقدم الكيب الهلالي مع إضافة كميات من الرمال إلى قمته أو يتقدم من خلال إزالة الرمال من أقدام الجانب المقعر إلى أن تصل زاوية انحداره إلى ٣٤°، ويعد سفح الانقيال (سفح الجانب المقعر) أكثر أجزاء الكيب تأثراً في حركته.

وعادة ما نجد أن عملية تحريك الكثبان بسبب تعرض الجانب من الكيب المواجه للرياح للنحت بمعدل أكبر من الجانب المظاهر لها حيث تنتقل حبات الرمال المنحوتة وترسب خلف قمة الكيب مباشرة عند هبوط التيار الهوائي الذي يحملها.

ومن الدراسات الميدانية التي تمت عن حركة الكتلان الهلالية ما قام به كل من *Long and Sharp* في وادي امبريال بولاية كاليفورنيا الأمريكية حيث تابعا التغيرات التي طرأت على الكتلان في تلك المنطقة خلال الفترة من ١٩٤١ - ١٩٦٣ (لمدة عشرين سنة)، وأغلبها من النوع الصغير الحجم، أصغرها عرضه ما بين القرنين تسعة أمتار بارتفاع يتراوح ما بين ٨ و ١٢ متراً، وأكدوا على أهمية معرفة ما إذا كان الكتيب في حالة نمو أم في حالة ثبات، كما أشار إلى أن الكتيب الهلالي الذي له قمة وحافة *Brink* (جهة) يسلك سلوكاً مغيراً للكتيب الهلالي الذي تنطبق قمته على حافته (*Derbyshire, E., et al, pp: 181-182*). كما قام *Hastenrath, 1967* بدراسة لأثر الحركات الايروديناميكية على الكتلان الهلالية جنوبي "بيرو" وقام بقياسات عديدة لطول أوجه الانهيار وعرض الكتيب وارتفاعاته مع قياس زوايا الانحدار لظهورها وقياسات خاصة بمعدلات التحرك السنوي بالأمتار، كذلك ربط بين شكل الكتيب وحجمه ودرس أيضاً الكثافة النوعية الكلية للكتيب (جرام/سم^٣)، وأظهرت دراسته للأخيرة انخفاض الكثافة بالاتجاه نحو منصرف الرياح (للاستزادة راجع محمد صبرى محسوب، ٢٠٠١، ص ٣١٠).

(ج) الخصائص المورفومترية للكتبان الطولية "الغرد" من الحقل :

تعد الكتلان الطولية من الأشكال الكثبية واسعة الانتشار في الصحارى المدارية الحارة. وعادة ما تميز بأطوالها الزائدة مقارنة بعرضها إلى جانب استقامتها بشكل عام وتباعدها عن بعضها بمسافات شبه منتظمة. كما أنها عادة ما تظهر فوق الأسطح المستوية نسبياً والتي تغطي برمال سائبة، ويرى *Bagnold* أن هذه الغرود الطولية تكون ناتجة عن حدوث تيارات هوائية لولبية *Helicoidal* تقترب بالرياح القوية التي قبب بشكل دائم من اتجاه محدد مع امتداد محاورها بشكل عام في موازاة هذه الرياح. وقد أكد باجنولد كذلك أن الرياح الجانبية تحول الشكل البرخاني إلى كتيب طولي وذلك نم خلال العمل على إطالة أحد القرنين، وبذلك يصبح الشكل النهائي للكتيب محصلة لرياح ثنائية الاتجاه *Bi-directional Wind*.

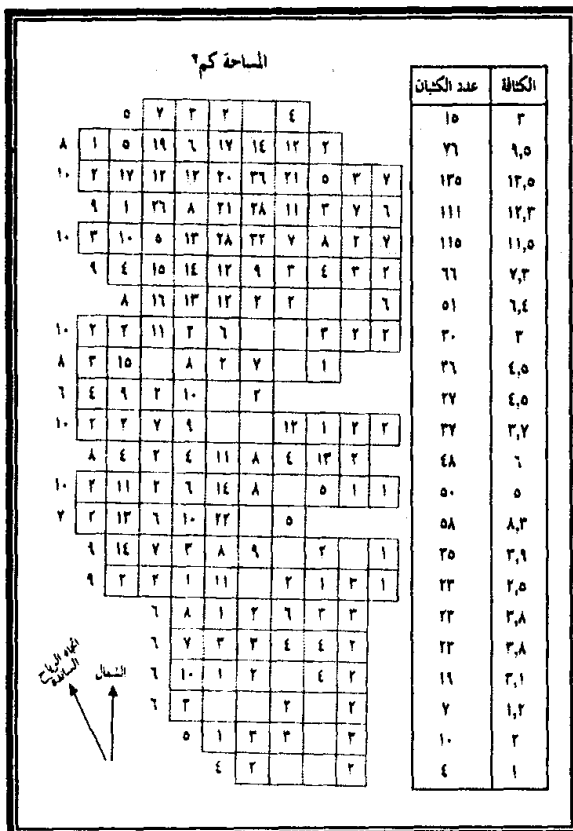
ويقترح *Holmes* في تفسيره لكيفية تكون الكتلان الطولية من تفسير *Bagnold*، حيث يرى بأنه حيث قبب رياح دائمة من اتجاه ثابت وتأتي رياح جانبية قوية متعامدة عليها، فينتج عن ذلك تكون سلسلة من الكتلان الطولية في شكل حافات مسننة تمتد في اتجاه الرياح السائد.

وبالنسبة للتباعد المتماثل لحافات الغرود الطولية فإنه حتى الآن لا يوجد تفسير كاف له، وإن كانت هناك بعض الآراء التي تحاول تفسيره مثل رأى *Clos* القائل بأن التباعد المتماثل بين الغرود الطولية يرجع إلى ثبات التيارات الهوائية المعروفة باسم تيارات شيسى (سيكى) الاهتزازية، ويؤيده *Folk* في ذلك من حيث المبدأ، وإن كان يرى أنه بعد أن تتكون الغرود، يتولد تيار هوائى صاعد فوقه وبالتالي تزداد سرعته تلقائياً ويزداد بالتالى حجم الغرد (*Derbyshire, et al, p.178*).

وتباين الكثبان الطولية في أطوالها وارتفاعاتها ومتوسطات عرضها وأشكالها حيث توجد كثبان طولية بسيطة تتكون من كتيب واحد له قمة طولية مستقيمة أو متعرجة *Sinuuous* وكثبان طولية مركبة *Compound Longitudinal Dunes* تتكون من التحام كتيبين أو أكثر ومنها ما هو مثبت بالنباتات وتتميز بقممها الأقل حدة وتسناً عكس الحال مع الكثبان الطولية الخالية من النمو النباتي ذات القمة الحادة.

دراسة وقياسات الكتبان الطولية ميدانياً :

- تحدد مناطق توزيعها من خلال تحليل المراتب الفضائية أو الصور الجوية.
- يتم اختيار الكثبان الطولية التي يمكن إخضاعها للقياسات الميدانية على أسس منهجية وليس بشكل عشوائي بحيث تكون مثله لكبر عدد ممكن من الكثبان بمنطقة الدراسة ويسهل الوصول إليها.
- تحديد منطقة تجمع الكثبان ويتم معرفة مناسيب السطح الذي تنتشر فوقه وتحدد محاور امتداد الكثبان، ويمكن حساب الكثافة الحسابية للتعرف على كثافة الكثبان عن طريق تقسيمها من الصور الجوية بمقياس ١ : ٢٥٠٠٠ إلى مربعات، مساحة على مربع كيلومتر مربع واحد ثم يتم تحديد عدد الكثبان داخل كل مربع وقسمة العدد على المساحة.



شكل (٤٣) قياس كثافة الكتبان الطولية في إحدى المناطق منخفضة سيمة

ويوضح الشكل (٤٣) كثافة الكشبان في

إحدى المناطق بمنخفض سيوة وهي غط الكتيان العرضية وتبلغ مساحة هذه المنطقة ١٦٩ كم^٢ وبها ٩٩٩ كتيباً وبلغت كثافتها ٥,٩ كتيباً لكل كيلو متر مربع وتراوح كثافة الصفوف ١-١٣,٥ كتيب/كم^٢ (إحسان سعيد، المرجع السابق، ص ١٦٠).

- يتم القياس في الميدان لطول الكتيب (يمكن القياس من الخرائط الطبوغرافية أو الصور الجوية في حالة زيادة أطوالها) والعرض والمساحة التي تغطيها والطول الموجي. مع بعض القياسات الأخرى مثل معامل الاستطالة وغيرها، ويمكن للقياسات السابقة أن تتم في الميدان أو من الصور الجوية أو المرئيات الفضائية.

وبعد ذلك تتم عمل مصفوفة معاملات الارتباط بين أبعاد الكثبان لتحديد مدى تأثير أى منها في الأبعاد والأخرى على النحو الذى يوضحه الجدول التالى (١٢).

جدول (١٢) مصفوفة معاملات الارتباط بين الكثبان الطولية بمنطقة سيوة

م	الطول	العرض	المساحة	الطول الموجى
الطول	١	٠,٧٨	٠,٨٨	٠,٦٩
العرض	—	١	٠,٤٢	٠,٣٦
المساحة	—	—	١	٠,٦٤
الطول الموجى	—	—	—	١

عن إحسان سعيد، ٢٠٠٤

والذى يتضح منه أن أقوى ارتباط يوجد بين طول الكثيب ومساحته (٠,٨٨) ثم بين طول الكثيب وعرضه (٠,٧٨).

• يتم تحديد اتجاهات محاور الكثبان الطولية والتي يلعب اتجاه الرياح السائدة دوراً في توجيه محاورها، ويتم هنا تحديد نسب الاتجاهات ومقارنتها مع بعضها وتحديد مدى ارتباطها بمحصولات الرياح بالمنطقة وتوقعها بيانياً وتحديد الاتجاه السائد لمحاور الكثبان الطولية وربطه بمحصلة الرياح السائدة.

بالنسبة للقياس الميداني لحركة الكثبان الطولية :

توجد عدة طرق لقياس حركة الكثبان الطولية سواء كانت حركة إزالة أو إضافة أو تحرك لكتلة الفرد من خلال أو الكثيب نفسه، مقياس حركة الإزالة أو التراكم الرمل يمكن تتبعها من خلال تثبيت شواخص مدرجة بالسنتيمترات في مواضع مختلفة من جسم أو كتلة الكثيب على جانبيه أو في مقدمته (في اتجاه تحركه) بحيث يبرز من الشاخص جزءاً مدرجاً ويسجل في فترة الميدان رقم الشاخص وطول الجزء البارز منه وبعد فترة محددة يمكن الرجوع إلى موضع الكثيب ومتابعة ما حدث من إزالة وتراكم من خلال قياس الأجزاء البارزة من الشواخص.

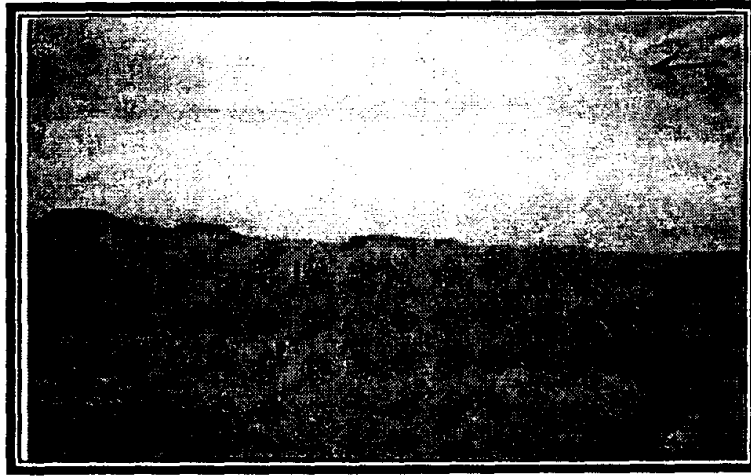
وفي دراسة تطبيقية لعمليات الإزالة والإرساب قامت إحسان سعيد، ٢٠٠٥ بوضع شبكة من الأوتاد البلاستيكية لقياس مقدار الإزالة والإرساب فوق سطح كثيب طولى بسيط بمنطقة "واحد" بالحافة الجنوبية لمنخفض سيوة وكان طول الكثيب ٥٥ متراً ومتوسط عرضه ٣٢ متراً بارتفاع ثمانية أمتار بمحور شمالي غربي، وتم تقسيم الكثيب إلى الجانب المواجه للرياح، وجانب منصرف الرياح حيث تم غرس ٣٧ وتدّاً في الجانب الجنوبي (منصرف الرياح) و ٥٩ بالجانب المقابل كما يتضح ذلك من الشكل (٤٤)، وكان طول كل وتد متر ونصف، البارز منها متر واحد "راجع كذلك اللوحة (٤١)" التى توضح وضع الأوتاد على الكثيب المدروس.



شكل (٤٤) قياس إزالة وتراكم الرمال
على أحد الكثبان الطولية بواحة سيوة

وقد تمت التجربة القياسية في
٢٠٠٣/٢/١٥ وبعد سنة من غرس الأوتاد
وذلك في ٢٠٠٤/٣/١٧، حدثت تغيرات في
أبعاد الأجزاء البارزة من الأوتاد استتج منها أن
عملية الإزالة تسود في الجانب المواجه للرياح مع
اختلاف معدلاتها مع التناقص في معدلات الإزالة
بالبعد عن الحافة، كذلك اتضح الاتجاه نحو
الإرساب بالاقتراب من القمة وبالاتجاه نحو
منصرف الرياح (في الجانب الآخر) مع عدم

تساوى عمليات الإرساب وعدم انتظامها في نفس الوقت، وقلد صافي التراكم بمتوسط ٥٤,٣ سم للوتد الواحد.



لوحة (٤١) الأوتاد المثبتة لقياس الإزاحة والإرساب في الكثيب المدروس في شكل (٤٤)

وبحساب معدلات الإزالة ومعدلات الإرساب على جسم الكثيب اتضح وجود زيادة في معدلات
الإرساب مقارنة بما تم إزالته، ويعنى ذلك حدوث إثارة للرمال من المناطق المجاورة وهدوء الرياح بالاقتراب
من الحافة، حيث يمتد الكثيب مجال التجربة مع بطء انحدار الأرض وانخفاض سطحها بالاتجاه شمالاً.

القياس المورفومتري للكثبان الطولية :

تعتبر القياسات الميدانية للكثبان الطولية مصدراً لبيانات هامة عن شكل الكثيب والذي من
خلال تحديده وتحديد أبعاده يمكننا استنتاج العمليات الطبيعية التي كونهت وقامت بتشكيله، ويتم ذلك
من خلال عمل قطاعات عرضية لكثبان طولية مختارة لمنطقة الدراسة بحيث تمثل النمط السائد. بحيث
يمكن عمل قطاع عرضي أو أكثر لكل كثيب ويتم إنشاؤه على أن يكون امتداده عمودياً على محور
امتداد الكثيب بالاستعانة بالبوصلة وشريط قياس وجهاز ابني ليفل لقياس الأطوال وزوايا الانحدار
لأقرب نصف درجة، وتحديد الزاوية الحدية السفلى والحدية العليا والزاوية المميزة لكل قطاع وذلك
لتحديد خصائص زوايا الانحدار أو على طول امتداد القطاعات وغيرها من خصائص مورفومترية يمكن
استنتاجها من تمثيل القياسات الميدانية في أشكال بيانية بعد تحليلها إحصائياً.

(د) النباك (خصائصها الشكلية والمورفومترية من القياسات الميدانية)

يقصد بالنبكة تجمع رملى حول نبتة أو تجمع من النباتات الجفافية مثل الرطريط والعوسج والعرفج والعرقد وغيرها.

ويساعد في تكون وتشكيل النبكة مجموعة من العوامل يتمثل أهمها في الرياح والتي عادة ما يمتد محور النبكة مع اتجاه الرياح السائدة، كذلك في الجفاف وتوفر مصدر دائم للرمال التي نسميها الرياح وترسبها حول النبتة التي تنصيدها وتعمل على تثبيتها والتفاعل معها، هذا إلى جانب عدم تضرر السطح الذي تتراكم فوقه النباك، والتي عادة ما يكثر في المناطق الحافة سواء بالسواحل المدارية خاصة فوق الترسبات والمراوح الفيضية الواسعة أو في بطون الأودية خاصة في قطاعها الدنيا، وكذلك في داخل المنخفضات الصحراوية حيث تعتمد النباتات الجفافية في نموها على المياه تحت السطحية القريبة جداً من السطح وكذلك على الندى والرطوبة النسبية خاصة في المناطق الساحلية.

ماذا يتم في الميدان فيما يخص النباك؟

- (١) يتم تحديد مناطق النباك بالاستعانة بخرائط تفصيلية أو صور جوية.
- (٢) يتم تقسيم حقل النباك بنفس طريقة تقسيم حقل الكتبان وحساب الكثافة الحسابية لكل ٢م^{١٠٠} على سبيل المثال.
- (٣) تتم إجراءات قياسية لأبعاد نباك مختارة ومثلة لكل الأنواع والأحجام وتتمثل في قياس الطول والعرض والارتفاع ومتوسط ارتفاع النبات الذي يجب معرفة نوعه وخصائص مجموعته الجذري والخضري، وكذلك قياس زوايا المنحدر أسطح النبكة (المقدمة والمؤخرة والجوانب) ثم تحديد محاور الامتداد بواسطة البوصلة وتسجل كل هذه القياسات لتبدأ مرحلة التحليل الإحصائي لأبعادها واستخلاص نتائج التحليل وتفسيرها.
- على سبيل المثال تطبيق معامل الارتباط بين الأبعاد المختلفة للنبكة وكذلك معامل الارتباط بين ارتفاع النبات وارتفاع النبكة وتفسير أسباب الاختلاف.
- ففي دراسة للنباك بالوحدات البحرية لمحمود دسوقي ٢٠٠٥ تم استخلاص نتائج القياس بالحدود التالي (١٣).

جدول (١٣) نتائج التحليل الإحصائي لأبعاد نباك إحدى الحقول بمنخفض الواحات البحرية

التحليل الإحصائي	طول/متر	عرض بالمتر	أقصى ارتفاع	متوسط ارتفاع النبات فوق سطح النبكة بالمتر	اتجاه محور النبكة
أقصى درجة	١٨,٣	٣١,٢	٣,٨	٤,٢	٢٣٠
أدنى قيمة	٠,٦	٠,٤	٠,٣٥	٠,٥٥	٢٠٥
المتوسط	١١,١٢	٣,٣٧	١,٦١	٢,٠٢	٢٩٨,٣
الانحراف المعياري	٩,٢٥	٥,٠٨	١,٢١	٢,٤٧	٢٩٤,٨
معامل الالتواء	٠,٢٦٧-	٠,٧٣٤	٠,٠٨٢-	٠,٦١٣	٠,٩٦٤

عن محمود دسوقي، ٢٠٠٥

ويتضح منه التراوح الكبيرة في ارتفاع النباك بالمنخفض بين ٠,٣٥ و ٣,١٥ متر مع متوسط عام للارتفاع ١,٦١ متر.

كما يتراوح متوسط ارتفاع النبات فوق سطح النباك بين ٠,٥٥ متر و ٤,٢ م بمتوسط عام مترين، قد لاحظ ميدانياً وجود علاقة واضحة وطردية بين حجم النباك من جهة ونوع وازدهار النمو النباتي من جهة أخرى مع كبر أحجامها بشكل عام مع نبات الطرفا خاصة في منطقتي طيلمون والتحتية. ومن خلال تحليل العلاقات الكمية بين أبعاد النباك بالمنخفض وجد أن هناك مجموعة من العلاقات لها دلالة إحصائية وأهمها العلاقة بين الطول والعرض والطول والارتفاع والطول وارتفاع النبات والارتفاع والعرض والارتفاع وارتفاع النبات فوق سطح النبكة وغيرها (للاستزادة راجع محمود دسوقي، ٢٠٠٥، ص ص ٢٢٢-٢٢٤) كذلك قام بقياس متوسط زوايا الانحدار لمقدمات النباك (الانحدار الأمامي) وزوايا انحدار الجانب الخلفي وانحدار الجوانب الشمالية الشرقية والجوانب الجنوبية الغربية لعينة من النباك. ومن خلال القياس تم حساب أقصى قيمة وأدنى قيمة والمتوسط والانحراف المعياري ومعامل الالتواء. كما يظهر ذلك من نتائج التحليل التي يوضحها الجدول (١٤).

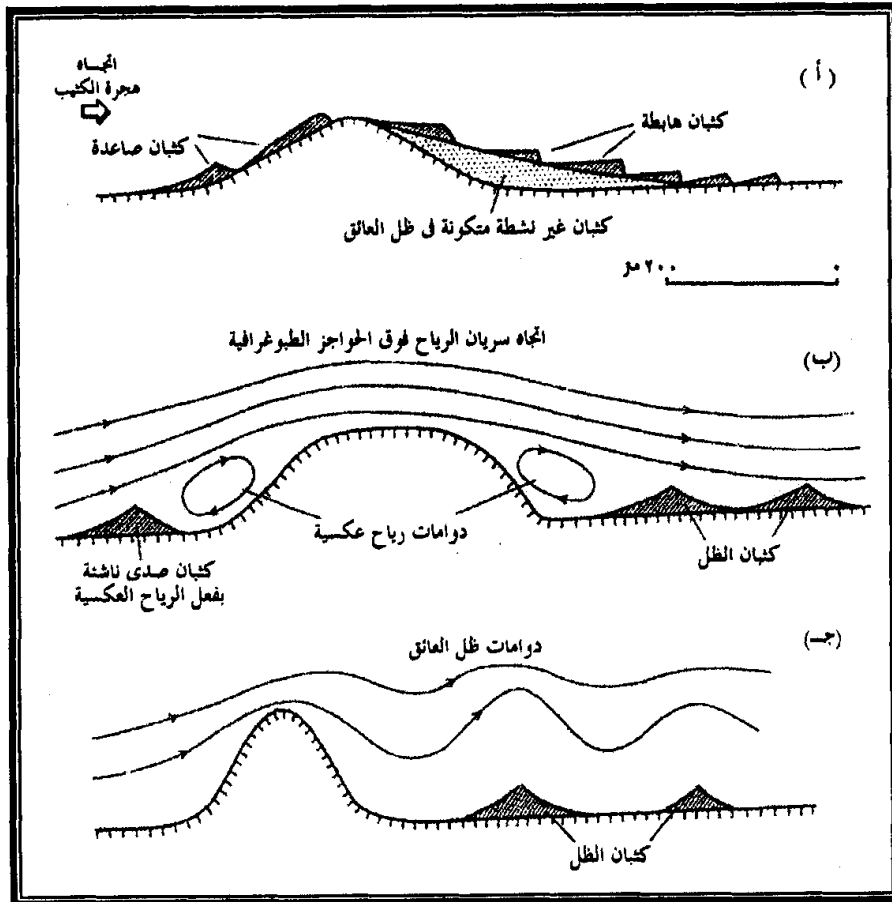
جدول (١٤) نتائج التحليل الإحصائي لمتوسطات درجات انحدار جوانب النباك بمنخفض الواحات البحرية

الزوايا	الانحدار الأمامي (مقدمة النباك)	الانحدار الخلفي	انحدار الجوانب الشمالية الشرقية	انحدار الجوانب الجنوبية الغربية
أقصى قيمة	٣٤	٢٣	٣٤	٣٧
أدنى قيمة	١٣	٧	١٨	١٩
المتوسط	٢١,٤٦	١٤,٨٥	٢٨,٣٩	٢٧,٤٦
الانحراف المعياري	١٥,٤	١١,٢٦	٢٥,٧٤	٢٢,٣٢
معامل الالتواء	٠,٢٥١	٠,٣٤٨	٠,٢٩٦	٠,٣٢٥

عن محمود دسوقي، ٢٠٠٥

من هذا الجدول (١٤) يتضح ما يلي :

- (١) يمثل الانحدارات الشديدة ٤٩٪ من إجمالي الانحدارات حيث تزيد هذه النسب على جوانب النباك عنها في المقدمات والمؤخرات بينما تمثل الانحدارات المتوسطة ٢٧,٦٪ من إجمالي الانحدارات وتزيد هذه النسبة إلى ٤٢٪ في المقدمات و ٦٤٪ في مؤخرات النباك وتبلغ نسبة الانحدارات الشديدة جداً ١٨,٩٪ من إجمالي الانحدارات وتزيد على الجوانب الشمالية الشرقية إلى ٣٥,٨٪ وإلى ٢٨,٦٪ على الجوانب الجنوبية الغربية بينما تبلغ نسبة الانحدارات الخفيفة ٤,٤٪ وتتركز في مؤخرات النباك.
- ومن خلال العلاقات الارتباطية وجد أن هناك علاقة طردية موجبة بين ارتفاع النباك ودرجة الانحدار خاصة في مقدمات النباك حيث تصطدم بها الرياح المحملة بالرمال فتتباطئ سرعتها وترسب حولتها مبتدئة بالمقدمة حيث يتركز الترسيب، ومن ثم يزداد الارتفاع (المرجع السابق، ص ٢٢٧).
- (٢) يتم أخذ عينات من رمال النباك من الأمام والخلف وتحليلها معملياً تحليلًا حجمياً وتفسير نتائج التحليل.
- إلى جانب ما سبق هناك أشكال من الترسبات الرملية المتنوعة يمكن ملاحظتها وقياسها في الميدان وتحليل نتائج قياساتها واستنتاج العديد من الجوانب المرتبطة بنشأتها وتكوينها ومنها ما يلي والتي يوضحها الشكل (٤٥).



شكل (٤٥) تكون الكثبان الهابطة والصاعدة وكثبان الظل وكثبان الصدى

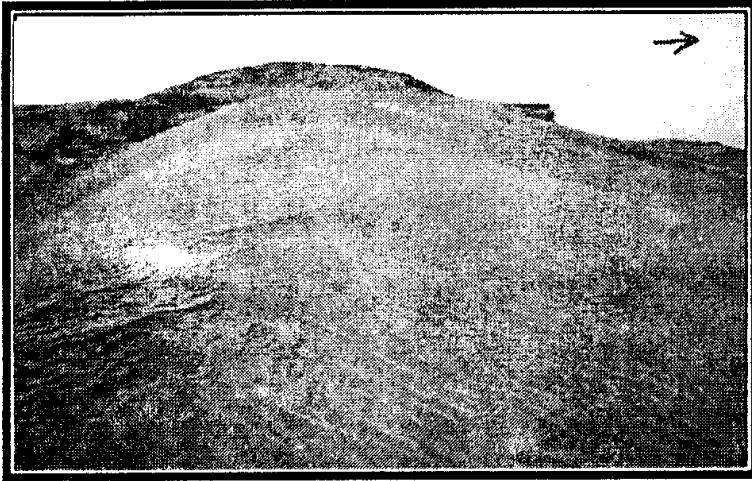
(هـ) الكثبان الصاعدة :

ينشأ هذا النوع من الكثبان الرملية مع وجود عائق يواجه الرياح المحملة بالرمال قد يتمثل في منحدر تل أو حافة ممتدة مثل الحافة الشمالية لمنخفض الداخلة في مصر، وعادة ما تتوقف هذه الكثبان ويتوقف تشكيلها على الخصائص المميزة للعائق (Pye and Toasr, 1995, p.166)، فعندما يتراوح الانحدار الحافة أو جانب التل ما بين ٣٠ و ٥٠ درجة يبدأ تكون الكثيب الصاعد بينما إذا ما قل الانحدار عن ٣٠ درجة يكاد ينعدم وجود الكثبان الصاعدة مع عدم وجود إعاقة واضحة لتيار الهواء المتقدم باتجاه المنحدر، وفي حالة زيادة درجة الانحدار عن ٥٠ درجة يحدث ارتداد للتيار الهوائي في شكل دوامات مرتدة تشكل ما تعرف بكثبان الصدى *Echo Dunes* وذلك على مسافة من أقدام المنحدر.

(و) الكثبان الهابطة :

وتظهر على طول امتداد الأودية المنحدرة على جوانب الحافات الجبلية، وتتجه مقدماتها باتجاه منصرف الرياح.

(ز) كثبان الظل :



لوحة (٤٣) أحد كثبان الظل خلف إحدى العقبات بطريق بئر واحد بالحافة الجنوبية لمنخفض سيوة

وهي عبارة عن كثبان صغيرة طولية الشكل تتميز بالثبات النسبي، وتتراكم في ظل العقبات الطبوغرافية ويرى *Bagnold* أنها تتكون بسبب انحراف تيار الهواء فوق وحول العقبة الطبوغرافية حيث يبدأ الترسيب أمام العقبة وعلى الجانبين ليندمج الذراعان وتتجمع الرمال وتزداد حجماً وطولاً وارتفاعاً كما أنها قد تتكون في

اتجاه منصرف الرياح عندما يتجه التيار الهوائي على طول ممر جبلي. كما يرى كما من (Pye and Tosar, 1995) أن كثبان الظل تتكون في اتجاه منصرف الرياح عند وجود كتلة صخرية أو نبتة شجرية، حيث يؤدي وجودها إلى تدفق التيار الهوائي المحمل بالرمال من مصدر رملي مر فوقه وهو في اتجاهه نحو هذه العقبة والتي يؤدي وصوله إليها هبوط سرعته واتجاهه بالتالي لتفريغ حملته وتراكمها خلف العقبة كما يتضح ذلك من اللوحة (٤٢).

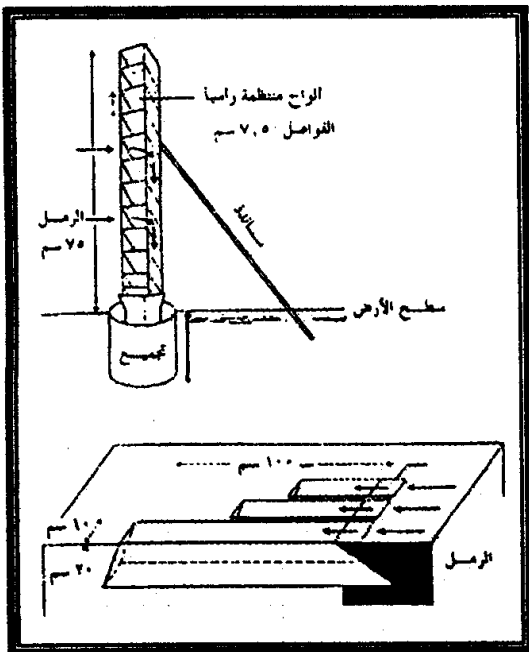
وقد حدد المؤلفان السابقان أهم العوامل المؤدية لتكون كثبان الظل في وجوده عائق طوبوغرافى يؤثر حجمه وارتفاعه وامتداده في أبعاد الكيب الذى يتكون خلفه ويتمثل كذلك في هبوب رياح سائدة من اتجاه معين تكون قد مرت على مصدر رملى غنى قبل وصولها للعقبة الطبوغرافية.

كذلك هناك الكثبان العرضية التى تبدو في الطبيعة في شكل تموجات رملية ضخمة تمتد بشكل عمودى على اتجاه الرياح السائدة وترتبط في نشأتها بوجود عوائق تضاريسية أو حدوث تغير في اتجاه الرياح (للاستزادة راجع محمد صبرى محسوب، ٢٠٠١).

ومن الأشكال الأخرى الكثبان الطولية المركبة والتى تنتج عن التحام كثيبين أو أكثر مع تعدد حافاتها، وهناك الكثبان التى تنحرف أطرافها في اتجاه منصرف الرياح بسبب هبوب الرياح ثانوية مستعمدة على اتجاه الرياح السائدة، وهناك الكثبان الطولية المثبتة بالنباتات والتى عادة ما تتسع قممها وتستدير وتأخذ شكل (V) عند اتصالها ببعضها وذلك في زوايا تتراوح ما بين ٣٠-٥٠ درجة.

ثالثاً : قياس حركة الرمال في الحقل والمعمل :

تمثل المشكلة الرئيسية المرتبطة بقياس حركة الرمال في الحقل في مدى تطور مصائد الرمال *Sand Traps* بحيث تكون تلك المصائد قادرة بقدر الإمكان على حجز الرمال، وإن أمكن أن تفرق بين الرمال المتحركة بالزحف *Creeping* وتلك المتحركة بالقفز *Saltation*. وكما معروف فإن أكبر كمية من الرمال تتحرك عن طريق القفز وذلك بالتقدم للأمام في اتجاه منصرف الرياح في شكل سلسلة مستحركة من الكومات الرملية، وعلى ذلك يجب أن تكون مصيدة الرمال مرتفعة بالقدر الذى يكفى للامساك بجبات الرمال القافزة.



شكل (١٤٦) مصيدتان للرياح المتحركة
إحداهما رأسية والأخرى أفقية

وقد اختبر كل من *Horikawa and Shen*,

1960 نوعين من مصائد الرمال الأفقية وخمسة أنواع من المصائد الرأسية وذلك بهدف تقدير مدى كفاءتها كما يتضح ذلك من الشكل (٤٦ أ). وتكمن الصعوبة هنا في الاختلاف بين كل من الزحف السطحي والقفز، وقد تم تصميم مصيدة أفقية مقسمة إلى عدة أقسام متعامدة على اتجاه الرياح السائدة بحيث تتمكن من حجز الرمال الراحفة تاركة الحبات الرملية القافزة لمصيدة أخرى توجد أمامها.

وقد قدرت الكميات المقولة عن طريق الزحف باستخدام هذه المصائد نحو ٢٥٪ من مجموع كمية الرمال المتحركة، وإن هذه النسبة لا تتغير مع تغير سرعة الرياح (King, C., A., 1978, p.131). ومن مميزات المصائد الأفقية أنها لا تعمل على اضطراب الرياح، وإن من الصعب اختيار الطول المناسب لها، كما أنها لا تستطيع إعطاء معلومات ترتبط بأثر الارتفاع على سرعة الحركة. أما بالنسبة للمصائد الرأسية *Vertical Sand Traps* فمن أهم مسألتها أنها تؤدي إلى اضطراب الرياح التي تهب على المنطقة مما يتطلب أخذ الحيلة والحذر في تصميمها وذلك بهدف الحد من ذلك والوصول بتأثيرها إلى الحد الأدنى، من هذه التصميمات جعل عرض المصيدة في الجانب الذي تهب منه الرياح صغير جداً، مثلما فعل *Bagnold* عند تصميمه لمصيدة الرمال التي استخدمها في تجاربه الحقلية العديدة بصحارى مصر وشمال أفريقيا. وتوجد مشكلة أخرى ترتبط بالمصائد الرأسية تتمثل في برى الأجزاء السفلى منها^(٢).

ومع كل ما سبق فإن استخدام مصائد الرمال في الدراسة الميدانية مازال محدوداً بدرجة كبيرة، ويعد *Bagnold* من أكثر من قام باستخدامها في دراساته العديدة عن الكثبان الرملية، خاصة فيما يتعلق بسرعة الرياح على مناسيب مختلفة وعلاقتها بحركة الرمال، فقد قام باستخدام مصيدتين في قياس حركة الرمال إحداها أفقية صغيرة الحجم تختص بحركة الرمال الزاحفة، والأخرى رأسية ضيقة تختص بحجز الرمال القافزة (عرضها نصف بوصة وارتفاعها ٣٠ بوصة)، وقد دفنت المصيدة الأفقية في الرمال تاركة فتحة صغيرة لمرور الرمال الزاحفة (راجع الشكل). كما أن المصيدة الرأسية مثقوبة من أسفل وذلك بهدف الحد من اضطراب الرياح عند مرورها بالمصيدة.

وجدير بالذكر أن الدراسات الميدانية (الحقلية) المجدية هي تلك التي تتم أثناء هبوب الرياح القوية أو الرياح العاصفة، ومن ثم فمن المهم للغاية في هذا الشأن التركيز على تثبيت الأجهزة الخاصة بالقياس تثبيتاً جيداً حتى لا تتأثر بالرياح أو تدمر بفعل العواصف التي يصعب أصلاً التنبؤ بحدوثها في تلك الظروف المناخية الصحراوية المتطرفة.

ولقد خرج *Bagnold* بالعديد من النتائج التي لاحظها في الميدان والتي ترتبط بكيفية تحرك الرواسب، فقد وجد أن سرعة الرياح على سبيل المثال تزداد زيادة لوغاريتمية بالارتفاع فوق سطح الأرض.

(٢) مازالت مصائد الرمال في حاحة للتطور، فعلى سبيل المثال يمكن للمصيدة الرأسية أن تقسم إلى أقسام ثانوية للإمساك بالرمال المتحركة على مناسيب مختلفة وذلك لكي تعطى مؤشرات ودلالات هامة على العلاقة بين الارتفاع وحجم الحبيبات القافزة.

وجاء بعده عدد من الجيومورفولوجيين المهتمين بدراسة حركة الرمال مثل *Belly, 1964* الذى أجرى تجارب عديدة خاصة بعلاقة الرياح بالرمال المتحركة. وكذلك تجارب خاصة بمدى تأثير الرطوبة على سرعة الرياح المطلوبة لتحريك الحبيبات، وهو صاحب النموذج التجريبي المكون من نفق الرياح *Wind Tunnel* وطوله ١٠٠ قدم وعرضه أربعة أقدام بارتفاع قدمين ونصف، تمر خلاله الرياح بسرعة تتراوح ما بين ٢٤ و ٤٠ قدماً فى الثانية وهى رياح مولدة اصطناعياً عن طريق مروحة موضوعة عند نهاية النفق. وقد استخدم لقياس سرعة الرياح جهاز عبارة عن أنبوب مدرج ومنثنى بزاوية قائمة، كما استخدم مصيدة رمال رأسية لقياس حركة الرمال واستخدم مصيدة أخرى أفقية مقسمة إلى ١٨ قسماً. وقد استخدم نموذج هذا إجراء تجارب لتحديد أثر جوانب النفق على سرعة الرياح وقام بقياسات للقطاعات الرأسية للرياح *Vertical Wind Profiles* وكذلك قام بقياسات للسرعات المختلفة، وسجل من خلال تجاربه العملية فى هذا النموذج ملاحظات تتعلق بالتموجات الرملية *Sand Ripples* ووجد أنها تبدأ فى الظهور مع أقل سرعة للرياح بينما تختفى مع زيادة سرعة الرياح على ٢٦ قدماً فى الثانية. وإن كان لم يلحظ وجود علاقة بين طول التموج وسرعة الرياح والتي توصل إليها باجنولد *Bagnold* من تجاربه العديدة.

وقد قام *Belly* كذلك بقياس متوسط المسافة التى تقطعها الحبيبات الرملية ووجد أنه يتراوح ما بين ١,٣ و ١,٦ قدم مع زيادة سرعة الرياح من ٢٨ إلى ٣٥ قدماً فى الثانية (*Ibid, p. 192*)، ورغم أن تجارب *Bagnold* قد أظهرت العلاقة بين طول المسافة التى تقطعها الحبيبات الرملية وطول التموج، فإن هذه العلاقة كما ذكرنا لم تظهر فى دراسات وقياسات *Belly*، وإن كان الأخير قد وجد أن حجم حبة الرمل يؤثر فى طول المسافة التى تقطعها بطريقة القفز، وكلما قل حجم الحبيبة زاد طول المسافة *Fetch* (مسطح القفز) وكلما قل حجم الحبيبة عن نصف ملليمتر تظهر زيادة ملحوظة فى طول المسافة التى تقطعها فى تحركها.

وقد اختبر *Belly* قدرة المصيدة الرأسية ومقاومتها بالمصيدة الأفقية، وأظهرت نتائج دراسته أن كفاءة الأولى تزداد حينما تكون سرعة الرياح ٣١,٥ قدم فى الثانية والعكس مع انخفاض سرعة الرياح. ومن النتائج الهامة أيضاً لتجارب نموذج *Belly* ما يرتبط بتأثير الرطوبة على سرعة الرياح، فقد اتضح أنه إذا ما احتوت الرمال الناعمة على ما بين ٣,٢٪ من الرطوبة (محتوى التربة من الرطوبة) ستكون فى هذه الحالة فى حاجة إلى رياح قوية لكى تحركها، ومن المعروف أن احتواء الرواسب على المياه يؤدى إلى زيادته تماسكها وزيادة قدرتها على مقاومة الرياح.

الفصل السادس

الأنهار والتعرية النهرية من الدراسة الميدانية والتجارب العملية

الدراسة الميدانية والتجارب العملية في الجيومورفولوجيا

أولاً : قياس حركة مياه النهر ميدانياً

ثانياً : طرق قياس حمولة النهر ميدانياً.

ثالثاً : بعض القياسات الميدانية الخاصة بالتعرية النهرية.

مقدمة :

تعد الأنهار والعمليات النهرية من أكثر النظم الجيومورفولوجية التي تعمل على سطح الأرض أهمية فهي التي تكون السهول الفيضية الدالات النهرية التي تتركز بها المدن الرئيسية في العالم وتتركز الاستخدامات البشرية المختلفة.

والواقع أن العمليات النهرية قد تقوم بوظائفها بذاتها أو من خلال عوامل جيومورفولوجية أخرى، فالنهر قد يؤدي من خلال العمليات التي يقوم بها إلى تكون سفوح منحدرية غير مستقرة على جانبيه كما أنه قد يقوم بتشكيل جزيرات على طول مجراه ونفس الشيء قد تقوم به ثلاجة عندما تنصهر فتكون نهراً مضطرباً يقوم بنقل المفتات الجليدية وترسيبها عند مصبه (Morrisaw, M., 1985, pp:1-15). والواقع أن الكثير من الخصائص المورفومترية والجيومورفولوجية للقنوات النهرية وشبكات التصريف وخصائص الحوض التضاريسية وغيرها يمكن استخلاصها من القياسات المورفومترية للخرائط والصور الجوية.

ولكن الكثير من الخصائص لا يمكن التعرف عليها سوى من خلال قياسات ميدانية متاحة وممكنة وتصميم بعض النماذج والتجارب المعملية التي تفيد كثيراً في تفهم عمليات التعرية النهرية والتشكيل الأرضي التي تقوم به وقياسات أبعاد وخصائص الكثير من الملامح المورفولوجية المرتبطة بالتعرية النهرية.

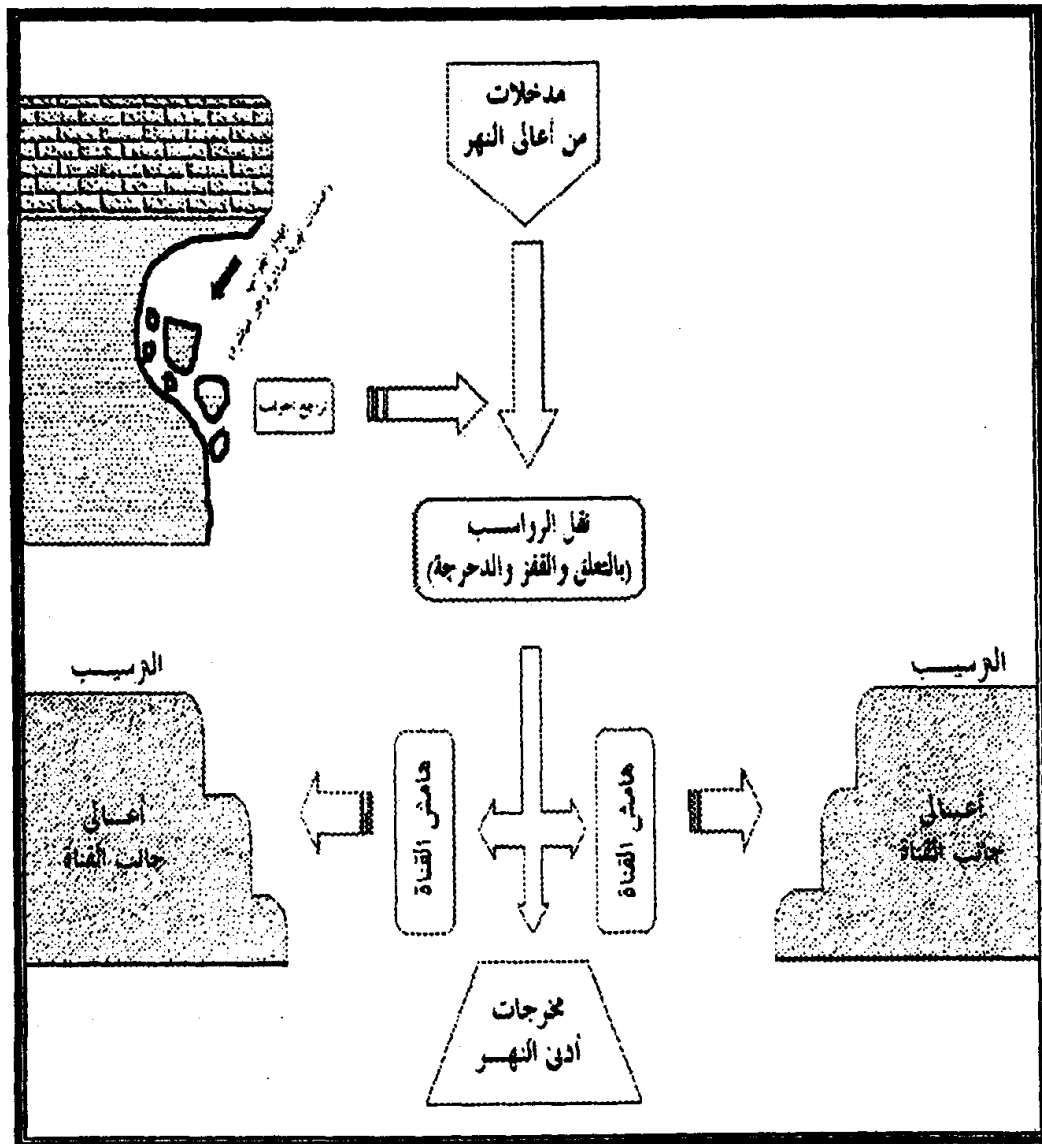
فقد اكتشف الجيومورفولوجيون عدداً متزايداً من العمليات النهرية التي يمكن تتبعها من الدراسة الميدانية بحيث تكون أكثر وضوحاً ودقة من تتبعها من التجارب المعملية أو من خلال تطبيق نظريات وقوانين معينة.

على سبيل المثال فإن تقديرات الجيومورفولوجيين لمعدلات نقل الرواسب Sediments Transport Rates وكذلك تفسير خصائص البنية من خلال تحديد التصريف المائي الكلي Gross Discharge ليس بالضرورة أن يتم من خلال النمذجة الفيزيائية أو الميكانيكية.

وقد أهتم كل من Shield and Gilbert وBagnold وآخرون بالدراسات والقياسات الحقلية الخاصة بالأنهار مثل قياس الأعماق وسرعة المياه وأنواع الرواسب وأحجامها وصورها التوزيعية ودرجة تركيز الرواسب في مياه النهر وتحليل تصرفات النهر، مع تكرار قياس ميداني للشكل مع فحص الخرائط التاريخية والصور الجوية بتواريخ متتابعة خاصة في مناطق تصيد المياه أو في أجزاء أخرى مثل الهيدرولوجيا والمناخ.

وما يفضل الجيولوجي القيام به يتمثل في القياس المباشر لسرعة الماء وتعقب الرواسب Sediments Tracing وأخذ العينات وقياس شكل القناة واتجاهات تغير الشكل بالمسح الأرضي والمصادر التاريخية ومن ثم تحديد سرعة التغير إلى جانب محاولة تحديد مواضع الترسيب على طول مجرى النهر (Goudi, 1981, p.197).

وعادة ما تعالج عمليات القناة النهرية كقضية أساسية وعلى سطح الأرض وكلها تنقل بفعل النهر وأخيراً يترسب أو يتحرك من نظام فئري إلى آخر كما يتضح ذلك من النظام الموضح بالشكل (٤٦ ب) والذي يحتاج بالضرورة لقياس سرعة الجريان على طول مجرى النهر.



شكل (٤٦ ب) النظام النهري River System

أولاً : قياس حركة مياه النهر الميدان :

يهدف قياس حركة المياه في الأنهار إلى معرفة معدلات التآكل والإرساب النهري وكذلك معرفة عمليات نقل المفتات وموضح علاقة المياه بشكل الحوض وخصائص شبكات التصريف.

(أ) محطات القياس : Gauging Station

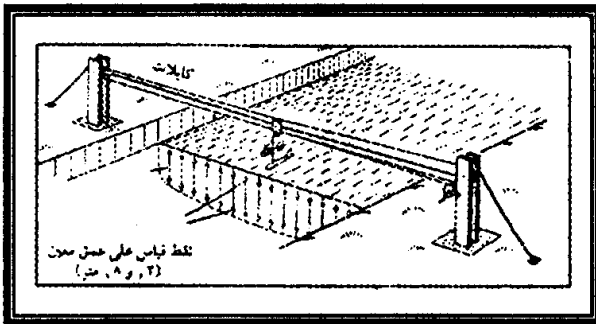
توجد في مواضع على الجرى لتحديد منسوب سطح النهر وتحديد حجم التصريف عند المقطع العرضي للمجرى بموضع المخطط وذلك من خلال فترة زمنية معينة ويكون ناتج القياس متر/ثانية أو قدم/ثانية وتحسب بملايين الأمتار المكعبة في اليوم أو الشهر أو السنة.

ويتم قياس وفقاً لشروط أساسية يجب توافرها أو على الأقل توفر معظمها وهي كالتالي :

- (١) أن يكون الجرى مستقيماً مع تماثل المنحدر جانبيه نحو قاعه.
 - (٢) خلو الجرى المائي في مقطع القياس من النباتات أو الكتل الصخرية التي تعوق حرمة المياه.
 - (٣) أن يكون النهر في مرحلة الاتزان والاستقرار جيومورفولوجياً.
 - (٤) أن تندفع المياه باتجاه منصرف الرياح.
- ويتم قياس تصريف النهر بعدة طرق أكثرها شيوعاً طريقة قياس مساحة المقطع العرضي Cross Section لقناة الجرى Stream Channel \times سرعة الماء بالجري.
- ويمكن استخدامها بمساعدة أسلاك معدنية لحمل الجهاز ويتطلب هذه الطريقة قياس منسوب الماء بالجري وقياس سرعته.

(ب) بالنسبة لقياس منسوب الماء في النهر :

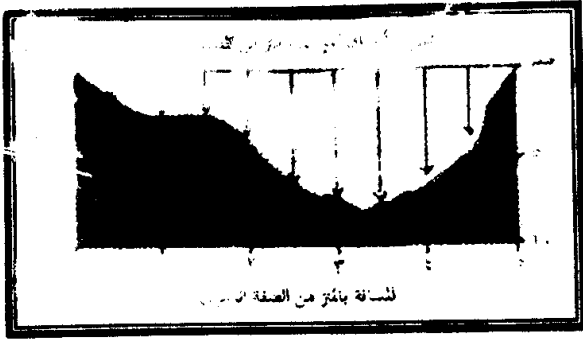
فيتم باستخدام شاخص مدرج أو باستخدام أجهزة أوتوماتيكية تسجل الارتفاع بطريقة دورية وبشكل مستمر، والشاخص عبارة عن لوح خشبي أو معدني مقسم إلى وحدات وأجزاء من المتر يتم تثبيتها عند ضفة القناة المائية بحيث يمكن قراءتها بشكل دقيق.



شكل (٤٧) قياس سرعة النهر وقياس منسوبه

أما جهاز القياس فعبارة عن اسطوانة تلور حول نفسها عكس اتجاه عقارب الساعة يثبت حولها ورقة يانوية مقسمة إلى أيام وساعات تصل الاسطوانة بعجلة تتحرك حركة نصف دائرية يثبت عليها شريط معدني يصل من إحدى نهايتيه بقل بوزن محدد، بينما يصل الطرف الآخر للشريط بعوامة حساسة ترفع وتنخفض مع تغير منسوب الماء في القناة المائية بحيث أنه

عندما يرتفع تلور العجلة وترفع العوامة ليهبط الطرف المعلق به القمل وتنخفض العوامة عند هبوطه تسحب القمل منها، وتصل العجلة بمؤشر في الداخل يصل العجلة بمؤشر في الداخل يصل بمحبرة ويسجل على ورقة يانوية مثبتة على الاسطوانة الدوارة منسوب الماء تبعاً لأيام الأسبوع وساعاته شكل (٤٧).



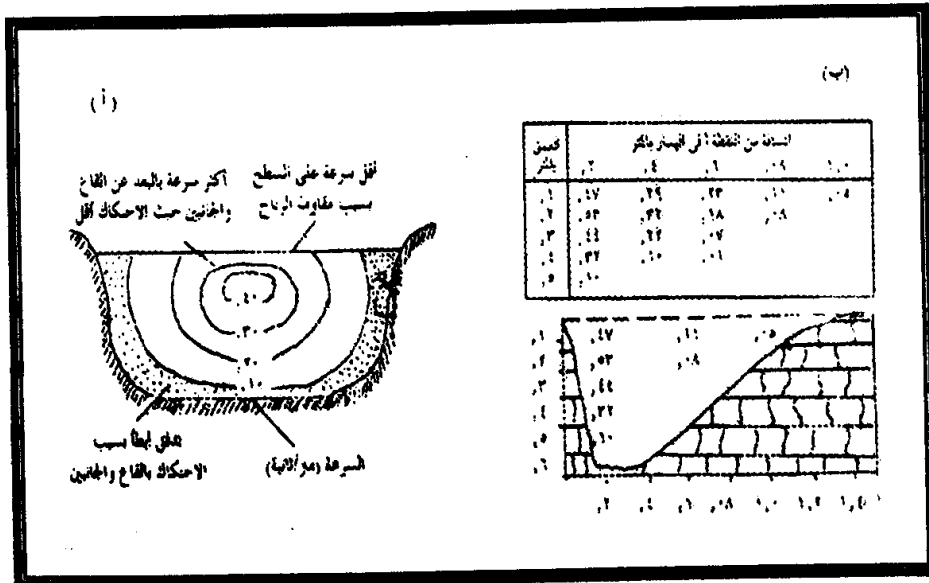
شكل (٤٨) رسم بياني مبسط لقياس تصريف النهر

وعادة ما يثبت الجهاز داخل صندوق مصنوع من الخشب ويثبت أسفله أنبوب يوضع بالعوامة والثقل حتى يصبح الماء مستقرًا وتحميها من الدوامات Eddies والتي قد تسبب تضليلاً في القياس (تغلب داوود، ٢٠٠٢، ص ٢٣١)، راجع الشكل (٤٨) الذي يبين رسماً بيانياً مبسطاً يوضح قياس تصريف النهر.

(ج) بالنسبة لقياس سرعة الماء وتصريف النهر :

يتم قياس سرعة مياه النهر بواسطة العديد من الأجهزة منها ما هو بسيط وغير مكلف ومنها ما هو معقد وبالعكس.

ومن أجهزة القياس المعروفة، جهاز قياس سرعة التيار المائي Current Meter والذي يمكن استخراجه كذلك في مقياس التيارات الشاطئية بمنطقة الشاطئ القريب في المناطق الساحلية. وتستخدم وحدات القياس سم/ثانية أو قدم في الثانية أو متر في الثانية راجع شكل (٤٧) الذي وضح قياس تيار مائي في النهر. ويوضح الشكل رقم (٤٩) اختلاف سرعة التيار المائي تبعاً للعمق أو البعد عن الجانبين وذلك في قطاع عرضي بمجرى مائي يتميز بالانتظام والاستقامة كما يوضح الشكل السابق (٤٩ ب) سرعة الحريان المائي خلال مقطع عرضي للثنية بالقناة النهرية عند محطة قياس بعد نقله بمقياس رسم مناسب على ورق بياني (يلاحظ اختلاف السرعة من أعلى إلى أسفل كما تختلف السرعة من منتصف الثنية Meander من سرعة التيار قرب الجانب المحدث والجانب المقعر للثنية، حيث تنخفض سرعة التيار عند الجوانب والقاع بينما تبلغ أقصاها قرب السطح).



شكل (٤٩) اختلاف سرعة التيار المائي تبعاً للعمق والبعد عن الجانبين

وعادة ما تستغرق قراءة سرعة التيار المائي عند كل عمق من قناة النهر ما بين نصف دقيقة ودقيقة واحدة ويتم في العادة تصحيح القراءات الخاصة بسرعة التيار وذلك باستخدام معامل تصحيح مثبت على جهاز قياس سرعة التيار وذلك من خلال ضرب القراءة التي تم تسجيلها \times معامل التصحيح (المرجع السابق، ص ٢٣٢).

ويمكن الحصول على التصريف المائي من خلال ما يلي : راجع الشكل (٤٨)

$$\text{التصريف المائي} = \text{مساحة القطاع} \times \text{سرعة الماء}$$

كما يتضح ذلك من الشكل (٤٩ أ) والذي يمكن أن نتفهم منه ما يلي :

- (١) يمكن القيام بقياس عرض قناة النهر بشرط قياس.
- (٢) استخدام شاخص مدرج لقياس العمق على مسافات متساوية من القطاع العرضي.
- (٣) رسم القطاع العرضي على ورق رسم بياني.
- (٤) يتم حساب عدد المربعات البيانية لحساب مساحة النهر.
- (٥) استخدام مقياس تيار السرعة (أو بعض الوسائل البديلة) لقياس سرعة الماء في النهر، ويمكن حسابها بشكل أدق من خلال قياس السرعة عند كل نقطة من نقاط الأعماق التي تم حسابها من قبل.
- (٦) في المثال المذكور فإنه كل مربع صغير $5 \text{ سم} \times 5 \text{ سم} = 25 \text{ سم}^2$ ، حيث يبلغ مجمل عدد المربعات ٤٢٣. إذاً مساحة المجرى $= 423 \times 25 \text{ سم}^2 = 10575 \text{ سم}^2$ (١٠,٥٨ م^٢)، فإذا ما كان معدل السرعة في هذا المثال نصف متر في الثانية فيكون تصريف النهر في هذه الحالة $= 10,58 \text{ م}^3 / \text{ثانية} = 2,29 \text{ متر مكعب (Waugh, D., 1990, p.48)}$.

(د) كيفية قياس المحيط المبتل ونصف القطر الهيدروليكي :

وذلك لأهمية معرفتها لإعطاء مؤشرات لكمية المياه في أى قطاع عرضي للنهر وكذلك لإعطاء مؤشرات لمدى كفاءة النهر.

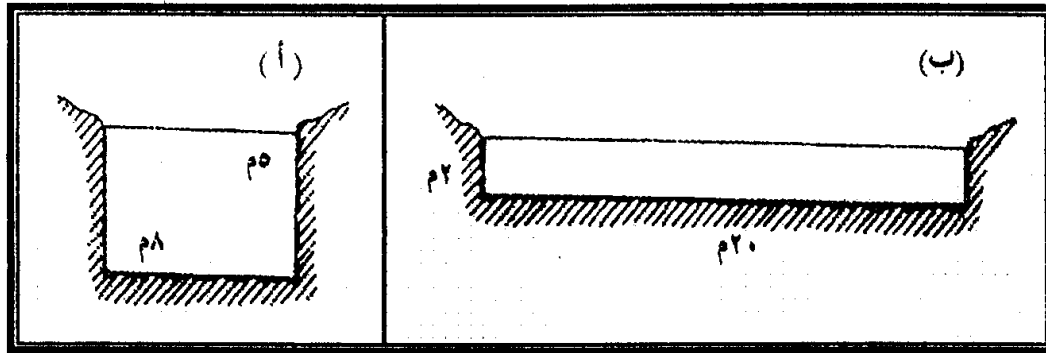
يوضح الشكل (٥٠ أ) أن المحيط المبتل $= 5 + 5 + 8 = 18 \text{ م}$.

ويمكن قياس ذلك ميدانياً بسهولة من خلال تحديد عرض القناة (٨) وارتفاع الضفتين من نقطة المنسوب العلوى للماء.

ونفس الشيء بالنسبة للشكل (٥٠ ب) وهو أى المحيط المبتل $= 2 + 2 + 20 = 24 \text{ م}$.

ويمكن حساب نصف القطر الهيدروليكي للمقطع بالنهر في شكل (٥٠ أ) على النحو التالي :

نحدد مساحة المقطع العرضي له وهي (٤٠ م^٢) كتاج لضرب القاعدة وطولها (٨ م) (عرض النهر) × ارتفاع الجانب (٥ م) ثم نقسمه على المحيط المبتل وهو (١٨ م) لتصبح النتيجة (٢,٢٢ م)، وهي قيمة ما تعرف بنصف القطر الهيدروليكي للنهر، وبتطبيق ما سبق على الشكل (٥٠ ب) يكون نصف قطره الهيدروليكي (١,٦٦ م)، وهكذا فإن نصف القطر الهيدروليكي يقصد به النسبة بين مساحة المقطع العرضي لقناة النهر وطول المحيط المبتل ويقصد بالأخير القاع والجوانب من القناة التي تحتك بها المياه. وكلما كبر نصف القطر الهيدروليكي لأية قناة فحرية، يعني ذلك أنه كمية المياه في قطاعه العرضي (داخل المحيط المبتل) أصغر وهذا بدوره يعني احتكاكاً أقل ويسمح بسرعة أكبر، ومن ثم فإن المجرى (٥٠ أ) أكثر كفاءة من المجرى (٥٠ ب) والذي يتميز بنصف قطر هيدروليكي أصغر وبالتالي كمية أكبر من المياه داخل المحيط المبتل مما يعني احتكاكاً أكثر وسرعة أقل.



شكل (٥٠) المحيط المبتل ونصف القطر الهيدروليكي

ثانياً : طرق قياس حمولة النهر ميدانياً :

مقدمة :

توجد الحمولة النهرية River Load في أربع صور تتمثل في كل من حمولة القاع Bed Load والحمولة القافزة والمواد العالقة Suspended Materials وحمولة الإذابة والأخيرة يتم نقلها بواسطة مياه النهر على طول مجراه بطريقة غير ميكانيكية بينما يحمل المواد الدقيقة في شكل حمولة عالقة، وينقل المواد الصخرية الأكبر حجماً بالتدحرج Rolling أو بالقفز Saltation على طول امتداد القاع. وكل المواد النحولة هي مواد صلبة في الأساس، أقلها حجماً تزيد على نصف الميكرون وأكثرها يصل إلى حجم الجلمود Boulder أو أكبر. والمواد المذابة عبارة عن أملاح تنقل في شكل محاليل كيميائية. وتتحكم سرعة المياه الجارية في حمولة النهر من المواد الصلبة والمذابة، ومن ثم فإنه من المهم جداً تحديد السرعة الحرجة Threshold Velocity اللازمة لنقل المواد الصلبة بطرق النقل المذكورة. وتوجد علاقة أظهرتها التجارب العملية وهي علاقة معقدة ومتداخلة بين حجم الفتات (كمياتها) وحجم حبيباتها وسرعة المياه.

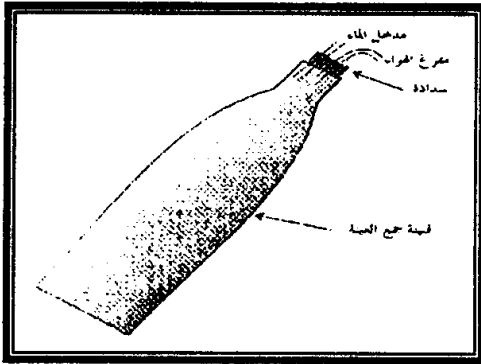
فقد أظهرت أن السرعة المطلوبة لنقل الحبيبات الخشنة (١٠ ملم فأكثر) يجب ألا تقل عن ١٠٠ سم/ثانية بينما تتطلب الحبيبات الناعمة ١ ملم سرعة ٢٥ سم/ثانية، بينما وجد أن الحبيبات الأنعم (الأقل حجماً من نصف المليمتر) تتطلب سرعة أكبر عن الأخيرة وإن كانت أقل من الأول (قد تزيد على ٧٠ سم/ثانية)، ويرجع ذلك إلى أن ذرات (جزيئات) المواد الناعمة تميل إلى الالتحام من خلال شحن كهربى بجانب أن سرعة المياه قرب القاع المغطى بالرواسب الناعمة تكون أقل إذا ما قورنت بالقيعان الممتلئة بالمفتتات الخشنة (داوود تغلب، المرجع السابق، ص ٩٩).

أما بالنسبة للترسب، فإنه عندما تضعف طاقة النهر وقبض سرعة مياهه فإن النتيجة تكون ظهور ظروف تلائم اتجاه المواد الناعمة للهبوط نحو القاع والتي عادة ما تبدأ في الهبوط مع وصول سرعة النهر إلى أقل من واحد سنتيمتر في الثانية، مع الأخذ بطبيعة الحال في الاعتبار أن معدلات ترسب الهبوط نحو القاع تختلف بالنسبة للمواد الصخرية المحمولة تبعاً لأحجامها وكثافتها النوعية.

(أ) كيفية قياس المواد المذابة في مياه النهر :

يمكن حساب كمية المواد المذابة في مياه النهر والتي قد تفوق كميتها تلك المنقولة بواسطة التعلق وغيرها من طرق النقل المائى للنهر.

وبشكل عام فإن هناك علاقة بين تصريف النهر وتركيز المواد المذابة حيث أنه كلما قلت كمية المياه في القناة النهرية فمعنى ذلك أن النهر يستقبل مياهاً جوفية مشبعة بمواد كيميائية مذابة (١).



شكل (٥١) زجاجة أخذ عينات الماء من مجرى النهر

ويتم القياس من خلال أخذ عينات الماء بحيث تؤخذ عن محطة قياس التصريف المائى على امتداد المقطع العرضى للنهر وذلك بواسطة زجاجة محكمة الإغلاق بغطاء مطاطى ويمر به أنبوبان أحدهما يسمح بدخول الماء والثانى لتفريغ الهواء شكل (٥١).

ثم توضع العينة في مكان بارد نسبياً ويتم تحليلها لتحديد تركيز المواد المذابة بها وذلك على النحو التالى :

(١) يتم إحضار وعاء زجاجى جاف يتم وزنه ثم يضاف حجم معين من العينة المائية ثم يتم وضع الإناء الزجاجى بما به من ماء في فرن بدرجة حرارة تصل إلى ١٠٠ درجة أو أكثر قليلاً إلى أن يتبخر الماء، ثم يتم وزن الوعاء بما علق به أو ترسب في قاعه من أملاح ومواد كيميائية وبعد ذلك يتم حساب تركيز الأملاح بالمليجرام لكل لتر على النحو التالى :

(١) قدرت كمية المواد الكيميائية المذابة التى تطلقها البحار والمحيطات سنوياً بنحو ٢.٧ مليار طن تقريباً، ويبلغ نصيب نهر النيل منها حوالى ١٠ مليون طن.

$$\text{تركيز الأملاح المذابة (مليجرام/لتر)} = \frac{\text{وزن الدورق قبل ملئه بالماء - وزنه بعد تبخر الماء}}{\text{حجم الماء}}$$

٢٧ كما توجد طريقة لقياس تركيز الأملاح المذابة في المياه من خلال طريقة التوصيل الكهربائي للماء والذي يختلف تبعاً لتغير نسب تركيز الأملاح والتي يستخدم في قياس ملوحة التربة بالنسبة للمتخصصين في دراسة التربة الزراعية (للاستزادة راجع تغلب وداوود، ٢٠٠٢، ص ص ٢٤٧-٢٤٩). ويمكن حساب معدل التعرية الكيماوية (متر مكعب/كم^٢/في السنة) من خلال المعادلة التالية :

$$\text{مجموع تصريف الأملاح المذابة (*) (طن/سنة)} \\ \text{مساحة الحوض/كم}^2 \times \text{الوزن النوعي}$$

(ب) قياس حمولة النهر من المواد العالقة : Suspended Materials

يصعب في الحقيقة قياس الحمولة العالقة بالنهر وذلك بسبب اختلاف كمياتها من جزر إلى آخر ساحل القناة النهرية، ورغم ذلك فإن هناك طريقة تقريبية للقياس تتمثل في أخذ عينة من الماء محددة الحجم ونحسب منها نسبة تركيز المواد العالقة بها، والتي تحسب بالمليجرام/لتر أو تحسب بالجزء في المليون P.P.M.^(*) ويتم ذلك من خلال ترشيح عينة الماء بواسطة ورقة ترشيح Filter-Paper ثم يتم بعد ذلك بحفيفها عند درجة حرارة ١٠٥ وبعد ذلك يتم حساب وزن الرواسب المتبقية بالورقة من خلال طرح وزن ورقة ترشيح من نفس نوع وحجم ورقة الترشيح الأولى فينتج بطرحها من بعضها وزن المادة العالقة.

ونحسب نسبة تركيز المواد العالقة من خلال المعادلة التالية :

$$\text{تركيز المواد العالقة} = \frac{\text{وزن المواد الصلبة المتبقية بالجرامات} \times ١٠}{\text{كمية مياه العينة بالسنتيمتر المكعب}}$$

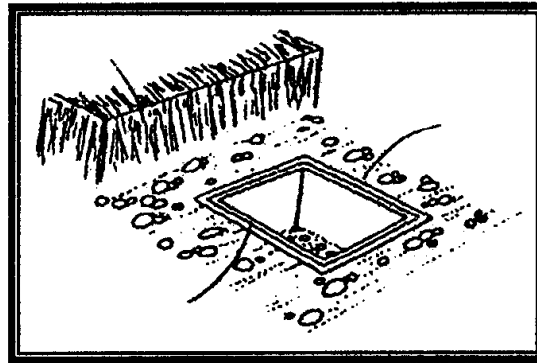
ويمكننا بعد ذلك حساب كمية المواد المذابة من العينة السابقة وذلك من خلال تبخير المياه المتبقية بعد الترشيح ثم نقوم بوزن ما تبقى من أملاح ونحسب منه الكمية الكلية للمواد المذابة في النهر من خلال قسمته على وزنها عينة الماء ثم ضربه في (١٠) لنحصل على كمية الأملاح المذابة بالمليجرام في اللتر كما ذكرنا كيفية حساب تركيز الأملاح في الصفحة السابقة.

(*) يتم الحصول على تصريف المواد المذابة من المعادلة التالية $\frac{\text{التصريف السنوي للماء م}^3/\text{ثانية} \times \text{تركيز الأملاح مليجرام/لتر}}$

(ج) قياس حمولة القاع : Bed Load

يشتمل حمولة القاع على أكبر المفتتات الصخرية حجماً بواسطة التدحرج *Rolling* أو الانزلاق *Sliding* على طول قاع النهر وهنا يجب أن نميز بين مقدرة النهر على نقل كمية من الصخور الكلية *Total Mass of Materials* وكفاءة النهر *Competence* التي يمكن الحكم عليها من خلال أكبر كتلة لتيار الماء داخل قناة النهر أن يحركها أمامه (Newson and Hanwell, 1982, p.147). فقد وجد أن الأنهار عملياً يمكنها أن تنقل حمولة من المواد الدقيقة أكبر مما يمكن أن تحمله من المواد تحمله المواد كبيرة الحجم، بمعنى أن النهر مثلاً يمكن أن يحمل عشر حبيبات وزنها الكلي خمسة كيلو جرامات بسهولة أكثر من حملها في شكل جلمود واحد بنفس الوزن، ويعني ذلك أيضاً أن كفاءة النهر وقوته على نقل حمولته تتوقف على حالة تفتت حمولته.

ومع صعوبة قياس حمولة القاع فقد قامت محاولات عديدة لقياسها وذلك بواسطة مصاديد الرواسب^(١)، كما يظهر ذلك من الشكل (٥٢) حيث يسمح للرواسب بالتراكم في حفر غائرة بقاع النهر أو خلف شبكة سلكية بحيث يمكن انتشالها كل فترة محددة والقيام بوزنها ومعرفة حجمها ومعرفة شكل الحبات. وبطبيعة الحال يتم ذلك عادة في الأنهار الصغيرة أو القنوات والجداول المائية.



شكل (٥٢) طريقة قياس حمولة قاع النهر

كذلك قد يتم قياس حمولة القاع من خلال ما يتجمع منها أمام السدود أو في قيعان البحيرات التي تكونت أمام السدود.

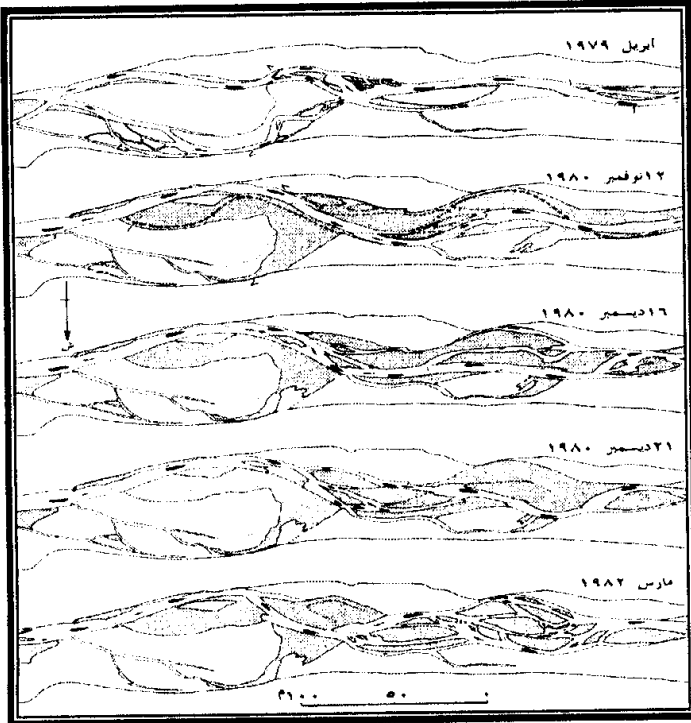
كذلك يمكن تعقب ما يطرأ على الحبات المتحركة على قاع النهر سواء بالقفز *Saltatoin* أو التدحرج بواسطة تلوين لمعرفة ما يطرأ على أحجامها وأشكالها ومعرفة الطريقة التي تتغير بها الحمولة عند نقلها على طول القاع.

^(١) تتكون عادة من صناديق من الخشب يقدر اتساع المقطع العرضي للنهر تقريباً بحيث توجد بالقاع وتنتهي حافاتها العلوية بمساواته (مساواة القاع).

(د) بعض القياسات الميدانية الخاصة بالتعرية النهرية :

(١) قياس لقطاعات خاصة بقاء المجرى :

ويهدف عمل هذه القطاعات تحديد خصائص قاع المجرى كذلك فإن عمل مجموعة من لقطاعات المنطبعة للقاع كل فترة تعطى قياساً للإرساب السنوى فى قاع المجرى وعادة ما يكون عمل هذه القطاعات المنطبعة مجدياً فى حالة الإرساب التسارع فى مواضع معينة من مجرى النهر أو البحيرات. ثلما الحال فى الجزء الجنوبي من بحيرة السد حيث يتم ترسيب معظم الحمولة العالقة (صابر أمين، راسة ميدانية، بدون تاريخ)، ويتم عمل هذه القطاعات فى مواضع مختارة من قبل الباحث يرى فيها أهمية خاصة فى عمليات الترسيب مثلما الحال فى مواضع الجزر داخل المجرى^(١) المائى كما يجب عليه خذ الحيلة والالتزام فى الدقة فى تحديد اتجاه ومسار المقطع العرضى حتى يمكن تتبعه فى القياس اللاحق. يمل القطاعات المنطبعة (Morricawa, 1985, p.10)، وعادة ما يستخدم جهاز قياس الأعماق عدى الصوت Echo Sound فى حالة النهار العميقة، كذلك يمكن استخدام حبل ينتهى بثقل لتحديد الأعماق وإذا ما كان نهراً ضحلاً يمكن استخدام شاخص خشبى مدرج. ويوضح القطاع لعرضى شكل القناة المائية واختلافها على طول امتداد المجرى ومن ثم تحديد أسباب ذلك.



شكل (٥٣) نمط قناة مضفرة وحدوث تغيرات بها
(خلال الفترة من ١٩٧٩ - ١٩٨٢)

(٢) قياس أبعاد الجزر داخل المجرى والقيام

بقياسات خاصة بالمساحة وتطبيق المعاملات المورفولوجية المختلفة التى يعتمد على بيانات وأرقام القياس الميدانى المباشر كما يتم قياس المنحدرات السطح وجوانب الجزر ويمكن حساب معامل التشعب Braiding Index^(٢)

لقطاع نهري تمتد خلاله أعداد من الجزر المتداخلة ويمكن تطبيق ذلك فى قطاع من فرع دمياط ورشيد وكذلك على طول مجرى وادى فى أعقاب جريان سيلى تعرض له شكل (٥٣) الذى يوضح نمط قناة مائية مضفرة

Braided Channels وحدوث تغيرات بها خلال الفترة من (١٩٧٩ - ١٩٨٢).

^(١) يفضا أحياناً عمل قطاعات على مسافات منظمة.
^(٢) معامل التضفر لبرايس = Brice Index (B.I.)
(بمجموع طول الجزر أو الحواجز)
طول القناة

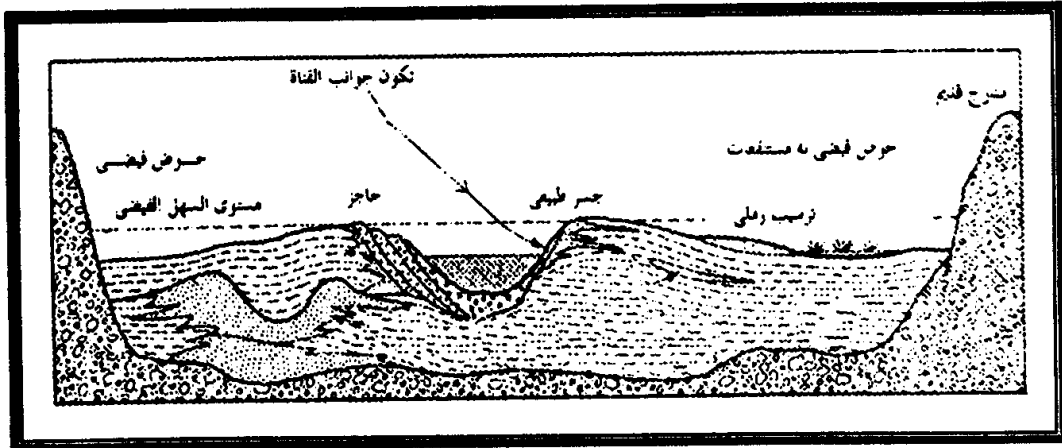
(٣) يمكن تتبع مواضع النحت والترسيب على جوانب الشيات النهرية وقياس انحدارات الجانبين باتجاه قناة النهر بطرق القياس المعروفة. من المعروف أن نحت جوانب (ضفاف) الأنهار وانحيازها بفعل مياه النهر ميكانيكياً وكيمياوياً يؤدي إلى تراجع الضفاف وإضافة حمولة لقناة النهر.

وقد قام قمامى ٢٠٠٣، بدراسة لعمليات نحت وانحياز جوانب نهر النيل فيما بين كوم أمبو وقناطر إسماعيل في قطاع طوله ١٣٠ كم. واعتمدت دراسته على عمل ميداني تفصيلي للوضع الراهن في مواقع مختارة وذلك باستخدام الوسائل الحديثة مثل تحليل صور الأقمار الصناعية الرقمية ونظم المعلومات الجغرافية مع دراسة العوامل المتحكمة في نشاط عمليات التراجع وتحديد أنماط وميكانيكية تراجع الضفاف.

ومن خلال دراسته الميدانية حدد أنواع الانحيازات في المواضع المختارة مثل الانحياز الكتلي ووجودها ترتبط بالضفاف شديدة الانحدار نحو القناة المائية والانزلاق الدوراني والانحياز الشرائحي الرأسى والانحياز الكهفى والنحت الجانبى، وأوضح العوامل التى تؤدى إلى كل منها معتمداً على الملاحظات والقياسات الميدانية لتلك المواضع (راجع بالتفصيل ممدوح قمامى، ٢٠٠٣).

(٤) يمكن تتبع الجسور الطبيعية على جانبي النهر أو الفروع وتحديد خصائص مكوناتها من الرواسب وانحدارات جوانبها المواجهة للسهل الفيضى والقناة النهرية.

(٥) يوضح الشكل (٥٤) قطاعاً في سهل فيضى محدب تظهر منه انحدار السهل الفيضى على جانبي القناة النهرية بشكل واضح وعادة ما تتميز السهول الفيضية في كثير من الأنهار بتحدبها بشكل أو بآخر بدرجات مختلفة.

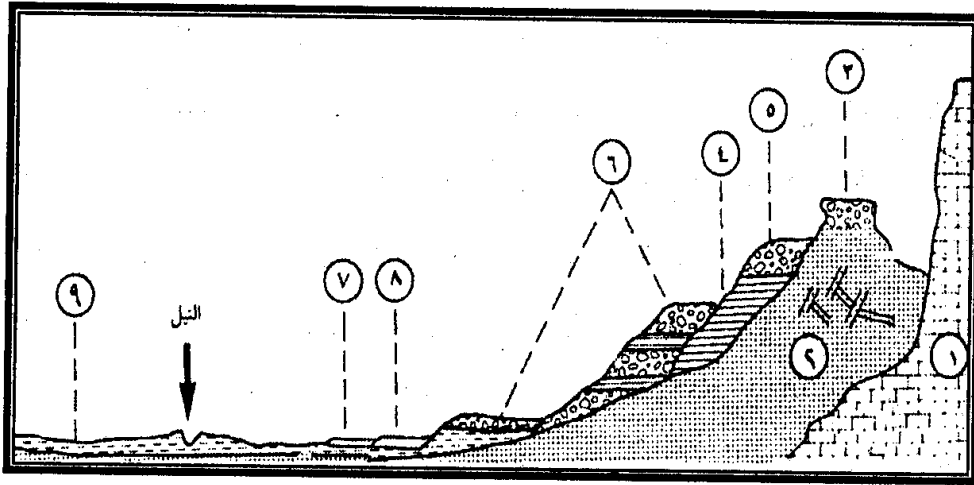


شكل (٥٤) قطاع في سهل فيضى محدب

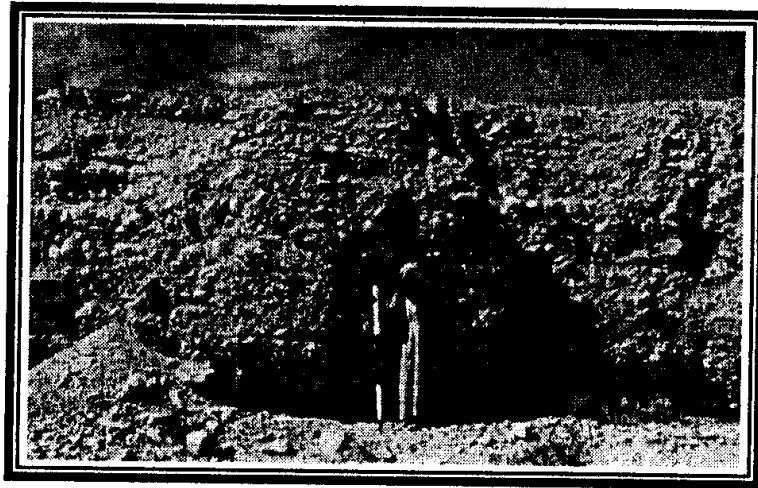
يلاحظ من الشكل المذكور الكثير من البيانات والملاحظات التى يمكن تتبعها في الميدان بالملاحظة والقياس، يتمثل أهمها في الجسور الطبيعية وانحدارها بشدة نحو القناة المائية مع انحدار هين نحو السهل الفيضى، مع وجود حوض تنمو به نباتات المستنقعات ربما يكون علامة ثنية سابقة Meander Scar.

الدراسة الميدانية والتجارب العملية

كما يلاحظ ترسبات رملية مع تكون أحواض فيضية منخفضة فيما وراء الجسور الطبيعية التي عادة ما تعرف بالمياه أثناء الفيضان كما يظهر الشكل (٥٥) المدرجات النيلية القديمة في مقطع مثالي في نهر النيل بالصعيد. كما توضح اللوحة (٤٣) الواجهة الجرفية لمدرج ١٥ م شرق نجم الكلايين شمال غرب قوص تظهر على امتداده ترسبات سيليه مع طبقة من الطفل، ويمكن في الميدان تتبع بقايا هذه المدرجات وقياس مناسيبها وربطها مع مدرجات مماثلة في ارتفاعها وتتابع تكويناتها على جانبي القناة المائية وقياس انحدارات السطح والواجهة ومظاهر تقطعها وتفسير الأسباب التي أدت إلى تشكيلها بالصورة التي تبدو عليها.



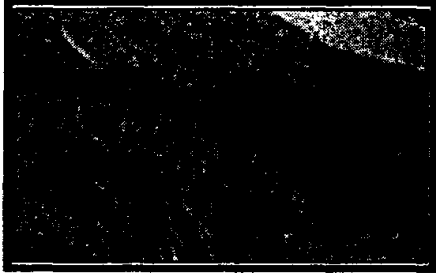
شكل (٥٥) المدرجات النيلية القديمة



لوحة (٤٣) واجهة جرفية لمدرج ١٥ متر شرق نجم الكلايين
شمال غرب قوص

(هـ) تجارب معملية خاصة بالتعرية النهرية :

(١) تجربة للتعرف على تطور الفروع عند نهاية نهر :



شكل (٥٦) نموذج لتطور الفروع عند نهاية النهر

- يحضر حوض خشبي أو من الصاج القوي ويملاً بالرمل.
- يحد بألة بسيطة ممر (خط مستقيم) في الرمل من نقطة بداية تدفق الماء باتجاه الطرف الآخر حيث تتكون بركة مائية، هذا الممر الذي تم تشكيله يمثل نموذجاً لقناة نهريّة محفورة في الرمل دون الوصول إلى القاع (أرض الحوض).

- يلاحظ مع تدفق الماء أن القناة تحمل رمالاً أكثر وأكثر باتجاه البركة Pool التي تنتهي إليها تلك الرواسب مع المياه بحيث تتراكم بها عند مصب القناة فيما يماثل تكون الدلتا.
- يلاحظ أن طبيعة القناة المحفورة بالنموذج سوف تتغير كلما بدأ ظهور ما يماثل الدلتا عند مصبه بالبركة المذكورة شكل (٥٦).

(٢) قياس سرعة النهر معملياً :

- يتم تسوية الرمال بالحوض الخشبي.
- يتم عمل قناة مستقيمة مع ثبات زاوية ميل القاع.
- مع كل مرة يصب فيها الماء يتم توسيع القناة.
- يتم قياس سرعة تدفق الماء باستخدام صبغة ملونة وسوف يلاحظ زيادة سرعة الماء مع زيادة تصرفها من الصنبور.

ولتوضيح سرعة تدفق الماء مع زيادة معدل الانحدار لقاع المجرى :

- يتم تسوية الرمال بالحوض ثم تقطع قناة على طول امتداد الحوض ويمكن بعد ذلك تتبع زيادة سرعة التدفق مع تغير زاوية الانحدار لقاع المجرى.
- يتم ذلك بوضع علامتين إحداها عند بداية القناة (مثلة للمنبع) والثانية عند المصب ولكن العلامتان قلمان رصاص أو ما يشبه ذلك.
- يتم قياس درجة الانحدار (ميل الحوض الممثل كنموذج) ويتم تلوين الدرجات (تسجيلها في نوتة خاصة).
- يقوم أحد الأشخاص بصب الماء من الإناء مع التأكد بأن صب كمية المياه تكون متساوية في كل مرة.
- عندما يتدفق الماء باتجاه الطرف الآخر (العلامة ب) يتم تلوينه عن العلامة (أ).
- يمكن لشخص ثالث أن يحدد الوقت المستغرق من وصول الماء الملون من العلامة (أ) إلى العلامة (ب).

- بمجرد تحديد الوقت المستغرق من (أ - ب) يوقف صب الماء فوراً.
- يعاد ما سبق مع زيادة الانحدار (ميل الحوض) بواسطة منقلة وزيادة سرعة جريان الماء.
- يمكن تكرار ما سبق عدة مرات وتسجيلها في رسم بياني شكل (٥٧).



شكل (٥٧) نموذج لتتبع قياس سرعة تدفق مياه قناة النهر

(٣) تجربة عملية تؤكد استقرار الجزيئات الصخرية بمعدلات مختلفة حسب أحجامها :
كما نعرف فإن حمولة النهر ترسب على القاع عندما تضعف سرعته وتقل درجة انحداره
وكذلك عندما ينتهي به الأمر ليقابل كتلة مائية كبيرة الحجم كبخيرة أو مياه بحرية شاطئية.



شكل (٥٨) نموذج معمل لتأكيد
استقرار الجزيئات الصخرية
بمعدلات مختلفة حسب أحجامها

وتتم التجربة بالاعتماد على المكونات والعناصر التالية :

- منخل لتصنيف الرواسب حسب الحجم.
- ساعة سباق Stop Watch.
- شاخص أو حامل (ستاند).
- رمل - شوكة - ورق رسم بياني.

تبدأ التجربة على النحو التالي :

- يوضع قدر من الرمال الكوارتزية النقية في المنخل الهزاز بحيث يتم فصل الرمال حسب أحجامها المختلفة.
- يوضع كل حجم من الرمال في كوب ورقي مع الترتيب حسب الحجم الأخشن رقم (١) وهكذا.
- نحضر أنبوب زجاجي شفاف بحيث يمثل نموذجاً لجسم مائي هادئ يمتد منه أنبوب صرف كما يظهر من الشكل (٥٨).

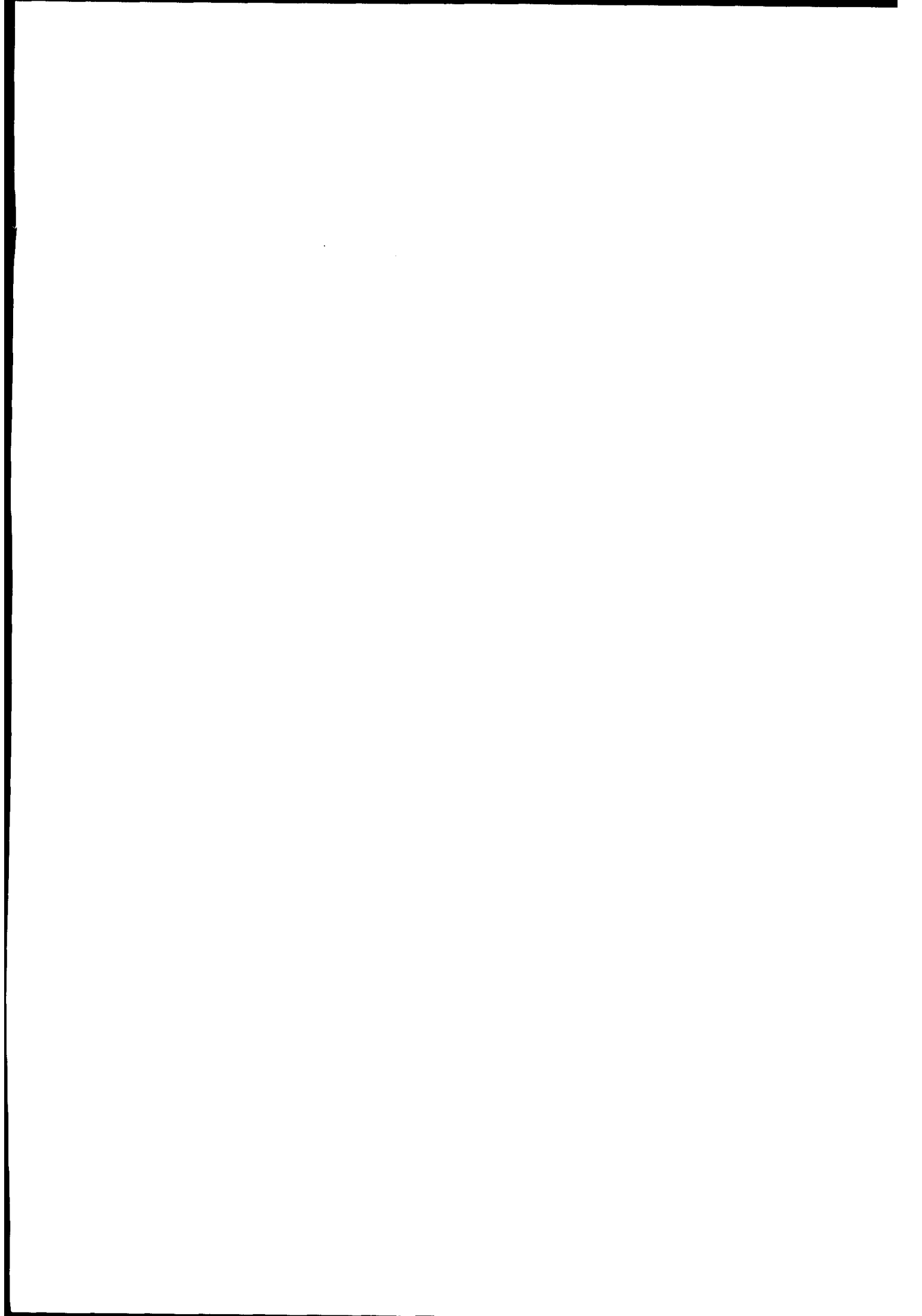
- تصب الرمال الخشنة من الكوب رقم (١) في العمود الزجاجي الشفاف مع ضبط لحظة الصب، وعندما تصل معظم الحبيبات الرملية إلى القاع يسجل الوقت المستغرق منذ صبها حتى استقرارها في القاع وبدون بالورق البياض.
- تعاد التجربة لكل حجم من عينة الرواسب وتسجل فترة ترسيبها معلماً فعلنا مع العينة الأولى رقم (١) الممثلة للرمال الخشنة.
- وفي نهاية التجربة يمكن تسجيل القياسات على الرسم البياني لتحديد العلاقة بين حجم الرواسب وسرعة التسجيل.
- يمكن وضع كمية من رواسب مختلفة الأحجام في أنبوب زجاجي مملوء بالماء وسنجد تصنيفاً تلقائياً للرواسب بحيث تترسب الأحجام الخشنة تليها إلى أعلى الأقل خشونة ثم الناعمة والأنعم وهكذا. وقد تظهر بشكل واضح إذا ما كانت مصبوعة بألوان تختلف حسب أحجامها.
- ويمكن قياساً على التجربة السابقة التطبيق على أحجام متماثلة للرواسب ولكنها ذات كثافة نوعية Specific Gravity مختلفة وبديهي سنجد الأثقل وزناً هي الأسرع في الوصول إلى القاع حتى لو كانت أقل حجماً، كذلك الحال مع شكل الحبيبة فكلما كانت قريبة من الشكل الكروي تكون أسرع في الوصول إلى القاع مقارنة بالشكل المفلطح Platy Shape.

(٤) تجربة عملية لفهم كيف يهبط النهر مجراه :

- يجهز حوض ضحل مستطيل الشكل بعمق نحو ١٥ سم أو أقل.
- يتم ملأه بالرمال لنحو ١٠ سم ارتفاعاً وتكون الرمال جافة بينما يبلغ طول الحوض متر واحد وعرضه ٣٠ سم.
- يستخدم إناء من البلاستيك به فتحة في القاع (ثقب).
- تترك المياه تتسرب من الفتحة بشكل مباشر باتجاه الرمل عن د الطرف الأيسر من الطاولة.
- يسند الحوض بميل خفيف على الطاولة مع تعلية الرمل أسفل الإناء.
- عندما يتسرب الماء من الإناء (من الثقب الموجود بالقاع) فهو هنا يمثل تدفق الماء في أعلى الجرى Up Stream.
- ماذا سيحدث ؟

في البداية سوف تمتص (تتشرب) الرمال المياه المتدفقة من الإناء إلى أن يتشبع مسامها تماماً - بعد ذلك ستكون بركة مائية.

ومع تدفق المياه من الصنبور Drain Spout سوف تتشكل مجارى صغيرة على سطح الرمل، ويمكننا أن نبخ Squirt قطرات قليلة من ملون الغذاء أسفل الإناء مباشرة لتتضح معالم الجارى التي تشكلت بشكل أوضح.



الفصل السابع

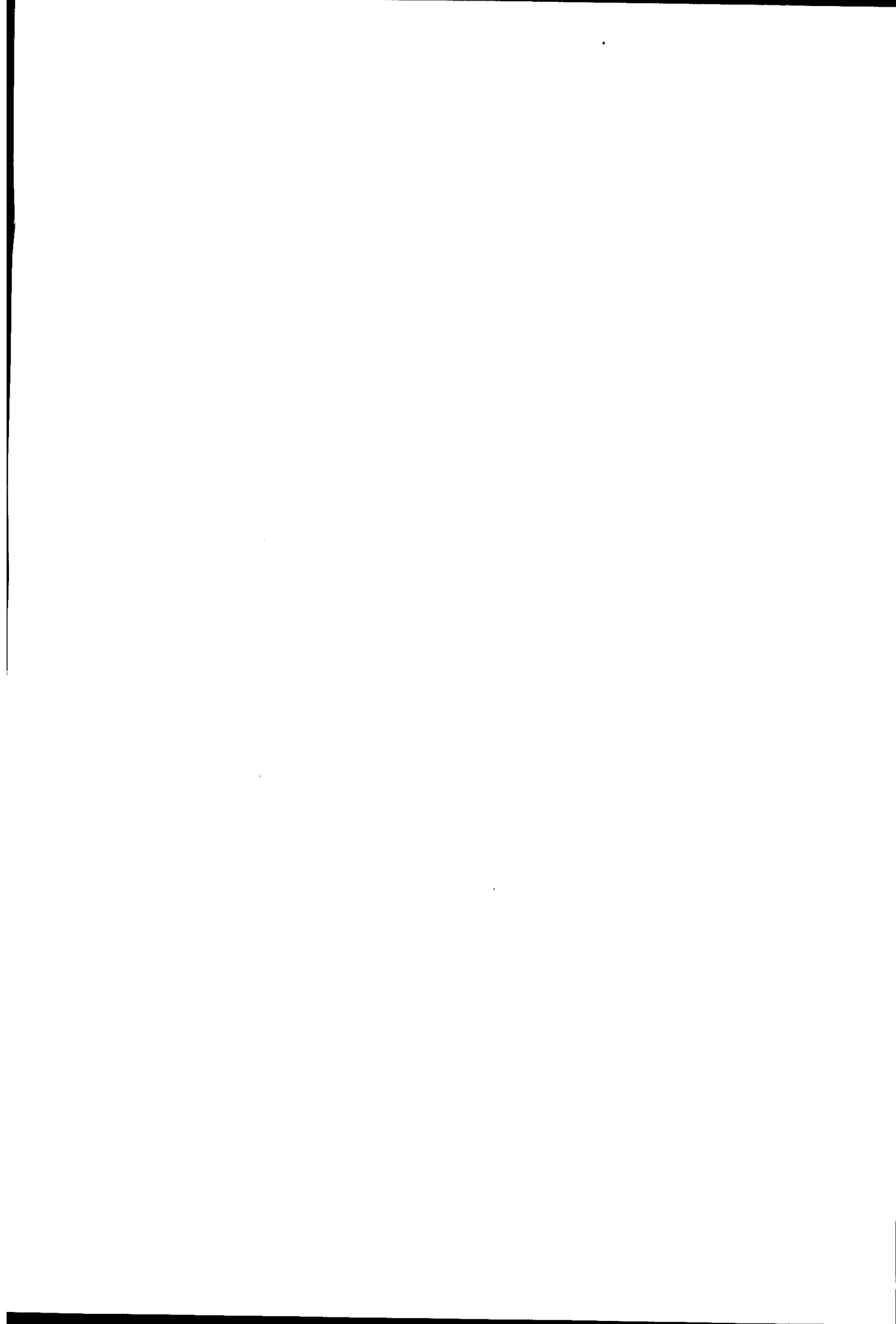
العمليات والأشكال الساحلية من القياسات والتجارب الميدانية والعملية

الحراسة الميدانية والتجارب العملية في الجيومورفولوجيا

أولاً: قياس الأمواج ميدانياً ومعملياً.

ثانياً: بعض القياسات التي يمكن القيام بها لخط الشاطئ.

ثالثاً: بعض الأشكال الساحلية والملاحظات والقياسات الميدانية



مقدمة :

تقسم السواحل بشكل عام إلى نوعين رئيسين؛ النوع الأول ويتمثل في السواحل الصخرية أو سواحل الجروف *Rocky or Cliff Coasts*، والنوع الثاني ويتمثل في سواحل الإرساب المنخفضة. وتظهر الأشكال الناتجة عن النحت بفعل العمليات البحرية بشكل واضح في النوع الأول من السواحل، بينما تظهر أشكال عديدة إرسابية على السواحل المنخفضة، وعادة ما تكون الأخيرة نتاج غمر بحري *Marine Submergence*، أو قد تكون نتاج المحسار مياه البحر *Emergence* على الهوامش الساحلية، وهاتان العمليتان الأخيرتان ترتبطان أساساً بتغير مستوى سطح البحر، يؤدي إلى حدوث تغيرات عديدة في شكل الساحل.

والسواحل باعتبارها خط التماس بين اليابس والماء، فإنها بدورها تتأثر بعمليات التعرية البحرية المختلفة، بجانب عمليات التعرية القارية السائدة، ومن ثم فإن ما تتضمنه من خصائص وما تشمله من ملامح هي في واقع الأمر نتاج عمليات تعرية مركبة ومتداخلة.

وبشكل عام فإن عمليات النحت على طول الشاطئ عادة ما تقوى أثناء هبوب العواصف البحرية القوية أو أثناء حدوث غمر بحري عاصفي (جشبات) *Sea Surges*. فتطور الجروف الساحلية ترتبط أساساً بعمليات التقويض السفلى الذي تقوم به الأمواج بفعل الضغط الهيدروليكي والنحت المائي لقواعد الجروف، وكذلك بفعل عمليات الانهيارات الأرضية، حيث أن البحر في حد ذاته لا يستطيع أن يسبب تراجعاً سريعاً للساحل إذا لم تتضافر معه العمليات الأرضية من تجوية بأنواعها المختلفة والانهيارات أرضية (محمد صبرى محسوب، ١٩٩١، ص ١٠٣).

وعادة ما تسود العمليات السابقة معظم سواحل الجروف وإن كانت تؤدي أدوارها بدرجات مختلفة وذلك وفقاً لفعالية كل منها والتي تختلف من منطقة ساحلية إلى أخرى، وكذلك تبعاً لخصائص الصخور المكونة للجروف وكذلك ظروف المناخ السائدة، ومن ثم تظهر تباينات عديدة بسبب التعقيدات الناتجة عن الاختلافات الليثولوجية والبنوية ودرجة التعرض للأمواج المدمرة والعمليات المرتبطة بحركة المياه في نطاق الشاطئ القريب وكلها يجب أن تكون دائماً مأخوذة في الحسبان من قبل الدارس الميداني للمناطق الساحلية والتي يكون على وعي تام بها مدعوماً بما لديه من خرائط جيولوجية تفصيلية وصور جوية وبيانات مناخية وغيرها.

وباختصار تتمثل العمليات البحرية في الاحتجاز الموجي *Wave Quarrying* والحت المائي والتجوية المائية والإذابة والنحت البيولوجي وغيرها وكلها تنتج عنها أشكال ساحلية ولامح مميزة يجب عند دراستها جيومورفولوجياً أن ندرس جيداً ونفهم العمليات السائدة منها والخصائص واللامح الناتجة عن النحت والتي يهدف الجيومورفولوجي إلى دراسة نشأتها وتطورها وتحديد أبعادها المورفومترية وربطها بالعمليات التي أوجدتها وكذلك الأشكال الإرسابية *Depositional Features* المتعددة وتلك التي ترتبط بتغير مستوى سطح البحر ومنها السبخات الساحلية والمناقع والأهوار.

ومع توفر وسائل التحليل والقياس من الصور الجوية والمرئيات الفضائية فإن للعمل الميداني والتجارب العملية أدوارها الهامة في تفهم مثل هذه الخصائص وكيفية اكتسابها وكذلك التفهم الكامل للملامح الجيومورفولوجية الساحلية وكيفية نشأتها وتطور أبعادها وتفهم مدى ارتباطها بعمليات ساحلية معينة خاصة تلك الملامح الدقيقة Micro Features مثل المستنات Cuspes والبرك وفجوات التجوية وحفر النحت البيولوجي بالأسطح المدية Tidal Flats وغيرها من تلك الملامح التي يصعب تتبعها وتحديدتها من الخرائط والصور الجوية والفضائية. حيث أن أحجامها الدقيقة تحتاج متابعة وقياس ميداني خاصة وأن الكثير منها سريع التغير لدرجة أنه قد يختفي في أعقاب عاصفة بحرية أو مد استثنائي Exceptional High Tide أو تتغير أبعاده على أقل تقدير.

وتفيد الدراسات الميدانية في تتبع وملاحظة وقياس الكثير من العمليات السائدة في النطاق الساحلي مثل تولد الأمواج Wave Generation والتغيرات التي تحدث لها مع انتقالها في المياه الضحلة في متاخة خط الشاطئ، وكذلك قياس سرعة انتشارها والتغيرات التي تطرأ عليها مع اقترابها من الشاطئ والسدى تنعكس خصائصه من حيث أحجام رواسبه والمحداره على طبيعة هذه التغيرات التي تطرأ على الأمواج القادمة إليه. كما يجب دراسة وتتبع تأثيرها هذه الأمواج في منطقة الشاطئ الأمامي Fore Shore وكذلك في تحديد سرعة التيارات الشاطئية Littoral Currents وتتبع حركة الرواسب على طول امتداد الشاطئ والتيارات المرتدة (الشقية) Rip Currents وغير ذلك من ديناميكيات سائدة.

كذلك فإن الدراسة الميدانية كما ذكرنا ذات أهمية كبرى في دراسة الخصائص الجيومورفولوجية للساحل من حيث التكوينات السطحية ودرجة الانحدار ومعدل التعرج وذلك من خلال أخذ عينات من رواسبه بالطرق المعروفة وعمل قطاعات الشاطئ وتتبع التغيرات التي تعرض لها ودراسة خصائص قاع الشاطئ القريب Near Shore وتحلل رواسبه مع دراسة أهم الأشكال والملامح المرتبطة به مثل الحافات الغارقة والأخاديد والقنوات المدية وغيرها الكثير^(١). وكذلك الأشكال المرتبطة بسواحل الإرساب وهي عديدة ومعروفة.

وفي سواحل الجروف تتركز الدراسة الميدانية على قياس ارتفاع الجرف والمحداره تجاه البحر وتحديد وضع الطبقات في حالة الصخور الرسوبية ودراسة وقياس انحدار أسطح الأرض الممتدة أمام أقدامها باتجاه البحر واتساعاتها مع دراسة خصائص السطح وقياس أبعاد الملامح الجيومورفولوجية المرتبطة بأوجد الجرف وأسطح الأرض الشاطئية مثل الكهوف والأعمدة الصخرية والمسلات والمتاريس والأقواس البحرية والحفر الوعائية إن وجدت وغير ذلك من ملامح تميز بها تلك الأنواع من السواحل وتسجيل القياسات في دفتر الميدان ليتم تحليلها مكتبياً بعد ذلك باستخدام الأساليب الإحصائية المتقدمة ونطبق البرامج الحديثة في الحاسب الآلي وتمثيلها كارتوجرافياً

(١) يحتاج الفريق عمل ومسح للمواقع من خلال قياس أسسها بواسطة أجهزة متقدمة.

ولاشك أن التصوير الفوتوغرافي له أهميته الكبيرة مع الأخذ في الاعتبار الالتزام بطرق التصوير السليمة مثل توقيت التصوير وتحديد دقيق للملامح والأشكال التي يتم تصويرها من حيث مواضعها بواسطة جهاز G.P.S وخصائصها وأبعادها بحيث يمكن عند العودة إليها بعد فترة زمنية محددة وملائمة تحديد طبيعة ودرجة التغيرات التي تعرضت لها.

كذلك يجب متابعة كيفية قيام العمليات البحرية بأدوارها في التشكيل خاصة فيما يتعلق بالعمليات التي تقوم بها الأمواج والتيارات الشاطئية وغيرها، إلى جانب تتبع دور العمليات القارية وحيث ديناميكيتها وضوابطها المختلفة.

أولاً : قياسات الأمواج ميدانياً ومعملياً :

توجد ثلاثة أنواع من القياسات الخاصة بالأمواج تتمثل في قياس ارتفاع الأمواج وفترةها Wave Periods واتجاهاتها، ويمكن القياس المباشر للأمواج في منطقة التكرس Surf Zone، مع قياس أو تقدير ارتفاع الأمواج في المياه العميقة قبل تغير خصائصها واتجاهاتها في المياه الضحلة المتاخمة لخط الشاطئ.

(أ) بالنسبة لقياس الأمواج في منطقة التكرس :

فإن ما يتعلق بارتفاع الموجة وفترةها فإن أبسط وأرخص طرق ووسائل القياس تتمثل في الملاحظات المرئية Visual Observation، فقد قام Ingle, 1960 بقياس ارتفاع الأمواج من خلال تثبيت شاخص مدرج في منطقة التكرس أو عن طريق تثبيتته في الماء الثابت (المستقر).

ويمكن استخدام التيودوليت بوضعه على مسافة من الشاطئ فوق عوامة بحيث تتحرك الأخيرة مع الأمواج ويتم قياس الزوايا الرأسية مع تتابع قدوم قمم الأمواج وأحواضها Waves Crests and Basins، وذلك باستخدام شاخص مدرج على مسافة من التيودوليت، ومع قياس سلسلة من ارتفاعات الأمواج في تحركها من المياه العميقة باتجاه المياه الضحلة يمكن الحصول على متوسط ارتفاع قطار الأمواج Waves Spectrum، كذلك يمكن استخدام مقياس ضغط الأمواج لتسجيل الارتفاعات بشكل متواصل Wave Gauge Pressure (king, C., A., M., 1978, p.141).

أما فترة الموجة فيمكن قياسها بملاحظة عدد من الأمواج التي تمر على نقطة ثابتة Fixed Point في فترات زمنية محددة باستخدام الساعة الرياضية.

ويمكن الحصول على سرعة انتشار شكل الموجة من خلال تطبيق المعادلة التالية :

$$S = \sqrt{\frac{C}{\lambda}} \quad \text{حيث أن:}$$

س = سرعة الموجة بالقدم.

ع = عمق الماء بالقدم.

ط = $\frac{22}{7}$ أو (٣,١٤١٩٥٢٦).

ج = ثابت الجاذبية (قدم/ثانية).

ل = طول الموجة بالقدم.

أ = ارتفاع الموجة بالقدم^(١).

كذلك يمكن التنبؤ عن سرعة انتشار الأمواج من الشكل أو العلاقة التالية :

$$S = \lambda / T \quad \text{حيث أن:}$$

(Derbyshire, et al, 1979, p.109)

حيث أن (ل) = تقريباً ١,٥٦ قدم/مربع فترة الموجة في الثانية، وذلك في حالة ما إذا كانت (ل) تقاس بالتر، كما أنها تساوى ٥,١٢ مربع فترة الموجة إذا ما كانت مقاسه بالقدم.

مثال على ذلك:

إذا كانت فترة موجة في مياه عميقة = ١٠ ثانية وطولها ١٥٦ متراً فتكون سرعتها التقريبية ٥٦ كيلومتر في الساعة، ويمكن الحصول على طول الموجة (ل) من ضرب الثابت ١,٥٦ × مربع الفترة وهو في هذا المثال = ١٠٠ متر.

أما السرعة فهي حاصل قسمة طول الموجة (١٥٦ متراً) ÷ (١٠ ثانية) وهي الفترة، فتكون السرعة بذلك ١٥,٦ متر في الثانية أو نحو ٥٦,١٦ كيلومتر في الساعة.

وجدير بالذكر هنا أن أطول فترة موجة سجلت، بلغت ٢٢,٥ ثانية بسرعة انتشار أكبر من ٧٥ كيلو متر في الساعة وهي من نمط الأمواج المحيطية القبابية Swell.

(١) يمكن الحصول على معدل ارتفاع الأمواج من خلال تحديد أعلى ٣٠٪ من عدد الأمواج القادمة خلال مدة قياس تبلغ نحو ٢٠ دقيقة.

(ب) طاقة الموجة : Wave Energy

يمكن الحصول على معدل تحرك طاقة الموجة أو تحرك قطار الأمواج بالمياه العميقة من المعادلة التالية :

$$C_g = \frac{1}{2} C = \frac{1}{2} \left(\frac{g}{2\pi} T \right)$$

حيث أن :

C_g = معدل تحرك طاقة الموجة.

π = ط نق $\frac{22}{7}$

T = فترة الموجة.

(Ibid, p.112).

وتوحد أجهزة عديدة خاصة بقياس الأمواج والتذبذبات في مستوى سطح الماء وفي المياه الضحلة واضح من السهل قياس أبعاد الأمواج بواسطة القياس من القوارب أو بواسطة مثبتة على الشاطئ.

(ج) اتجاه الأمواج : Waves Direction

أبسط طريقة لقياس اتجاهات موجة قادمة يتمثل في تحديد اتجاه قمتها باستخدام البوصلة، وهناك أجهزة أوتوماتيكية لتسجيل اتجاهات الأمواج، ويمكن في الميدان تثبيت ثلاثة أجهزة أو أكثر على طول امتداد الموجة.

وقد استخدم Cote, 1960 وسائل تصوير فوتوجراممترية لتسجيل الخصائص المرتبطة بالأمواج في سطح بحري صغير المساحة وذلك باستخدام طائرة شراعية Air Craft منخفضة تغطي مساحة ٨١٣ × ٥٤٠ متراً، ويمكن من خلال التصوير تحديد اتجاهات الأمواج القادمة. وفي المياه العميقة توجد أجهزة التسجيل لسرعات الأمواج توضع فوق عوامات Buoys ويمكنها قياس زوايا قدومها وقياس الطاقة الكلية للأمواج والاتجاه الرئيسي لانتشار طاقة الأمواج.

ويوجد مقياس ابتكره Naso, 1956 يقوم بقياس السرعات المدارية Orbital Velocities للأمواج وذلك من خلال قياس السرعات الأفقية والرأسية عند نقط يتم اختيارها، ويتم القياس بوضع المقياس على ارتفاع ٢٥ سم فوق القاع متاحاً لمنطقة تكسر الأمواج عند أعماق تتراوح ما بين ١,٥٢ و ٤,٦ متر.

(د) تحديد العمق الذي تنكسر عنده الأمواج :

يتم تحديده من خلال العلاقة التالية :

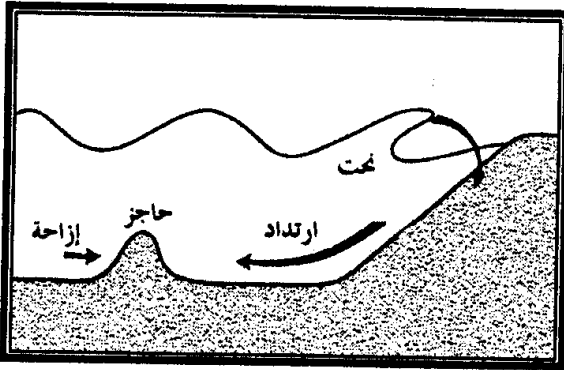
$$H_b = 0.78 d$$

حيث أن :

(Hb) يمثل ارتفاع الموجة المنكسرة Breaker .

(d) عمق المنطقة الشاطئية.

وبشكل عام فإن الأمواج القصيرة تنكسر عندما تصل نسبة ارتفاعها إلى طولها Height to Length إلى (١٤٣، ٠)، وإذا ما كانت الأمواج لا تتأثر بقاع البحر عند أعماق تزيد على طولها فإنها عندما تقترب من مياه أقل عمقاً، فإن طولها وسرعتها يعكسان صورة القاع بشكل واضح على شكل الموجة، حيث يؤدي إلى انحراف قمم الأمواج مع اقترابها من المياه الضحلة أمام الشاطئ بحيث تظهر أمام خط الشاطئ متوازية مع بعضها البعض، وتبدو هذه الظاهرة بوضوح مع الأمواج التي تتميز بأطوالها الكبيرة.



شكل (٥٩) زيادة فعالية النحت
مع قدوم أمواج عاصفة

وقد أظهرت التجارب بأن حركة هذا النمط من الأمواج ينتج عن دفع إلى الأمام باتجاه الشاطئ على طول قاع البحر، يزداد عندما تصل الموجة إلى نقطة التكرس، وبسبب ذلك يتحرك الرمل تجاه الشاطئ، ولذلك تعد هذه الأمواج من الأنواع البانية Constructive Waves على العكس من الأمواج القصيرة التي تصل إلى المياه الضحلة منحدره Steep،

يساعدها ويقويها هبوب رياح شاطئية قوية، مما يؤدي إلى زيادة قدرتها على النحت والتدمير من خلال خلق تيار متجه نحو البحر على طول القاع، يندفع بقوة تثير المياه والرواسب الشاطئية، يطلق عليه التيار الشقي أو التيار المازق Rip Current ويوضح الشكل (٥٩) زيادة فعالية النحت أثناء هجوم أمواج العواصف وارتداد المياه بقوة تجاه البحر وتولد تيارات شقية مازقة تتقابل مع موجة تالية مما يؤدي إلى تكون حاجز مغمور يعرف بحاجز نقطة التكرس Break Point Bar، يطلق عليه التيار المازق أو التيار الشقي Rip Current.

(هـ) صهريج الأمواج وبعض التجارب على خصائص وفعل الأمواج :

يعد كل من *Frentz Gerstner* وإيرست من الرواد الألمان في عمل تجارب وقياسات خاصة بالأمواج وما يرتبط بتجارب صهريج الأمواج *Wave Tank* والذي ابتكره ويبلغ طوله خمسة أقدام وجوانبه زجاجية توجد على إحداها أنبوب مثبت بطريقة يمكن من خلالها توليد أمواج اصطناعية بالصهريج وقد استعملوا في تجاربهم الماء والزئبق، ومن نتائج هذه التجارب أن الموجة المرتدة *Reflection Wave* لا تفقد أى جزء من طاقتها كما أكدت التجارب على وجود الحركة المدارية لجزيئات الماء مع انكماش المدارات واتجاهها للسطح مع زيادة العمق.

وفي القرن العشرين بدأت تتعدد التجارب والدراسات لتصنيف تقدماً كبيراً في مجال الإلمام بخصائص الأمواج وقد تبلورت هذه الأعمال خلال فترة الحرب العالمية الثانية وذلك مع تطور العمليات البرمائية *Amphibious Operations* وبدأت دراسة الأمواج تدخل مرحلة جديدة خاصة بعد تطور الأجهزة العملية الخاصة بقياس أبعاد الأمواج بحيث أصبح من السهل قياس الأمواج وسط المحيط من السفن بواسطة مسجل الأمواج كما تطورت وسائل قياس الأمواج في المياه الضحلة قرب الشاطئ كما رأينا.

ومن التجارب المستخدمة في صهريج الأمواج ما يرتبط بانحراف الأمواج واقتراب خطوط قممها بميل وموازاتها لبعضها في محاذاة خط الشاطئ وذلك لاحتكاك قيعانها بحافة غاطسة أمام الشاطئ. وتتمثل التجربة في وضع لوح زجاجي منشوري الشكل بسمك مناسب في صهريج الأمواج بحيث يكون عمق الماء فوقه ضحل جداً (مثلاً للحافة الغاطسة) بالنسبة لبقية الأعماق بالصهريج وهنا سوف تظهر الأمواج في الجزء الضحل ذات أطوال أقصر، وحيث أن فترات الأمواج ثابتة وذلك لكون مولد الأمواج يعمل بنفس المعدل فإن سرعة الأمواج في الماء الضحل ستكون بالطبع أقل. حيث تصطدم الأمواج بحافة المنشور الزجاجي بانحراف واضح وهذا ما يعنى حدوث تغير في اتجاه الأمواج عند مرورها بالجزء الضحل، وما تؤكد التجربة هو أن الاتجاه الذي تتحرك عنده الأمواج ينحني عندما تدخل مجالاً تنقص فيه سرعتها، وكلما زاد التغير في السرعة زاد انحرافها وهذا ما يمكن أن يحدث أمام الشواطئ حيث أن طوبوغرافية القاع أمامها وامتداد النتوءات اليابسة وتوغل الخلجان كلما تعمل على انحراف الأمواج^(٦) (Jardine, p.6).

(٦) كذلك قد يحدث انحراف للموجة إذا ما هبت رياح محلية بزاوية على شاطئ مستقيم مما يؤدي إلى اقترابها من الشاطئ بصور منحرفة.

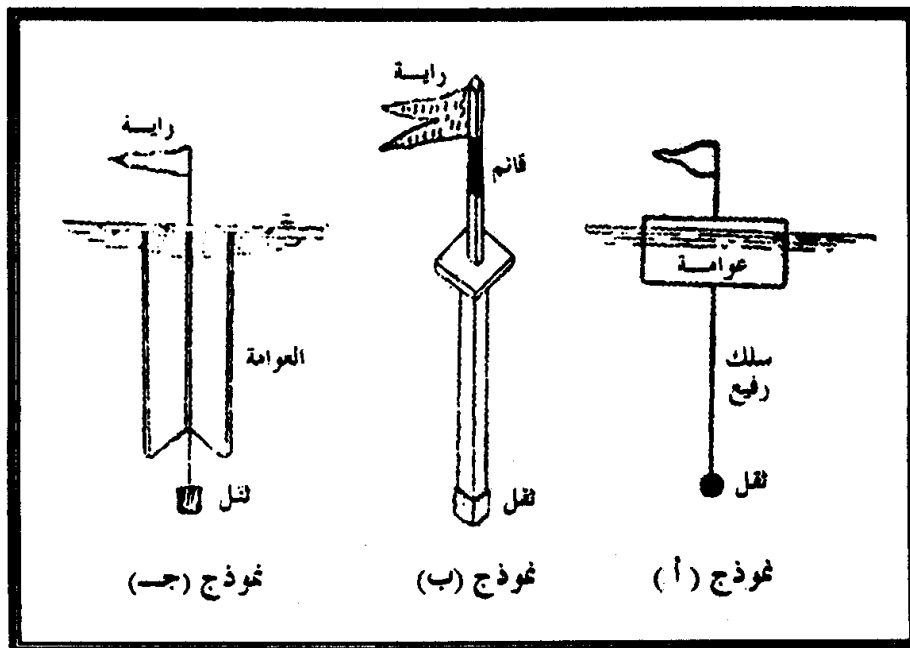
(٩) رصد منسوب سطح البحر :

يتم ذلك ميدانياً من خلال تثبيت قامة رأسية مدرجة فوق قاع البحر - في الشاطئ القريب الضحل - وذلك عند نقطة أقل من منسوب الماء، ويمكن تثبيتها على جانب أحد الأرصفة البحرية بشرط أن يكون صفر التدرج أخفض من منسوب سطح البحر.

ويتم كذلك عن طريق جهاز يتمثل في عوامة تتحرك داخل أنبوب رأسى به فتحة عند الطرف السفلى وذلك لامكانية دخول المياه وخروجها من الأنبوب تبعاً لارتفاع وانخفاض مستوى سطح البحر. ويؤدى دخول المياه الأنبوب إلى حدوث تحرك رأسى للعوامة ويتم تثبيت قائم رأسى أعلى العوامة ينتهى بمؤشر يتحرك أمام قامة رأسية مدرجة ومثبتة بحيث يتحرك المؤشر ليسجل القراءة الخاصة بمنسوب ماء البحر (إبراهيم عبيدو، ١٩٨٧، ص ٣٩).

(١٠) قياس التيارات البحرية :

يقصد بها هنا التيارات الشاطئية أو تيارات الشاطئ الضحل القريب *Littoral Current* وتعدد أنواعها فمنها تيار الإزاحة على طول الشاطئ *Longshore Current* والتيارات المدية. وبشكل عام يمكن قياس اتجاه سرعة التيارات في منطقة الشاطئ القريب من خلال تحديد اتجاهات وذلك بواسطة متابعة عوامة تتحرك مع تحرك التيار ويتم رصد مكانها على فترات زمنية محددة باستخدام التيودوليت أو باستخدام أجهزة قياس التيار *Current Meter* ومنها ما يسجل السرعة والاتجاه في نفس الوقت (عبيدو، المرجع السابق، ص ٥١).



شكل (٦٠) أنواع من العوامات يحملوا راية
يتدلى منها سلك ينتهى بثقل لحفظ توازنها

وبوضح الشكل (٦٠ أ) عوامة تعلوها راية ملونة يسهل رويتها يتدلى منها سلك رفيع ينتهى بثقل لحفظ توازن العوامة والتي يجب أن تكون صغيرة الحجم ما أمكن حتى نستطيع تخفيض قوة مقاومة الرياح لها أثناء تحركها.

والشكل (٦٠ ب) يمثل نوعاً من العوامات عبارة عن منشور خشبي يناسب طوله مع عمق الماء ينتهى أسفله بثقل لحفظ توازنه مع تثبيت راية أعلاه.

والشكل (٦٠ ج) يتكون من قائمتين خشبيتين بطول متناسب مع عمق المياه تنتهى في أعلاها بقطعة من الخشب مربعة الشكل طول ضلعها ٢٥ سم تعلوها راية ويتدلى منها ثقل.

أما عن قياس التيار وهو صالح للقياس في الأنهار مثلما هو صالح في قياس التيارات الشاطئية فإن الجهاز به مروحة (رفاص) يتحرك في علاقة طردية مع حركة التيار وكل دورة كاملة له يقطع دائرة كهربية يشحن أو يشغل بواسطة بطارية ويتم تسجيل عدد دورات الرفاص خلال فترة زمنية محددة ثم بعد ذلك يتم إدخال عدد الدورات وعدد الثواني الزمنية في جدول خاص ويقرأ مباشرة سرعة التيار بالقدم في الثانية وعادة ما يوضع الجهاز أو على عمق معين سواء في النهر أو في مياه الشاطئ القريب (لونا ب ليولد، مترجم، ١٩٧٧، ص ٥٦).

(ح) قياس حركتي العجيج swash والخضربة Backwash :

يقصد بالعجيج تقدم المياه الناتجة عن تكسر الأمواج بالاندفاع نحو الشاطئ الأمامي وكثيراً ما يتعرض جزء كبير من ماء العجيج للضياع بالتخلخل Percolation في رواسب الشاطئ خاصي إذا ما كانت مكونه من حبيبات خشنة نسبياً إلى جانب حمل مياه العجيج لكميات من الرمال باتجاه الشاطئ عادة ما ينتج عنها مسطح رملي منخفض Low Berm يعكس ذلك على ضعف عملية الارتداد الخلفي للمياه أو ما يعرف بالخضربة Backwash ومن ثم لا تنقل معها تجاه البحر سوى كميات محدودة من الرواسب. وفي حالة وجود شاطئ أمامي شديد الانحدار نسبياً نحو البحر يحدث عادة تكسر للأمواج غاطسة Plunging Breakers عذيفة مع شدة انحناء مقدماها وسرعة فائقة في معدلات ترددها وعندما تنكسر فإنها تركز طاقتها في مساحة محدودة من الشاطئ ومن ثم ينتج عن تكسرها ارتداد موجي عذيف Violent Backwash محملاً بكميات كبيرة من الرواسب التي ينتج عنها تشكيل حاجز تكسر Breaking Point Bar واضح المعالم تاركة واجهة الشاطئ منحدره بشكل واضح مع تقعرها عند أسفلها بالاتجاه نحو حاجز التكسر^(٦) راجع الشكل (٥٩).

(٦) يمكن تطبيق العلاقة التالية لـ Galvin لتحديد غط موجة التكسر وهي على النحو التالي :

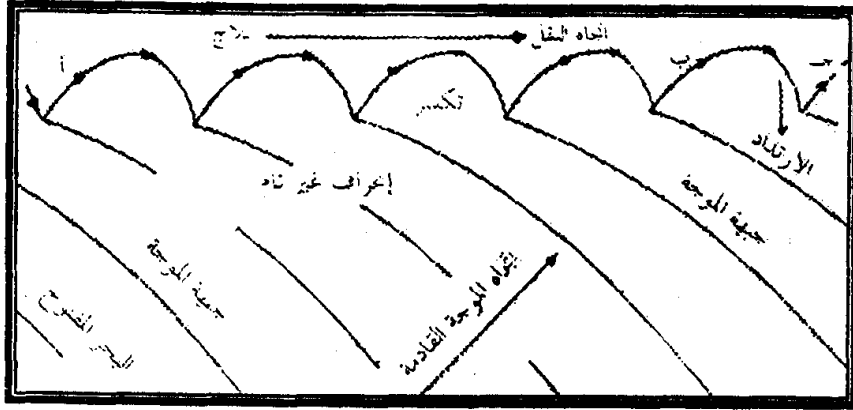
$$H / \tan^2 B$$

$$B = \text{طول الموجة} \quad Y = \text{ارتفاع الموجة} \quad H = \text{درجة انحدار الشاطئ}$$

فإذا ما كان ناتج المعادلة أكبر من ٤,٨ تكون موجة تكسر بانة، وإذا تراوح بين ٠,٩ و ٤,٨ تكون موجة تكسر مدعرة

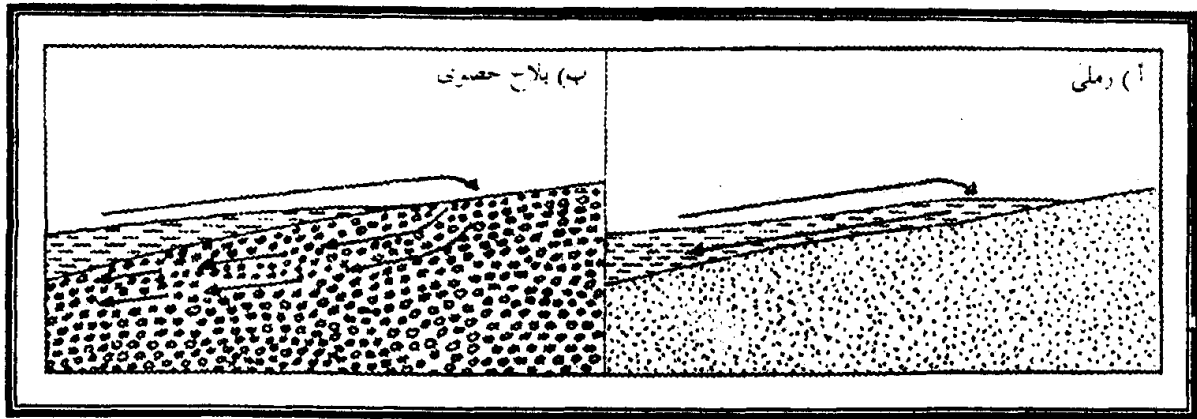
.Destructive Breaker

فيلاحظ من الشكل السابق (٥٩) زيادة فعالية النحت أثناء الأمواج العاصفة، حيث تقوم الأمواج بنحت الكتبان الساحلية إلى أن يتكون الحاجز مع حركة المواد مع الارتداد الموجي Backwash مع حمايته للبلاج من زيادة فعالية النحت ومع فترات الهدوء يعاد ترسيب رمال الحاجز Bar ببطء على البلاج. ومن الشكل (٦١) يلاحظ أنه عند اقتراب الأمواج بانحراف من خط الشاطئ اندفاع مائي مائل Inclined Up Rush لكل موجه، يؤدي بدوره إلى نقل الجزينات (المفتتات) بشكل مائل فوق البلاج، وتعمل حركة الارتداد الخلفي للأمواج على إعاقتها بشكل مباشر تقريباً نحو أدنى منسوب للبلاج.



شكل (٦١) انحراف الأمواج مع اقترابها من الشاطئ

حيث تعمل حركة العبيج (تقدم الأمواج) Swash للموجة التالية على الإمساك بالمفتتات وحملها إلى البلاج ثانية. وتبدو حركة الجزينات بالشكل السابق من النقطة (أ) إلى النقطة (ب) ومن الأخيرة (جـ) وهكذا، مع الأخذ في الاعتبار تعقد عملية النقل أكبر بكثير مما يوضحه الشكل. ويوضح الشكل التالي (٦٢) سلوك الخضربة (تقدم وتراجع المياه الموجية على البلاج) حيث نلاحظ منه ما يلي :



شكل (٦٢) سلوك الخضربة (تقدم وتراجع الأمواج على البلاج الرملي)

« تسدفع المياه فوق الشاطئ (العجيج) Swash، هذه الحركة تتأثر بالاحتكاك برمال الشاطئ إلى أن تلتصق طافها.

« يعمل الجاذبية Gravity على سحب المياه باتجاه البحر فيما يعرف بالارتداد الخلفى للأمواج Backwash، والسقى تكون أكثر وضوحاً في البلاج الرملى مقارنة بالبلاج الحصوى، حيث أنه في الأخير تتخلل المياه التكوينات الحصوية بصورة أسرع وتراجع تجاه البحر تحت السطح.

« من وجهة النظر الجيومورفولوجية فإن الأمواج البانية تلقى برواسبها فوق البلاج مع تقدم المياه فوقه. وذلك بكمية أكبر مما تقوم به عملية الارتداد من خلال سحبه للرواسب تجاه البحر. وهذا الأمر يتم بشكل أوضح عندما تزداد فترات تردد الأمواج، وعادة ما يلعب انحدار البلاج دوره في التأثير على فعالية عملية الخضربة، حيث يكون الارتداد أكثر تأثيراً من التقدم في حالة البلاجات المنحدرة، ومن ثم على الدارس الميداني ملاحظة كل هذه الخصائص والربط بين المتغيرات التي يمكن قياسها في الميدان.

والواقع أن هناك وسائل عديدة لقياس سرعات العجيج Swash والخضربة (الارتداد الموجي) وكذلك لقياس الطاقة المولدة تتراوح ما بين وسائل بسيطة نسبياً ومعقدة.

فقد قام Zeigler and Miller, 1958 بوضع عوامات Floats على مسافات محددة للحصول على سرعات العجيج والخضربة.

كذلك قام كل من Ferm and Dolam, 1966 بوضع علامات أرضية ف منطقة التكرس Surf Zone وهى المنطقة التى تلى نقطة حدوث التكرس Breaking الفعلى للأمواج باتجاه الشاطئ واستخداما مسجلاً للسرعات لقياس سرعة تقدم الأمواج (العجيج). كما قام Shiffman و Kirk, 1973 بتطوير جهازين لقياس الطاقة لحركتى العجيج والخضربة.

وقد قام Wright, 1976 باستخدام التكنيك الفوتوغرافى لقياس سرعات التقدم والارتداد الموجى وذلك باستخدام كاميرا بفتحة ٢٥ ملم وأفلام أبيض وأسود وثلاثة شواخص نحاسية بقطر ٣,١٨ ملم مدرجة بالستيمترات وملونة أسود وأبيض ومثبتة على الشاطئ على مسافات معروفة ومتتابعة، ويتم التقاط الصور مع وجود نسبة أخطاء حول ٥٪ وذلك بسبب التأثير بفعل الرياح، أما اتجاه التقدم فعادة ما يتم تحديده بتعقب أثر الرغاوى داخل إطار الصور التى تم التقاطها. إلى جانب ما سبق توجد وسائل أخرى بالغة التعقيد وباهظة التكاليف ولكن الطرق السابقة يسهل تطبيقها من قبل أى باحث مع الالتزام بالدقة الكافية بقدر الإمكان.

(ط) حركة الرمال في الشاطئ الأمامي :

من المهم قياس العمق الذي يمكن للأمواج أن تثير رمال القاع عندما تمر عليها. وقد أمكن معرفة ذلك من خلال تجارب تمت في بلاجات رملية مدية حيث يمكن تثبيت شاخصان (أوتاد) Pags في المنطقة الضحلة المكشوفة أثناء الجزر كعلامات استرشادية بحيث تكون المسافات معروفة بينهما ثم يتم حفر حُفر في القاع الرملى ويتم ملؤها بالرمال الملونة المميزة عن رمال الشاطئ ويتم تسويتها بعد ارتفاع مياه المد وتعاقب الجزر ثانية يتم قياس التغير في مستوى الرمل على الوتدين ومن ثم يمكن تين ما حدث من اضطراب للقاع مهما كان التغير محدود حيث أن موضع الرمال الملونة محدد من خلال الوتدين ويظل استمرار المتابعة حتى تنتهى الرمال الملونة عند المستوى الذى تعرض للإثارة بفعل احتكاك الأمواج.

وقد أظهرت الدراسات والتجارب أن هناك علاقة خطية بين عمق الإثارة (اضطراب الرواسب) وارتفاع الموجة في مناطق كثيرة.

(ى) التغيرات في قطاع الشاطئ وعلاقتها بالأمواج :

يمكن متابعة التغيرات التى تطرأ على قطاع معين من الشاطئ تحت ظروف تتغير فيها خصائص الأمواج في أحجامها وابعادة وذلك من خلال القياسات ميدانية في فترات مختلفة، فعندما تهاجم الشاطئ أمواج قوية عاصفة فإنها تؤدي إلى إزالة تكويناته الشائبة واكتساحها باتجاه البحر، بينما تسود عملية الترسيب أثناء فترة هدوء الأمواج، ويمكن القول هنا بأن تحدر الموجة Steepness of Wave يعد من العوامل الرئيسية في تحديد طبيعة مهاجمة الأمواج للشاطئ والتي بدورها يمكن تقسيمها إلى أمواج بانية Constructive وأخرى مدمرة Destructive ويزداد تأثير النوع الأخير عندما تهب رياح قوية قرب خط الشاطئ بنقل بواسطة الأمواج حيث يتم ترسيبه أمامه في شكل حافات غاطسه تتكون من الحصى Shingle والرمال، وقد تظهر هذه الحواجز فوق مستوى سفح البحر وتعد الأمواج المدمرة العامل الرئيسى في تكوينها حيث لا يمكن لأى عامل آخر تكوين مثل هذه الأشكال راجع شكل (٦١).

وقد درس Shepard, 1950 نطاق شاطئ بساحل كاليفورنيا وتابع التغيرات التى حدثت به خلال صيف وشتاء العام السابق ووجد أنه أثناء الصيف قد اكتسب كمية من الرمال قد أزيلت أثناء الشتاء.

كذلك أمكن دراسة وقياس الارتباط بين تدرج الشاطئ وأبعاد الأمواج السائدة وقد وجد أنه من السهل دراسة التغيرات التى تطرأ على الشاطئ خلال فترات زمنية طويلة وذلك بعمل مجموعة من القطاعات المنطبعة للمنطقة الشاطئية وكلما ضاقت المساحات بين المنحنيات المرسومة دل ذلك على أن الشاطئ في حالة توازن وثبات والعكس صحيح.

ويمكن لأى دراسة لقطاع شاطئ عمل قطاعات أحدهما يمثل الصيف والآخر الشتاء لعدة سنوات بحيث يمكن الاعتماد فى دراستها وتحليل التغيرات التى حدثت بالشاطئ وعلاقتها بالتغيرات المختلفة^(١).
فعل سبيل المثال يمكن عمل مجموعة من القطاعات فى مواضع مختلفة من ساحل دلتا نهر النيل لتوضيح معدلات التغير التى طرأت عليها بعد بناء السد العالى خاصة مع مقارنتها بقطاعات تمت فى فترات سابقة لبنائه وذلك لتوضيح حالات عدم توازن التى اعترت الساحل الدلتاوى (King, C., A., p.149).

(ك) حركة الرواسب على طول الشاطئ : Longshore Drift

أوضحت الدراسات الميدانية أن حركة الرواسب الشاطئية تحدث فقط فى النطاق الشاطئى الضحل وأن تلك الرواسب التى نُحِتَتْ فى فصل ما أو أثناء حدوث عاصفة بحرية قوية قد تعود إلى الشاطئ أثناء فصل آخر أو عندما تبدأ الأمواج البانية فى إبطال فعالية وأثر الأمواج المدمرة، وذلك فإنه من الأهمية بمكان دراسة حركة الرواسب على طول الشاطئ، حيث أنه مع حدوث عدم توازنه فى منطقة ما - بمعنى إذا ما كانت كمية الرواسب المنقولة منها تفوق الكمية من الرواسب القادمة إليها - سوف تكون عملية النحت قوية وخطيرة.

والحقيقة أنه من الصعب قياس حركة الرواسب على طول الشاطئ قياسات دقيقة من الطبيعة، وإن كانت قد صممت العديد من الطرق التى يمكن بواسطتها الحصول على قياسات كمية Quantity مفيدة فى هذا الموضوع، ومن تلك الطرق القديمة بناء حواجز للأمواج على ساحل سانت بربرة لكاليفورنيا ١٩٢٩ مما أدى إلى حدوث تغيير فى طبيعة حركة الرواسب بالمنطقة، فقد حدث نحت فى الجانب من الحاجز المواجه للأمواج بامتداد عشرة أميال (١٦ كم) خلال سنوات قليلة، بينما حدث إرساب وتراكم للمفتحات فى الميناء، والجزء من الشاطئ البعيد عن متناول الأمواج، وقد قدر المعدل السنوى للرواسب التى تراكمت فى الميناء خلال الفترة من ١٩٣٢ حتى ١٩٥٦ بـ ٢٧٩.٦٥٠ ياردة مكعب، وقد تم تثبيت أجهزة لقياس الأمواج على طول الشاطئ فى هذه المنطقة لتتبع ودراسة حركة الرواسب بها، وتم كذلك قياسات خاصة باتجاه الرياح وسرعتها وارتفاع الأمواج وفتراقتها ودرجات تحددها وقوتها، وتم تحليل ودراسة الارتباط بين كل هذه المتغيرات من جهة وحركة الرواسب من جهة أخرى، وذلك خلال عشرة شهور من ١٩٥٠-١٩٥١، وقد وجد أن حركة نقل الرواسب

^(١) وجد أن أكثر العلاقات الارتباطية وضوحاً يمتلئ فى العلاقة بين تدرج الشاطئ وحجم المواد الشاطئية، وهذا يرجع إلى اختلاف درجة النفاذية Permeability مع اختلاف حجم المواد المكونة للشاطئ.

وعادة ما يقتصر حدوث حركة الرواسب على طول الشاطئ فى المنطقة المحصورة بين نقطة العكس وخط الشاطئ، ويزدى تداعل الأمواج إلى تكون قوة دافع Driving Force فى منطقة العكس إلى تولد تيار لهما وراء أمواج العكس.

على طول الشاطئ تزيد عن معدلها مع زيادة قوة الأمواج كما وجد تركيز لهذه الحركة في منطقة العجيج Swash-Zone ومنطقة الخضربة، وذلك عندما ما يقل تحدر الموجة، كذلك قام Coldwall بدراسة العلاقة بين كمية الرواسب المنقولة وطاقة الموجة في خليج أناهيم Aneehim بولاية كاليفورنيا، وذلك خلال الفترة من ١٩٤٨ - ١٩٤٩ أخذاً في الاعتبار أثر اتجاه الموجة المقربة من الشاطئ، وقد أظهرت دراسته في تلك المنطقة وجود علاقة واضحة بين كمية الرواسب الرملية المنقولة وتشتت طاقة الأمواج على طول خط الشاطئ، وقد وقع كل من المتغيرين على رسم لوغاريتمي، اتضح منه حدوث زيادة سريعة في عمليات نقل الرواسب مع زيادة الطاقة.

وجدير بالذكر أن كل التقديرات الخاصة بكمية الرواسب المنقولة على طول الشاطئ قد اختلفت عن بعضها البعض ويرجع ذلك إلى اختلاف الظروف الطبيعية من منطقة أخرى خاصة أن معظم التجارب قد تمت على سواحل مكشوفة ومعرضة للأمواج وهي بالطبع تختلف تماماً عن السواحل المشرشرة Indented حيث أن كل خليج صغير له خصائصه المميزة من حيث سرعة وطبيعة الرواسب المنقولة، وتستخدم في الوقت الحاضر طرقاً حديثة متقدمة لتحديد كمية واتجاه الرواسب المتحركة على طول الشاطئ وذلك بتتبع حركة مواد ذات خصائص مميزة Marked Materials وذلك لسهولة تتبعها على الشاطئ، كذلك تستخدم مواد مضيئة ومشعة، وقد استخدمت الطريقة الأخيرة في التجارب شديدة التعقيد.

كما عرفنا فإن حركة الرواسب على طول الشاطئ تتحرك في نطاق تكسر الأمواج، وجزء من هذه الحركة يطلق عليه الإزاحة الشاطئية Littoral Drift وتتحرك كمية أقل من الرواسب بسبب قدوم الأمواج بانحراف على الشاطئ، وذلك عندما تأتي إليه بميل Obliquely^(١) فتغمر البلاج وتحرك فوقه الرواسب فيما يعرف علمياً بماء إزاحة البلاج Beach Drifting.

وكما عرفنا أيضاً فإنه من الصعب ملاحظة وقياس حركة المواد على طول الشاطئ وذلك لأن أغلب الحركة تتم تحت الأمواج المتكسرة منطقة التكسر. وعندما تقرب الأمواج من الشاطئ بميل فإن الماء الزائد يتدفق بعيداً في موازاة خط الشاطئ في شكل تيار ساحلي قوى Near Shore Littoral Current داخل منطقة التكسر وتنقل الرواسب كحمولة عالقة داخل التيار المضطرب. راجع الشكل (٦١).

ويوجد على طول العديد من السواحل اتجاه رئيسي سائد تأتي منه الأمواج وتيارات الإزاحة على طول الشاطئ مثلما الحال في التيار الشاطئي المستمر شرقاً على طول الساحل دلتا نهر النيل في مصر، والذي يؤثر في توزيع الرواسب.

^(١) مسد انحراف الأمواج المقربة من الشاطئ أمر ضروري لحدوث إزاحة للرواسب أما الشاطئ بجانب أهمية ذلك في توليد التيارات الشاطئية، حيث تعمل عند تقدمها Swash وتراجعها على توليد تيار إزاحة على طول امتداد الشاطئ يعمل على نقل الرواسب بشكل تدريجي وهذا التيار يتأثر بطبيعة الشاطئ ومدى انتظامه أو تعرجه.

وجدير بالذكر أن نقل الرواسب خلال التيارات البحرية تشبه ما يتم في الأنهار حيث تتحكم فيها الكثافة النوعية لحبات الرواسب، فالتكوينات الثقيلة مثل الماجنيتيت تخرج بسرعة من تيار الماء بينما تبقى الأخف وزناً مثل الكوارتز والفلسبار معلقة فترة أطول، وتنقل لمسافات بعيدة.

وبالنسبة للحبيبات التي يبلغ متوسط قطرها ٠,٢ ملم فإن سرعة التيار اللازمة لنقلها تزداد عند الجزر الربيعي لقطر الحبة، بمعنى إذا ما تضاعفت سرعة التيار فإنها تنقل حبات أكبر حجماً من الأولى أربع مرات وإذا ما تضاعفت سرعته ثلاث مرات تستطيع حمل رواسب أكبر حجماً من الأولى بتسع مرات (Bloom, L., A., 1973, p.116) ولذلك فعندما تكون الأمواج والتيارات الجانبية قوية عند الرؤوس البحرية لا يتبقى عند أقدام الجرف سوى الجلاميد بينما تنجرف كل الرواسب الأقل حجماً من الجلاميد نحو الكهوف المتاخمة للرأس البحرية أو نحو المناطق المحمية وتنتقل الرواسب الرملية الناعمة بسهولة بواسطة حركة الإزاحة على طول الشاطئ، ومن ثم تمثل البناء الرئيسي للبلاجات الرملية.

(ل) تتبع تدفق رواسب الشاطئ ميدانياً ومعملياً :

حدث تقدم كبير في السنوات الأخيرة في طرق تتبع حركة الرمال على الشاطئ وذلك باستخدام مواد تشبه تماماً المواد الرسوبية الطبيعية من حيث الحجم والكثافة النوعية ودرجة الصلابة مع تمييزها بألوان محددة وذلك لكي يسهل ملاحظتها وقياس معدلات تحركها وتراكمها. ويتم ذلك بوضع هذه المواد في موضع معين بالشاطئ ومن ثم تتحرك في نفس اتجاه تحرك المواد الشاطئية وبالتالي يمكن تحديد اتجاهات انسيابها ومنطقة توزيعها أو تراكمها.

وقد ظهر من بعض التجارب الميدانية أن بعضها دفن في رمال الشاطئ ولم يتحرك والبعض الآخر قد تحرك إلى منطقة الشاطئ الخارجي.

وقد استخدمت رمال طبيعية أو اصطناعية ملونة في تجارب بسيطة وكان من أهم المشكلات التي واجهتها تلك التجارب، صعوبة ملاحظة الحبيبات الملون، وذلك بسبب ضآلة كميتها مقارنة برمال الشاطئ ومع ذلك تم التغلب على بعض جوانب هذه المشكلة باستخدام رمال مغلفة بمواد رغوية ومصبوغة بألوان زاهية مما يسهل من عملية تتبع حركتها على الشاطئ.

ويعتبر Yasso من أكثر من قام بمثل هذه التجارب العملية وفي استخدامه أيضاً لمواد مشعة (مضينة) لتتبع تحركها ليلاً.

وقد تمت بالمعامل تجارب عديدة على نماذج للشاطئ وكانت أهم المشاكل التي قابلتها هذه التجارب ما أرتبط منها بنوع وحجم الحبيبات التي تلائم النموذج، فقد استخدمت الرمال لتمثيل نموذج الشاطئ الحصوي واستخدم الغرين لعمل نموذج للشاطئ الرملی وإن كان الغرين يختلف في خصائصه الفيزيائية عن الرمل مما أدى بالخروج بنتائج غير مكتملة عن مدى تأثير الشاطئ بالأمواج والتيارات الشاطئية.

وبصدد تتبع الرواسب على طول الشاطئ فقد ذكر الجيومورفولوجيون الروس اللذين قاموا بتجارب خاصة بحركة الرمال على ساحل البحر الأسود بطريقة الأصباغ المضيئة Florescent Dyes أنه من الممكن تتبعها على الشاطئ عندما تكون نسبتها إلى الرمال الطبيعية واحد إلى مليون وذلك حسب تقدير (Joliffe, 1961).

وهناك طريقة أخرى لتتبع حركة الرواسب باستخدام المواد المشعة Radioactive Tracers استخدمها كل من Kidson and Carr وذلك في تجاربها عام ١٩٦٢، وقد تطورت هذه الطريقة كثيراً بعد ذلك حتى أصبحت من الممكن تتبع حركة هذه المواد وتحديد مواضعها بعد وضعها في تكوينات الشاطئ وذلك باستخدام أجهزة خاصة توضع فوق البلاج أو فوق مطارق ثقيلة بقاع الشاطئ القريب، ومع ذلك فإن هذه الطريقة مكلفة للغاية ولا تلائم الباحث هنا.

وجدير بالذكر أن كل الوسائل السابقة قد صممت للدراسة الوصفية لحركة المواد على الشاطئ، ومن أول محاولة للقياسات الكمية تلك المحاولة التي قام بها Yassu في الستينيات من القرن العشرين وذلك باستخدام المواد الملونة لتحديد معدلات نقل الرمال في الشاطئ الأمامي لساحل ساندى هوك بولاية نيوجيرسى الأمريكية، حيث تم وضع كميات من المواد الملونة على الشاطئ وكانت في أربعة أحجام مختلفة وذلك في قطاع طوله مائة قدم باتجاه حركة تيار الإزاحة على طول الشاطئ وأثبت من خلالها أن أدق الحبيبات حجماً (يتراوح قطرها ما بين ٠,٥٩ - ٠,٧٠ ملم) وصلت في البداية تلاها مباشرة وصول حبات الحجم التالي (متوسط قطرها من ٠,٧٠ - ٠,٨٤ ملم) وكانت أقصى سرعة لتحرك هذه المواد في الرتبتين الأولى والثانية على الترتيب ٢,٦ و ٢ قدم في الدقيقة.

إلى جانب ذلك فإنه فمن الممكن قياس كمية الرواسب التي تحركت، وذلك بوضع كميات من المواد الملونة على مسافات في اتجاه منصرف التيار وذلك لقياس تركيز هذه المواد، وقد وجد من التجربة أن تركيز هذه المواد يتناسب مع معدل حركة الرواسب.

وقد طبقت هذه التجربة على طول البلاجات الحصوية بالساحل الجنوبي لإنجلترا على يد Joliffe عام ١٩٦١ وأعطت العديد من النتائج الإيجابية والمليدة وإن كان من الصعب تنفيذها بالشواطئ الرملية.

كذلك أثبت Bagnold في عام ١٩٤٧^(١) من خلال تجاربه العملية في أحواض الأمواج أن الأمواج المتحركة نحو الشاطئ تولد تياراً باتجاهه عند عمق قريب من قاع البحر مما قد يثير رواسب القاع ويحركها نحو الشاطئ.

^(١) جدير بالذكر أن حركة المواد على طول الشاطئ Longshore Drift عادة ما تقتصر على المنطقة من الشاطئ القريب المحصورة بين نقطة التكسر ومخط الشاطئ.

فقد وجد Van Straatn, 1959 أن الأمواج تحرك رمالاً نحو الشواطئ الفرنسية عند عمق يصل إلى تسعة أمتار كما وجد أن تأثير الأمواج في تحريك الرمال على ساحل الأطلسي قد يصل إلى عمق يزيد على ١٨ متراً (Bird, E., C., F., Ibid, p.85).

كذلك قام Bean, 1973 بعمل نموذج لفهم حركة الرواسب في الشاطئ القريب (المغمور بشكل دائم) والتي تعتمد على تكسر الأمواج الذي يثير الرواسب ويجعلها عالقة في الماء. وبعد مرحلة التعلق (حيث تعود الجزيئات لترسب على القاع) فإن حركة اتجاه الإزاحة الأفقية يعتمد على ما إذا كان الجزئ متأثر بسرعة الماء في الشاطئ البعيد أو القريب، فإذا ما كانت الجزيئات تتطلب وقتاً قصيراً للاستقرار على القاع مقارنة بفترة الموجة فهنا نجد أن الجزئ سوف يتجه للتحرك باتجاه الشاطئ الأمامي، أما إذا كان وقت الوصول إلى القاع طويلاً فإن صافي تحرك الرواسب سيكون باتجاه الشاطئ البعيد (Goudi, Ibid, p.131).

ثانياً : بعض القياسات التي يمكن القيام بها لخط الشاطئ :

(أ) قياس درجة تعرج خط الشاطئ : Sinuosity Ratio of Shore line

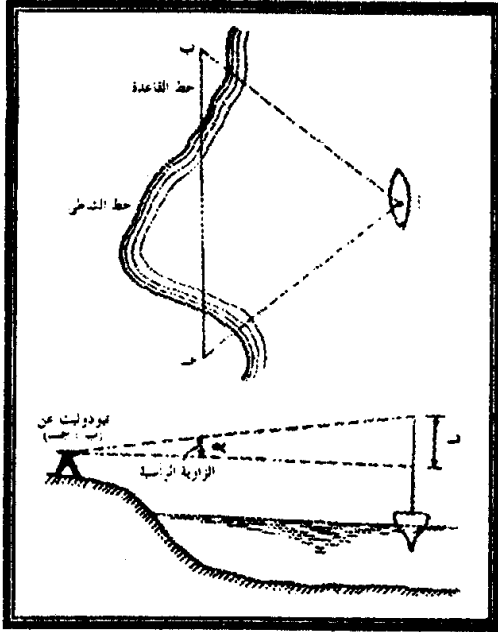
وأعماق نطاق الشاطئ القريب عادة ما يتم قياس تعرج خط الشاطئ من الخرائط الطبوغرافية كبيرة المقياس أو من الصور الجوية، ولكن يمكن القياس من الميدان للوصول إلى نتائج أكثر واقعية، خاصم مع قطاعات قصيرة نسبياً مثل سواحل اللاجوانات أو في قطاع على طول شاطئ بحر لأحد الحواجز الساحلية أو لقطاع محدود الامتداد من ساحل دلتا نهر النيل في مصر وغيرها. ويتم القياس باستخدام شواخص وبوصلة وشريط من التيل، ويمكن بسهولة أن يتم القياس باستخدام عجلة قياس هوائية ذات عداد يقوم بقياس المسافات خاصة في حالة وضوح التعرج والتغلغل المائي في الساحل.

(ب) تحديد خط الشاطئ :

يهتم مهندسو المساحة البحرية من بين ما يهتموا به تحديد خط الشاطئ وتحديد الأعماق الممتدة أمام حواجز الأمواج وغيرها من وسائل الدفاع الساحلية Coastal defences وكذلك بتحديد الأشكال الساحلية الغاطسة والممرات الملاحية Navigable passes الملازمة لحركة السفن والمراكب تجاه الموانئ البحرية أو الموانئ البحرية.

بالنسبة لرفع خط الشاطئ مساحياً، فإن أهم خطوة تتمثل في التحديد الدقيق في اختيار خط القاعدة وتحديد بدقه، وذلك من خلال الملاحظة الجيدة لطبيعة المنطقة وخصائص سطحها مع عمل رسم توضيحي لها.

وقد حدد عبيدو ١٩٨٧ الشروط المطلوبة في تحديد خط القاعدة والتي تتمثل في الآتي:



شكل (٦٣) تحديد خط الشاطئ

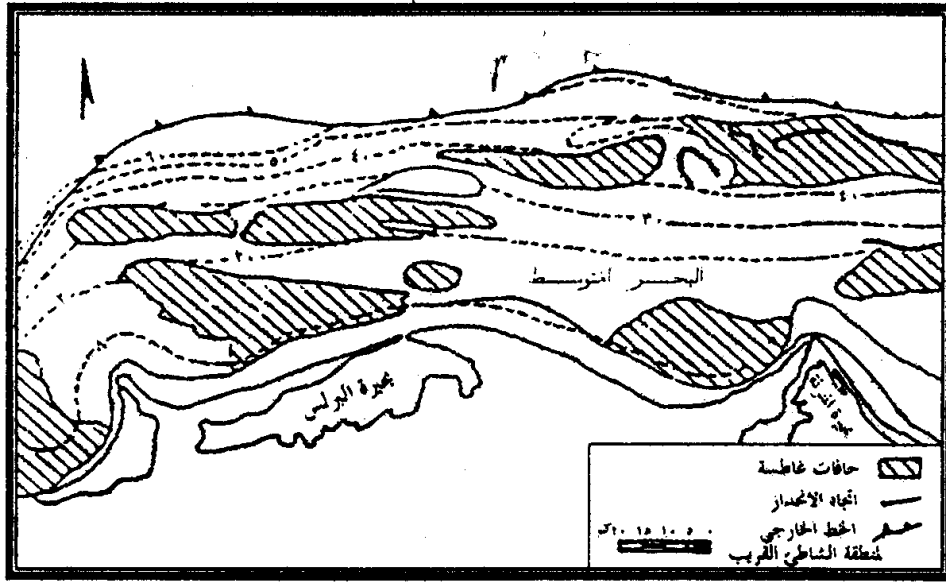
- أن يكون بطول كاف (نحو ١٠٠٠ متر) وفي منطقة سهلية بحيث يكون من السهل إتمام الرصد دون وجود عوائق طبوغرافية.
- أن يكون اقرب ما يكون لخط الشاطئ.
- الدقة في عمليات القياس والتي عادة ما تتم بشريط من الصلب أو شريط من النيل.
- في حالة وجود تداخل مائي (شرم بحري أو خليج) فيتم القياس من قارب في البحر ويحدد موضعه وليكن في النقطة (أ) بحيث يقاس منها زوايا الثلث أ ب ج الأفقية، كذلك تقاس الزوايا الرأسية كما يتضح ذلك من الشكل (٦٣) عند كل من ب و هـ وفيها يتم حساب البعد ب أ و والبعد ج أ ثم بعد ذلك يتم حساب طول خط القاعدة بمعلومية الزوايا الأفقية الداخلية للمثلث أ ب ج والتي سبق قياسها (المرجع السابق، ص ٦٤).

يمكن تحديد أعماق البحر في منطقة الشاطئ القريب Near Shore وهي التي قم الجيومورفولوجي باعتبار هذا النطاق المائي الضحل يمثل المجال الرئيسي لتكون أمواج التكسر Breakers وانحراف الأمواج بانتقالها من المياه العميقة نحو المياه الضحلة واحتكاك قيعانها بحافات غاطسة تؤدي إلى انحرافها Refraction وهي في طريقها إلى خط الشاطئ كما أن هذا النطاق هو مجال التيارات الشاطئية Littoral currents والتيارات الإزاحة الشاطئية والتيارات الشقية (المازقة) وغيرها من عوامل بحرية تقوم بعمليات تشكيل الشواطئ بالنحت أو الإرساب.

وتوجد طريقة سير الأعماق بواسطة مركب يتحرك على طول امتداد القطاع شكل (٦٣) وقوم بقياس الأعماق عند نقاط مختلفة حيث يثبت القارب (المركب) بواسطة (خطاطيف) ثم يدلى منها كابل (سلك معدني) ملفوف على بكرة أعلى القارب ومثبت عليه علامات نحاسية لتحديد الأطوال وينتهي إلى أسفل بثقل حديدي قد يصل وزنه إلى خمسة كيلو جرامات (لمعرفة كيفية القيام بالمقياس يمكن الرجوع إلى المرجع السابق).

وتوجد طريقة صدى الصوت Echo sounding وتعتمد هذه الطريقة على سريان الموجات الصوتية واصطدامها بالقاع وارتدادها نحو السطح والتي تبلغ سرعتها نحو ١٥٠٠ متر/ ثانية وعند استخدام هذه الطريقة يقاس الزمن المستغرق في انتقالها نحو القاع وارتدادها من القاع نحو المصدر الأصلي لها في قاع المركب (المرجع السابق، ص ٧٣).

وتتميز طريقة صدى الصوت بسرعة تحديد الأعماق وإمكان القياس أثناء حركة السفن بسرعتها القصوى مع إمكانية التسجيل في كل الظروف الجوية التي يستحيل القياس أثنائها بالطرق التقليدية. وجدير بالذكر أن كلا من الوحدات المورفولوجية Misdropand and Sestini, 1976 قد قاما بدراسة للقاع أمام ساحل دلتا النيل في مصر وقاما بتحديد الحافات الغاطسة وقياس الانحدار العام للشاطئ القريب كما يظهر ذلك من الشكل (٦٤) الذي يبين طوبوغرافية القاع أمام ساحل الدلتا وأهم ملامحها المتمثلة في الحافات الغاطسة (رمضان نوفل، ١٩٩٤، ص ٥٧) والتي بدورها تؤثر في انحراف الأمواج القادمة باتجاه الساحل الدلتاوى.



شكل (٦٤) طوبوغرافية القاع أمام ساحل الدلتا في مصر

ثالثاً : أشكال النحت الساحلية من الميدان :

الجروف الساحلية : Coastal cliffs وما يرتبط بها من ملامح

عادة ما تمثل سواحل الجروف مجالا لظهور العديد من الملامح والأشكال المورفولوجية الناتجة عن بفعل العمليات التجوية النحت وبفعل العمليات البحرية وأهمها الأرصفة الشاطئية Platforms وما يرتبط بها من خصائص بوسائل القياس المتاحة ولامح عديدة يمكن للباحث في الميدان تتبعها وقياس أبعادها من الطبيعة المعروفة.

كما أن الجروف عادة ما ترتبط بعمليات انهيارات أرضية Masswasting بأنواع مختلفة تؤثر بدورها تأثيرا كبيرا في تطور الجروف الساحلية وتعديل أبعادها وإبراز العديد من الأشكال واللامح الناتجة عن حدوثها.

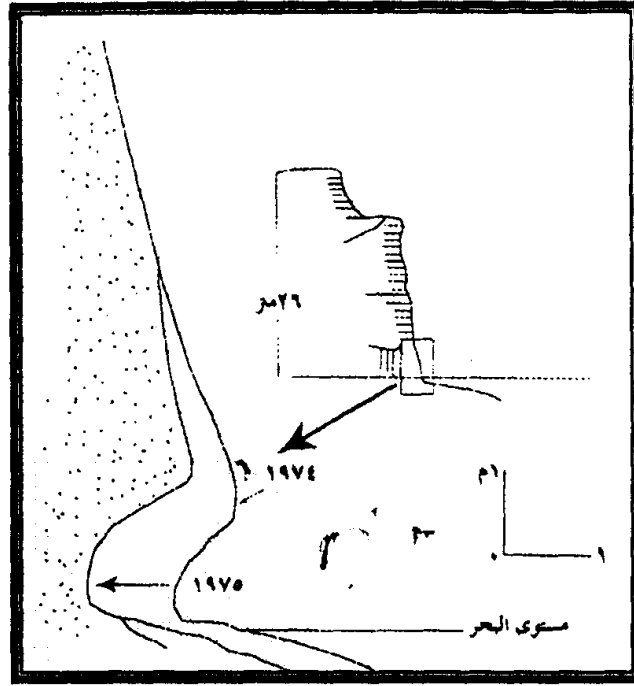
بالنسبة للجروف الساحلية فإن على الدارس في الميدان أن يتعرف بداية على تكوينها الصخري وخصائصه الليولوجية بالنسبة للجروف الساحلية فإن على الدارس في ووضعه الطبقي (الاستراتيجي) بمعنى يجب عليه على نوع الصخر المكون له وأحجام حبيباته ووضع طبقاته (إذا ما كان أن يتعرف من صخور رسوبية طباقية) من حيث درجة واتجاه ميلها وأسمائها وأسطح الطباقية بها Bedding planes ومدى تجانسها أو تعاقب طبقات صلبة مع طبقات لينية، كذلك يجب عليه تحديد درجة تفصلها من خلال تحديد أنواع الفواصل من خلال تحديد أنواع الفواصل Joints وأبعادها واتجاهاتها وكثافتها، فعلى سبيل المثال نجد أن الجروف المكونة من صخور جيرية أو طينية عادة ما تكون أكثر أنواع الجروف تعرضاً للسقوط أو الانزلاق الصخري خاصة عندما يشتد انحدارها باتجاه البحر وتكون أقدامها عرضة للتقويض والبرى بفعل الحت الموجي wave Abrasion أو بفعل عمليات التجوية المائية Water layer Weathering.

كما يجب أن نعرف أن الطبقات المكونة للجروف عندما تكون مائلة الصخرية باتجاه اليابس تختلف في خصائصها عن تلك التي تميل طباقاً باتجاه البحر وتختلف كذلك عن الجروف أفقية الطبقات^(٦). ويقدر كل من Williams and Davies, 1987 أن تراجع الجروف البحرية يبلغ سنوياً معدلاً يصل إلى ٦,٨ سم ويمكن للدارس الميداني أن يقوم بقياس معدلات التراجع في مثل تلك الجروف خلال فترة زمنية محددة.

وبوضح الشكل (٨) ما قام به Hodgkin 1964 من قياس مباشر لتراجع أحد الجروف الجيرية عند نقطة بيرون Point Peron غربي استراليا معدلات هذا التراجع وذلك من خلال قيامه بتهيئة وتحديد قضبان من الصلب غير قابل للصدأ Stainless stell rods وذلك في واجهة فجوة جرفية ساحلية Coastal Notch وعلى مناسيب مختلفة فوق مستوى سطح البحر.

وقد وجد حدوث إزالة للقشور الخارجية Plaster casts بعد عدة سنوات من القياس، وأمكنه قياس التراجع وذلك عن طريق قياس الأجزاء البارزة من القضبان الحديدية التي قام بتهيئتها في واجهة الجرف. وقد أثبتت التجربة الميدانية كما عرفنا لـ Hodgkin أن الوجه الصخري ككل قد تراجع نتيجة تعرضه للنحت، وكان الجزء الأسفل منه من أكثر الأجزاء تعرضاً للتراجع، وبلغ معدل التراجع العام تسبعا لهذه التجربة ملليمتر واحد في السنة (Ollier, 195, p. 250) مع ملاحظة أن أقدم الجرف المغمورة بالماء بشكل دائم كانت أقل الأجزاء تعرضاً للتراجع ويرجع ذلك إلى أن تعاقب البلل Wetting مع التجفيف Drying له دور فعال في عمليات التراجع في المناسيب الأعلى التي تتعرض لرزاز الأمواج أو الغمر الدوري لمياه البحر شكل (٦٥).

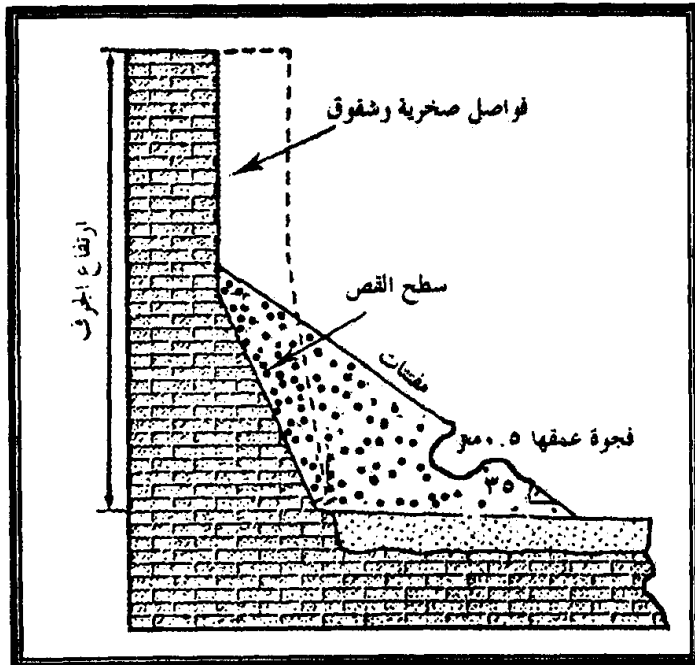
(٦) جدير بالذكر أن الكثير من الجروف شديدة الانحدار وخاصة المكونة من صخور نارية صلبة تتميز بعدم مساميتها وكثرة فواصلها، هي عبارة عن أشكال ساحلية مورثة قد تم تعديلها نسبياً بواسطة الغمر البحري الهولوسيني خاصة مع وجودها متصلة على سواحل تتميز المياه أمامها بمندوء أمواجها مثل السواحل الجرفية النارية على الساحل الشرقي والشمالي الشرقي لجزيرة سلوان المصرية بالبحر الأحمر.



شكل (٦٥) قياس معدل تطور فجوة أمواج بجرف بحري

وكما ذكرنا فإنه من الأهمية بمكان معرفة اتجاهات الفواصل الصخرية على واجهة الجرف، فإذا ما كانت ممتدة امتداداً رأسياً متوازياً - وذلك في صخور طينية على سبيل المثال - فإن ذلك يرتبط بحدوث الانقلاب الصخري Rock toppling وهو نوع من السقوط الصخري Rock fall وذلك بارتكاز الكتل الصخرية - كتل عمودية في أغلب الأحوال - على منحدر الجرف وذلك قبيل سقوطها

(Sunaming, 1992, p. 107).



شكل (٦٦) قياسات بقطاع في جرف من صخور طباشيرية بجزيرة ثانت

ويوضح الشكل (٦٦) قطاعاً

من جرف من صخور طباشيرية بجزيرة

ثانت Thant قام بدراسته وقياسه

Hutchinson, 1984, يبلغ ارتفاعه ١٥ متراً

ويستكون من طبقات أفقية من الطباشير

chalk مع كثرة الفواصل الرأسية

Vertical joints به، وقد تعرض لانهيار

قص Shear failure نتيجة امتداد شق

ناتج عن الشد Tensinal crack بطول

سبعة أمتار مع تكون فجوة ناتجة عن

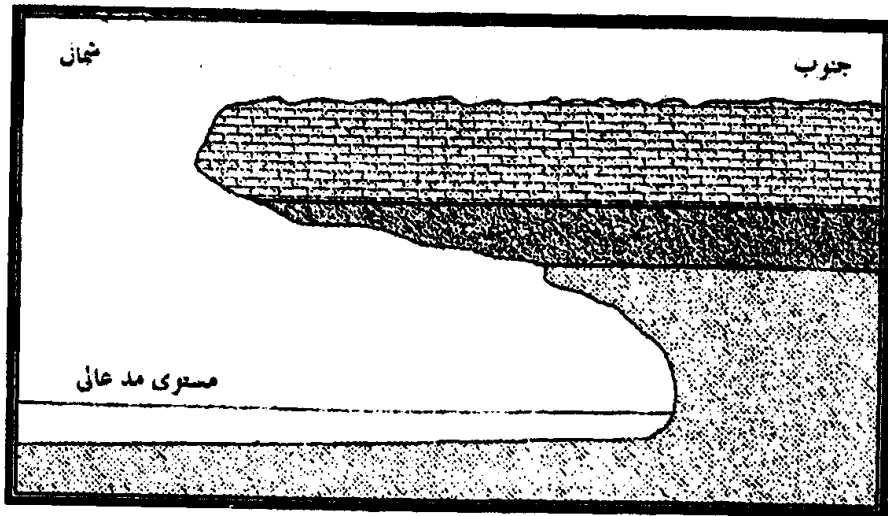
النحت الموجي Wave cut notch بعمق

نصف متر عند قدمه مما ساعد على حدوث الانهيار (لاحظ الشكل العام لوجه الجرف وكيفية القياس الميداني).

الدراسة الميدانية والتجارب العملية

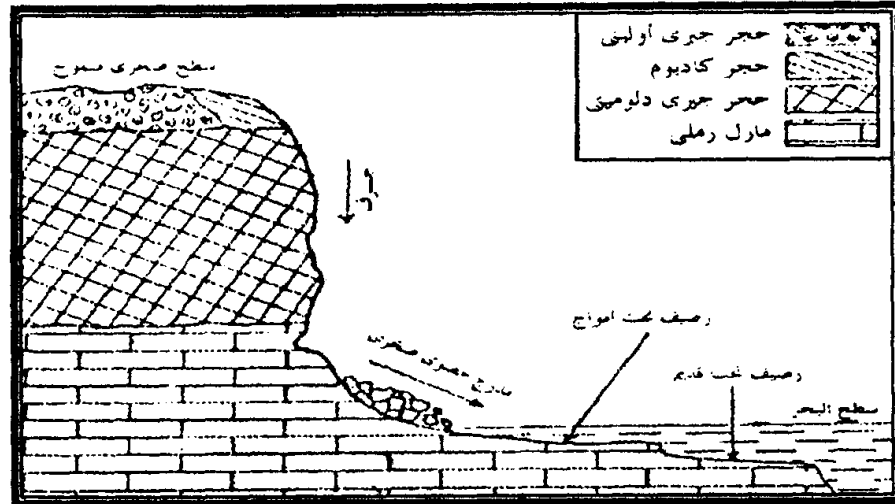
وفي دراسة للبارودي ١٩٨٩ لجزر فرسان السعودية بالبحر الأحمر قام باستخدام مجموعة من المؤشرات التي تدل على نحت وتطور الجروف، وتمثلت أساساً في أحده في الاعتبار عتبات النحت البحري لجروف ساحل "الصير" في جزيرة فرسان الكبرى مؤشراً فوريا لمعرفة مدى تراجع الجروف البحري للساحل وذلك رغم اختلاف معدلات امتدادها أمام الرؤوس والخلجان بالساحل المذكور بما يتراوح بين ٥٠ و ٥٠٠ متر مما يصعب من مهمة الاعتماد عليها كمؤشر لحساب تراجع الجروف خاصة مع امتداد أو تراكم المفتحات المرجانية (الشعابية) Reefal platforms وصعوبة التفرقة بينها وبين عتبات النحت البحري (البارودي، ١٩٨٩، ص ٥٩) كما اعتمد في قياساته الميدانية على تقدم امتدادات الشرفات Visors تجاه البحر وتعمق الفجوات Notchs وذلك لتحديد معدلات النحت والإذابة الكيماوية، وربط ذلك بخصائص مياه الشاطئ القريب Near shore من حيث العمق، والانفتاح نحو الشاطئ البعيد (الخارجي) Off shore.

فقد وجد أن جروف رأس "شدا" بالجزيرة الرئيسية (فرسان الكبرى) تطل على مياه عميقة تساعد على قدوم أمواج مدمرة Destructive waves، مما أدى إلى عدم تقدم شرفاتها وانهارها بسبب زيادة كثافة الشقوق بها، خاصة مع تكوّن من صخور جيرية شعابية، وتعرضها لعمليات التجوية والانحلال، عكس الحال مع بعض الجروف الأخرى التي تظهر بها الشرفات الجرفية (المرجع السابق، ص ٦٩). راجع الشكل (٦٧).



شكل (٦٧) جروف ذو شرفات وفجوات أمواج لساحل جزيرة فرسان

ويوضح الشكل (٦٨) رسماً توضيحياً لأحد الجروف الساحلية، يظهر به الكثير مما يمكن للدارس في الميدان ملاحظته وقياسه: مثل شدة الانحدار وتراكم رواسب من أحجام مختلفة عند أقدام الجرف فيما بين أقدام الجرف وخلف الرصيف البحري Marine platform وكذلك وصول فجود اندواج أعلاه مع وجود مستويين للرصيف البحري أحدهما أمام قدم أقل نسبياً والآخر مظهرته وأعلى نسبياً وأحدث عمراً.



شكل (٦٨) رسم توضيحي لأحد الجروف الساحلية تتعدد به الملامح والأشكال التي ترتبط بالجروف والتي يمكن قياسها ميدانياً

ومن المهم للدارس في الميدان ملاحظة الطبقات المكونة للجرف والرصيف وتحديد نوع صخورها وخصائص تتابعها الطباقى من حيث السمك واتجاه درجة ميلها ومقاس امتداد رصيف النحت والمحداره للربط بين خصائصه المورفولوجية وخصائص الجرف من حيث الارتفاع والانحدار. كذلك يمكن اخذ عينات من رواسب الدرج الحصوى وتحديد أبعادها الحجمية وتحليل مكوناتها الصخرية مع قياس انحدار الدرج الرسوبى (للاستزادة، راجع محمد صبرى محسوب، ص ٣٣٤).
 وجدير بالذكر انه إذا كان يوجد خدوش وخطوط محفورة رأسية على وجه الجرف أو تميل بشدة ممكن أن تكون صدعياً أو نتيجة حركة انزلاق وإذا كان يمتد أمامه رصيف أمواج فيكون نتاج نحت أمواج، وإذا ما كان يقطع طبقة أو مجموعة من الطبقات فهو نتاج نحت وتجوية وكما نعرف فإن أثر الأمواج يظهر أسفل وجه الجرف عند مستوى المد المرتفع (فردرك، هـ، لاهى، ١٩٦١، ص ٣٧١).
 ويوضح الشكل (٦٩) تصنيفاً للجروف وفقاً لتكويناتها الصخرية وتتابعها الطباقى، ويمكن أن نلاحظ منها ما يحدث لها من تشكيل وتغيرات في ملامحها وأبعادها الجيومورفولوجية بفعل العمليات البحرية Marine processes.

(أ) جروف من صخور الطباشير (يقاوم عمليات التعرية).

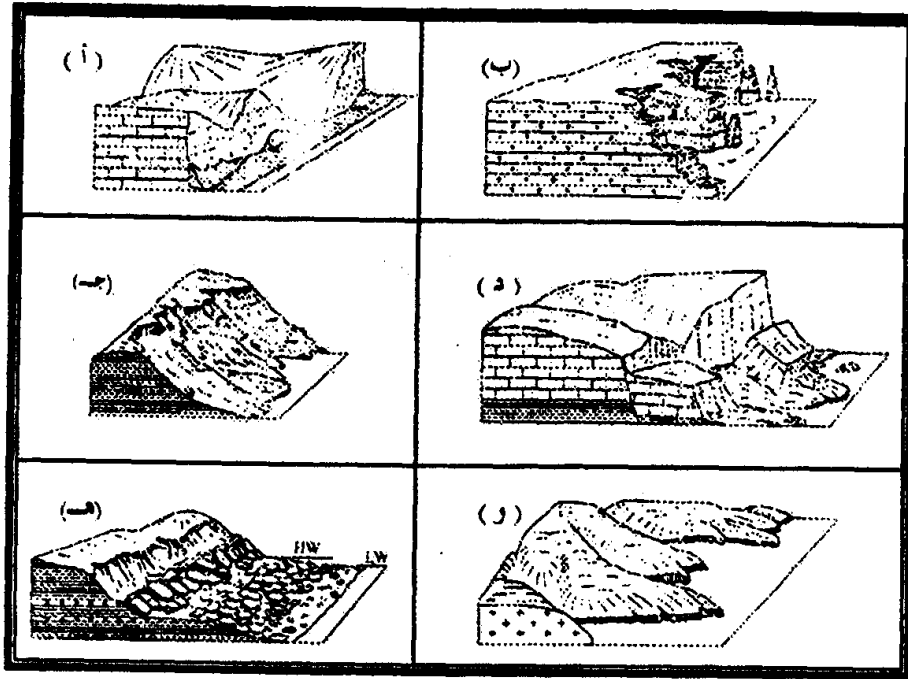
(ب) جروف من طبقات أفقية Horizontal strata من صخور الحجر الرملى تم تشكيله بفعل عمليات النحت والتجوية، مع ظهور ملامح أرضية مرتبطة به مثل المسلات العمودية Vertical stacks والكهوف الساحلية Costal caves ومدرجات النحت التى تبرز فوق أو فى اتجاه رصيف نحت الأمواج Wave cut platforms.

(جـ) جرف من تكوينات طينية وطفلية Clays and shales وقد انعكست تكويناته الضعيفة على ضعف مقاومته لعمليات التعرية البحرية، وعدم وضوح أية ملامح مورفولوجية على طول منحدراته نحو البحر.

(د) جرف مكون من طباشير يعلو طبقة طينية، وهو من الجروف المركبة Composite cliff يلاحظ منه حدوث تقويض سفلى Under cutting بفعل الأمواج وانزلاقات كتل صخرية Rock sliding على طول جبهته.

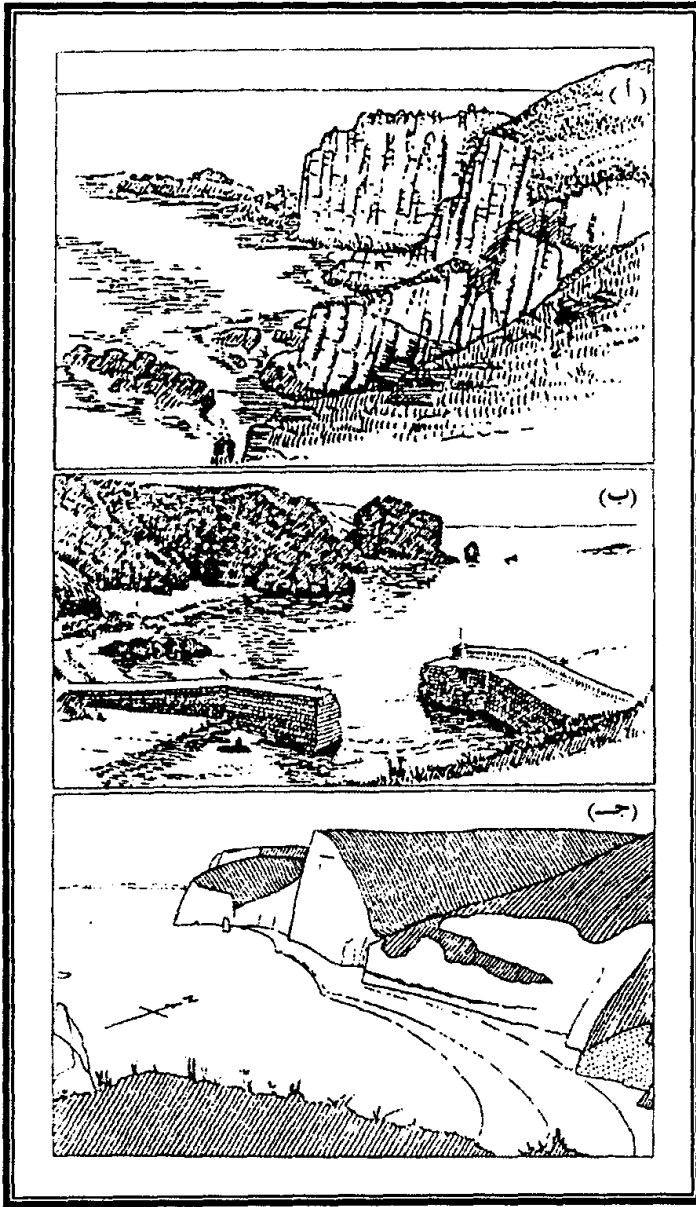
(هـ) جرف تتداخل فيه طبقات الحجر الرملي والطفل، وهو من الجروف المعقدة Complex ويلاحظ الانزلاقات الأرضية والتراكمات من المفتتات الكتلية الجلمودية التي تقل أحجامها بالاتجاه نحو البحر، وذلك فيما بين أعلى منسوب لمياه المد وأدنى منسوب أثناء الجزر.

(و) جرف يبدو انه قد تأثر بالظروف الجيولوجية والعمليات القارية وتغيرات منسوب سطح البحر (Guilcher, 1958, figure, 4, p. 72.)



شكل (٦٩) تصنيف للجروف وفقاً لتكويناتها الصخرية وبنائها الطبقي

وبشكل عام فإن شكل الجروف في الصخور المقاومة Resistant rocks يتأثر باتجاهات خطوط الضعف Planes of weakness متمثلة في الطبقة Bedding ومجموعة الفواصل. بينما تكون الطبقات أفقية أو تميل ميلاً خفيفاً نحو اليابس، يصبح الجرف ذا واجهة رأسية مثل جروف الحجر الرملي شكل (٦٩ ب)، بينما في حالة الطبقة الرأسية والفواصل الأفقية وشبه الأفقية ينتج عنها جروف منحدر نسبي، مع عدم وضوح ملامح أرضية بارزة من الشكل (٧٠ أ) من الصخور النارية والمتحولة ذات الفواصل الرأسية الكثيفة: يلاحظ شدة الانحدار مع بروز كتل صخرية فوق رصيف النحت الممتد أمامه باتجاه البحر.



شكل (٧٠) التأثيرات النسبية لعمليات النحت البحرية والقارية على سواحل جرفية

كما وضح الشكل (٧٠ أ، ب، ج). التأثيرات النسبية لعمليات النحت البحرية والقارية على مورفولوجية الجروف فالشكل (٧٠ أ) يوضح الآثار الناجمة عن شدة النحت البحرى وضعف النحت القارى مما انعكس على شكل الجرف وتعرضه للانهيار وذلك نتيجة للتقويض السفلى والإزالة السريعة للمكونات أسفل الجرف.

ويوضح الشكل (٧٠ ب) نحت بحرى معتدل ونحت قارى معتدل وقد ينعكس في ظروف جرف رأسى مع حدوث زحف صخرى أعلاه، وتراكمات مفتتات عند أقدامه، كما يوضح الشكل (٧٠ ج) حدوث انهيارات أرضية قوية ونحت بحرى معتدل. (Davies, 1980, Figure 49, p. 76).

وجدير بالذكر أنه قد تمت قياسات ميدانية لبعض الجروف لحساب معدلات تراجعها السنوية في مناطق كثيرة مثل جروف ساحل هولدرنس Holderness بإنجلترا وهى جروف نتجت

عن مجروفات جليدية، بلغ معدل تراجعها السنوى ما بين ١,٢ - ١,٧٥ ملم. وقد تم متابعتها (متابعة قياسها) على امتداد ٣٠ كم وذلك خلال الفترة من ١٨٨٢ - ١٩٥٢. وبلغ معدل تراجع جروف بولاية لويزيانا الأمريكية - وهى مكونة من الرمال والطين - ما بين ثمانية أمتار و ٣٨ متراً وذلك بالجزر الشاطئية.

كذلك بلغ معدل تراجع جروف شمال كنت بإنجلترا وهى مكونة من طين لندن ٠,٨١ من المتر سنوياً (Chorly, et al, 1984, p. 395).

وتوضح اللوحة (٤٤) جرف بحرى بارتفاع نحو خمسة أمتار فوق مستوى سطح البحر برأس أبو سومة يلاحظ امتداد رصيف تحت أمواج ذا سطح خشن وانحدار معتدل باتجاه مياه ضحلة وعدم بروز أية ملامح على وجه الجرف باستثناء تشققات واضحة وآثار لتراجع قطاعه الأسفل مع تحت الأمواج، مع إمكانية تعرض أعلى جبهته للانهيار، ويلاحظ كذلك عدم وجود ترسبات بأية أحجام فوق الرصيف مما يدل على زيادة فعالية الاحتجار والنحت الموجى.

وتوضح اللوحة رقم (٤٥) جرف بحرى من صخور جيرية تعرض لنحت الأمواج وتكوين فجوة أمواج مع انهيار أعالي جبهته وسقوط كتلة صخرية متماسكة لم تتمكن الأمواج من تحجيرها أو تكسيرها لضعفها. كما يلاحظ امتداد رصيف تحت مستوى السطح، ووضوح أثر التجوية خاصة على أسطح الكتلة الصخرية الساقطة.



لوحة (٤٤) جرف بحرى برأس أبو سومة
بالبحر الأحمر شمالى سفاجة، يلاحظ عدم
انحدار واجهته مع امتداد رصيف تحت أمواج
بانحدار معتدل نحو البحر حيث مياه
الشاطئ القريب الضحلة.



لوحة (٤٥) جرف بحرى من صخور جيرية شرقى
رأس أبو سومة تعرض لنحت الأمواج
وانهيار أعالي جبهته.

رابعاً : دراسة وقياس الأرصفة الشاطئية ميدانياً :

مقدمة :

من المعروف أن تطور الأرصفة الشاطئية يرتبط بوضوح بتراجع الجروف **Cliffs Recession** ، حيث يوجد الرصيف حيثما يتراجع الجرف بشكل سريع، وتكون الإزاحة (الانجراف) على طول الشاطئ **Long shore Drift** ذا فعالية كبيرة.

وعادة ما تكون الملامح المرتبطة بشواطئ الجروف، مثل الأقواس البحرية **Sea Arches** والمسلات والكهوف مصاحبة لتراجع الجرف وامتداد الرصيف، وذلك تحت ضوابط بنائية متباينة بشدة لها دور كبير في تحديد شكل الرصيف الشاطئي، وعادة ما تتجه الأرضية الأكثر اتساعاً للارتباط بصخور أقل مقاومة لعمليات التعرية، تتكون من راقات طبقية **Thinly Bedded** تكثر بها الفواصل، تتركز على طبقات مستوية مع مضرب طبقات يمتد في موازاة خط الشاطئ، وحينما يزيد الميل يضيق الرصيف، وإن كانت الأرصفة المتسعة في حالة شدة انحدار الميل **Dip Slope**، عادة ما تمتد مضاربها بزوايا متعامدة على خط الشاطئ **Shore Line**.

والصخور المقاومة تتجه عادة للارتباط بأرصفة نحت أضيق وأشد انحداراً مع ارتفاع منسوبها، وفي حالة الصخور الأضعف، فإن نقطة الوصل بين الجرف والرصيف **Platform Cliff Junction** ، تستجبه للظهور عند منسوب المد الربيعي المرتفع، وإن كانت الأخيرة تقل منسوباً مع الجروف شديدة الانحدار المكونة من صخور شديدة المقاومة لعمليات النحت. (Chorly, etal, Ibid, p. 395).

والواقع أن العمليات البحرية تمثل ضوابطاً أساسية في تشكيل أرصفة الشاطئ، فعمليات التحجير **Quarrying** والنحت الموجي القوي قد تؤدي إلى تكوين رصيف شاطئ متسع. وعادة ما يتجه الرصيف الناتج عن النحت للانحدار من علامة المد المرتفع إلى علامة الجزر، ومن ثم فإن الانحدار يرتبط ارتباطاً مباشراً بالفارق المادي **Tidal Range** ، وعادة ما يؤثر المد المرتفع في منطقة الوصل بين الجرف والرصيف.

ورغم تعدد العوامل المؤثرة في تشكيل رصيف الشاطئ، فإنه من الصعب تصنيفها، وإن كان "رايت" **Wright 1967** قد حدد ثلاثة أنواع منها وهي على النحو التالي:

(أ) رصيف ذو سطح مائل : **Inclined**

عادة ما يظهر في السواحل الغربية في نصف الكرة الشمالي بمتوسط اتساع مائة متر، مع أقصى اتساع ٢٧٠ متراً، وانحدار يتراوح ما بين درجة واحدة وأربع درجات، وتظهر وصلة الجرف بالرصيف عادة عند مستوى المد المرتفع شكل (٧١ أ)، وكلما زاد الفارق المدى ازداد انحدار واتساع الرصيف لوحدة (٤٤).

(ب) الأرصعة الأفقية :



لوحة (٤٦) رصيف ضيق تغطيه تكويبات حصوية أمام أحد الجروف المنخفضة على الساحل الشمالى الشرقى كوشة الغردقة

تتميز بقلة انحدارها وامتداداتها عند علامة المد المرتفع، ينتهى باتجاه البحر بعتبة Ramp بارتفاع ثلاثة أمتار، وهى عادة ما ترتبط بأرصعة التجوية بالمناطق المدارية المتأثرة بالنحت البيولوجى والفارق المدى المنخفض، مثل الأرصعة الشاطئية بسواحل البحر الأحمر، لوحة (٤٥)، وتوضح اللوحة (٤٦) رصيف ضيق

تغطيه مكونات حصوية أمام أحد الجروف المنخفضة على الساحل الشمالى الشرقى كوشة الغردقة.

(ج) أرسعة الأمواج العنيفة :

عادة ما توجد بالسواحل المدارية التى تتأثر بالأمواج العنيفة التى تأتى إلى الشاطئ على فترات متباعدة تفصلها فترات زمنية طويلة تتعرض خلالها السواحل لأمواج ضعيفة، مع الأخذ فى الاعتبار أن الظروف السائدة (الآنية) قد لا تكون لها علاقة بخصائص الأرسعة الممتدة والتى قد تكون ميراث مراحل زمنية قديمة. ويوجد تقسيم Bird للأرسعة الشاطئية تمثل الأول منها فى أرسعة التحجير والحت الموجى، ويقصد بها الأرسعة المدبية التى تقابل الرصيف (أ) عند Wright، وكان يطلق عليها أرسعة نحت الأمواج وهو كما نعرف يعكس العلاقة بين قوة الأمواج Fw ودرجة مقاومة الصخور الشاطئية، "Fr" (راجع محمد صبرى محسوب، ٢٠٠٢، ص ٣٣٧) وقد أكد Threnhale, 1978 وجود علاقة طردية بين انحدار سطح الرصيف الشاطئى والفارق المدى، وتتميز بوجود قنوات مائية تقتفى أثر الشقوق.

والنوع الثانى يتمثل فى أرسعة التجوية المائية :

ينتج هذا النوع من الأرسعة الشاطئية نتيجة لتعاقب الليل والجفاف على صخور الشاطئ، ومن ثم فإنها تقع عادة عند منسوب أعلى من مستوى التشبع الدائم، أى أن منسوبها غالباً ما يرتبط فى وجوده بعلامة المد العالى، كذلك يلعب ارتفاع الموجه دوراً كبيراً فى تحديد المستوى المؤثر لهذا النمط من أنماط الأرسعة، وللمسامية أيضاً دور مؤثر بجانب الظروف المناخية السائدة، فالصخور المنفذة Permeable rocks الطباقية والتى تميل ميلاً خفيفاً، ومعدلات التبخر الزائدة ونمط المد والجزر اليومى والمختلط، كلها تساعد على حدوث الجفاف وكذلك فإن الحرارة المرتفعة تقوى من سرعة وزيادة نشاط التفاعلات الكيماوية وبروز آثار التجوية التى تطفى على مظاهر النحت والاحتجار التى عادة ما تكون ضعيفة فى مثل هذه الأنواع من الأرسعة.

وينقسم هذا النوع (النوع الثانى من أرصفة Bird) لنوعين ثانويين هما:
الأرصفة الشاطئية :

الناجمة بشكل مباشر عن تراجع جرف ساحلى تعرض فى قطاعه الأسفل (أقدامه) لعملية التقيؤ السفلى بفعل التجوية مع انحداره انحداراً خفيفاً تجاه البحر مع تميزه باستمراره وإحاطته من جهة اليابس بجروف منخفضة راجع اللوح (٤٤، ٤٥، ٤٦).

أرصفة نتجت عن تعاقب البلل والجفاف :

وهى فى واقع الأمر النتاج الحقيقى للتجوية المائية، مع تميز أسطحها بوضعها الأفقى التام.

أما النوع الثالث من الأرصفة الشاطئية تبعاً لتصنيف بيرو :

فهى الأرصفة الشاطئية المرتبطة بالإذابة والنحت البيولوجى وتعرف عند Bird بأرصفة المد المنخفض وهى تتطور فى السواحل الجيرية الكثيفة وترجع فى تكوينها إلى البلايستوسين مثلما الحال فى قطاعات على ساحل غرب استراليا وسواحل البحر الأحمر وساحل مطروح فى مصر وغيرها من تلك السواحل التى يبدو من خصائص أرصفتها أن الأخيرة ارتبطت فى تطورها بصفة عامة بعملية الإذابة أو عملية النحت البيولوجى فى بيئة تتميز بأمواجها المنخفضة والفارق المدى الضيق مع ارتفاع منسوبها عن مستوى الماء عند الجزر ببضعة سنتيمترات ويمكن للدارس فى الميدان أن يسجل العديد من المؤشرات والأدلة على أهم الملامح بهذه الأرصفة والتى ارتبطت بالعمليات والظروف السائدة.



لوحة (٤٧) رصيف مرجانى (مسطح مدى) من صخور مرجانية متماسكة مع تشقق وظهور تجويفات به وخلوه من أية رواسب

كذلك هناك المسطحات الشعابية Reefal Flats الناتجة عن الترسيب المرجانى أو عن عمليات النحت فى التكوينات المرجانية التى يمكن اعتبارها أرصفة شاطئية لها خصائصها المميزة، كما أن هناك أرصفة شاطئية تتكون بواسطة طحالب جيرية تضيف إليها قشور جيرية رقيقة. وقد لوحظ وجود ارتباط قوى بين

منسوب مسطحات الشعاب أو مسطحات الطحالب Algal Flats ودرجة تعرضها للأمواج التى تصل إلى أعلى منسوب لها عند الرؤوس وإلى أدنى منسوب عند الخلجان (Russel, 1967) اللوحة (٤٧) والى توضيح رصيف شعابى يمثل مسطحاً مدياً متماسك مع امتداد التشققات والجروف.

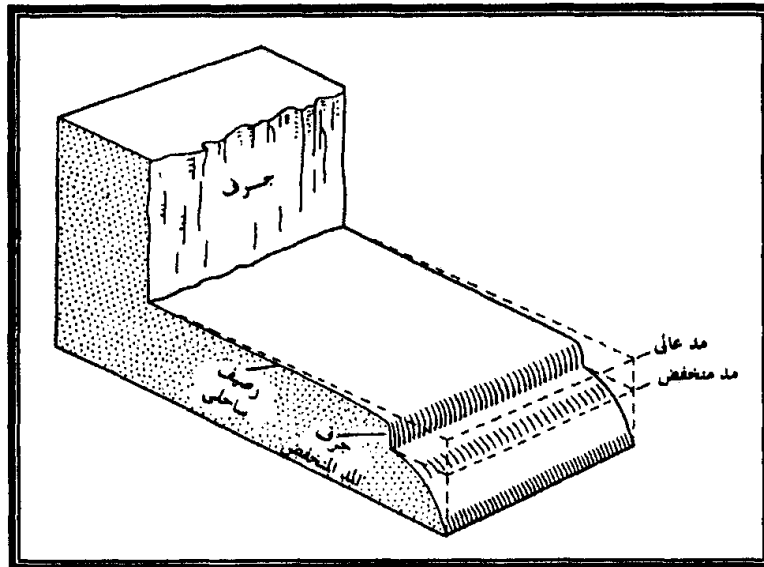
كلمة شاطئ كما نعرف تعنى المنطقة السهلية المحصورة بين حضيض أقرب جرف أو حافة للبحر وخط الشاطئ Shoreline أو ما يعرف بسيف البحر Sea Sword ، وينقسم الشاطئ بدوره إلى وحدات لكل وحدة منها موضعها وحدودها التى يمكن تحديدها بمعايير معروفة إن لم تكن واضحة التحديد.

أولها باتجاه اليابس ما يعرف بالشاطئ الخلفى Backshore ويقصد به النطاق الساحلى المحصور بين حضيض الجرف سابق الذكر وبين خط يمتد عند أقصى نقطة تصل إليها الأمواج العاتية أو أقصى نقطة تصلها مياه المد البحرى الاستثنائى، وتظهر بالشاطئ الخلفى أشكال مورفولوجية أهمها ما يرتبط بالكثبان الرملية والنباك والعروض الرملية والتى تطبق عليها عمليات القياس التى ذكرت فى الفصل الخاص بالأشكال الرياحية وكذلك قد توجد فيه سبخات مرتفعة (جافة) وغيرها.

أما الشاطئ الخلفى مباشرة -باتجاه البحر - وينحصر بين علامتى المد المرتفع والجزر واللذان بدورهما يحددان تحرك خط الشاطئ ما بين المد والجزر، ويتميز هذا النطاق بوجود العديد من الأشكال الساحلية الإرسابية - عادة - مثل الألسنة الرملية والحواجز والمستنات والسبخات الشاطئية المنخفضة والبلاجات والأسطح المدرية وغيرها مما يمكن أن يتم قياس أبعاده وخصائصه المختلفة ميدانياً.

بالنسبة للشاطئ القريب Near shore فيقصد به النطاق من الشاطئ المغمور بشكل دائم بمياه البحر وذلك فى نطاق المياه الضحلة المتاخمة لخط الشاطئ بجانب ما يتميز به لكونه موضع العمليات المائية البحرية التى تقوم بها التيارات والأمواج وحركة المد والجزر بأنواعها المختلفة شكل (٧١).

وتتمثل أهم الأشكال الساحلية بالشواطئ المنخفضة فى البلاج Beach واللاجونات والحواجز والمستنقات والألسنة والسبخات وغيرها.



After: Pethick, 1984

شكل (٧١) توضيح لأقسام الشاطئ المختلفة

ويقصد بالبلاج المنطقة المنخفضة قليلة الانحدار بشكل عام والتي عادة ما تتكون من رواسب رملية Arenaceous وحصوية Rudaceous وذلك فيما بين خط المد الربيعي وأقصى نقطة تصل إليها أمواج العواصف البحرية Storm waves.

ويتمثل الشكل النموذجي للبلاد في نطاق شاطئ مقعر تقعرًا خفيفاً Gentle concave بحيث يبدو خط الشاطئ منحنيًا انحناءات خفيفة تجاه البحر، وتحده الكثبان الرملية الساحلية في الظهر اليابس وتندرج رواسبه مصنفة من الأخشن إلى الأقل خشونة إلى الأنعم باتجاه خط الشاطئ. حيث يبدأ قرب الشاطئ الخلفي بترسبات حصوية تليه تجاه البحر ترسبات رملية خشنة تختلط بها مفتتات صدفية وبعض الحصى مع ظهور نباتات بحرية قرب منطقة الجزر. (Monkhouse, F.J., 1970).

وتعد الأمواج العامل الرئيسي الذي يقوم بتشكيلها وذلك بفعل ما يتولد عن قدومها من تيارات تعمل بدورها على تحريك الرواسب تقدما وتقهقرا أمام الشاطئ مع الأخذ في الاعتبار أن تلك الأمواج ليس لها دور بذكر في تشكيل الملامح والأشكال الأرضية الإرسابية التي تظهر عند منسوب يعلو مستوى المد المرتفع.



لوحة (٤٨) بلاج رملى مع وضوح مسطام الشاطئ

وقد أثبتت تجارب Jennings

في صهاريج الأمواج Wave Tanks أن انحناءات البلاجات الرملية تنتج عن فعل الأمواج دون مساعدة أى عامل آخر وإن كان في ذلك يتجاهل عمليات أخرى مؤثرة (راجع محمد صبرى محسوب، ٢٠٠١، ص ٣٥٣) لوحة (٤٨).

بالنسبة لكيفية قيام الأمواج بتكوين وتشكيل البلاجات يرى البعض أن اقترابها - أى الأمواج - من البلاج على شاطئ غير منتظم يؤدي إلى انحراف جميعها بدرجة تجعل جبهاتها - خطوط القمم Crests line - تلف موازية لخط الشاطئ مما يؤدي إلى تشتت للطاقة وتوليد تيار متحرك باتجاه خط الشاطئ المقعر (المنحنى إلى الداخل في شكل خليج) يتسبب عنه نقص في الطاقة وحدوث ترسيب على البلاج (Morisawa, M. 1976, p. 193).

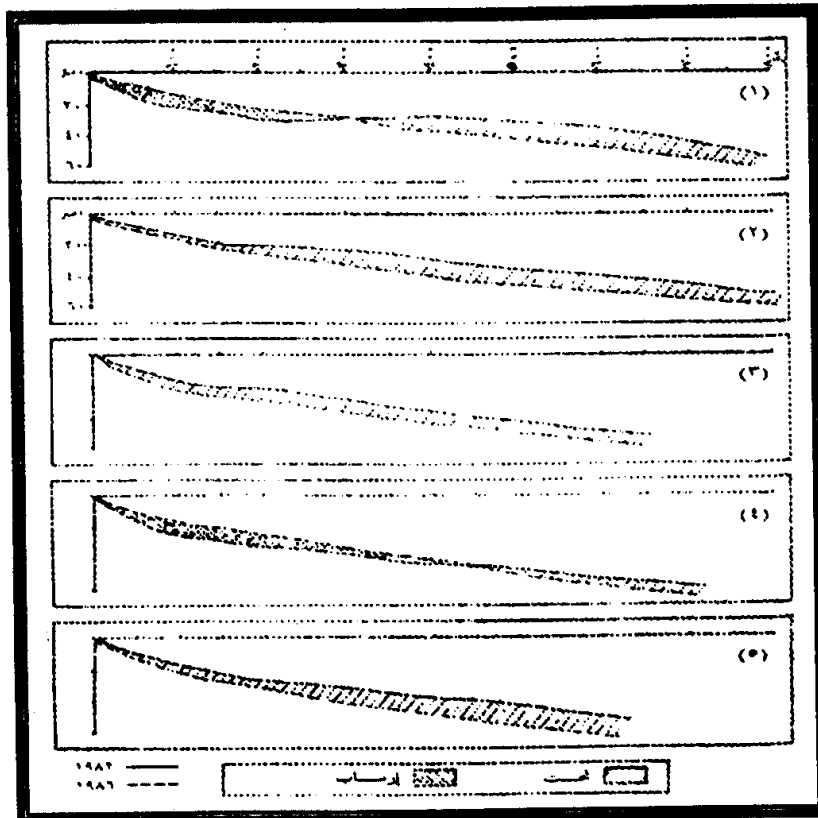
وتتأثر البلاجات المكشوفة للأمواج باتجاه وقوة وتكرار الرياح الشاطئية Onshore winds المحلية من جانب وباختلاف المسطح الذى تتحرك فوقه الأمواج من جانب آخر، إلى جانب تأثيرها بدرجة انحراف الأمواج المقتربة كما أوضحنا آنفاً.

وكثيراً ما تتعرض البلاجات للتعديل وأحياناً للإزالة عندما تتعرض للأمواج المدمرة، كما أن قطاع السباج يتعدل كذلك بسبب التذبذبات التي يتعرض لها منسوب سطح البحر، حيث يؤدي الغمر البحري إلى تراجع الشاطئ، بينما يؤدي انحسار مياه البحر إلى انكشافه وتعرضه لعمليات وظروف طبيعية عديدة.

ونظراً لتغير معالم السباج وإمكانية تعرضه للإزالة بفعل الأمواج والتي قد تعيد ما إزالته من رواسب في شكل أشربة رملية تبرز في نطاق الشاطئ القريب في فترات الجزر، فإنه من الأهمية بمكان عمل قياسات ميدانية بقطاعات السباج في فترات محددة من السنة لتتبع التغيرات التي يتعرض لها، حيث تعطى هذه القياسات صورة واضحة للتغيرات في منطقة الشاطئ الأمامي والشاطئ القريب وتعكس بدورها آثار العمليات البحرية من نحت وإرساب بحيث يمكن من خلال عمل القطاعات تحديد المناطق التي تتعرض للنحت وتلك التي تتعرض للإرساب والتقدم باتجاه البحر.

فعلى سبيل المثال قامت هيئة حماية الشواطئ في مصر بتغطية المسافة بين أبو قير حتى بورسعيد بنحو ٨٠ قطاعاً وذلك منذ عام ١٩٧١م، ويتم متابعتها مرة أو مرتين سنوياً، وتمتد هذه القطاعات بين ما يعرف بخط القاعدة وهو خط وهمي يمتد بالزيادة والنقص في موازاة خط الشاطئ ممتداً باتجاه البحر حتى عمق نحو ستة أمتار (Fanous, A. 1992, p. 4).

وفي دراسة لرمضان نوفل ١٩٩٤م، بقطاعات على حواجز المتزلة والبرلس والبردويل استدل على خصائص قطاعات الشاطئ وتغيراتها خلال فترات زمنية قصيرة خاصة مع التدخلات البشرية المباشرة وغير المباشرة (للاستزادة، رمضان عبد الحميد نوفل، المرجع السابق، ص ص ١٥٠ - ١٦٥). شكل (٧٢).



شكل (٧٢) قطاعات الشاطئ لساحل الدلتا المصرية

وعادة ما يتم القياس من نقط تثبت عندها أوتاد (شواخص) في جبهة الشاطئ على طول امتداد القطاعات المسوحة، وجدير بالذكر أنه قد تطورت أجهزة عديدة لقياس قطاع الشاطئ Beach profile بشكل مباشر، حيث يتم تحريكها بعجلات على الشاطئ، وقد صمم Willeams 1947 وسيلة لقياس قطاعات البلاج (الشاطئ)، من الصور الجوية عن طريق خط الماء (خط الشاطئ) Water Line وطريقة شفافية الأمواج Wave transparency والثالثة تتضمن قياسات من خلال تغيرات تعرض لها الأمواج القادمة ويتمثل في تغيرات في طول الموجه وسرعتها في المياه الضحلة وبشكل عام فإن طرق قياس قطاع البلاج من الصور الجوية التي ذكرها Williams تفتقر للدقة وتحتاج لصور جوية جيدة وتحتاج إلى جهود كبيرة في التحليل والمتابعة.

وعادة ما تحتاج البلاجات ذات الفارق المدى الضيق لأجهزة قياس أكثر تعقيدا حيث يتم عمل القطاعات حتى نطاق الشاطئ الخارجى وتحتاج لقوارب وعمل فنى متكامل. ومن الوسائل التي ضمت لهذه القياسات ما قام به Zwamborn 1972 من استخدام مركب تزجج مجهز بساير للأغوار Echo Sounder يمكن أن يتحرك خلال منطقة التكسر Breaking Zone.

ويمكن للدارس الميداني أن يقوم بعمل قطاعات للساحل الساحلى بداية من خط الشاطئ أو ما دونه في نطاق الشاطئ القريب حتى النهاية الداخلية للساحل - باتجاه اليابس - وذلك لدراسة الخصائص المورفولوجية للساحل وإظهار أهم الملامح والأشكال التي يتميز بها. وتمثل الخطوات التي يمكن اتخاذها لرسم القطاع الساحلى على النحو التالى :

- يتم رسم القطاع عادة في وضع متعامد على خط الشاطئ.
- يقوم بعمل القطاع أكثر من شخص.
- تستخدم أدوات القياس المعروفة مثل شريط القياس والشواخص بجانب خريطة تفصيلية للمنطقة الساحلية ونوطة الحقل وميزان ابني ليفل والبوصلة والكاميرا وأكياس خاصة لجمع عينات الرواسب وغيرها..
- تقسيم القطاع حسب تغير درجة الانحدار أو تبعا لانقطاعه بامتداد بركة مائية أو كثيب رملى وغيرها مع بدء القياس من خط الشاطئ باتجاه اليابس.
- تسجيل الملامح والأشكال الدقيقة على طول امتداد القطاع.

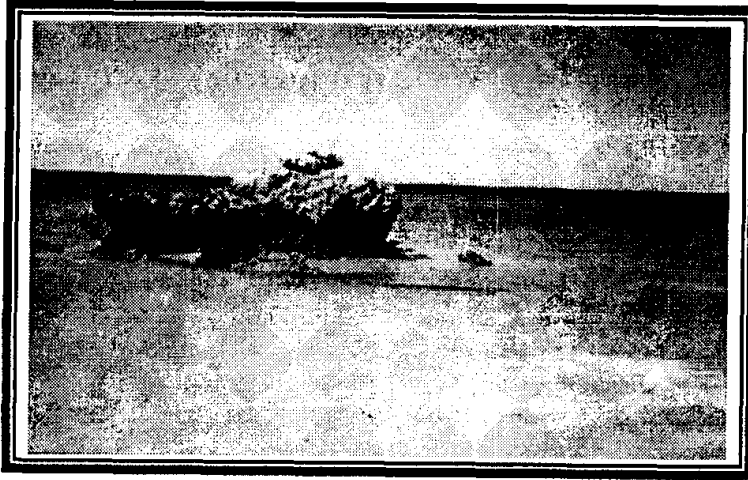
(للاستزادة راجع احمد سالم، ١٩٩٩، ص ١٥٠ - ١٥٤).

وقد قام المؤلف الأول بقياسات ميدانية على قطاعات من الساحل الدلتاوى في مصر خاصة على ساحل حاجز بحيرة المتزلة والعديد من الملامح والأشكال المرتبطة بساحله البحرى والبحيرى وكذلك قام بدراسة تضمنت العديد من القياسات الميدانية لمنطقة بحيرات مطروح (محمد صبرى محسوب، ١٩٩٤) يمكن الرجوع إليها.

خامساً : بعض الأشكال الساحلية والملاحظات والقياسات الميدانية:

أ) أشكال ساحلية ناتجة عن النحت :

(١) المسلات والأقواس :



لوحة (٤٩) مسلة متبقية أمام جرف على ساحل أبو درج
بالجانب الغربى لخليج السويس

تختلف أشكال وأبعاد وكثافة المسلات التى تمثل هذه المسلات بقايا متبقية فوق أرصفة الشاطئ مع تراجع هذه الجروف وبعضها تبدو مرتفعة وضيقة وترتفع لمستوى سطح الجرف المتراجع وبعضها يبدو ككتلة صخرية متبقية وكأنها إحدى البيوتات أو التلال المنعزلة لوحة (٤٩) بساحل أبو درج على الساحل الغربى لخليج السويس التى تمثل

كتلة صخرية من صخور جيرية يبدو أثر النحت البحرى أسفلها مع تراجع جوانبها كما يظهر كذلك أثر التجوية المائية والحيوية فى تفكك صخورها ولونها الداكن بينما يظهر أعاليها بلونها الفاتح. كذلك يلاحظ كتل وجلاميد صخرية متساقطة مع وجود المسلة عند التقاء الشاطئ الأمامى بمياه الشاطئ القريب الضحل مما يساعد على وصول الأمواج إليها وتعرضها للنحت البحرى.

ويتم دراستها ميدانياً من خلال تحديد نوع صخورها وكثافة الشقوق بها وتحديد مدى تأثيرها بعمليات النحت والتجوية والتساقط الصخرى وموضعها بالنسبة لاتجاه الأمواج السائدة ثم قياس أبعادها، الارتفاع وقطر القاعدة وعرضها وانحدار الرصيف الشاطئى التى تبرز فوقه. يلاحظ من اللوحة (٥٠) تراجع جرف منخفض مع تعرضه للتقويض السفلى والنحت وانحياز مقدمته.



لوحة (٥٠) كتلة بحرية منخفضة تتناثر حولها
كتل أصغر حجماً فوق رصيف نحت بحر مغمر
بالمياه بظلالها جرف جبرى منخفض يتضم فيه
تأثره نحت الأمواج وسقوط هذه الكتل بعد
تعرضه للتقويض السفلى وذلك بالساحل الشرقى
لدشة الضبعة بالبحر الأحمر

بالنسبة للأقواس البحرية إذا ما وجدت على ساحل صخري يمكن دراستها ميدانيا من خلال قياس أبعادها المختلفة وتحديد علاقتها بالشقوق وخصائص الصخور التي نشأت بها بجانب ربطها بعمليات النحت البحري خاصة الأمواج والتي تمثل العامل الرئيسى في تكوينها. وتوضح اللوحة (٥١) كهف بحري تتساقط أمامه كتل صخرية على ساحل البحر الأحمر.



لوحة (٥١) كهف بحري تتساقط أمامه كتل صخرية على ساحل البحر الأحمر ذو فتحة بيضوية باتجاه نحو الداخل وذلك فى جرف من الصخور الشعابية على الجانب الغربى لرأس أبو مصيرة بالبحر الأحمر يمكن قياس أبعاده ميدانياً واتساع الرصيف أمامه وارتفاع الجرف المرتبطة به وغيرها من العناصر المختلفة.

يتمثل أهمها فى القنوات المدية Tidal creeks والبرك المدية وحفر التجوية والحفر الوعائية Platholes بالنسبة للقنوات المدية فهى فى القواقع تعد من أكثر الملامح المورفولوجية وضوحاً فى مسطحات المد وكذلك فى نطاق الشجنتات المرتفعة والتي قد تمتد منها باتجاه البحر لتظهر فوق المسطحات المدية الداخلية Inter tidal flats. وتبدو القنوات المدية فى شكل شبكة من الروافد تتحرك خلالها المياه وتحيط بها الجسور الطبيعية Natrual levees بقنواتها المائية ويمكن ميدانيا قياس أطوال هذه القنوات وعمل قطاعات عرضية بها، وكذلك يمكن الحصول على رواسب من الجسور الطبيعية - وهى عادة ما تكون أكثر خشونة من رواسب قاع القناة المدية - كما يمكن ملاحظة الانهيارات التى تتعرض لها هذه الجوانب - الجسور - وما ينتج عن انغلاق القناة المدية من تكون برك. كذلك يمكن جمع أنواع النباتات التى تنمو بالقنوات المدية وكذلك الأحياء التى تعيش بها وذلك لدورها جميعاً فى تشكيل هذه القنوات (للاستزادة راجع محمد صبرى محسوب، ٢٠٠٢ ص ٩٠ - ٩٦).

أما بالنسبة للبرك أو البقع صغيرة المساحة والتي عادة ما تكون خالية من النباتات، فتكون عادة عندما تظهر جزيرات نباتية فوق سطح السبخة بحيث تترك فيما بينها تلك البقع الموضعية التى غالباً ما تبقى بها مياه البحر بعد عمليات انحسارها عند الجزر وفى خلال شهور الحر وزيادة فعالية التبخر وسيادة الجفاف تتراكم فوق تلك البرك قشور ملحية بينما تنمو بها نباتات فى أعقاب سقوط المطر، كما أنها تمثل فى حالة المد المرتفع مناطق لصيد بعض الأحياء البحرية وذلك فى الشواطئ الرملية والطينية. بينما عندما تظهر فى الشواطئ الصخرية فإنها تكون مأوى لبعض الحشرات وتكون خالية من النمو النباتى لوحة (٥٢).



لوحة (٥٢) بركة ملحية مملئة بالمياه على رصيف مرجاني
بساحل جيزان على البحر الأحمر

وكثيراً ما تظهر حفر دائرية في موضع شقوق صخرية واضحة في رصيف الشاطئ تمتلئ بالحصى والجلاميد التي لعبت دورها في حفرها مع تولد دوامات مائية مع تعاقب عمليات المد والجزر. وهناك ملامح أخرى مثل المتاريس الصخرية Ramparts التي تظهر فوق رصيف الشاطئ بارتفاع ما بين المتر وأكثر من متر ونصف تقريبا والتي عادة ما تظهر قرب جبهته البحرية وإذا ما وجدت يمكن تحديد امتدادها وجمالها نتاج تعاقب صخري (لين صلب) أم بسبب ضعف عمليات النحت البحري، وهناك كذلك رصيف الشاطئ Ramps والتي تظهر بارزة عند أقدام الجرف البحري المتراجع، ويمكن تحديد ارتفاعها وانحدارها تجاه البحر وتحديد اثر الأمواج في صقل أسطحها وذلك من أثارها.

(٣) الألسنة والمسندات الشاطئية : Spits and Cusp

كما عرفنا فان اللسان الرملى عبارة عن تراكمات رملية أو حصوية طويلة وضيقة مع ارتباط أحد طرفيها بخط الشاطئ، وهى عادة ما تكون بفعل الأمواج البانية، بينما توجد الألسنة الحصوية حيثما تسود الأمواج المدمرة، وعادة ما تنتهى أطرافها بانحناء واضحة وذلك أما بسبب حدوث تغير فى اتجاهات الرياح السائدة أو بسبب انحراف الأمواج عند نهاية اللسان حاملة معها بعض المواد حول الطرف ثم إلى المياه المحمية فيما بين اللسان واليابس وتتراوح أبعاد الألسنة من بضعة عشر من الأمتار طولاً وبضعة أمتار عرضاً إلى عدة كيلو مترات طولاً وعرضاً.

ومن الألسنة الرملية الرئيسية على الساحل المصرى لسان دمياط والذى لم يكن له وجود قبل

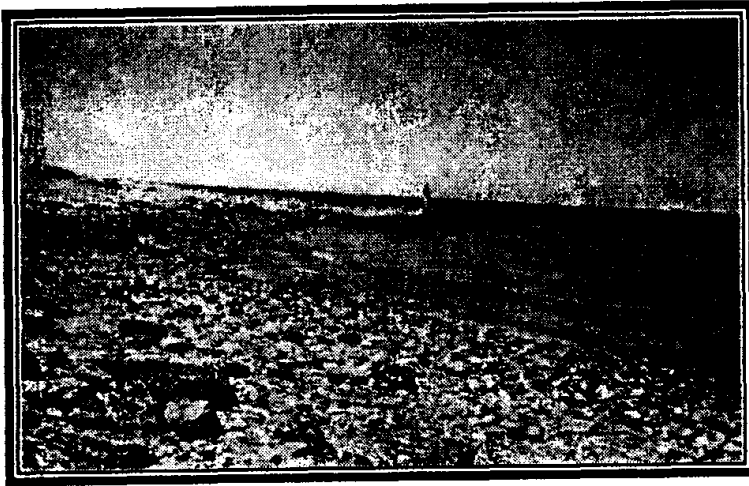
عام ١٩٥٥ (محمد صبرى محسوب، ٢٠٠١، ص ٢٤٣).



لوحة (٥٣) لسان القردود المصوى لساحل محمية أبو جالوم على خليج العقبة

وإذا ما كان يمكن تتبع تطور أبعاده من تتبع سلسلة من الخرائط الطبوغرافية كبيرة المقياس لفترات زمنية متباعدة نسبياً أو من خلال سلسلة من الصور الجوية فإنه يمكن عمل بعض القياسات الميدانية مثل قياس المنحدرات السطح وتحليل عينات من الرواسب المضافة عند أطرافه وغير ذلك من قياسات. ويمكن قياس أبعاد

الألسنة الصغيرة وخصائص رواسبها وأشكالها وعلاقات اتجاه محاورها مع اتجاه الرياح السائدة والأمواج الرئيسية المسبب الرئيسي لها لوحة (٥٣) التي توضح امتداد لسان القردود الحصوى بأبو جالوم على ساحل خليج العقبة في سيناء والتي يلاحظ منها عدم انتظام شواطئه مع تعرجها الواضح واستواء سطحه وضخولة المياه المحيطة به مع خشونة رواسبه السطحية.



لوحة (٥٤) لسان حصوى متماسك يمثل بقايا نحت تعرض لما شاطئ حصوى لساحل أبو درج على الجانب الغربي لخليج السويس

وهناك السنة حصوية متماسكة هي في الواقع نتاج تعرض ساحل متعرج للنحت تاركة تلك النتوءات الضيقة والدقيقة تبدو في شكل السنة حصوية وهي تختلف في نشأتها عن نشأة الألسنة بشكل عام ولا تخضع لعمليات ترسيب أو نمو بنفس الكيفية التي تنمو بها الألسنة الرملية وإن كان هذا الأمر لا يمنع من

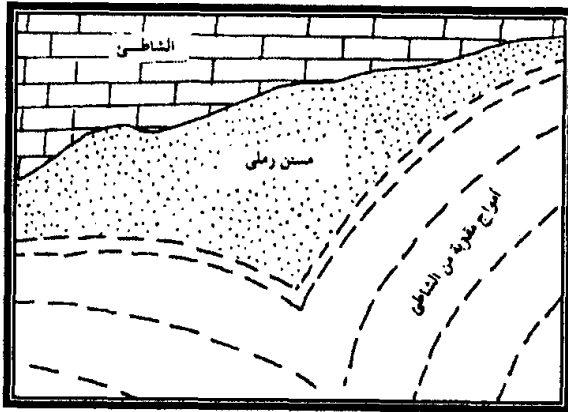
حجزها للرواسب المتحركة على طول الشاطئ كما يظهر ذلك في اللوحة (٥٤) التي توضح بقايا نحت شاطئ حصوى في ساحل أبو درج غربي خليج السويس.

وتوضح اللوحة (٥٥) لسان رملي معقوف Reserved spit صغير على ساحل رأس الضبعة بالبحر الأحمر - يمكن قياس أبعاده واتجاهاته ميدانياً بسهولة ويسر.



لوحة (٥٥) لسان رملي معقوف صغير الحجم لساحل رأس الضبعة بالبحر الأحمر

وهناك ظاهرة المسننات والتي عادة ما تظهر على السواحل الرملية والخصوية، وقد أرجعها كل من Russel, R., and MacIntire, 1965 إلى وجود تنابع منتظم لمخفضات نصف دائرية عادة ما تزيد أعماقها على مترين، وقد يرتفع الجزء العلوي لهذه المسننات على ٣٠ متراً وقد يصل امتدادها في البحر إلى خمسة أمتار وذلك على الشواطئ الرملية بها قد يمتد إلى أكثر من ذلك بكثير في الشواطئ الرملية التي تتشكل بها (سباركس، ترجمة ليلى عثمان، ١٩، ص ٣١).



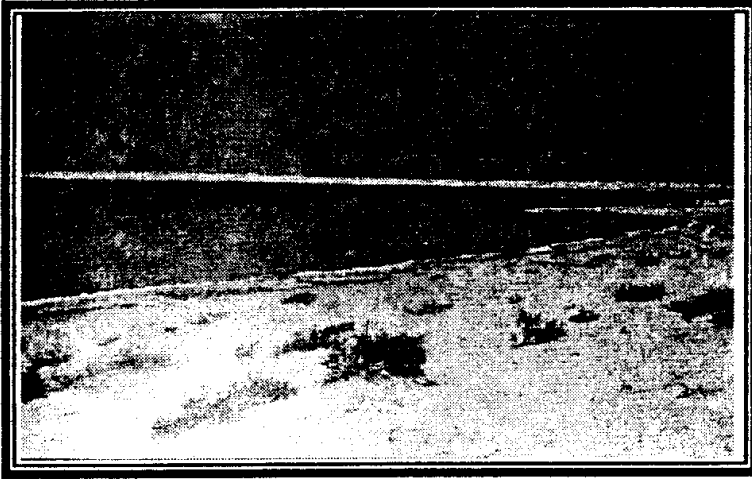
شكل (٧٣) أحد المسننات لساحل شرق أستراليا

وتمثل المنخفضات البينية مجالا لتقدم وتراجع مياه الحفرية مع تركيز الارتداد الموجي في منتصف الحوض بين زوجين من المسننات وذلك في شكل تيار مازق يساعد بدوره على زيادة عمق هذه الأحواض وبالتالي زيادة وضوح المسننات شكل (٧٣) الذي يبين إحدى المسننات النموذجية على ساحل سيدني بأستراليا.

وتظهر المسننات والتي أحيانا ما تسمى ضروس الشاطئ على طول قطاعات مد ساحل الدلتا المصرية وهي صغيرة الأبعاد وكذلك في بعض المواقع على ساحل خليج السويس والبحر الأحمر وبحيرات مرسى مطروح - قبل تعديل شواطئها.

ويمكن ميدانياً قياس أبعادها ومساحتها وانحدارات أسطحها وتباعدها ومدى تمايلها على طول امتداد الشاطئ وملاحظة درجات تأثيرها بالعمليات البحرية السائدة، وتوضح اللوحة (٥٦) مسنن شاطئ رملي بالشاطئ الجنوبي لدشة الضبعة.

كما تظهر اللوحة (٥٧) لاجون صغير للغاية على شاطئ رملي بساحل الغردقة يبدو غير متصل بالبحر حيث يفصله عن حاجز رملي بارتفاع لا يزيد على نصف متر فوق مستوى سطح البحر.



لوحة (٥٦) مسنن شاطئ رملي
بالشاطئ الجنوبي لدشة الضبعة
على البحر الأحمر.

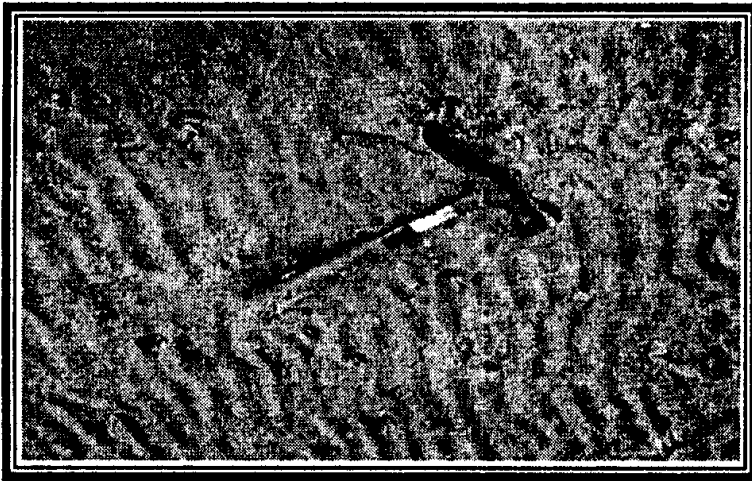
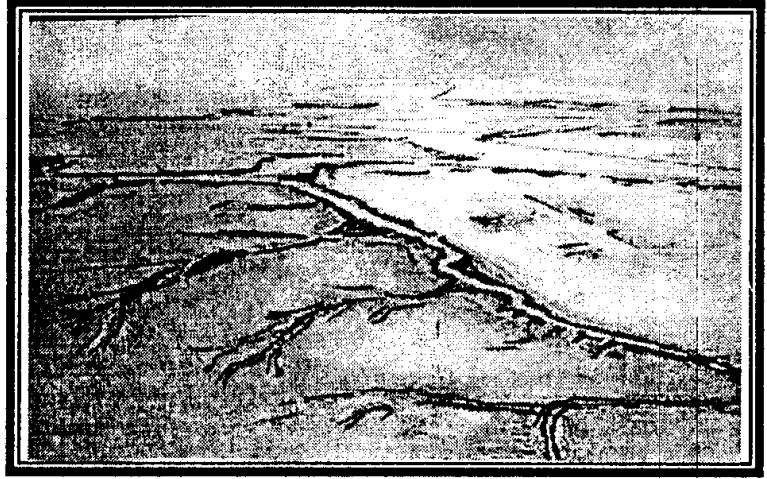


لوحة (٥٧) لاجون صغير للغاية
على شاطئ رملي بساحل الغردقة

ويظهر من اللوحة (٥٨) جزء من سطح جزيرة بوبيان الكويتية تقطعه قنوات مديدة واضحة المعالم والأبعاد.

لوحة (٥٩) تظهر تيم الأمواج Wave ripples بساحل جدة السعودى على البحر الأحمر يلاحظ تعرجها وتماسكها بفعل الأمواج بعد تبخر مياه البلاج أثناء الجذر.

لوحة (٥٨) جزء من سطح جزيرة بوبيان الكويتية تقطعه قنوات مديدة واضحة المعالم



لوحة (٥٩) تيم الأمواج Wave Ripples لساحل جدة السعودى على البحر الأحمر

الفصل الثامن

الدراسة الميدانية والتجارب العملية في الجيومورفولوجيا

تحليل الرواسب

أولاً : أنواع العينات وطرق جمعها.

ثانياً : أنواع التحليل.

- (١) التحليل الحجمي.
- (٢) التحليل الشكلي.
- (٣) التحليل الكيميائي.

1. The first part of the document discusses the importance of maintaining accurate records of all transactions and activities. It emphasizes that this is crucial for ensuring transparency and accountability in the organization's operations.

2. The second part outlines the various methods and tools used to collect and analyze data. It mentions the use of surveys, interviews, and focus groups to gather information from stakeholders. Additionally, it discusses the application of statistical software to process and interpret the collected data.

3. The third part describes the results of the data analysis. It highlights the key findings and trends observed, such as the increasing demand for certain services and the declining interest in others. These insights are used to inform strategic decisions and guide the organization's future direction.

4. The final part of the document provides a summary of the overall findings and conclusions. It reiterates the importance of continuous monitoring and evaluation to ensure the organization remains responsive to changing market conditions and stakeholder needs.

مقدمة :

يُعد استخدام العينات وإجراء التحليلات العملية المختلفة عليها من الأشياء الهامة بالنسبة للجيومورفولوجين، ولكي تحقق هذه الأهمية فلا بد للباحث أن يلم بأهم وسائل التحليل العملية والجوانب المختلفة للتحليل، وعليه أيضاً الاستفادة والاستعانة بالآخرين المهتمين بموضوع التحليل (الجيولوجيين - الزراعيين إلخ)، حتى يخرج الباحث بنتائج أكثر دقة وعليه أيضاً أن يجمع العينات المختلفة التي تفيده في بحثه الذي يخرج على منطقة دراسته، ليس هذا فحسب بل عليه أن يحدد مسبقاً أهمية هذه العينات والهدف من تحليلها ووسيلة التحليل ونوع التحليل الذي يستخدمه. حتى أخذ العينات اللازمة والمناسبة لكل تحليل من التحليلات التي يقوم بها الباحث.

أنواع العينات :

تنقسم العينات التي يتم بها الجيومورفولوجين إلى الآتى :

(١) عينات صخرية.

(٢) عينات رواسب ومفتحات سطحية.

أما بالنسبة للعينات الصخرية والتي قم الباحث في معرفة التكوينات المعدنية، مما يفيد في تفسير طبيعة وكيفية استجابتها لعمليات التجوية والتحلل وعوامل النحت والتعرية المختلفة. ويتم أخذ عينة صخرية معروفة أو غير معروفة باستخدام الشاكوش الجيولوجي في تكسير العينة بحيث تكون غير متأثرة بالتفكك والتحلل كلما أمكن ذلك.

أما النوع الثاني من العينات فهي الرواسب والمفتحات السطحية لاسيما ذات الأحجام التي يمكن تحليلها معملياً، أما ما يخص الجلاميد والحصى الكبير فيتم إجراء بعض القياسات والملاحظات الميدانية عليها دون أخذها، أما الرواسب الأخرى التي يتم أخذ عينات في أكياس منها ليتم تحليلها معملياً فهي ذات الأحجام التي وضعها Wentworth في فئة الرمال والحصى والطمى والصلصال مثل التي توجد في الشواطئ والمراوح الفيضية ومخروطات الهشيم وجوانب التلال والهضاب والتجمعات الرملية بأشكالها المختلفة وقيعان الأودية ومصاطب الأودية ... وغيرها.

طريقة جمع العينات :

قبل الخوض في تحليل العينات، نلقى بالضوء على جمع العينات من خلال الظاهرات الجيومورفولوجية المختلفة، فعلى سبيل المثال تؤخذ عينات المراوح الفيضية من داخل جسم المروحة على عمق يصل إلى ٥٠ سم حتى تكون ممثلة لرواسب المراوح خير تمثيل وتستبعد الرواسب السطحية حيث تزيد بها نسبة الرواسب الحديثة والرواسب الهوائية مما قد يعطى نتائج مضللة كذلك يتم أخذ العينات من ثلاثة أجزاء من المروحة من قمة المروحة ومن وسط المروحة ومن أدنى المروحة حتى توضح مدى التباين على طول المراوح، وبالتالي تكون نتائج التحليل دقيقة ومعبرة لاسيما وأن هناك تباين في أحجام وأشكال الرواسب على طول المراوح. أما المدرجات النهرية فيؤخذ من داخل كل مدرج وعلى عمق يصل إلى ٥٠ سم وتؤخذ العينة كما هي دون فصل للأحجام الكبيرة والدقيقة قبل إجراء عملية التحليل، أما عينات الكثبان الرملية فتختلف حسب نوع الكثيب، ولكن الشئ المتفق عليه هو أخذ العينات من جسم الكثيب ومن مواضع مختلفة [مقدمة - وسط - نهاية الكثيب]، كما هو في رواسب النباك.

أما الرواسب الشاطئية فهذه تتطلب مهارة خاصة في أخذ العينات نظراً لكونها قد تغطي بالمياه مثل رواسب الألسنة والحواجز والمستنات الشاطئية والسبخات وغيرها، ولذلك تؤخذ العينة من العمق دون السطح ثم تؤخذ ويتم تجفيفها معملياً قبل إجراء عملية التحليل لها.

... وبصفة عامة يمكن القول بأن عينات الأشكال الجيومورفولوجية تؤخذ من جسم الشكل نفسه، وبعيداً عن السطح وفي مواضع مختلفة حسب رؤية الباحث والغرض من جمع هذه العينات (ماذا تقدم له من إضافات)، وتوضع في أكياس ويكتب عليها موقع العينة ورقمها حتى يسهل التعامل معها. وفيما يلي قائمة بمقياس الأحجام طبقاً لتصنيف كل من *Undden and Wentworth* (1922) ،

: (Mcmanus, J., 1988, p. 74)

جدول (١٥) مقياس الأحجام طبقاً لتصنيف Wentworth

تقسيم الرواسب حسب أحجامها	الحجم بوحدة Φ	الحجم بوحدة mm	تقسيم ثانوي للرواسب حسب أحجامها
جلاميد Cobbles	١١- ١٠- ٩- ٨- ٧-	٢٠٤٨ ١٠٢٤ ٥١٢ ٢٥٦ ١٢٨	صخيم جداً صخيم متوسط صغير Cobbles (كبير . صغير)
زلط Pebbles	٦- ٥- ٤- ٣- ٢-	٦٤ ٣٢ ١٦ ٨ ٤	خشن جداً خشن متوسط ناعيم ناعيم جداً
رمل Sand	١- صفر ١ ٢ ٣	٢ ١ ٥٠٠ ٢٥٠ ١٢٥	خشن جداً خشن متوسط ناعيم ناعيم جداً
طمي Silt	٤ ٥ ٦ ٧ ٨	٦٢ ٣١ ١٦ ٨ ٤	خشن جداً خشن متوسط ناعيم ناعيم جداً
طين Mud	٩	٢	طين

After : Macmanus, J., 1988.

لماذا يتم تحليل العينات ؟

يهدف تحليل العينات مقارنتها بالصخور الأصلية ومعرفة ما إذا كانت منقولة أو محلية. كذلك قد يهدف الباحث التي تتبع العمليات الكيميائية الميكانيكية التي تأثرت بها الرواسب.

أنواع التحليل :

١) التحليل الحجمي *Grain Size Analysis*.

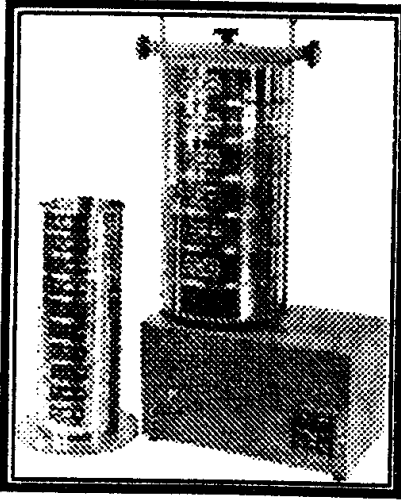
٢) التحليل الشكلي.

٣) التحليل المعدني "الكيمائي".

٤) التحليل الميكروسكوبي.

أولاً : التحليل الحجمي للرواسب :

حيث يتم تصنيف الرواسب إلى مجموعة أصناف حسب أحجامها المختلفة وينقسم التحليل الحجمي إلى ثلاث أو أربعة أقسام حسب طبيعة وأحجام الرواسب كالتالي :



١) بالنسبة لأحجام الرواسب الكبيرة أكثر من ٢٥٦ ملليمتر

(الحصى والحصباء والجلاميد) فيتم قياس أحجامها ميدانياً

عن طريق قياس أبعاد الحبيبة (الطول - العرض - السمك)،

ومن خلال هذه القياسات يتم وصف أحجام تلك الرواسب.

٢) بالنسبة لأحجام الرواسب أقل من ٢٥٦ ملليمتر فيتم إتباع

نظام الغربلة *Sieving* لاسيما بالنسبة للرواسب الجافة^(١)

وتتم هذه الطريقة في الخطوات التالية :

لوحة (٦٠) المنخل الكهربائي

• يتم أخذ عينة التحليل لا يقل وزنها عن ١٠٠ جم.

• توضع العينة بعد وزنها باستخدام ميزان كهربائي في الغربال العلوي من مجموعة الغربال المتابعة رأسياً

لوحة (٦٠) والتي تتدرج فتحاتها من أعلى لأسفل بحيث يكون الغربال السفلي هو أضيق الفتحات.

٣) تستمر عملية الغربلة الكهربائية للعينة لمدة تتراوح ما بين ١٠ - ٢٠ دقيقة.

٤) يتم تفريغ كل غربال ووزنه، ثم يحسب مجموع أوزان كل العينة التي تم غربلتها، ثم تحسب نسبة

كل وزن من وزن العينة الإجمالي.

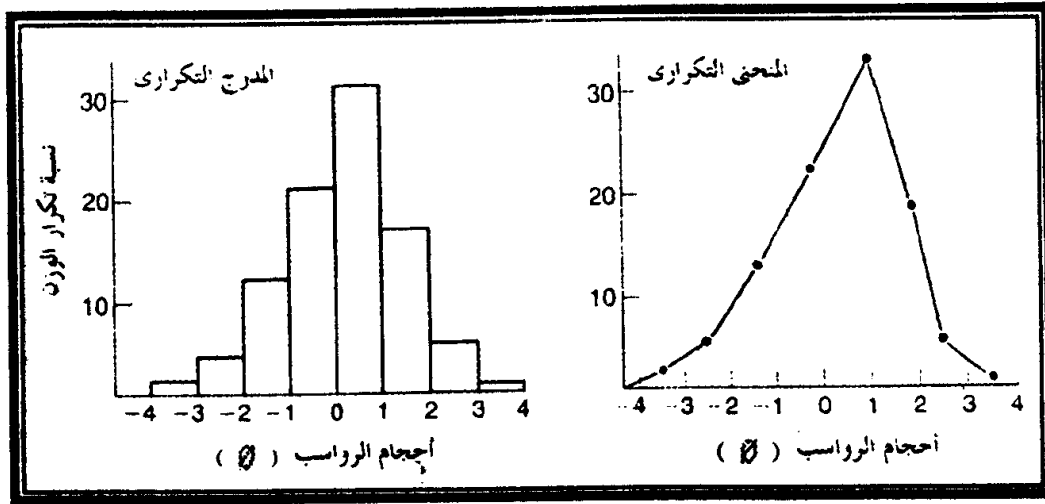
٥) يتم رسم منحني بياني لوزن العينات بأحجامها المختلفة كالتالي : (التمثيل الشكلي) (٧٤)

(١) في حالة ما إذا كانت الرواسب رطبة أو لينة مثل رواسب الشواطئ والسبخات والبحيرات والأشكال الشاطئية (ألسنة - مستنات -

حواجز ... إلخ) فيتم في هذه الحالة تجفيف العينات بوضعها داخل أفران مخصصة لهذا الغرض تحت درجة حرارة معينة ولفترة محددة

تتراوح ما بين ١٠ - ٢٠ دقيقة، بعدها يتم وضع العينات في نظام الغربلة الجاف *Dry Sieving*، وقد استخدم المؤلف هذه الطريقة

في تحليل أحجام رواسب السبخات والرواسب الشاطئية أثناء دراسته لساحل البحر الأحمر ٢٠٠٤



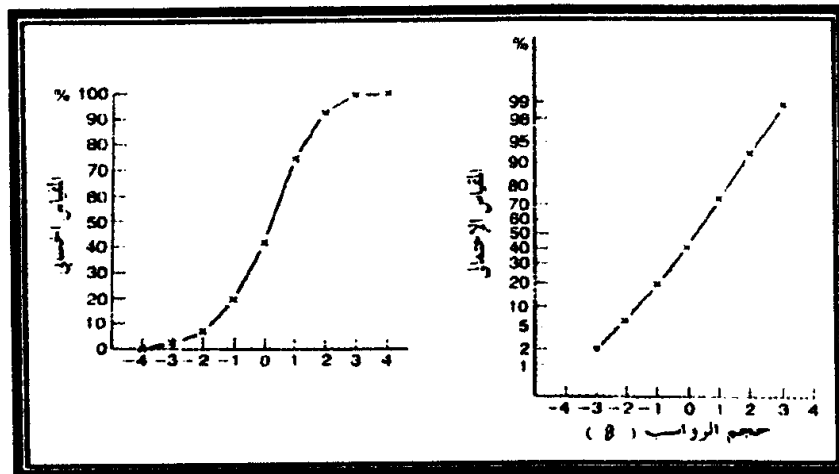
شكل (٧٤) المدرج والمنحنى التكرارى لتوزيع أحجام الرواسب

ملاحظة أنه في نهاية تحليل العينات والانتهاى من مرحلة الفصل والوزن يتم استخدام ما يسمى بالوزن المتجمع الصاعد أو توقع أحجام الرواسب ونسبة وزنها على وزق (Phi) ^(*) كالتالى:

أما الشكل التالى (٧٥) فيوضح تمثيل توزيع أحجام رواسب عينة على ورق (Phi) عن طريق استخدام المنحنى المتجمع الصاعد باستخدام القياس الحسابى والمتوقع *Probability Scale*.

من خلال الأشكال السابقة يتم إجراء بعض التحليلات التى توضح خصائص المنحنى والتى تستخرج من الأشكال البيانية التى تم رسمها، عن طريق استخدام بعض المعادلات التى يمكن تقسيمها إلى أربعة فئات هى :

- توزيع الأحجام حسب المتوسط
- توزيع معين عن المتوسط.
- طبيعة نوع التوزيع لحجم معين عن المتوسط.
- التفلطح أو درجة التمرکز الأحجام بالنسبة للحجم المركزى.



شكل (٧٥) المنحنى المتجمع الصاعد لتوزيع أحجام الرواسب

^(*) Phi = - لو ٢ مم

(أ) قياس الحجم الشائع ومتوسط الحجم :

يتم قياس الحجم الشائع ومتوسط الحجم باستخدام الوحدات الإحصائية التقليدية مثل **المدى** والذي يمثل أكثر نسبة توزيع من أحجام الرواسب وتظهر على الشكل في صورة الأعمدة البيانية الأكثر ارتفاعاً وتميلاً، أو ما يطلق عليه أكثر الفئات شيوعاً، ويشير التوزيع ذو المدى الواحد إلى ظروف ترسيب معينة وطبيعة الرواسب مع الاختلاف في حالة التوزيع متعدد المدى.

ويشير مكمانوس (Mcmanus, J., 1988, p.76) إلى أن استخدام المنحنيات التكرارية لرواسب مختلفة تُظهر قمم متعددة، كما تشير المدى المتعدد إلى وجود أكثر من توزيع لنوع الرواسب الواحدة. هذا وقد يستخدم بعض الباحثين قيم المدى المطلقة من التوزيع التكراري لأوزان الأحجام للأحجام المختلفة.

المتوسط (Md) :

حيث يبدو منتصف الأحجام الأخشن وال نصف الآخر للرواسب الأنعم عن منتصف القطر.

الوسط (M) :

وهو أفضل المقاييس لقياس متوسط حجم الرواسب ويحسب من خلال حساب مجموع أوزان الرواسب في فئة معينة على مجموع وزن الرواسب في العينة كلها، ويمكن معرفته من خلال الشكل بطريقة أسهل من خلال المعادلة التالية :

$$\text{الوسط (M)} = \frac{1}{3} (٨٤\emptyset + ٥٠\emptyset + ١٦\emptyset)$$

(ب) التوزيع حول المتوسط "التصنيف" Sorting :

يظهر في جميع أشكال التحليل المدى المطلق (الكلي) للأحجام، ولكن من النادر ما يوضح أو يحدد حجم أصغر وأكبر الحبيبات داخل التوزيع نفسه، وهذا من الأهمية حيث يعطى مؤشراً على طبيعة انتشار الرواسب وتوزيعها داخل العينة (تصنيف الرواسب). ويحسب التصنيف من خلال المعادلة التالية :

$$\text{التصنيف Sorting} = \frac{1}{2} \left(\frac{٥\emptyset - ١٥\emptyset}{٣,٣} + \frac{١٦\emptyset - ٨٤\emptyset}{٢} \right)$$

$$= \frac{٥\emptyset - ١٥\emptyset}{٦,٦} + \frac{١٦\emptyset - ٨٤\emptyset}{٤} \quad \text{أو}$$

ويكون أفضل توزيع للرواسب ما يقرب من الحجم الواحد وذو قيم تصنيف منخفضة كما هو موضح بالجدول التالي (١٦) :

جدول (١٦) فئات تصنيف الرواسب

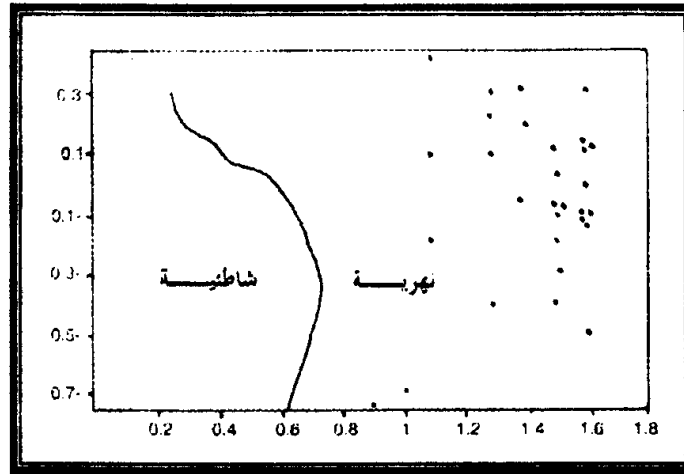
التصنيف	درجة التصنيف	المصطلح الأجنبي
تصنيف جيد جداً	أقل من ٠,٣٥	<i>Very Well Sorted</i>
تصنيف جيد	٠,٣٥ - ٠,٥٠	<i>Well Sorted</i>
تصنيف شبه جيد	٠,٥٠ - ٠,٧٠	<i>Moderately Well Sorted</i>
تصنيف متوسط	٠,٧ - ١,٠	<i>Moderately Sorted</i>
تصنيف ضعيف	١,٠ - ٢,٠	<i>Poorly Sorted</i>
تصنيف ضعيف جداً	٢,٠ - ٤,٠	<i>Very Poorly Sorted</i>
تصنيف أكثر ضعفاً	أكثر من ٤,٠	<i>Extremely Poorly Sorted</i>

After : Macmanus, 1988

ولتوضيح المعادلة السابقة، نقوم بتطبيقها على رواسب بعض المراوح الفيضية بمنطقة الجلالة القبلية بالصحراء الشرقية - مصر.

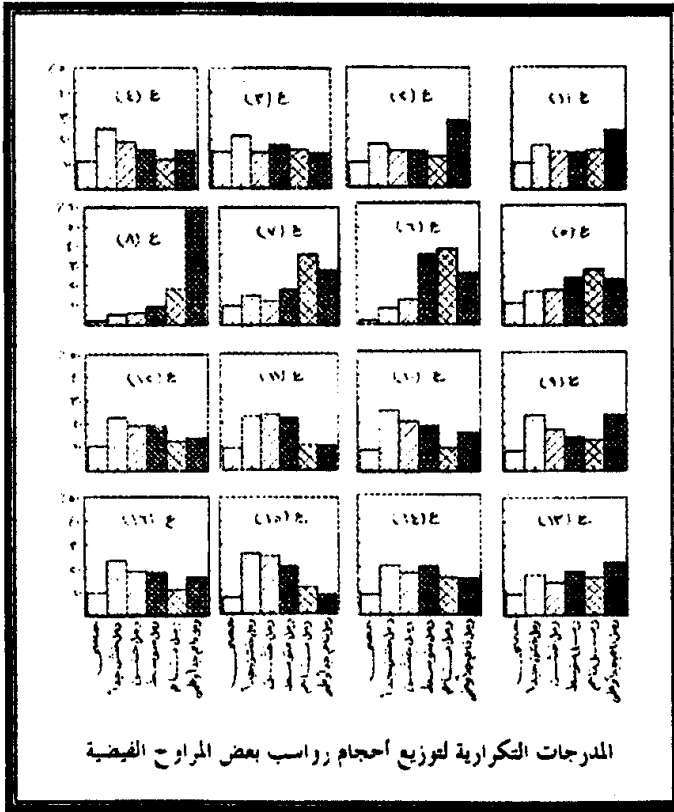
ولتحديد خصائص رواسب تلك المراوح تم جمع عدد (٢٧) عينة، تمثل كل عينة جوانب المروحة الثلاث؛ (قمة المروحة وأوسط وأدنى المرحة) حتى يتسنى معرفة ظروف ترسيبها وطرق نقلها وخصائص وحجم التصريف بالأحواض المرسبة لهذه المراوح، حيث اتضح أن الأحواض ذات الأودية شديدة الانحدار تغطي رواسب خشنة والعكس صحيح، ومن الجدول (١٦) اتضح ما يلي :

- تميزت رواسب المراوح بصفة عامة بخشونتها حيث يبلغ متوسط الحجم (١,١٥) ملمتر كما أن متوسط أحجام الرواسب الخشنة (٢ - ٢٥٦ ملمتر)، والتي تشكل من الزلط والجلاميد والحصى والحصى يبلغ ٨٠٪ في حين تمثل نسبة المواد الناعمة (أقل من ٢ ملمتر) نسبة الرمل الخشن جداً والخشن والمتوسط إلى ٥٦,٥٪، بينما تشغل الرمال الناعمة والطيني والصلصال نسبة ٢٣,٩٪.
- هذا وقد أشارت العلاقة بين حجم الرواسب والانحراف المعياري لتوزيع أحجام الرواسب (المراوح) شكل (٧٦)، أنها تتميز بتصنيف رديء وأن نسبة ٩٢,٦٪ منها رواسب خشنة ومتوسطة مما يشير إلى شدة التيار المائي المرسب مع الأخذ في الاعتبار ترسيبها دفعة واحدة دون حدوث أى تصنيف للرواسب.



شكل (٧٦) العلاقة بين حجم الرواسب والاعراف المعياري لرواسب المراوح

كما ترتفع في المواد الناعمة (أقل من ٢ مم) نسبة الرمل الخشن جداً والخشن والمتوسط إلى ٥٦,٥٪، بينما تشغل الرمال الناعمة والطيني والصلصال نسبة ٢٣,٩٪، ومما يؤكد ذلك ارتفاع قيمة

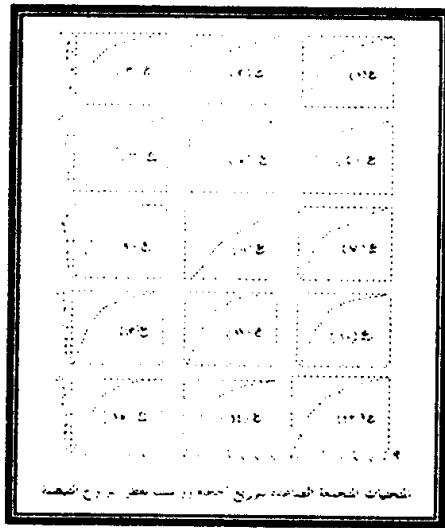


شكل (٧٧)

معامل الالتواء إلى ٢,٣، ويشير إلى تباين الأحجام وزيادة في نسبة الأحجام الخشنة في رواسب المراوح الفيضية، كما ارتفعت أيضاً نسبة المواد الخشنة (من ٢ - ٢٥٦ مم) في رواسب قمم المراوح فبلغت ٩٥٪ في قمة مروحة أم جراف، في حين بلغت نسبة المواد الناعمة في نفس العينة ٥٪، ولكن ما يمكن ملاحظته هنا ارتفاع نسبة الرمل الناعم جداً والطيني والصلصال في رواسب قمة المروحة ويرجع ذلك إلى ترسيب المواد الخشنة أولاً ثم تداخلت بينها تلك المواد الناعمة أثناء عملية إرساب لاحقة، أو أنها أرسبت مع نهائيات الفيضانات عندما تراجعت السرعة

بالقدر الذي سمح بإرساب هذه المواد الناعمة بين المواد الخشنة، أو احتمال أنها أرسبت مع بداية الجريان كنتيجة لزيادة الحمولة عن طاقة وقدرة الجريان (أحمد سالم، ١٩٨٩، ص ٢٦ - ٢٧).

أما الأجزاء الوسطى للمراوح فقد تراوحت نسبة المواد الخشنة بين ٩٣ - ٧٥٪ ورغم ذلك فقد لوحظ زيادة في نسبة المواد الخشنة (من ٢ - ٢٥٦ مم) في رواسب القطاعات الوسطى لمروحة أسخر فكانت ٩٣,٧٪ في حين بلغت ٩٢,١٪ في قمة المروحة، وارتفعت أيضاً نسبة المواد الخشنة في أواسط مروحة رافد أسخر فكانت ٨٦٪ بينما بلغت ٧٨٪ في أعالي نفس المروحة، ويرجع ذلك للتغاير في عملية الترسيب التي قد تحدث نتيجة السيول الضعيفة حيث تم ترسيب المواد الناعمة قرب قمة المروحة. كما يرجع انخفاض نسبة المواد الناعمة بين الخشنة إلى احتمال قيام الرياح بدور في نقل المواد الناعمة والدقيقة من السطح مع وجود بعض الفتحات من السفوح المجاورة مما يعمل على ارتفاع نسبة المواد الخشنة على حساب المواد الناعمة، أو ترجع إلى طبيعة الجريان التي قد تتم في شكل غطاءات فيضية لها القدرة على نقل المواد الناعمة وترك المواد الخشنة (أحمد سالم، ١٩٨٩، ص ١٨).



شكل (٧٨)

تزيد نسبة المواد الناعمة (أقل من ٢ مم) في رواسب أدنى المراوح بصفة عامة حيث بلغت ٥٣٪ في أدنى مروحة أم دمرانة، كما بلغت ٦١,٢٪ في أدنى مروحة أم جراف في حين تقل جداً لتصل إلى ١٠٪ في أدنى مروحة أسخر، ويفسر زيادة نسبة المواد الناعمة في أدنى المراوح إلى أنها أرسبت بعيداً عن مصادرها بالإضافة إلى أن طول المسافة عمل على تفتت واستدارة الحبيبات الصخرية فزادت نسبة المواد الناعمة بها.

(ج) الالتواء (Skewness)

تظهر في التوزيع العادي (شكل الجرس) لمنحنى التوزيع التكراري القيم المتوسطة مخروطة الشكل، وأن أي ميل للتوزيع لأحدى الجوانب يكون انحراف عن الوضع الطبيعي نتيجة الاختلاف بين القيم المتوسطة والوسيط هذا الاختلاف يُستخدم ليميز خصائص الالتواء أو التناقص للمنحنى التوزيعي، كما أن الالتواء دائماً ما يكون ذو قيم سالبة أو موجبة عندما يكون أكثر نعومة أو أكثر خشونة يتمثل عن الشكل الطبيعي للتوزيع بحيث توزع الرواسب ناحية اليمين أو اليسار على كل فإن الالتواء يكون من خلال المعادلة التالية :

(*) تتراوح قيم الالتواء ما بين -١ + ١ ويكون موجبة منحنى التوزيع بالسالب في حالة الـ ١، ١-، السالبة الخشنة، أما حالة الـ ١، ١+، السالبة الناعمة فيكون المنحني سالباً

$$\left(\frac{0.02 - 0.0 + 0.0}{(0.0 - 0.0)^2} + \frac{0.02 + 0.0 + 0.0}{(0.0 - 0.0)^2} \right) = \text{معامل الالتواء}$$

(Mcmanus, J., 1988, p. 7b)

$$\frac{(0.0)^2 - 0.0 + 0.0}{(0.0 - 0.0)^2} = \text{معامل الالتواء}$$

(Hardisty, J., 1990, p. 25)

وتوصف فئات الالتواء كالتالى:

جدول (١٧) فئات الالتواء ودرجاته

الالتواء	درجة الالتواء	المصطلح الأجنبي
التواء موجب جداً	(١,٠+) - (٠,٣+)	<i>Very Positively Skewed</i>
التواء موجب	(٠,٣+) - (٠,١+)	<i>Positively Skewed</i>
التواء متماثل	(٠,١-) - (٠,١+)	<i>Symmetrical</i>
التواء سالب	(٠,٣-) - (٠,١-)	<i>Negatively Skewed</i>
التواء سالب جداً	(٠,١-) - (٠,٣-)	<i>Very Negatively Skewed</i>

ويوضح الجدول التالى (١٨) والشكل (٨٠) خصائص الالتواء لمنحنى توزيع أحجام رواسب المراوح الفيضية (منطقة الجلالة لقلبية بالصحراء الشرقية - مصر) كالتالى:

جدول (١٨) التعبيرات الوصفية لفئات التواء لمنحنى توزيع أحجام الرواسب

التواء سالب		التواء متماثل		التواء موجب		التواء موجب جداً		المجموع	
عدد	%	عدد	%	عدد	%	عدد	%	عدد	%
١٢	٤٤,٥	١١	٤٠,٧	٤	١٤,٨	—	—	٢٧	١٠٠

يتضح أن (١٢) عينة بنسبة ٤٤,٥% تقع في فئة الالتواء السالب و (١١) عينة بنسبة ٤٠,٧% في فئة الالتواء المتماثل بينما بلغت أربعة عينات ١٤,٨% في فئة الالتواء الموجب مما يشير إلى تماثل توزيع أحجام الرواسب، كما أشارت العلاقة بين الالتواء والتفلطح إلى وجود بعض الرواسب الدقيقة من الطمي والصلصال لم يتم إزالتها بعد بواسطة عوامل التعرية، وتأكيداً لذلك فقد أوضحت أيضاً دراسة الالتواء وخصائصه على الرواسب الشاطئية على ساحل البحر الأحمر (أحمد فوزى، ٢٠٠٤، ص ٩٨) أن الرواسب ذات الالتواء السالب في رواسب الشاطئ تفسر طبيعة التيارات الشاطئية حيث تتميز بقوة في حالة الالتواء السالب (تيارات عواصف) مما أدى إلى نقل الرواسب الخشنة والساعمة معاً وقد تكون نتيجة لاضطراب الأمواج داخل نطاق الشاطئ القريب وتكسرهما أمامه، مما أدى إلى تركها للرواسب في صورة مجمعة دون حدوث أى تصنيف *Sorting* لها.

(د) التغلطم *Kurtosis*:

يستخدم التغلطم بصورة واسعة، وهو مرتبط بكل من التشتت وطبيعة التوزيع ويتم الحصول عليه من المعادلة التالية:

$$\frac{0.0 - 1.0}{(2.0 - 1.0)} = \text{Kurtosis التغلطم} = 2.4$$

وتشير نتائج التغلطم إلى شكل منحنى التوزيع وهل الرواسب توزع في ذيل المنحنى أو وسطه ويوصف فئات التغلطم كالتالي:

جدول (١٩ أ) فئات تغلطم الرواسب

المصطلح الأجنبي	درجّة التغلطم	التغلطم
<i>Very Platykurtic</i>	أقل من ٠,٦٧	مفلطح جداً
<i>Platykurtic</i>	من ٠,٦٧ - ٠,٩٠	مفلطح
<i>Mesokurtic</i>	من ٠,٩٠ - ١,١١	تغلطم متوسط
<i>Leptokurtic</i>	من ١,١١ - ١,٥٠	مدبب
<i>Very Leptokurtic</i>	من ١,٥٠ - ٣,٠	مدبب جداً
<i>Extremely Leptokurtic</i>	أكثر من ٣,٠	مدبب بشكل كبير

ومن الجدول التالي (١٩ ب) تتضح فئات التغلطم في توزيع رواسب المراوح الفيضية بالجلالة القبليّة بالصحراء الشرقية - مصر.

جدول (١٩ ب) فئات التغلطم في توزيع رواسب المراوح الفيضية

تغلطم شديد		تغلطم		تغلطم متوسط		تغلطم مدبب		المجموع	
عدد	%	عدد	%	عدد	%	عدد	%	عدد	%
١	٣,٧	٢	٧,٤	١	٣,٧	٢٣	٨٥,٢	٢٧	١٠٠

حيث أن ١٥,٢% من عينات المراوح تميل إلى أن تكون في فئات التغلطم المدبب ومن خلال العلاقة بين الالتواء والتغلطم لتوزيع أحجام الرواسب شكل (٧٨) اتضح أن ٥٩,٣% من أحجام الرواسب تميل إلى الالتواء السالب والتماثل مع وجود نسبة ١٤,٨% تميل إلى الالتواء الموجب مما يشير إلى وجود بعض الرواسب الدقيقة من الطمي والصلصال لم تتم إزالتها بعد بواسطة عوامل التعرية.

(٢) الطريقة اللحظية في التحليل : Moment Methods

وتستخدم في التحليل الحجمى للرواسب مثل الطريقة السابقة وتعطى نفس نتائج الطريقة السابقة، والاختلاف الوحيد بينهما كما يوضحه *Macmanus, J., (1988, pp: 78 - 79)* أن الطريقة الأولى تعتمد على توزيع ذو نهاية مفتوحة *Open End Distribution* ، أما الطريقة الثانية لا يمكن أن تتم ما لم يتم تحديد أحجام الرواسب وتصنيفها في فئات محددة.

ولتحقيق التحليل الحجمى بهذه الطريقة يتم تطبيق الطرق التالية :

(أ) الطريقة (اللحظة الأولى) = المتوسط

$$\text{المتوسط} = \frac{\text{مجم تكرار الوزن } \%}{100}$$

(ب) الطريقة (اللحظة الثانية) = مربع الانحراف المعياري للتوزيع

$$\text{مربع الانحراف المعياري للتوزيع} = \frac{\text{مجم تكرار الوزن } \% \text{ (الفرق بين النقطة المتوسطة لكل درجة فترتين والمتوسط) }^2}{100}$$

(ج) الطريقة الثالثة (اللحظة الثالثة) = الالتواء

حيث تقبىر نمط التوزيع حول المتوسط.

$$\text{الالتواء} = \frac{\text{مجم تكرار الوزن } \% \text{ (الفرق بين النقطة المتوسطة لكل درجة فترتين والمتوسط) }^3}{100}$$

(د) الطريقة الرابعة (اللحظة الرابعة) = التفلطح

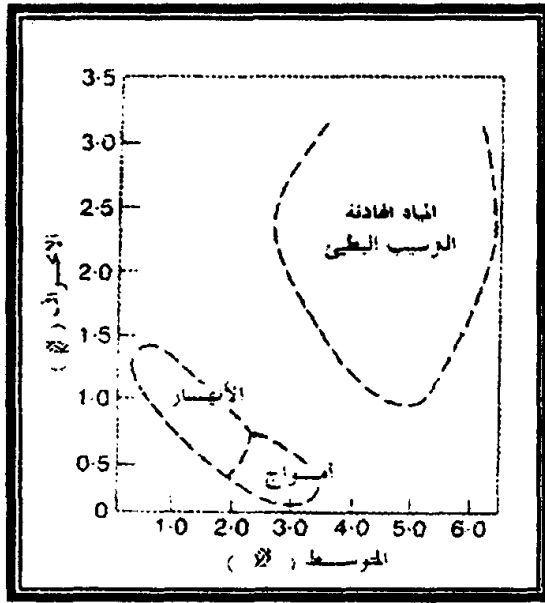
$$\text{التفلطح} = \frac{\text{مجم تكرار الوزن } \% \text{ (الفرق بين النقطة المتوسطة لكل درجة فترتين والمتوسط) }^4}{100}$$

وعلى الرغم من تعدد المعادلات السابقة إلا أن النتائج تتشابه مع نتائج المعادلات السابقة المستمدة من التحليل الحجمى (الطريقة الشكلية)، ومع هذا النتائج تكون فى الطريقة الحالية أكبر واقعية وتميلاً عن الثانية. ولكن لا يمكن استخدامها ما لم يتم تحديد فئات الأحجام من حيث خصائص التوزيع المختلفة (متوسط الحجم، التواء، تفلطح ... إلخ). (*Macmanus, J., 1988, p. 79*).

(٣) التفسير البيئي لبيانات أحجام الرواسب : [تحديد بيئة الترسيب من خلال أحجام الرواسب]

يستخدم علماء الرواسب *Sedimentologists* وسائل التحليل وتمثيل البيانات وسائل وصفية معيارية، ولكن قد تستخدم في أكثر من ذلك بحيث يمكن استنتاج بيئة الترسيب، وأبسط هذه الوسائل هي الخرائط الجغرافية التي توقع عليها البيانات الفردية أو قد توقع عليها بعض المتغيرات العوامل الإقليمية.

وقد استخدم كل من فولك وورد *Folk & Word, 1957*، ألن *Allen, 1971*، رين وجودل *Rein & Goodel, 1972*، كول ومايو *Cool & Maux, 1977*، ومكاميوس *Mcmanus, J., 1988*، كينج *King, 1980*، وغيرهم، هذه الأشكال وباستخدام العلاقات المتبادلة بين متوسط أحجام الرواسب والانحراف المعياري وبين الالتواء والتفلطح وبين متوسط حجم الرواسب والالتواء في تحديد بيئة الترسيب وطبيعة العوامل الجيومورفولوجية ذات التأثير الواضح في ترسيب وتشكيل هذه الرواسب. ومن أشهر هذه الأشكال ما وضعه ستورت وبينفورت *Stewart & Benfort, 1958* في تحديد بيئة الترسيب شكل (٧٩).



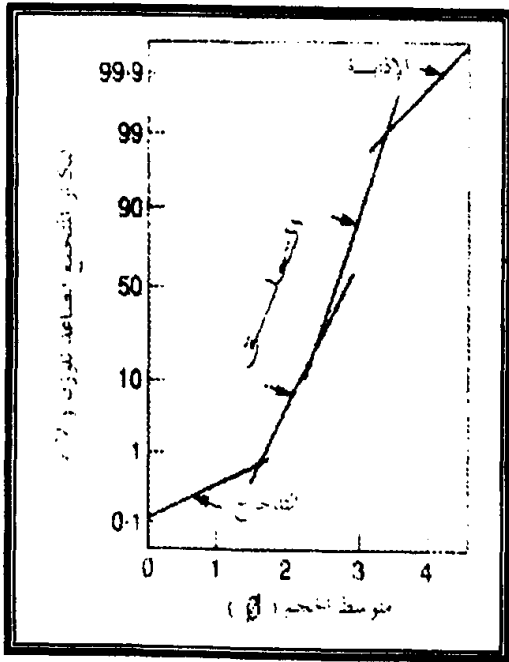
شكل (٧٩) مقياس ستورت لتحديد بيئة الترسيب

بصفة عامة يمكن القول بأن هناك تنوعاً مشتركاً بين مقياسين أو أكثر مثل متوسط الحجم والتصنيف حيث يتأثر تأثيراً طبعياً لدرجة أن كل بيانات الترسيب يبدو فيها أفضل تصنيف (التصنيف الجيد للرواسب) في بيانات الرمال الناعمة، هذه العلاقة القوية تم تحقيقها من العديد من الدراسات المتتالية، وأقدم هذه الدراسات دراسة ستورت ١٩٥٨ والتي وقع بين المتوسط الحجم والالتواء والانحراف المعياري لنطاق الرواسب النهرية والبحرية وبيئات الرواسب المياه الهادئة وحدد أيهم يحدد بيئة

الترسيب المناسبة شكل (٧٩)، وغيرهم من استخدام هذه الأشكال في تحديد الرمال الشاطئية ورمال الكثبان من خلال بيانات أحجام الرواسب.

وقد استخدم المؤلف هذه الطريقة في تحديد الرواسب الرملية الشاطئية ورواسب الرمال القارية على ساحل البحر الأحمر، وقد أفاد كثيراً في تحديد بيئة الترسيب لاسيما أو منطقة الساحل أو المنطقة السهلية على البحر الأحمر تتعدد فيها بيئات الترسيب وبصعب الفصل فيها ميدانياً، اللهم إلا باستخدام وسائل التحليل المختلفة ومنها التحليل باستخدام الأشكال التي تحدد بيئة الترسيب (للاستزادة أنظر أحمد فوري، ٢٠٠٤).

وتأكيداً لما سبق فقد اتضح للمؤلف خلال دراسته لرواسب الشاطئ على ساحل البحر الأحمر أن العلاقة بين الانحراف المعياري والالتواء قد أوضحت على سبيل المثال أن الرواسب الناعمة التي تتميز بالتصنيف الجيد تميل إلى الالتواء الموجب، وهذا فسر لنا مدى التداخل بين الرواسب الناعمة مع الرواسب الخشنة في رواسب الشاطئ، وقد يرتبط ذلك بطبيعة الحال بخصائص نطاق المسطحات المدية *Tidal Flats* التي تتعرض لحركة العجيج *Swash* والخضربة *Backswash* حيث ترسب الرواسب الخشنة والناعمة تحت ظروف هيدرومترية مختلفة، حيث يسمح تباين الطاقة فوق هذا النطاق للحبيبات الناعمة باحتجازها بين الوحدات الخشنة، لدرجة أن هذا النظام يندرج تحت ما يسمى بالتصنيف الرديء *ill Sorted*، لاسيما وأن هناك سيادة للأمواج الهادئة على المنطقة.



شكل (٨٠) الأقسام الخطية لمنحنى Fisher

ليس هذا فحسب ولكن علاوة على ما سبق فقد تُستخدم بعض الأشكال في تحديد طبيعة الترسب وعامل الترسب نفسه وخصائص الترسب شكل (٨٠) كما تستخدم أشكال المتجمع الصاعد لأحجام الرواسب في تحديد طبيعة نقل الرواسب من حيث الدرجة *Rolling* والقفز *Saltation* والتعلق *Suspension*، وذلك من خلال العلاقة المتبادلة بين متوسط حجم الرواسب والمتجمع الصاعد لوزن الرواسب (%).

وقد أوضح هذا الشكل طرق نقل رواسب المراوح الفيضية بمنطقة الجلالة القبلية في ألما تباين في

أحجامها وطرق نقلها أيضاً، فمعظم الرواسب الخشنة تم نقلها لمسافات قصيرة بواسطة التدرج. أما رواسب الرمال المتوسطة والناعمة فتم نقلها لمسافات قريبة عن طريق القفز، ولكن باقى الرواسب الناعمة جداً والطمى والصلصال فتم نقلها لمسافات بعيدة في صورة حمولة عالقة *Suspension Load*.

ثانياً : التحليل الشكلي للرواسب :

تفيد دراسة الخصائص الشكلية للرواسب الخشنة والناعمة في التعرف على خصائص ظروف الجريان وطريقة نقل الرواسب، كما تفيد في معرفة العامل والعملية الجيومورفولوجية التي شكلت هذه الرواسب. وتنقسم العناصر الشكلية إلى اثنين :

(أ) الخصائص الشكلية للرواسب الخشنة.

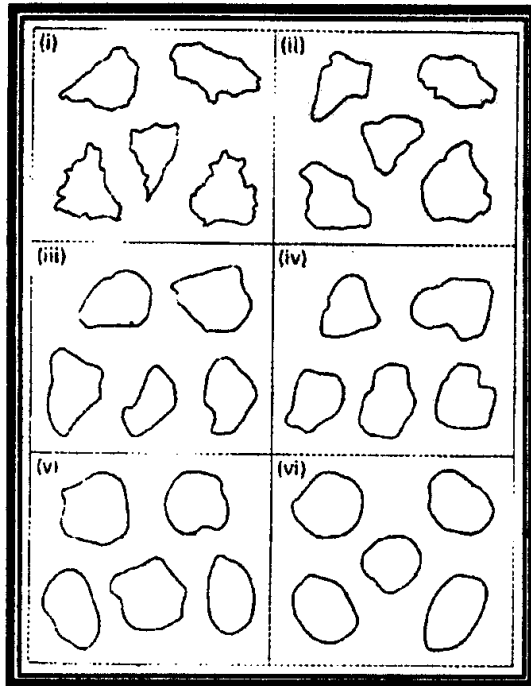
• قياس الشكل.

• قياس الاستدارة.

(ب) الخصائص الشكلية للرواسب الدقيقة.

(أ) الخصائص الشكلية للرواسب الخشنة :

تعطى دراسة الخصائص الشكلية معلومات هامة لظروف معينة، وخصائص معينة خاصة بطبيعة الترسيب والعامل المرسل، فمثلاً سيادة الرواسب الخشنة و الحصوية فهي لاشك أنها ترسبت في بيئة مياه سريعة لاسيما إذا كانت أكثر تصنيفاً، في المقابل فإن الرواسب الناعمة لا بد وأنها ترسبت في ظروف مياه هادئة مثل البحيرات.



شكل (٨١) الأشكال الخارجية للرواسب الرملية

يعتمد قياس أشكال الحصى والرواسب

على طرق عديدة؛ منها ما هو أبسطها هي طريقة وصف للأشكال الخارجية للرواسب شكل (٨١) حيث يتم فيها مقارنة شكل الرواسب بالأشكال الموضحة باللوحة السابقة وفيها يتم وصف لشكل الحبيبات، تنقسم الأشكال بهذه اللوحة إلى ستة أشكال تبدأ بالأشكال المزوية *Angular* ثم تنتهي بالأشكال الأقرب للاستدارة.

أما الطريقة الثانية للتعرف على الشكل فهي

من خلال تحديد العلاقة بين الطول والعرض والسلك

باستخدام طريقة رنج (الصالح، ١٩٩٢، ص ٧٠) حيث تقسم الحبيبات إلى أربعة أنواع حسب أشكالها وهي كروية *Sphere* وقرصية *Disc* وورقية *Blade* وقضيبية *Rod*، ويبنى هذا التقسيم على العلاقة بين المحاور الثلاثة (الطول - العرض - السلك) كالتالي :

جدول (٢٠) أقسام الحبيبات حسب أشكالها

شكل الحبيبة	العرض / الطول	السبك / العرض
كروية	أكبر من ٠,٦٧	أكبر من ٠,٦٧
قرصية	أكبر من ٠,٦٧	أصغر من ٠,٦٧
ورقية	أصغر من ٠,٦٧	أصغر من ٠,٦٧
قضيبية	أصغر من ٠,٦٧	أكبر من ٠,٦٧

استدارة الحصى:

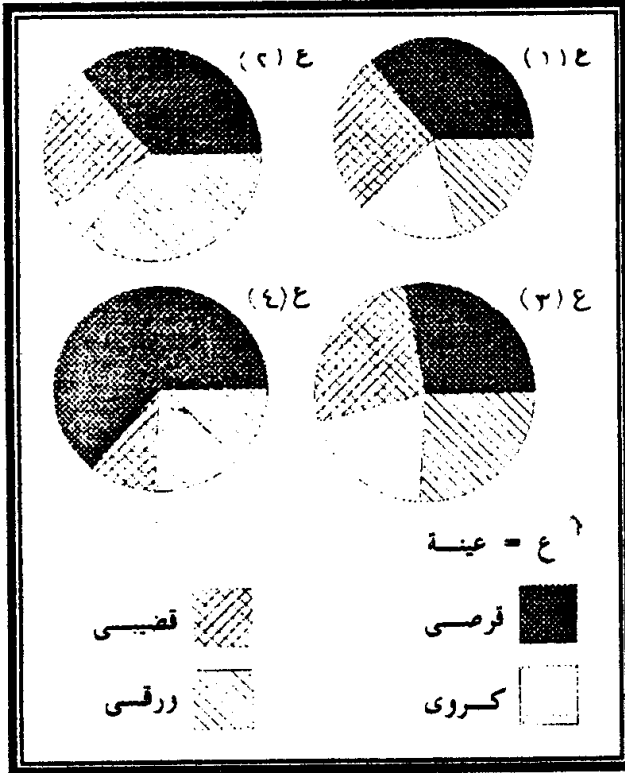
فقد استخدم المؤلف هذه الطريقة وقام بتطبيقها على عدد ٥٠ حصوة من رواسب المراح الفيزية بمنطقة الجلالة القبيلة بالصحراء الشرقية - مصر، وأدرجت بيانات القياس في الجدول (٢٠ ب) والشكل (٨٤)، ومن الجدول والشكل اتضح ما يلي :

جدول (٢٠ ب) الخصائص الشكلية لرواسب أسطم بعض المراح الفيزية

م	موقع العينة	الشكل			
		قرصى %	قضيبى %	كروى %	ورقى %
١	أدى مروحة أم دمرانة	٤٠	١٦	١٨	٢٦
٢	أواسط مروحة أم دمرانة	٣٠	١٤	٤٢	١٤
٣	أعلى مروحة أم دمرانة	٤٨	١٨	٣٠	٤
٤	أدى مروحة أسخر	٣٦	٢٤	٢٢	١٨
٥	أواسط مروحة أسخر	٥٢	١٨	٨	٢٢
٦	أعلى مروحة أسخر	٣٤	٢٥	١٢	٣٠
٧	أدى مروحة أبو عظام	٣٦	١٦	٣٨	١٠
٨	أواسط مروحة أبو عظام	٣٤	٢٦	٢٠	٢٠
٩	أعلى مروحة أبو عظام	٤٦	١٤	٢٦	١٤
١٠	أعلى مروحة أم حماسة	٤٢	٢٠	١٨	٢٠
١١	أواسط مروحة أم حماسة	٦٤	١٦	٨	١٢
١٢	أواسط مروحة رافد أسخر	٢٨	٢٠	١٤	٣٨
١٣	أدى مروحة رافد أسخر	٤٢	١٤	٢٨	١٦
١٤	أعلى مروحة رافد أسخر	٤٤	٢٦	٦	٢٤
	المتوسط	٤١,١	١٩	٢٠,٧	١٩,٢

(*) تم التعرف عليها من خلال المعادلة التالى : معادلة كالبر *Caillaux*

معادلة الاستدارة = $\frac{2 \times 1000}{L}$ حيث يتراوح بين ١ - ١٠٠٠ واقتراب الناتج من ١٠٠٠ يدل على شدة الاستدارة (جوده حسين وآخرون، ١٩٩١، ص ٢٢٨).



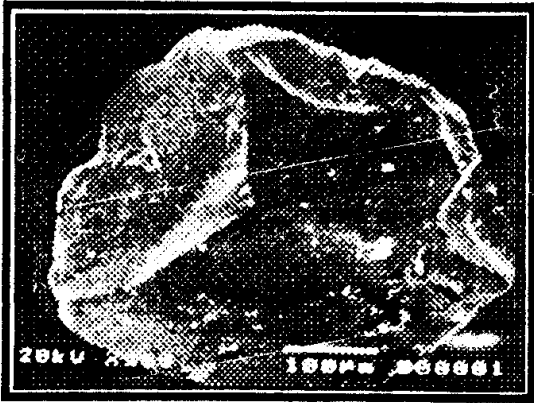
شكل (٨٣) العناصر الشكلية لرواسب
أسطم بعض المراحل الفيضية

- ارتفاع نسبة الأشكال الحادة إلى ٩٠,٣٪، حيث بلغت نسبة الأشكال الحادة فقط ٣٢,١٪، وهذا خير دليل على السرعة الشديدة للتيار المائي الذي نُقلت بواسطته هذه الرواسب، مع الأخذ في الاعتبار أيضاً احتكاك الرواسب مع بعضها البعض وبالقاع أيضاً مما عمل على تكسرها إلى أحجام مختلفة ترتفع بها نسبة الأشكال الحادة والمزوية.
- ارتفعت نسبة أشكال الرواسب المستديرة وشبه المستديرة في رواسب قمم المراحل كما في مروحة أودية أم دمرانة وأسخر وأبو عظام، بينما انخفضت نسبة الاستدارة نسبياً في رواسب أواسط وأدنى المراحل ويتفق هذا مع

معظم الدراسات التي ترى أن هناك انخفاضاً في درجة الاستدارة مع قلة حجم الرواسب وإن كانت هناك اختلافات على مستوى المراحل في المنطقة إلا أنها تعكس ظروف عمليتي النقل والإرساب في كل مروحة والظروف المناخية السائدة أثناء عملية النقل والإرساب لهذه المراحل.

- بلغ متوسط الأشكال القرصية ٤١,١٪ شكل (٨٢) وتزيد هذه النسبة لاسيما في رواسب قمم المراحل وقد يرجع ذلك لقصر المسافة التي قطعها هذه الرواسب أثناء نقلها، أو قد تزيد في قمم المراحل نسبة المفتات التي أتت بها السيول من المنحدرات الجانبية وألقت بها المياه في المراحل دون أن تتعرض لمسافات طويلة في نقلها، في حين بلغت نسبة الشكل القضبي والورقي إلى ١٩٪، كما ارتفعت نسبة الأشكال الكروية إلى ٢٠,٧٪ لاسيما في رواسب أدنى المراحل ذلك لطول المسافة التي نقلت خلالها وزيادة استدارتها وقلة أحجام رواسبها.

(ب) الخصائص الشكلية للرواسب الدقيقة : "خصائص أسطح السطح"



شكل (٨٣ أ) الخصائص الشكلية للرواسب الدقيقة
لخصائص أسطح السطح

تمثل دراسة الخصائص الشكلية لأسطح السطح بالنسبة للرواسب الدقيقة أهمية كبرى في التعرف على أهم الأشكال الدقيقة على أسطحها، والتي تعكس بدورها العمليات الجيومورفولوجية التي مرت بها وأيضاً الظروف الجغرافية والجيولوجية التي كانت لها انعكاساً على سطح تلك الحبيبات، كما تعكس أصل وتاريخ هذه الحبيبات، ولكن مع انتقال الحبيبات من بيئة إلى أخرى كأن تنقل من الشاطئ إلى السبخة المجاورة أو العكس أو

من الأحواض المائية إلى الشاطئ، أو بمعنى آخر تعرضها لأكثر من دورة ترسيب، ولذا فقد تصعب تحديد أصلها وتاريخها بالضبط في بعض الأحيان لأن العلامات السطحية القديمة قد تحمي وتحل محلها علامات سطحية جديدة.

ولذا فدراسة العلامات السطحية من الأهمية في أنها تعطي فكرة ظاهرية فقط، ولكن لا يمكن الاعتماد عليها بمفردها في تحديد بيئة الترسيب (محمد عبد العي عثمان، ١٩٩٧، ص ٤٢ - ٤٦). بناءً على ما سبق فقد قام المؤلف بدراسة بعض خصائص أسطح حبيبات الكوارتز لشاطئ البحر الأحمر باستخدام الميكروسكوب الإلكتروني ومن خلال الصور التي تم استخدامها شكل (٨٣ أ) اتضح ما يلي :

- تزيد استدارة رواسب الشاطئ الخلفي *BackShore*، حيث يقل البروز الخارجية للحبيبات وقد يُفسر ذلك بتعرضها لاضطرابات الأمواج التي أتت بها إلى منطقة الشاطئ الخلفي حيث يؤكد بيرد (Bird, 1970) أن استدارة حبيبات الرمال الهوائية تزيد عن الحبيبات التي تم نقلها بواسطة المياه، ويعمل ذلك بأن الفراغات التي تسير فيها الرمال المنقولة بالهواء تساعد على زيادة سادتها واحتكاكها ببعضها البعض مما يزيد من استدارتها، من هذا يمكن القول بأن حبيبات الشاطئ الخلفي قد تكون رومنت هوائية أرسبت في نطاق الشاطئ الخلفي بشواطئ المنطقة.
- زادت في حبيبات الشاطئ الأمامي البروزات الخارجية والتي ترجع إلى تكسرها أحياناً وإلى عدم نضجها أحياناً أخرى، ومن ثم لم تتم استدارتها وقد يكون لظروف البيئة البحرية المالحة تدخل في زيادة مثل هذه البروزات الخارجية.

- تظهر علامات الحفر الغائرة على أسطح الحبيبات وقد تأخذ أشكالاً طويلة أو دائرية وبصفة عامة تكثر هذه العلامات في الحبيبات البحرية (ذات الأصل البحرى)، وذلك لتعرضها للاضطراب الموجى، حيث تزيد الاضطرابات من هذه العلامات، وبصفة خاصة التيارات المكسرة ذات الرواسب الناعمة.
 - ظهرت بعض الأسطح في شكل معتم وبعضها في شكل لامع "مضى" هذا ويشير بريق أسطح بعض الحبيبات إلى انتظام انعكاس الضوء على أسطح الحبيبات، كما ترجع العتمة فوق سطح بعض الحبيبات إلى مثل العمليات الميكانيكية التي تسبب برى لسطح الشاطئ وقد ترجع عتمة الحبيبات إلى تلف السطح بالورنيش الصحراوي *Desert Varnish* ولا سيما حبيبات الشاطئ الخلفى حيث تتعرض لظروف المناخ الصحراوي التي تميز المنطقة مما يؤدي إلى صعود محلول السيلكا داخل الحبيبات وترسيبه على أسطح الحبيبات مما يعطى بريقاً مطفئاً لسطح الحبيبات الشاطئية.
 - ظهرت بعض العلامات التي تأخذ بشكل الحفر الغائرة (V) ومن الجدير بالذكر أن مثل هذه الحفر تزداد مع زيادة اضطراب الأمواج أو قد ترجع إلى تكسرها بسبب الاحتكاك والتصادم ببعضها البعض وبالقاع، أو نتيجة عمليات الزحف التي تتحرك بها سواء أكانت بحرية أم فيضية الأصل. (أحمد عبد السلام ومحمود عاشور، ٢٠٠٠، ص ص ٣٦ - ٣٧).
 - تظهر بعض الحفر الضحلة، والتي تكونت فوقها بعض الملامح السطحية الحديثة في نشأتها مثل الأطباق المقلوبة والفجوات الطويلة والحفر المتلاحمة، وتعطى مؤشراً على تعدد الدورات الترسيبية التي مرت بها، وكذلك أيضاً إشارة إلى طبيعة البيئات الهوائية والعينات المائية ونشاطها في عملية النقل والترسيب. (Mohran, T., 1994, p. 312).
- ... والخلاصة يمكن القول بأن خصائص أسطح الحبيبات وتميزها بمجموعة من العلامات السطحية، تفيد في معرفة مدى تنوع بيئات الترسيب والوقوف على أهم العوامل الجيومورفولوجية تأثيراً في منطقة الدراسة

(ج) التحليل الكيمياء للرواسب :

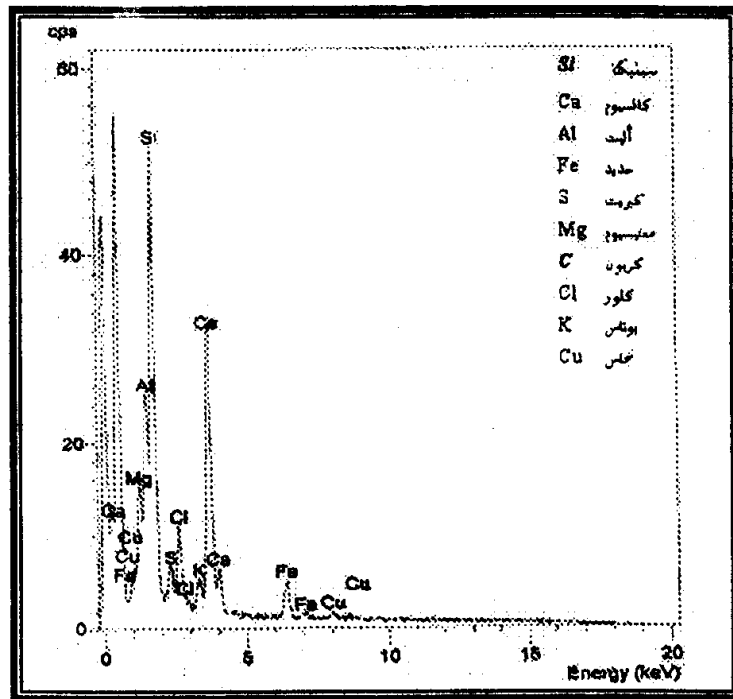
[التحليل المعدني للرواسب]

ويهدف هذا التحليل إلى معرفة المحتوى الكيميائي للرواسب لاسيما الرواسب الدقيقة منها (أقل من ٠.٠٧٤ مم)، ومعرفة المحتوى من الكربونات والسيلكا والحديد والكلوريدات ونسبة كل منها وتحديد خصائص ونسبة المعادن الثقيلة مثل الهورنبلد والبيروكسين والايديوت والزرتن وغيرها، وهذه المعادن تعطى مؤشراً على مصدر الرواسب التي تحتوي على هذه المعادن. شكل (٨٣ ب).

وقد استخدم المؤلف هذا النوع من التحليل على رواسب بعض المراحل الفيضية بمنطقة البحر الأحمر والتي تميزت بارتفاع نسبة السيلكا (Si)، حيث شغل نسبة ٦٥,٧٪، يليها الكالسيوم (Ca) ثم الأليت (Al) ثم الماغنسيوم (Mg) ثم الكلور (Cl) ثم النحاس (Cu) ثم الحديد (Fe)، ويفسر وجود السيلكا بنسبة مرتفعة عملية استخلاصها من حبات الرمال وإعادة إرسائها مرة أخرى، كما يفسر ارتفاع نسبة الكالسيوم إلى وجود الحجر الجيري السائد في رواسب المراحل، كما يفسر وجود نسب من الحديد على تواجد الرواسب الفيضية (رواسب المراحل) بالقرب من التكوينات الجيولوجية التي تحتوى على خام الحديد أو أن مصدرها من مناطق تحتوى على خام الحديد كما هو في جبال البحر الأحمر التي تمثل المصدر الرئيسى له لرواسب المراحل الفيضية بالمنطقة.

... مما سبق يمكن القول بأن تحليل الرواسب يهدف إلى معرفة مصدر الرواسب وكونها رواسب منقولة أم محلية والوقوف على بيئة الترسيب التي تشكلت فيها هذه الرواسب وأهم العمليات الكيميائية والميكانيكية التي تأثرت بها الرواسب.

كما ينوه المؤلف إلى أن هناك العديد من الطرق المختلفة للتحليل قد تفيد في أبحاث ودارسات مختلفة ولكن ما ورد هنا هو أهم وسائل التحليل التي يقوم بها الباحث في الجيومورفولوجيا.



شكل (٨٣ ب) العناصر الكيميائية لرواسب المراحل الفيضية

الفصل التاسع

القطاعات التضاريسية والتحليل
المورفومتري من الخريطة الكنتورية

أولاً : القطاعات التضاريسية.

ثانياً : التحليل المورفومتري.

الدراسة الميكانية والتجارب العملية في الجيومورفولوجيا

100

100

100

100

100

100

100

100

100

100

100

100

100

100

100

100

100

100

100

100

100

100

100

100

100

100

100

100

100

100

100

100

100

100

100

100

100

100

100

100

100

100

100

100

100

100

100

100

100

100

100

100

100

100

100

100

100

100

100

100

100

100

100

100

100

100

100

100

100

100

100

100

100

100

100

100

100

100

100

100

100

100

100

100

100

100

مقدمة :

القطاعات عبارة عن خطوط بيانية تهدف إلى تمثيل سطح الأرض ودراسة شكله العام على طول خط ما سواء أفقياً أو متعرجاً أو مائلاً ورأسياً.

ويمكننا من خلال تحليل القطاع أن نخرج بدراسة تحليلية جيدة للسطح على طول امتداده، ومن ثم فإنه كلما زاد عدد القطاعات كانت نتائج المعالجة أكثر إفادة لمنطقة الدراسة خاصة فيما يتعلق بصور الانحدار والتضرس والإلام باللامح التفصيلية على طول خطوط القطاعات المدروسة.

أولاً : القطاعات :

وتنقسم القطاعات التضاريسية التي تنم بالخرائط الكنتورية إلى عدة أنواع يتمثل أهمها فيما يلي :

(أ) القطاع التضاريسي المستقيم.

(ب) القطاعات التضاريسية المركبة (المتداخلة).

(جـ) القطاعات البانورامية.

(د) القطاعات الطولية للنهر والطرق.

(هـ) القطاعات العرضية للنهر.

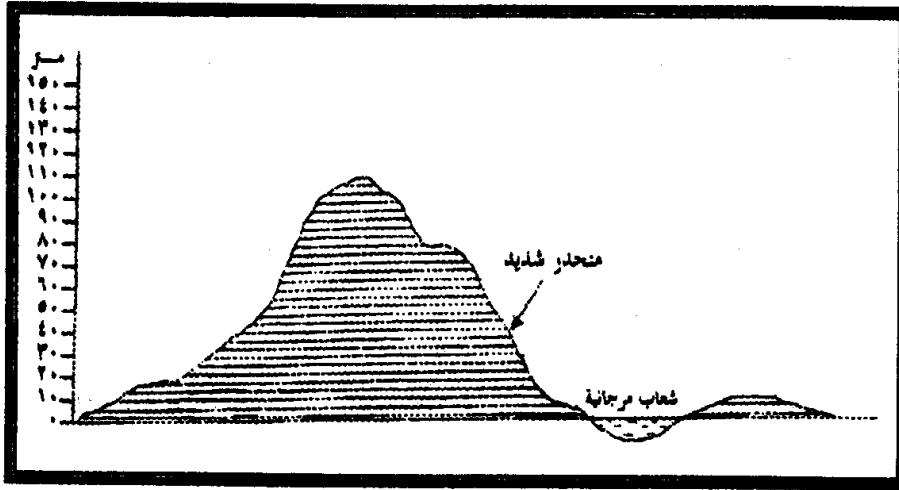
وفيما يلي إيجاز لطرق رسم هذه القطاعات وأهميتها في المعالجة الجيومورفولوجية :

(أ) القطاع التضاريسي المستقيم :

يتم رسمه بين نقطتين على الخريطة الكنتورية يتم تحديدهما وترميزهما. ويتم رسمه على النحو التالي :

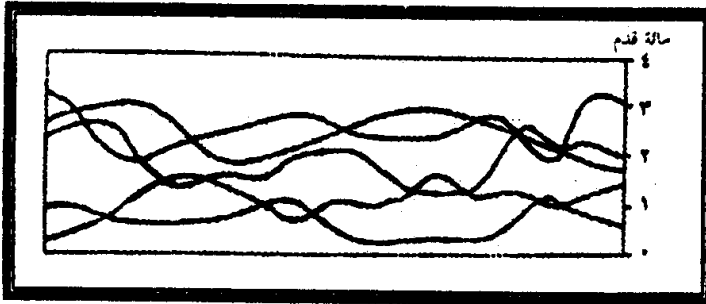
- نضع ورقة بحيث حافتها مع خط القطاع المراد لرسمه.
- نحدد نقط تلاقي خطوط الكنتور مع حافة الورقة وتسجيل عليها مناسبتها في مواضعها.
- يقاس طول القطاع المطلوب على الخريطة وينقل بنفس قياسه على ورق ملليمترات ويرسم محور أفقي على ضوء مناسيب الكنتورات المنقولة على الورقة الأولى، ثم يرسم محور رأسى على الطرف الأيسر للمحور الأفقي ونقوم بتدريج نفس مقياس رسم الخريطة أو بنوع من المبالغة الرأسية الملائمة.
- نقيم على نقطة منسوب العمود المطابق في ارتفاعه لها وذلك وفقاً للمقياس المدون على الحور الرأسى ثم يوصل بين الأطراف العليا لهذه الأعمدة والتي يتم حذفها بعد رسم القطاع المطلوب ويمكن أن يكون القطاع أو نطلله.
- يشترط وضع اتجاه الشمال وقيمه المبالغة الرأسية *Vertical Exaggeration*^(١) مع كتابة بعض الملامح والأشكال الجيومورفولوجية الرئيسية الموجودة على طول امتداد القطاع شكل (٨٤).

(١) المبالغة الرأسية نتائج الفاصل الرأسى ÷ مقياس رسم الخريطة والهدف منها يعمل في إظهار التضاريس بشكل مناسب ومبالغ فيه بدرجة ما مقارنة بالمقياس الأفقى (مقياس رسم الخريطة)، وعادة ما تقل المبالغة الرأسية وتلقى في حالة التضاريس البارزة وبينما تريد في حالة التضاريس الباهنة.



شكل (٨٤) قطاع تضاريسي مستقيم

(ب) القطاعات التضاريسية المتداخلة : *Super Imposed Profile*

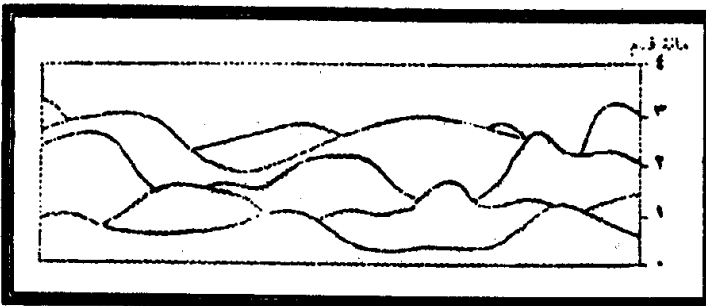


شكل (٨٥) القطاعات المتداخلة

يتم رسمها في شكل بنفس الكيفية التي تم بها رسم القطاع المستقيم حيث يمكن رسم أكثر من خط مستقيم ممتدة في موازاة بعضها وعلى مسافات متساوية، ويهدف رسمها إلى إبراز معالم سطح الأرض في منطقة واسعة ومواضع متفرقة من الخريطة

الكتورية ويعطى صورة عامة للانحدار وأشكال السطح على طول امتداداتها وتفيد كذلك في عمليات التحليل الجيومورفولوجي للمنحدرات (محمد محمود طه، ٢٠٠٠، ص ٨٤) شكل (٨٥).

(ج) القطاعات البانورامية :

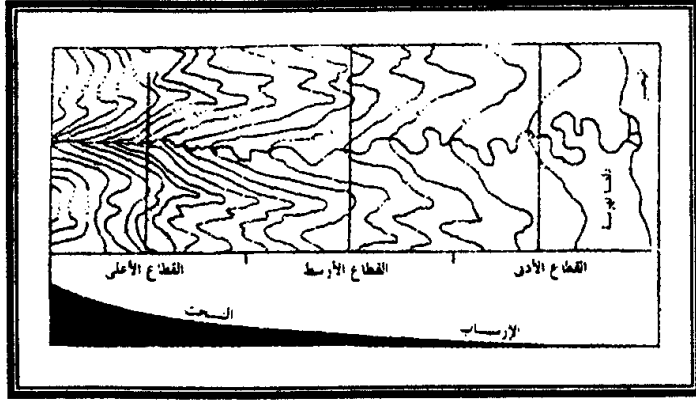


شكل (٨٦) القطاعات البانورامية

هي تقريباً القطاعات المتداخلة وتختلف عنها فقط في حذف الأجزاء من القطاع يخفيها القطاع الممتد أمامه ومعنى ذلك أن القطاع الأول يرسم كاملاً أما القطاع الثاني يتم رسم أجزائه التي تعلو القطاع الأول وهكذا، ويهدف رسم

هذه القطاعات إلى إعطاء صورة شاملة عن منحدرات المنطقة وأشكال سطحها شكل (٨٦).

(د) القطاع الطولي للنهر :

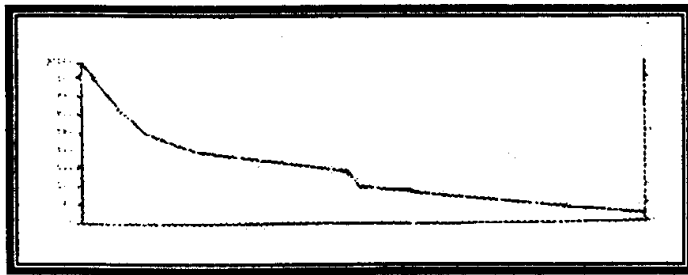


شكل (٨٧) قطاعات طولية على الأنهار

يمثل القطاع الطولي للنهر انحدار المجرى، وتتميز الأنهار دائمة الجريان والمجاري المائية الفصلية بوضوحها على الخرائط الكنتورية وهي تختلف في ذلك عن خطوط الجريان في المناطق الجافة وشبه الجافة، ولعل السبب في ذلك يرجع إلى أن الأولى واضحة ومحدودة في الطبيعة والثانية غير ذلك. كما أن الأنهار دائمة الجريان

يصيبها بعض التغيرات البيئية وهي أيضاً تختلف في ذلك عن الأودية الجافة ولذلك فإن العديد من الخرائط الكنتورية التي تمثل المناطق الجافة وشبه الجافة لا تظهر بها كل خطوط الأودية الجافة.

ومن أهم ما توضحه القطاعات الطولية للأنهار أو الأودية الجافة المرحلة التي يمر بها القطاع، فهناك القطاعات المتعادلة وغير المتعادلة هذا بالإضافة إلى تحديد المراحل العمرية على طول خط القطاع (شباب، نضج، شيخوخة) شكل (٨٧) وبصفة عامة يدل ببطء الانحدار والشكل المقعر للقطاع على صفة التعادل، كما يدل وجود نقط التقطع في بعض أجزاء القطاع على صفة عدم التعادل، ولرسم القطاع الطولي للنهر نتبع الخطوات التالية : (محمد صبرى وأحمد الشريعى، ١٩٩٦، ص ٢٣١).



شكل (٨٨) قطاع طولى لأحد الأنهار

(١) نرسم خطاً أفقياً على الورقة المخصصة لرسم القطاع الطولي ويسمى هذا الخط قاعدة القطاع.

(٢) نقيم عموداً رأسياً عند أحد طرفي خط القاعدة ونحدد على هذا الخط الرأسى الارتفاعات كما توضحها

الخريطة الكنتورية.

(٣) يفضل أن تختار قيم الارتفاعات بالسنتيمترات على طول المحور الرأسى بشيء من المبالغة الرأسية.

(٤) يستخدم المقسم Divider لقياس طول المجرى المائى بين كل خطى كنتور متتالين وذلك بفتحة المقسم فتحة دقيقة لا تزيد عن ٣ مم.

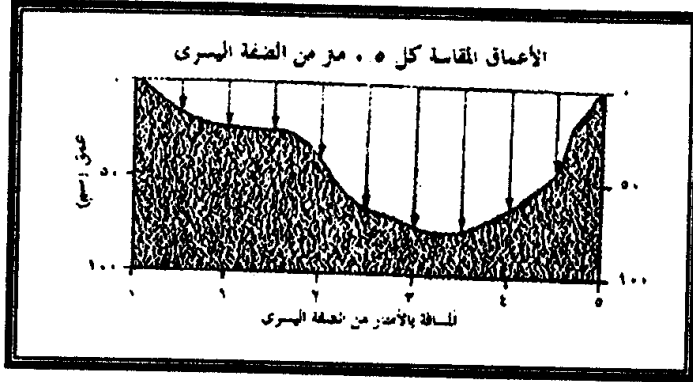
(٥) للحصول على طول المجرى المائى بين خطى كنتور متتالين نقوم بضرب قيمة فتحة المقسم في عدد النقلات.

(٦) نقوم بتوقيع المسافة المقاسة بواسطة المقسم أمام كل ارتفاع حسب التقسيم الموضح على المحور الرأسى بالقطاع ونستمر في هذه العملية حتى نهاية المجرى المائى.

(٧) نصل بين النقط المحددة على خط القطاع بخط يرسم باليد فنحصل في النهاية على القطاع الطولى للنهر شكل (٨٨).

(هـ) القطاعات العرضية للأودية :

تفيد هذه القطاعات في التعرف على المرحلة التطورية للأودية، كما تعطى فكرة عامة عن العمليات الجيومورفولوجية المؤثرة في شكل القطاع العرضي كمعدلات النحت والإرساب والعمليات البنيوية المختلفة، وقد نحتاج إلى تصميم أكثر من قطاع عرضي وخاصة في المجارى المائية الكبيرة وذلك للتعرف على تفاصيل أكثر عن الشكل العام للقطاع وخصائصه.



شكل (٨٩) قطاع عرضي على أحد الأنهار

وإلى حد كبير يدل شكل الوادى على المرحلة التطورية فقد أوضح "وليم موريس ديفز" في دراسات عديدة له على أن شكل حرف (V) يدل على مرحلة الشباب للأودية، كما يدل شكل حرف (U) على مرحلة النضج، أما إذا كان جانبي الوادى متباعدين جداً وبطيئة الانحدار فهذا يعنى مرحلة الشيخوخة شكل (٨٩) والذي يوضح قطاعاً عرضياً لقناة نهرية.

ولا تختلف طريقة رسم هذه القطاعات عن طريقة رسم القطاعات المتداخلة (المتسلسلة) من حيث أن الخطوط التي ترسم على طولها القطاعات العرضية للأودية النهرية تكون قاطعة أى عمود على اتجاهات هذه الأودية.

ولرسم هذا النوع من القطاعات نتبع الخطوات التالية :

- (١) لتحديد مواقع القطاعات العرضية على الخريطة.
- (٢) يتم نقل تقاطع خطوط الكنتور على المجرى المائى.
- (٣) يحدد على القطاع الطولى للمجرى النهري فقط تقاطعه مع القطاعات العرضية.

ثانياً : تحليل الانحدارات والارتفاعات :

(أ) معدل الانحدار :

يتم حساب معدل الانحدار من الخريطة الكنتورية على النحو التالى :

تحدد نقطتين متباعدتين وفي موضعين مختلفين في الارتفاع على أن يتم حساب الفارق الرأسى بينهما - الفارق في الارتفاع - مثال أن تكون إحداها على منسوب ٢٠٠ متر والأخرى على منسوب ٣٠٠ متر، ومعنى ذلك أن الفارقة بينهما ١٠٠ متر فإذا ما كانت المسافة بينهما ٢٠٠٠ متر (كيلومترين) فإن سطح الأرض ينحدر بينهما بمعدل ١٠٠ متر (الفاصل الرأسى) لكل ٢٠٠ متر (المسافة أفقية ٢٠٠٠ متر) أى أن معدل الانحدار يبلغ ٢٠/١.

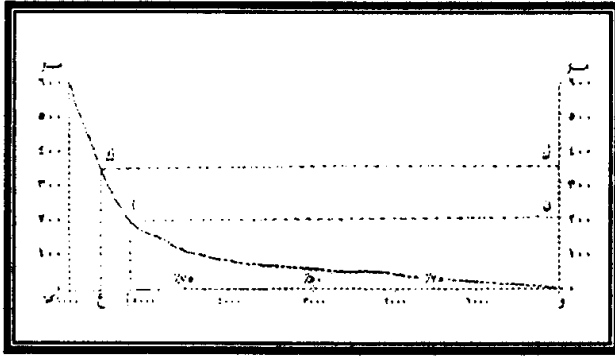
(ب) درجة الانحدار :

يمكن الحصول عليها من حساب الفارق الرأسى بين النقطتين المذكورتين أفقياً ثم يتم قياس المسافة الأفقية بينهما على الخريطة ومن خلال مقياس الرسم بالخريطة يتم تحويلها إلى أطوال بالتر أو بالقدم حسب نوع وحدة القياس على الخريطة ثم نقسم الفارق الرأسى بين النقطتين على المسافة الأفقية ونضرب الناتج في رقم (٦٠)^(١) وهو رقم ثابت والناتج يمثل زاوية الانحدار. ويمكن استخدام الآلة الحاسبة^(٢) للحصول على قيمها بسهولة خاصة فيما يتعلق بالقياسات الخاصة بالأراضى المنحدرة.

كما يجب تحديد اتجاه الانحدار على طول خط القياس بين النقطتين المراد حساب معدل الانحدار أو درجته وذلك باستخدام المنقلة على الخريطة.

(ج) تحليل الانحدار والارتفاعات :

(أ) المنحنى الهبسومتري :



شكل (٩٠) المنحنى الهبسومتري

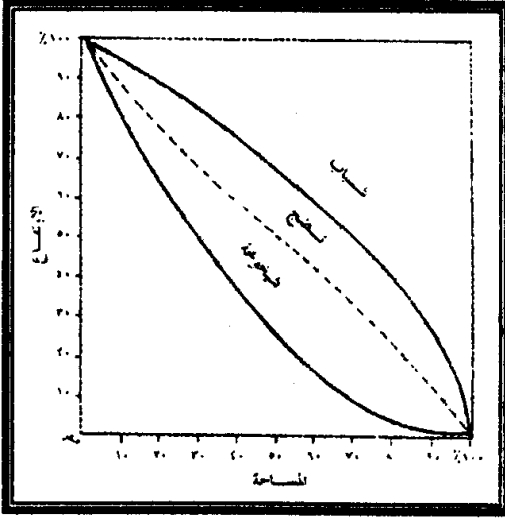
وهو منحنى تكرارى متجمع يوضح العلاقة بين ظاهرتين متغيرتين هما الارتفاع والمساحة، وهو يعد أيضاً ضمن الطرق المورفومترية التى تعطى فكرة شاملة عن السطح وخصائصه ويمكن إتباع الخطوات الآتية في تصميم هذا المنحنى :

- تقاس مساحة كل من النطاقات الكتورية - المساحة بين كل خطى كتور متالين - قياساً دقيقاً باستخدام أجهزة قياس المساحات على الخرائط.
- نرسم محورين أفقى لتمثيل المساحات ورأسى لتمثيل الارتفاعات، ويراعى في تقسيم المحور الأفقى تقسيمه إلى أجزاء قياسية تكتب عليها أرقام بالتدريج تنتهى بالمساحة الكلية لجميع النطاقات.
- ينبغى مراعاة ما يجب مراعاته في رسم المنحنيات التكرارية المتجمعة بصفة عامة في أن توقع النقط التى يرسم هذا المنحنى عند الحد العلوى لفئة المنسوب، أى أمام الرقم الثانى من رقمى كل نطاق كتورى وكذلك عند الحد العلوى للمساحة المقابلة لكل نطاق.
- إذا كان من المفضل أن تبين المساحات للنطاقات الكتورية كنسب مئوية فيمكن توضيح ذلك على المحورين الأفقى والرأسى وذلك بكتابة أرقام تبدأ من الصفر وتنتهى إلى ١٠٠٪ عند نهاية كل من المحورين شكل (٩٠).

$$\text{زاوية الانحدار} = \frac{\text{الفصل الرأسى}}{\text{المسافة الأفقية}} \times 60^\circ$$

(٢) يتم ذلك بالضغط على $mv+tan$ أو $ARC+tan$ أو $shift+tan$ (للاستزادة راجع محمد محمود طه، المرجع السابق، ص ٥٧).

ولا شك في أن المنحنى الهيسومتري المصمم بالنسب المتوية يعد على درجة كبيرة من الأهمية خاصة في الدراسات المقارنة بين أحواض التصريف النهرى وفي هذا المجال يذكر ستريلر Strahler أنه ليس هناك شروطاً متفق عليها لتناسب طول المحور الأفقى مع المحور الرأسى إلا أن من المفضل في دراسات التصريف النهرى وتوضيح خصائص الأحواض أن يتمثل طول المحورين.



شكل (٩١) المنحنى الهيسومتري والمرحلة الجيومورفولوجية لحوض النهر التى يدل عليها تبعاً لما ذكر آنفاً

ويدل المنحنى الهيسومتري على المرحلة الجيومورفولوجية التى يمر بها حوض التصريف إذ أن المنحنى إذ وقع بشكل ممتد بعيداً عن نقطة الأساس فهذا يعنى مرحلة الشباب، وإذا كان فى موقع متوسط فهذا يعنى مرحلة النضج، أما إذا كان المنحنى يمتد معظمه بالقرب من نقطة الأساس فهذا يدل على مرحلة الشيخوخة شكل (٩١).

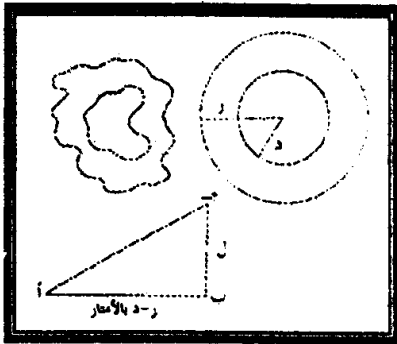
(٣) المنحنى الكليوجرافى : Clinographic

لا يمكن الاعتماد على المنحنى الهيسومتري فى معرفة درجة الانحدار السطح فهو منحنى إحصائى أقصى ما يمكن أن يوضحه التغير فى السطح وشكل الانحدار وذلك حسب ضيق المساحة أو اتساعها فى فئة المنسوب.

وفيد المنحنى الكليوجرافى فى معرفة متوسط الانحدار بين كل خطى كنتور متتالين، ولمعرفة درجة الانحدار بين كل خطى كنتور متتالين فى الخريطة الكنتورية نتبع الخطوات التالية :

وللحصول على درجة الانحدار بين خطوط الكنتور تقاس المساحة اخصورة بين الخطوط الكنتورية، وتعامل هذه المساحات وكأنها مساحات دوائر منتظمة ومنها يمكن استنتاج نصف القطر، وكما هو معروف أن مساحة الدائرة = $\pi \times \text{نق}^2$ ، أى نصف القطر.

$$\text{نق} = \sqrt{\frac{\text{المساحة}}{\pi}} \quad , \quad \text{أنظر الشكل (٩٢)}.$$



شكل (٩٢) فكرة المنحنى الكليوجرافى

وتعتبر أنصاف اقصار الدوائر المثلثة للمساحات المحصورة بخطوط الكنتور هي الخطوط الأساسية في حساب درجة الانحدار بين كل خط كنتور وآخر فالفرق بين نصفى قطر دائرتى خطى كنتور متتالين يمثل المسافة الأفقية.

والذى يتضح فيه أن الضلع (أ ب) ممثلاً للفرق بين نصف القطر والضلع (ب ج) ممثلاً للفاصل الرأسى بالخريطة وهو ثابت، والزاوية (ب أ ج) هي زاوية الانحدار ويمكن معرفتها بتطبيق القانون التالى :

$$\text{ظا الزاوية} = \frac{\text{المقابل}}{\text{الجاور}} = \frac{ل}{د - ر}$$

حيث أن :

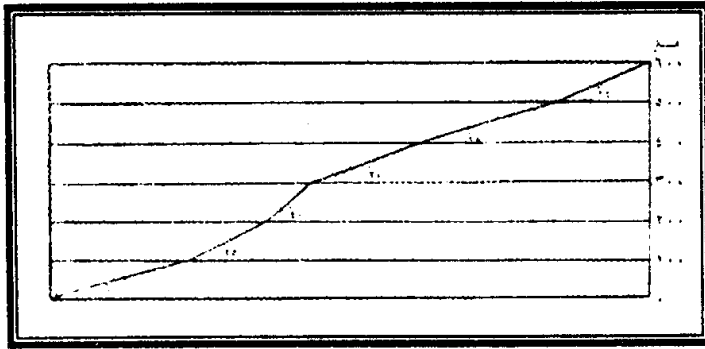
ل = الفاصل الرأسى بين خطوط الكنتور.

ر = نصف قطر الدائرة الكبرى.

د = نصف قطر الدائرة الصغرى.

وبذلك نحصل على درجة الانحدار بين خطوط الكنتور بالخريطة، ولرسم هذا المنحنى نتبع

الخطوات التالية :



شكل (٩٣) المنحنى الكليوجرافى

- نرسم محورين أحدهما أفقى والآخر رأسى حيث يمثل طول المحور الأفقى بواسطة نصف قطر الدائرة المثلثة لأدنى خط كنتور بالخريطة ويختار له مقياس رسم مناسب أو يستخدم مقياس رسم الخريطة الكنتورية.

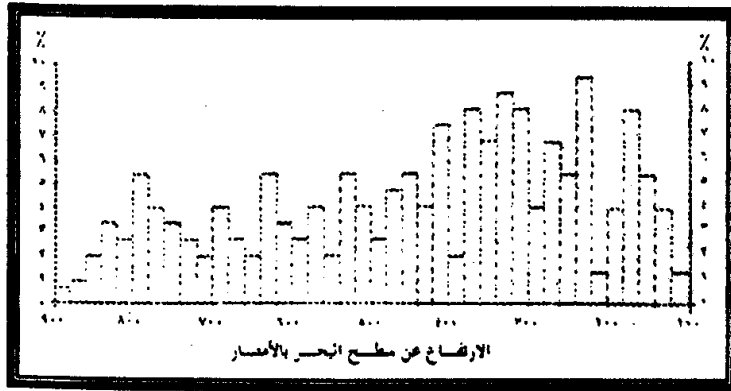
- نبدأ المنحنى الكليوجرافى باستخدام المنقلة وتوقيع كل زاوية انحدار بين كل من خطى كنتور متتالين. رسم الخطوط الدالة على زوايا الانحدار المختلفة على استقامتها فنحصل على خط المنحنى، شكل (٩٣).

(٣) المنحنى الألتيمتري : Altimetric Frequency

قد يكون معرفة المنسوب الدقيق المنسوب الدقيق لنقطة ما فوق سطح اليابس أقل أهمية من معرفة العلاقة بين مناسيب مجموعة عديدة من النقط على حدة وهذا ما يوضحه المنحنى الألتيمتري. يفيد هذا المنحنى في معرفة العديد من الظواهر التي تتعلق بالتعرية وهو يعتمد في إنسنه على طريقة العمدة البيانية النسبية للتوزيعات التكرارية، أى توضيح المناسيب التي يتركز بها التكرار الكبير، ولا شك في أن العدد الكبير هنا ينفي احتمال وجود سطح التعرية.

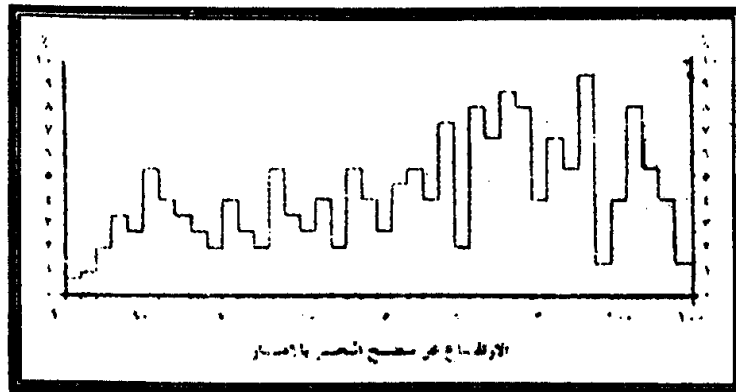
ولرسم هذا المنحنى نتبع الخطوات التالية :

- نرسم محورين أفقي ورأسي ونوقع على المحور الأفقي الارتفاعات من واقع الخريطة كنتورية وعلى المحور الرأسى المساحات فتكون المساحة المحصورة بين كل خطى كنتور متينين أمام المحور الرأسى على شكل عمود يرتكز على ارتفاع هذا المنسوب عن سطح البحر انظر الشكل (٩٤) والشكل (٩٥).



شكل (٩٤) طريقة إنشاء المنحنى الألتيمتري

- نحذف الخطوط التي تنتهى عند قاعدة الشكل. ويفيد هذا المنحنى في إظهار العلاقة بين نقط المناسيب بعضها ببعض، كما يفيد أيضاً في معرفة التطورات التي طرأت على الأشكال الأرضية التي توضحها الخريطة الكنتورية.



شكل (٩٥) المنحنى الألتيمتري

(٤) كوربلث الانحدار :

تهدف هذه الطريقة إلى تحديد المساحات المشتركة في فئة واحدة من فئات الانحدار ويتم إنشاؤها من خلال الخطوات التالية :

- يتم تقسيم الخريطة الكنتورية إلى مربعات متساوية بحيث تتناسب مع كثافة خطوط الكنتور في علاقة طردية.
- يتم حساب معدل الانحدار داخل كل مربع في الاتجاه الأشد انحداراً وتوقع الدرجة وسط المربع.
- يتم تقسيم نتائج القياس (قيم الانحدارات) إلى مئات مناسبة ويتم تظليلها الأخف ظلاً للأقل قيمة وهكذا.

(٥) خريطة الانحدارات : ممثلة بالنقط (خريطة معدل الانحدار)

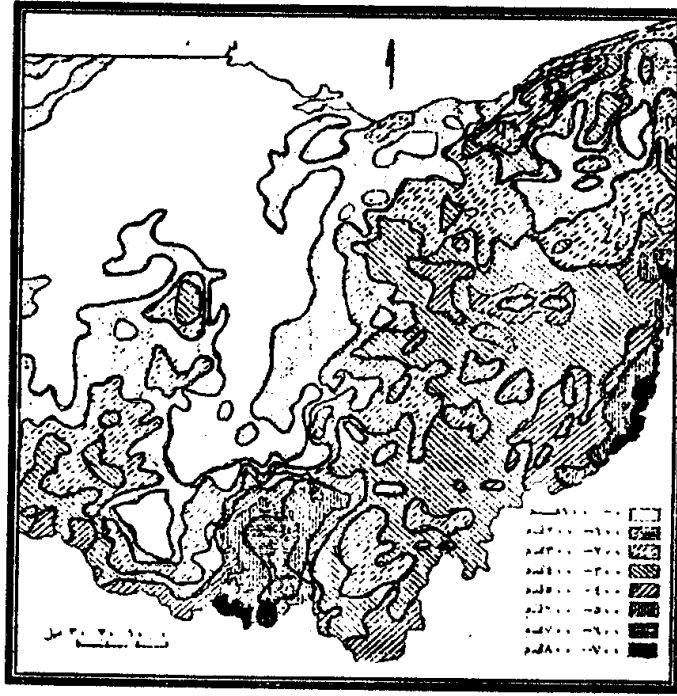
"خريطة معدل الانحدار" يتم التقسيم كما الحال في الطريقة السابقة (كوربلث الانحدار) إلى مربعات وتوقع النقط داخل كل مربع بحيث يزداد عددها مع زيادة درجة الانحدار بمعنى أن الانحدار بفئة ما بين (صفر - ٤) يقع لها نقطتان ومن (٤ - ٨) يقع بالمربع أربع نقاط وهكذا ينتهي الأمر بعمل خريطة انحدار باستخدام النقطة والتي تكون أكثر دقة في إعطاء الصورة الواقعية للانحدارات خاصة فيما يتعلق بالمناطق الوعرة شديدة الانحدار وإن كانت قيمتها تقل في المناطق الأقل تضرساً أو الأكثر تجانساً في خصائصها التضاريسية (للاستزادة محمد صبرى محسوب وزميله، ١٩٩٦، ص ٢٤١).

ويؤخذ في الاعتبار اختيار مدلول النقطة بحيث لا تتلاحم داخل المربعات المزدهجة أو تتعثر بشكل ملفت في المربعات ذات الانحدار المعتدل.

(٦) خريطة التضاريس النسبية (المعلبية) :

بالنظر إلى أية خريطة كنتورية تدرك بأننا لا نستطيع أن نشعر بالمنسوب الحقيقي بالنسبة لسطح البحر ارتفاعاً أو انخفاضاً بقدر ما يتجسد في الذهن من اختلاف مناسيب النقط بالنسبة إلى بعضها البعض، وهذا يعني أن الحكم على طبيعة منطقة ما (جبلية - هضبية - سهلية) ليس بالأمر السهل على قارئ الخريطة الكنتورية للمناطق المحدودة المساحة، وبشكل آخر نقول بأن الاعتماد على قراءة خطوط الكنتور وحدها لا تعطى فكرة وافية عن طبيعة المنطقة، وهذا يوضح أهمية دراسة العلاقة بين المرتفعات والمنخفضات في منطقة ما، أو ما يمكن أن نسميه التضاريس النسبية.

وقد قدم *Smith, 1935, pp: 284* أول دراسة حول هذا الموضوع وكانت بولاية "أوهايو" بالولايات المتحدة الأمريكية، وقد استخدمت في هذه الدراسة خريطة كنتورية عامة للولاية بمقياس ١ : ٦٠٠,٠٠٠ وقد قُسمت منطقة البحث إلى مجموعة مستطيلات ٤,٤ × ٥,٧ ميل في الطبيعة ثم قام بحساب الفرق بين أعلى منسوب وأدنى منسوب داخل كل مستطيل ثم وصل بين النقط المتساوية في الفروق بخطوط تساوى وذلك بفارق رأسى قدره ١٠٠ قدم، وقد استخدم *Smith* التظليل لإبراز المناطق المتشابهة في تضاريسها، أنظر الشكل (٩٦).



شكل (٩٦) التضاريس النسبية في أوهايو

وقد أخذ ديكسون Dickinson, G., C., 1973 عن Smith سميت طريقته وطبقها بمنطقة شمال إنجلترا واستخدم في ذلك الخرائط الطبوغرافية الإنجليزية مقياس ١ : ٦٣٣٦٠ وحدد لها أكثر من فاصل رأبي، إلا أن خريطة



شكل (٩٧) خريطة معدل ارتفاع التضاريس

ديكسون كانت مختلفة، فهو لم يعتمد على خط القيم المتساوية في إبراز الاختلاف ولكنه فضل استخدام تظليل المربعات فقط.

وقد اقترح ملر Miller إمكانية تطوير هذه الطريقة وذلك بقسمة المدى الرأسى بين أعلى نقطة وأوطأ نقطة على المسافة الأفقية بينهما ثم رسم خريطة بخطوط متساوية بالقيم المستخرجة لتمثيل معدل الانحدار (طه جاد، مرجع سابق، ص ٩٤).

وبصفة عامة يمكن القول أن خريطة سميت تناسب مع المناطق ذات التكوين الرسوبى الأفقى والتي تتميز بالحدار منتظمة وهذا غالباً لا يكون إلا في مناطق السهول، وأيضاً في المناطق الهضبية ذات الأسطح شبه المستوية وهذا يعنى أن هذه الطريقة تناسب مع الظواهر ذات التاريخ الفيزيوجرافى البسيط.

وقد استخدم كل من رويس وهنرى نفس الطريقة وقاما بتطبيقها في شرق الولايات المتحدة الأمريكية (ولايات ماساتشوستس، رودايلند، كنيكت) وخرجا بنتائج غير مرضية، مما جعلهما يذكران في طريقة أخرى جديدة اعتمدت على تقسيم الخريطة إلى مربعات صغيرة على أساس كثافة الخط الكنتور في كل مربع شكل (٩٧).

وما من شك في أن هذه الطريقة تعد من الطرق المثالية في المناطق ذات التباين النسبي القليل بين التضاريس ومن ثم فهي لا تصلح كمعيار لمعرفة التضاريس المحلية في السهول التحاتية حيث الأودية العميقة والتلال البارزة. كما أنها لا تصلح في المناطق المعقدة جيولوجياً والتي تعاقب عليها أكثر من دورة تحاتية.

(٧) خريطة معدل ارتفاع التضاريس :

وتهدف هذه الخريطة إلى توضيح نسبة الأراضي - المرتفعة أو المنخفضة - إلى إجمالي مساحة الخريطة. كما أنها تفيد بشكل عام في التعرف على أنواع الانحدارات. يتم رسمها على النحو التالي :

- وضع ورقة كلك على خريطة كنتورية ورسم شبكة مربعات وتوقع عليها قيمة الخط كنتور بالمربع داخله.
- تظليل المربعات بدرجات حسب القيم الموجودة ثم مسح المربعات ذات الظل الواحد

ثالثاً : التحليل المورفومتري للخريطة الكنتورية :

مقدمة :

يقصد بالتحليل المورفومتري ذلك النوع من التحليل الذي يتناول ظاهرات سطح الأرض معتمداً أساساً على الأرقام والبيانات المأخوذة من الخريطة الكنتورية والصور الجوية والفضائية وبجانب الدراسات الحقلية في مناطق ظهور الظاهرات المطلوب تحليلها ودراستها مثل مجرى نهر أو قطاع في ساحل وغير ذلك من ظاهرات وأشكال.

والحقيقة أن وسائل التحليل الكمي قد بدأت تحتل مكاناً بارزاً في دراسة الخصائص الجيومورفولوجية لأشكال سطح الأرض وتحل محل الأساليب الوصفية في تحليل شبكات التصريف النهرية والسفوح والأحواض وأشكال الإرساب الرملية وقطاعات السواحل وما بها من ملامح مورفولوجية متعددة.

وكما ذكر آنفاً فإنه من الواجب الأخذ في الاعتبار أن الدراسة التحليلية والتفسيرية الدقيقة للخريطة الكنتورية لا بد أن تكون مزعومة بدراسة ميدانية للمكان، مع إمكانية استخدام الصور الجوية المتاحة للمنطقة محل الدراسة، ولا ننسى كذلك مدى الفائدة التي يمكن أن تعود على النتائج من خلال الاستعانة بالخرائط الجيولوجية.

وبالنسبة لدراسة وتحليل وتتبع مراحل التطور التي مرت بها منطقة من الخريطة الكنتورية. و.د. في هذه الحالة يجب الاستعانة بسلسلة من الخرائط الكنتورية أو من الصور الجوية بتواريخ مختلفة لنفس المنطقة مثل تطور لسان ساحلى *Coastal Spit* أو تطور خط الشاطئ لمنطقة معينة أو تطور مساحة لاجون ساحلى أم تطور قطاع في مجرى نهر ما كما سيتضح ذلك من الصفحات القادمة. و.د. م. حار تركيز الدراسة خلالها على التحليل المورفومتري لأحواض التصريف النهري وسكده مع حار لاستخدام الوسائل الكمية في معالجات مورفومترية لبعض الظاهرات الجيومورفولوجية الأخرى يهدف استخدام أساليب التحليل المورفومتري إلى زيادة معلوماتنا عن النظام النعلى لشبكة التصريف المائى وتسهيل عملية التصنيف النوعى لها إلى جانب المساعدة فى معرفة العلاقة بين أحواض التصريف وقنواتها المائية (شبكة الجارى) ومعرفة إمكانية المقارنة بين أحواض التصريف المختلفة، ثم محاولة التوصل إلى تعميمات مفيدة وقوانين - إذا أمكن - تحكم العلاقة بين الأحواض والجارى المائية بطرق موضوعية وأساليب رياضية (صفوح خير، ١٩٩٠، ص ٣١).

(أ) تركيب النظام النهري :

من الأمور الأساسية فى ذلك معالجة خصائص حوض التصريف النهري ودراسات شبكات القنوات النهريّة التى يتضمنها داخله، وكذلك منطقة تقسيم المياه التى تحدّه (تخطيط به) وتفصله عن غيره من أحواض تصريف مجاورة. والواقع أن تنظيم شبكة القنوات النهريّة ذات أهمية كبيرة، لأنها تعكس كفاءة خطوط التصريف الرئيسية فى نقل كل من الطاقة *Energy* والمواد *Materials* التى تتدفق داخل نظام حوض التصريف النهري، إلى جانب ذلك فإن العديد من الخصائص المورفولوجية للحوض (حجمه وطول قنواته وكثافة تصريفه) يمكن أن ترتبط ارتباطاً مباشراً بالخصائص الهيدرولوجية مثل تصريف الماء من الحوض. وكما نعرف فإن الحوض النهري توجد بها مجموعة من الخصائص *Properties* التى يمكن قياسها، مما يساعد على تجديد خصائص الشبكة وحوضها والتى يُظهر الجدول التالى (٢١) بعضاً منها والخاص بخصائص حوض التصريف.

جدول (٣١) المتغيرات المورفولوجية لأحواض التصريف النهري

الرمز وشكل المعادلة	المتغير
(B.G) Basin Geometry :	أولاً هندسة الحوض
AU	(١) مساحة الحوض
LB	(٢) طول الحوض
Br	(٣) عرض الحوض
BP	(٤) محيط الحوض
مساحة الحوض كم ^٢ (AU) ÷ مساحة دائرة تتساوى مع نفس الحوض في طول المحيط.	(٥) استدارة الحوض =
قطر دائرة مساوية لمساحة الحوض بالكم ^٢ ÷ طول محيطه.	(٦) استطالة الحوض =
مساحة الحوض بالكم ^٢ ÷ مربع طول الحوض بالكم.	(٧) شكل الحوض =
محيط الحوض بالكم ÷ محيط دائرة يكافئ مساحتها مساحة الحوض بالكم.	(٨) معامل الاندماج =
	ثانياً قياس الارتفاعات
أعلى نقطة في منطقة تقسيم المياه - أدنى نقطة (عند المصب) $H = z - z$	(١) التضرس الكلى =
الفارق التضاريسي (التضرس الكلى) ÷ طول الحوض بالمتر $Rh = H/Lb$	(٢) معدل التضرس =
التضرس الكلى بالمتر ÷ محيط الحوض بالمتر $\times 10$.	(٣) التضاريس النسبية =
	(٤) قيمة الوعورة =
$CM = H \text{ ton } Q$ حيث أن (H) يمثل ارتفاع المنطقة و (ton Q) يمثل ظل الزاوية متوسط الانحدار داخل الحوض ^(١) .	(٥) دليل التضرس =
(ظناح = ف × ع ÷ ٣٣٦٦ رقم ثابت ^(٢)) حيث أن (ظناح) = ظل زاوية الانحدار، (ف) = الفاصل الرأسى بين خطوط الكنتور محسوباً بالأقدام، (ع) = عدد خطوط الكنتور التي تمر بخطوط القطاعات في كل ميل واحد، وتعرف هذه المعادلة ونتورث Wentworth Equation.	(٦) معدل انحدار السطح =

وعادة ما يظهر التحليل الإحصائي أن أغلب التباين في القياسات المورفومترية لأحواض التصريف النهري ترجع إلى التباين في مساحة الحوض ومجموع أعداد القنوات المائية ومعدل التضرس الكلى للحوض *Total Relief* وتكرار الرب وغيرها

(١) استنتج فوربييه دليل التضرس Relief Index والذي يدعى أقل من (٦) فمعنى ذلك أن النهر وحوضه يوجدان في منطقة ذات مناخ معتدل، والآن إذا عرفنا فترته بوحدة في مظهر مدانية ١:١٠٠٠٠٠٠

فقد ظهر أن هناك ارتباطات قوية بين المتغيرات التالية :

(أ) كل من مساحة الحوض ومجموع أطوال القنوات المائية في كل رتبة ومتوسط أطوالها في الرتبة الواحدة.

(ب) العدد الكلى للقنوات المائية وعدد القنوات في كل رتبة. ط

(ج) تكرار القنوات وكثافة التصريف ونسبة التضرس الكلى للحوض.

(د) التضرس الكلى للحوض والتضرس النسبي الخلى لجانبى الوادى.

وقد أضاف ملتون *Melton, 1958* زاوية السفوح الجانبية ورقم الوعورة واعتبرهما من العناصر الأساسية الهامة في نظام حوض التصريف، حيث تمثل جوانب الوادى النهري مصدراً رئيسياً لرواسبه إلى جانب ما يأتى منها إلى النهر من مياه.

وقد أظهر كذلك كل من *Hack and Goodlett, 1960* خمسة أنواع من هذه السفوح وإبراز مدى تأثير كل نوع منها على النهر وروافده داخل الحوض، يمكننا أن نوجزها فيما يلى :

(١) البروز أو الأنف *Nosa*:

تد اجف المناطق وتبدو كتوراتها من الخريطة محدبة فحيثما يشبه البروزات أو التؤات الجبلية *Spurs*.

(٢) السفح الجانبى *Side Slope*:

تأخذ كتوراتها الشكل المستقيم وهى تستقبل مياهها من البروز وعادة ما تكون أكثر رطوبة منها، ويأخذ الجريان السطحي غطاءً خطياً على طول السفح (*Cooke, R., U., and Doornkamp, 1974*).

(٣) الثغرات:

تظهر بها خطوط الكتور مقعرة مع تباعدها باتجاه القناة النهرية وهى أكثر أنواع السفوح رطوبة.

(٤) أقدام السفح:

وهو الجزء السفلى الأقل انحداراً على طول قناة النهر وعادة ما يتكون سطحه من مفتات صخرية.

(٥) قاع الوادى:

وهو الذى يجرى خلاله النهر.

وفيما يلى دراسة تفصيلية للعناصر المورفومترية لموض النهر:

قبل التعرض للخصائص المورفومترية لحوض التصريف النهري يمكننا أن نظهر أهم المتغيرات

المرتبطة به على النحو التالى :

(١) مساحة حوض النهر *AU*:

تمثل أهمية مساحة الحوض كمغير مورفومتري في التأثير على حجم لتصريف المائى داخل

حوض النهر، حيث توجد علاقة طردية بين كل من المساحة الحوضية وحجم التصريف المائى بشبكة التصريف النهري.

ويمكن حساب مساحة الحوض من الخريطة الكنتورية بواسطة عدد من طرق القياس مثلها مثل غيرها من الظواهر الجيومورفولوجية مثل البحيرات والجزر والحواجز البحرية والدالات النهرية والمراوح الفيضية وغيرها.

ومن طرق قياس المساحات طريقة القياس بجهاز البلانيمتر الذى يعد من الأجهزة سهلة الاستخدام ودقيقة النتائج، على أن يتم القياس به عدة مرات وأخذ متوسط القياسات (محمد عاشور، ١٩٨٣، ص ١١٧). وتوجد وسيلة تقليدية للقياس تتمثل فى تقسيم الحوض المراد قياس مساحته على الخريطة إلى عدد من المربعات أو المثلثات ثم القيام بحساب مساحة كل مربع أو مثلث على حدة، وبالتالي يمكن حساب مساحة الحوض ككل.

ومن الوسائل الحديثة لقياس المساحات القلم المتبع الإلكتروني *Digitiser* والذى يعد من أكثر وسائل قياس المساحات دقة وسرعة رغم تكلفته المرتفعة (جودة وزملاؤد، ١٩٩١، ص ٢١٩)، وتوجد وسيلة أخرى تعتمد على قص المنطقة المراد قياسها من الخريطة المرسومة على ورق كلك ثم القياس بوزنها وحساب مساحتها بعد ذلك مع الأخذ فى الاعتبار أهمية الدقة فى هذه الوسيلة والتأكد من ثبات كثافة الورق فى كل أجزاء الخريطة.

(٢) عرض الحوض :

يتم قياسه عن طريق القيام بعمل خطوط متوازية من الصب إلى المنبع وأخذ قياسات لكل منها وإيجاد متوسط بما يمثل متوسط عرض الحوض، ويمكن الحصول عليه كذلك من خلال قسمة مساحة الحوض على طوله، ويمكننا أيضاً الحصول على أقصى عرض للحوض وهو بالطبع أطول خط من الخطوط المتوازية سابقة الذكر، يفيدنا هذا المتغير فى تحديد شكل الحوض من خلال النسبة بين الطول إلى العرض الحوضى.

(٣) طول الحوض :

يمثل أحد المتغيرات المورفومترية الهامة إلى ترتبط بالعديد من الخصائص الأخرى الخاصة بحوض التصريف، ويحدده *Schumm* بخط يمتد فيما بين نقطة مصب النهر حتى أعلى نقطة فى منطقة تقسيم لماء باتجاه المنبع.

ويرى ماكسويل *Maxwell, 1960* بأنه يمكن تحديد طول الحوض من خلال قياس طول خط مواز للقناة النهرية الرئيسية من المصب حتى المنبع، ويمكن حسابه أيضاً من خلال خط ممتد من مصب النهر للقناة الرئيسية حتى نقطة تنصف الحوض.

(٤) محيط الحوض :

يرتبط محيط الحوض كمتغير مورفومتري بالعديد من الخصائص المورفومترية الأخرى مثل شكل الحوض واستطالته واستدارته، ويعد في الواقع من أيسر المتغيرات في قياسه بواسطة المقسم *Divider* أو عجلة القياس أو بطريقة الخيط التقليدية (جودة وزملاؤه، المرجع السابق، ص ٢١١).

أما عن خصائص الحوض المورفومترية فعادة ما ترتبط بشكله وتضاريسه ويمكننا أن نوجزها فيما يلي :

(أ) شكل الحوض :

تفيد دراسة شكل الحوض في تفهم التطور الجيومورفولوجي له والعمليات التي شكلته إلى جانب تفهم مدى تأثير الشكل على حجم التصريف النهري. ويتم قياس شكل الحوض من خلال مقارنته بالأشكال الهندسية الشائعة مثل الدائرة والمستطيل، وكذلك من خلال دراسة الشكل العام له من حيث الاندماج أو الانبعاج ومن خلال النسبة بين طوله وعرضه مع الأخذ في الاعتبار إمكانية تطبيق مثل هذه الخصائص على الظواهر الجيومورفولوجية الأخرى، وفيما يلي إيجازاً لبعض المعاملات المورفومترية الخاصة بدراسة شكل الحوض.

(١) معامل الشكل : *Form Factor*

يمكن الحصول عليه من خلال قسمة مساحة الحوض بالوحدة المساحية المربعة على مربع طول الحوض بنفس وحدة القياس، ويدل انخفاض قيمة ناتج القسمة على صغر مساحة الحوض بالنسبة لطولها مما يجعله - أي الحوض النهري - يقترب من شكل المثلث، حيث يشير هذا العمل إلى كل من الطول والعرض بالنسبة لمساحة الحوض.

(٢) معدل الاستدارة : *Circularity*

يتم حسابه من خلال قسمة مساحة الحوض بوحدة مساحية مربعة على مساحة دائرة لها نفس محيط الحوض، ويعنى ارتفاع قيمة ناتج القسمة باتجاه الواحد الصحيح اقتراب شكل الحوض من الدائرة والعكس كلما ابتعدت عنه، وفي الحالة الأخيرة يظهر شكل الحوض غير منتظم الأبعاد مع تعرج خطوط تقسيم المياه، مما يؤثر بالتالي على طول القنوات الماشية خاصة تلك الواقعة في الرتب *Orders* الأولى والثانية القريبة من منابع (حسن رمضان، ١٩٩١، ص ٦).

(٣) استطالة الحوض : *Basin Elongation*

يمثل هذا المقياس (المعامل) النسبة بين قطر دائرة مساوية لمساحة الحوض بوحدة قياس معينة إلى أقصى طول للحوض بنفس وحدة القياس، ويتراوح الناتج ما بين صفر وواحد صحيح، وتكون الأحواض أقرب إلى الشكل المستطيل إذا ما اقترب الرقم الناتج من الصفر^(*).

(*) قطر الدائرة التي تساوى مع مساحة الحوض = $\sqrt{\frac{\text{مساحة الحوض}}{\pi}}$

(٤) نسبة طول الحوض إلى عرضه : *Length / Width Ratio*

تعد من أبسط المعاملات المورفومترية الخاصة بقياس مدى استطالة الحوض، ويدل ارتفاع قيم هذه النسبة على شكل الحوض من المستطيل وذلك وفقاً لما ذكره ملر *Meller, 1974*.

(٥) معامل الاندماج : *Coefficient Compactness*

يمكننا الحصول عليه من خلال قسمة طول محيط الحوض بوحدة قياس معينة على محيط الدائرة التي تساوي مساحتها مع مساحة الحوض، ويعني ما سبق أن الشكل يقاس هنا بدلالة محيط الحوض كأساس للقياس (جودة وزملاؤه، المرجع السابق، ص ٢٣٠) والمقارنة بدلالة المساحة الحوضية، وتشير قيمه المنخفضة إلى أن حوض التصريف النهري قد قطع شوطاً أطول في مراحل تطوره، أما قيمه المرتفعة فتدل على أنه يتميز بمحيط طويل على حساب مساحته وبشكل أوضح فإن محيطه متعرج وشكله أقل انتظاماً.

(ب) تضررس حوض التصريف النهري :

تبرز أهمية دراسة تضررس الحوض النهري باعتباره انعكاساً لنشاط عمليات التعرية وأثرها في تشكل سطح الأرض داخل حدود الحوض إلى جانب إبرازه لأثر أنواع الصخور وخصائصها الليثولوجية.

(١) معدل التضرس : *Relief Ratio*

يتم الحصول على معدل التضرس من خلال قسمة تضاريس الحوض (الفرق بين أعلى نقطة داخل منقطة تقسيم المياه وأدنى نقطة والتي عادة ما تكون عند المصب) إلى طول الحوض، وتناسب قيمة هذا المعدل تناسباً طردياً مع درجة تضررس الحوض وفقاً لما ذكره *Schumm*.

(٢) التضاريس النسبية : *Relative Relief*

يمكن الحصول عليه من خلال قسمة تضاريس الحوض على محيطه بالكيلو متر $\times ١٠$ وتجدر علاقة ارتباطية سالبة بين التضاريس النسبية ودرجة مقاومة الصخر لعوامل التعرية وذلك في حالة ثبات الظروف المناخية (جودة وزملاؤه، المرجع السابق، ص ٣٢٤).

(٣) معدل انحدار سطح الحوض : *Average Slope*

ويأخذ شكل القانون التالي :

$$\text{ظا ح} = \text{ف} \times \text{ع} \div ٣٦١ \text{ (رقم ثابت).}$$

ويقصد به المتوسط العام لانحدار سطح الأرض داخل الحوض بالنسبة للمستوى الأفقى للسطح ويمكن الحصول عليه بالقيام برسم عدد من الخطوط القطاعية داخل الحوض أو أى منطقة أخرى وذلك فى اتجاهات مختلفة بالخريطة الكنتورية وبعد ذلك يتم حصر عدد خطوط الكنتور التى تقطعها هذه الخطوط ثم يتم إيجاد متوسط انحدار السطح باستخدام معادلة ونتورث سابقة الذكر (حسن أبو العنين، ١٩٨١، ص ٧٢).

(٤) معدل ارتفاع المنطقة الحوضية : *Elevation Relief Ratio*

يمكننا من خلال تطبيق هذا المعدل الحصول على نسبة مساحة كل جزء من أجزاء المنطقة سواء كانت جبلية أو هضبية أو سهلة إلى جملة المساحة ويتم ذلك من خلال الخريطة الكنتورية بالبلانيمتر ويمكن معرفة معدل الارتفاع كذلك عند تحديد متوسط ارتفاع المنطقة وطبيعة سطحها المحلى كما يظهر ذلك من المعادلة الآتية :

$$\frac{م - أ}{ض} = ع م$$

حيث أن :

ع م = معدل الارتفاع.

ض = التضرس الكلى (الفارق بين أعلى نقطة وأدنى نقطة).

م = متوسط ارتفاع المنطقة.

أ = أدنى منسوب.

رابعاً : الخصائص المورفومترية لشبكات التصريف المائى بأحواض التصريف النهرية :

يعد الشكل العام لروافد النهر برواتبها المختلفة داخل حوضه نتاجاً أو انعكاساً للعلاقات بين خصائص صخور المنطقة وأشكالها التركيبية من جانب وظروف المناخ (الحالى والقديم) من جانب آخر، حيث تعكس خصائص الصخور من حيث درجة النفاذية والصلابة *Hardness* والانحدار العام لسطح الأرض والصور البنائية (التركيبية) من صدوع وفواصل *Joins* وقواطع *Dykes* وشقوق *Fissures* وغيرها وأثر ذلك فى تعديل المظهر العام لشكل التصريف وتحديد نشاط مجاريه بالإضافة إلى درجة التطور الجيومورفولوجى لحوض الادى (المرجع السابق، ص ص ٤٣٦-٤٥٢).

ويتم قياس خصائص التصريف النهري من خلال حساب معدلات التشعب التى تظهر أهميتها فى ارتباطها بمعدلات التصريف، حيث توجد علاقة بين حجم التصلايف ومعدل التشعب، فكلما قل التشعب زاد خطر الفيضانات عقب حدوث السيول أو زيادة الوارد من المياه إلى النهر.

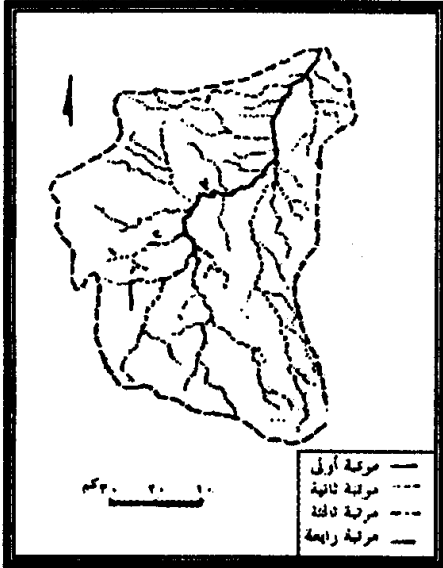
ويوضح الجدول التالي (٢٢) عدداً من المتغيرات الهامة المرتبطة بشبكات التصريف المائي داخل الحوض النهري والتي يمكن من خلال تفهم أبعادها وخصائص علاقتها ببعضها إبراز العديد من الخصائص المورفومترية والمورفولوجية للنهر وروافده داخل أحواضها.

الجدول (٢٢) عدد من المتغيرات المورفومترية لشبكات التصريف النهري

الرمز أو شكل المعادلة	المتغير
	أولاً : شبكة التصريف :
U (م)	(١) رتبة النهر
Nu (ع م)	(٢) عدد المجارى فى الرتبة
$س ن = ع م ÷ ع م + ١$	(٣) نسبة التشعب
LU	(٤) مجموع طول المجارى فى الرتبة
$Lu = Lu/Nu$	(٥) متوسط طول المجارى فى الرتبة
<i>Density of Dissection</i>	ثانياً : كثافة التقطع :
مجموع أطوال المجارى ÷ المساحة الكلية لحوض النهر، فإذا ما بلغت الكثافة مثلاً (١٥) فمعنى ذلك أن هناك ١٥ كم من المجارى لكل كم ^٢	(١) الكثافة التصريفية =
(نسبة التقطع الطوبوغرافى = طول أكثر الكنتورات تعرجاً ÷ طول محيط الحوض)	(٢) نسيج الحوض =
(نسبة التقطع الطوبوغرافى = طول أكثر الكنتورات تعرجاً ÷ طول محيط الحوض)	(٣) تكرار القنوات أو المجارى =
	ثالثاً : مقاييس أخرى :
ويأخذ الشكل التالى : $BI = 2I / M$ حيث أن : BI = دليل التضفر I = مجموع أطوال الجزر الصخرية داخل المجرى. M = طول المجرى مقاساً من منتصف المسافة بين جانبيه.	(١) دليل التضفر : <i>Braiding Index (BI)</i>
الطول الفعلى بين نقطتين ÷ طول الخط المستقيم بين نفس النقطتين، ويستخدم هذا المعامل فى قياس قطاعات الأنهار أو خطوط الشواطئ وغير ذلك لإبراز درجة التعرج بحيث أنه كلما زادت القيمة الناتجة عن واحد صحيح كلما زاد تعرج الخطوط.	(٢) معامل التعرج =

(أ) معدل التشعب : Bifurcation Ratio

يقصد به النسبة بين عدد القنوات المائية لرتبة ما وبين عدد القنوات المائية للرتبة التالية بها. ويعد معدل التشعب من المقاييس المورفومترية الهامة نظراً لأنه يعتبر أحد العوامل التي تتحكم في معدل التصريف، إلى جانب أنه كلما زاد خطر الفيضانات. ويعتمد أسلوب تحليل شبكة التصريف المائي على ترتيب الروافد المائية بشكل هرمي، حيث تتألف مجارى الرتبة الأولى من مسيلات أو روافد صغيرة تليها رتبة أعلى، أكبر حجماً وأكثر اتساعاً وطولاً، وتوجد أساليب مختلفة لترتيب المجارى المائية داخل أحواضها، أكثرها شيوعاً واستخداماً طريقة شترهيلر (Strahler, 1965).



ويوضح الشكل التالي (٩٨) أن أصغر المجارى والتي لا تتصل بها مجارى أخرى تمثل المرتبة الأولى وحيثما يستلقى أحدها مع تمثيله يشكّلان مجرى آخر أعلى رتبة يمثل أحد مجارى الرتبة الثانية، أما مجرى الرتبة الثالثة فيتشكل من التقاء مجرى من المرتبة الثانية بمثيله من نفس المرتبة، مع الأخذ في الاعتبار أن الرتبة لا تزداد درجة إلا إذا التقى مجريان من نفس الرتبة، ومن ثم فإن التقاء مجرى من الرتبة الرابعة مثلاً بمجرى من الرتبة الخامسة لن يغير من الأمر شيء.

شكل (٩٨) مراتب الأودية بحوض ببشة الأعلى

وتمثل ترتيب المجارى بداية التحليل الكمي لشبكة

التصريف المائي وذلك من خلال تطبيق المعاملات المورفومترية المختلفة.

ويحسب معدل التشعب لحوض ما من خلال إيجاد معدل التشعب لكل ربتين متتاليتين، ثم إيجاد متوسط المعدلات للرتب، كما يظهر ذلك من الجدول التالي (٢٣) الذي يوضح معدل التشعب لروافد وادي ببشة الأعلى بمنطقة عسير بالمملكة العربية السعودية (محمد صبرى محسوب، ١٩٨٧، ص ٢٨).

جدول (٢٣) معدل التشعب بحوض وادي ببشة الأعلى

الرتبة	طول الأودية	عدد كل رتبة	معدل التشعب	العدد لكل ربتين	النسبة × العدد	متوسط أطوال الأودية كم
١	٤٥٠	٤٥	٤,٩	٥٦	٢٧٤,٤	١٠
٢	٢٠	١١	٣,٦٦	١٤	٥١,٢	١,٨
٣	٤	٣	٣	٤	١٢	١,٣
٤	٧	١				٧
المجموع	٦٠				٣٣٧,٦	

يتضح من الجدول السابق والشكل (٩٨) أن عدد روافد وادى بيته الأعلى ٥٩ رافداً من الرتب الأولى ٤٥ روافد ومجموع أطوالها ٤٥٠ كيلومتر بمتوسط طول عشرة كيلومترات، ويبلغ عدد روافد الرتبة الثانية ١١ رافداً بمجموع أطوال ٢٠ كيلومتر، ومتوسط الطول ١,٨ كيلومتر (محمد صبرى محسوب، ١٩٨٧، ص ٢٩).

ويشق العدد في الرتبة الثالثة إلى أربعة فقط بمتوسط طول ١,٣ كيلومتر، ويبلغ طول الوادى الرئيسى حتى خط عرض ١٩ ش سبعة كيلومترات، ويبلغ معدل التشعب بين هذه الرتب على التوالى ٤,٩ - ٣,٦٦ و ٣ فقط.

وطبقاً لقانون شتيلر فإن معدل التشعب لحوض وادى بيته الأعلى يبلغ ٤,٥٦ وذلك نتيجة قسمة نسبة التشعب في العدد وقيمتها $334,6 \div$ مج العدد لكل رتبين وقيمتها ٧٤.

ويمكننا من الأرقام الواردة بالجدول السابق أن نخبر بالملاحظات التالية :

- بينما يبلغ متوسط طول مجارى الرتبة الأولى ١٠ كم، نجد أن متوسط طول أودية الرتبة الثانية \times و ١ كم فقط وفي التربة الثالثة ١,٣ كم، ويبلغ طول الوادى الرئيسى (الرتبة الرابعة) ٧ كم.
- يرجع السبب في زيادة أطوال روافد الرتبة الأولى إلى شدة تعرجها، حيث تلتف حول الكتل الجبلية، إلى جانب أن بعضها يمتد خلا خطوط صدعية لمسافات بعيدة نسبياً.

(ب) كثافة التصريف : Drainage Density

تبدو أهميتها في كونها تعبر عن أثر كل من نوع الصخر ونظامه والتربة والتضاريس والغطاء النباتى، ويظهر كذلك أثر الإنسان على شبكة التصريف المائى. وفيما يلى بعض المقاييس التى تستخدم في التعبير عن درجة كثافة التصريف النهري.

(١) الكثافة التصريفية :

تمثل العلاقة النسبية بين أطوال القنوات النهرية والمساحة التجميعية لأحواضها، فعندما تزداد أعداد وأطوال القنوات المائية تقل درجة انحدار سطح الأرض داخل الحوض، ويمكننا من خلال المعامل تفهم درجة نمو وتطور نظم التصريف بالحوض النهري (حسن أبو العنين، المرجع السابق، ص ٤٥٥). ويتم حساب الكثافة التصريفية من القانون التالى :

$$\text{الكثافة التصريفية} = \text{مجموع أطوال المجارى} \div \text{مساحة الحوض}$$

وتبلغ قيمتها في حوض وادى بيته (٠,٨) وهى كثافة أقل قليلاً من المتوسط وفقاً لهورتون Horton الذى يرى أن الكثافة التصريفية ترتفع إلى ١,٢٤ كم/كم^٢ في المناطق المضربة ذات الصخور والمطر الغزير، بينما تنخفض في المناطق التى تجرى فيها الأنهار في صخور عالية النفاذية.

(٢) تكرار المجارى :

يتم من خلاله قياس النسبة بين أعداد القنوات المائية داخل الحوض - بصرف النظر عن طولها - والمساحة الحوضية، ويعد ذلك واحداً من المقاييس التي تبرز كثافة التصريف.

(٣) معدل بقاء المجارى :

أقترحه Schumm للدلالة على متوسط الوحدة المساحية اللازمة لتغذية الوحدة الطولية الواحدة من قنوات شبكة التصريف، بمعنى أنه كلما كبرت قيمة الناتج كلما دل ذلك على اتساع المساحة الحوضية على حساب قنوات مائية محدودة الطول.

وبأخذ شكل المعادلة التالية :

$$\text{معدل بقاء المجرى} = \frac{\text{المساحة الحوضية}}{\text{مجموع أطوال المجارى}} = \frac{1}{\text{الكثافة التصريفية}}$$

أى أن معدل بقاء المجرى أو القناة المائية يحسب كمقلوب جبرى للكثافة التصريفية.

(ج) التباعد بين القنوات المائية :

تتأثر درجة تباعد القنوات المائية داخل الحوض بخصائص الصخور من حيث الصلابة وكثافة الشقوق والفواصل وخطوط الصدوع داخل حوض الوادى وتظهر صورة المعادلة الدالة على درجة التباعد أو المسافة بين القنوات داخل الحوض فيما يلى :

$$\text{متوسط المسافة بين القنوات} = \text{جا } ٤٥ \times \frac{\text{س}}{\text{ع}}$$

حيث أن :

(س) : هو خط يرسم على الخريطة بحيث يقطعه أكبر عدد من القنوات المائية (الروافد).

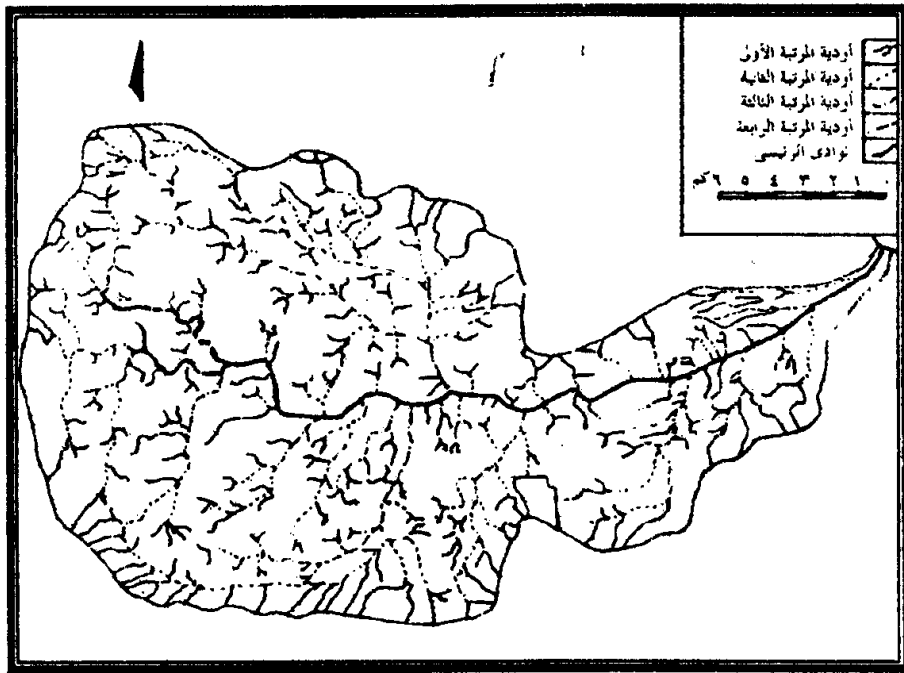
(ع) : هو القنوات التي تقطعه.

وكلما زاد الناتج دل ذلك على قلة عدد القنوات وتباعدها داخل الحوض والعكس مع انخفاض قيمة المعادلة.

وتسلك مقاييس مورفومترية أخرى مثل مقياس زوايا التقاء القنوات المائية ببعضها والتي تتحكم في اختلافها خصائص التركيب الصخرى لحوض النهرى، وأسهل طرق قياسها ما يتمثل في قياسها من خلال مد خط مستقيم من نقطة الالتقاء حتى نهاية الروافد بغض النظر عن إنشاءاته.

خامساً : أمثلة لقياسات مورفومترية لبعض الأحواض والظواهرات الجيومورفولوجية : أ. حوض وادى سفاجا بالصحراء الشرقية :

بلاحظ من الجدول (٢٣) وجود خمس رتب للقنوات المائية بحوض وادى سفاجا وعدد مجارى كل رتبة على التوالى (٣٢٤ و ٩٢ و ١٩ و ٣) وواحد شكل (٩٩) ونسبة التفرع بين هذه الرتب هي (٣.٦ و ٤.٧ و ٦.٢ و ٣) وطبقاً لقانون ستلر *Strahler* فإن معدل نسبة الشعب بحوض وادى سفاجا يبلغ (٣.٩) بمعنى أنه إذا كانت مجارى الدرجة الخامسة واحد كون روافد الدرجة (الرتبة) الرابعة (٣.٩) (محمد صبرى محسوب، ١٩٩٠، ص ١٦٤).



شكل (٩٩) حوض وادى سفاجا

ومن قياس أطوال جميع مجارى الأودية برتبها المختلفة أمكن التوصل إلى متوسطات أطوالها والتي نلاحظ منها التابع فى أطوال الروافد بالرتبة الأولى حتى الرابعة أبطأ منه فى أى جزء آخر بالمناطق ذات المناخ الرطب، كما أن التدرج من طول المجارى بالرتبتين الأولى والثانية إلى الثالثة صغير إذا ما قورن بالتدرج من الرتبة الثالثة إلى الرابعة ثم يحدث الفرق الكبير بين الرتبتين الرابعة والخامسة، حيث أن متوسط طول مجارى الرتبة الرابعة (٥,٣ كم) بينما متوسط الرتبة الخامسة (الوادى الرئيسى) ٢٠ كم. وترجع هذه الفروقات فى الأطوال إلى أن كل الروافد تقريباً من الأولى حتى الثالثة تكون قادة من تلال مرتفعة - شديدة الانحدار - مما لا يعطى فرصة حقيقية لزيادة أطوالها، ومعظمها بلا شك تعيش مرحلة الشباب، بينما نجدتها فى المرتبة الرابعة وكذلك الوادى الرئيسى يمتد وسط تكوينات ميوسينية وبلستوسينية فى وضع شبه أفقى مما يعطيها فرصة للانعطاف وبالتالى زيادة فى أطوالها.

أما فيما يختص بنسبة التقطع^(١) (معدل النسيج الحوضي) فهي تبلغ في حوض وادي سفاحا (٤.٨) ويعنى ذلك أن النسيج داخل الحوض متوسط ويرجع ذلك رغم جفاف المنطقة إلى تضرس المنطقة وارتفاعها بالإضافة إلى خطوط الصدوع والتشققات الكثيفة بها مما ساعد كثيراً في زيادة عدد الروافد داخل الحوض مثله في ذلك مثل كل الأودية تقريباً بجبال البحر الأحمر.

ويجدر بنا للمقارنة أن نذكر أن نسبة التقطع في المناطق الوعرة ذات التكوينات الرملية بولاية "داكوتا" الأمريكية تبلغ (٦٩,٧) أى حوالى (١٤) مرة قدر معدلها في حوض سفاجا، وتبلغ الكثافة التصريفية بحوض الوادي (٠,٩٩) وهى قيمة منخفضة للغاية إذا ما قورنت بمناطق الأراضى الوعرة سابقة الذكر والتي تبلغ (١١٢,٥) ولا شك أن ذلك يرجع إلى اختلاف الظروف المناخية والخصائص الجيولوجية والتركيبية بينهما، كما يرجع ذلك في جانب منه إلى أن الأرقام والبيانات هنا أخذت من خرائط صغيرة المقياس (١ : ١٠٠,٠٠٠).

(ب) بعض الخصائص المورفومترية لأحواض أودية أبو سمرة وجابر والضبعة بساحل مصر الشمالى :
(١) الأحواض [مناطق المورفومترية] :
شكل الحوض :

تعدد كما رأينا المعاملات المورفومترية التى تقارن أشكال الأحواض النهرية بالأشكال الهندسية وسوف نطبق بعض هذه المعاملات على النحو التالى :

معدل الاستطالة :

يرتفع معدل الاستطالة في كل من حوضى وادي أبو سمرة ووادي جابر كما يتضح ذلك من الجدول التالى (٢٤) والشكل (١٠٠) فيصل في الأول إلى ٠,٨٦ وفى الثانى ٠,٩٢ مما يعنى أنهما بعيدان عن الشكل المستطيل ويدل ذلك أيضاً على بساطة تضاريس حوضيهما التى بدورها ترتبط بخصائص الصخور وسهولة تعريتها رغم الجفاف النسبى الذى يسود المنطقة ككل.

وفى الحوض الثالث ينخفض المعدل إلى (٢٣)، مما يدل على اقترابه الواضح من الشكل المستطيل، ويرتبط ذلك باتجاه الجريان نحو الشرق متمشياً مع اتجاه محاور التضاريس الرئيسية بالمنطقة من حافات ومنخفضات من الشرق إلى الغرب (محمد صبرى محسوب، ١٩٩٤، ص ٢٢٦).

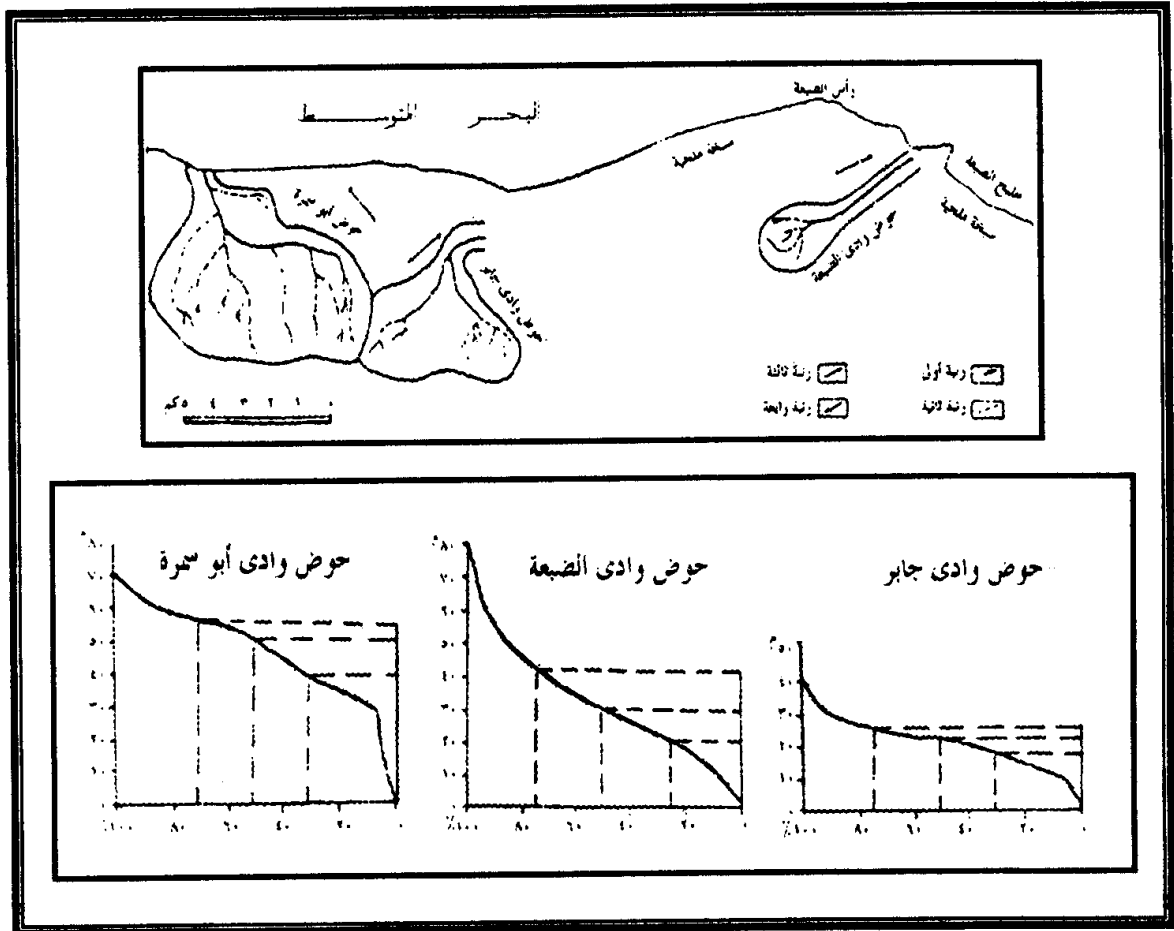
(١) تقسم نسبة التقطع إلى (٣) درجات :

- الخشنة أقل من ٤
- المتوسطة ٣ - ١٠
- ناعمة أكثر من ١٠

جدول (٢٤) بعض القياسات المورفومترية بأحواض أودية أبو سمرة وجابر والضبعة

اسم الحوض	أقصى طول للحوض (كم)	عرض الحوض (كم)	محيط الحوض (كم)	معامل الاستطالة	نسبة العرض إلى الطول	معامل الاندماج	معامل الشكل	مساحة الحوض (كم ^٢) أبو سمرة
أبو سمرة	٧	٤٤	٢٢,٦	٠,٨٦	١,٧	٠,٤	٠,٥٩	٢٩
جابر	٧,٤	٣,٢	٢	٠,٩٢	١,٤٦	٠,٦٧	٠,٦٨	١٥
الضبعة	٦	١	١٣,٢			٠,٩	٠,١٧	٦

٢٠



شكل (١٠٠) أودية جابر والضبعة وأبو سمرة ومنحنياتهما الميسومترية

نسبة الطول إلى العرض :

ينخفض في الحوضين الأولين (أبو سمرة، وجابر) إلى (١,٧) و (١,٤٦) بالترتيب. هذا يشير إلى مع نتائج تطبيق معامل الاستطالة حيث يتعدان عن الشكل المستطيل شكل (١,٠١)، بينما نحدده يرتفع إلى (٦) في حوض الضبعة وهو أقربها إلى الشكل المستطيل.

معامل الانحدار :

يبلغ في حوض وادي أبو سمرة (٠,٤)، وفي حوض وادي جابر (٠,٦٧)، بينما يرتفع قليلاً في حوض وادي الضبعة إلى (٠,٩)، وهذه القيم المنخفضة تدل على أن هذه الأودية رغم صغر مساحة أحواضها قد قطعت شوطاً كبيراً من مراحل تطورها التحاتية خاصة وادي أبو سمرة.

معامل الشكل :

بتطبيق هذا المعامل على وادي أبو سمرة نجد أنه يبلغ (٠,٥٩)، يرتفع إلى (٠,٦٨) بالتطبيق على وادي جابر مما يدل على أن الأخير أقربها للشكل الرابع - أي أقرب بعد الحوضين من بعضهما مما يدل على خصائصه الهيدرولوجية ويعكس في الوقت ذاته مرحلة النضج التي تمر بها منطقة حوض وادي جابر. وفي حوض وادي الضبعة تنخفض قيمة الشكل بصورة حادة إلى (٠,١٧) فقط مما يعكس ازدياد واضح في الطول النسبي لأحد بعدي الحوض على حساب البعد الآخر.

(٣) تضرس الحوض :

معدل التضرس :

بلغت قيمته في حوض وادي أبو سمرة (٨,٥٧) وفي حوض وادي جابر (٥,٣) يرتفع إلى (١١,٦) في حوض وادي الضبعة مما يدل على زيادة درجة التضرس في الحوض الأخير بالمقارنة بحوض أبو سمرة وحوض جابر. حيث تتناسب قيمة هذه المعدل تناسباً طردياً مع درجة تضرس الحوض كما يتضح ذلك من الجدول التالي (٢٥) :

جدول (٢٥) قيم معدل التضرس والوعورة والكثافة التصريفية بأحواض أبو سمرة وجابر والضبعة

اسم الحوض	قيمة معدل التضرس	قيمة الوعورة	الكثافة التصريفية (كم ^٢)
أبو سمرة	٨,٥٧	٠,٩٨	١,٥١
جابر	٥,٣	٠,٠٥	١,٢٤
الضبعة	١١,٦	٠,٠٥٣	٨,٣

قيمة الوعورة : *Ruggedness Value*

بتطبيق قيمة الوعورة على أحواض الأودية الثلاثة وجد أنها تتراوح ما بين (٠,٩٨) في حوض أبو سمرة، ونحو (٠,٠٥) في كل من حوضي جابر والضبعة وهي قيم منخفضة تتميز بها عادة الأودية التي تجرى في مناطق هينة التضاريس بشكل عام حيث ترتفع عند زيادة التضرس الحوضي أو عند زيادة طول مجاري على حساب المساحة الحوضية (Schumm, S., A., 1956, p.12).

(٣) الخصائص المورفومترية لشبكات التصريف المائي بالأحواض الثلاثة : شكل الشبكة :

كما عرفنا يتم قياس خصائص شبكات التصريف من خلال حساب معدلات التشعب.

معدل التشعب :

يتضح من الجدول (٢٦) بعض الخصائص المورفومترية لشبكات التصريف المائي بالأحواض الثلاثة والتي يمكن إيجازها فيما يلي :

- يبلغ معدل التشعب ما بين المرتبة الأولى والثانية في الحوض الأول (٢,٠٩) بينما يزيد في وادي جابر إلى (٢,٦) ويقل إلى (٢) فقط في وادي الضبعة.
- يبلغ معدل التشعب في حوض أبو سمرة (٢,٩) وفي حوض جابر (٢,٣٦) يقل إلى (٢) فقط في حوض الضبعة وهذه المعدلات أقل قليلاً من معدلات التشعب في الأودية النهرية دائمة الجريان والتي تتراوح ما بين (٣ - ٥) وإن كانت تقترب من مثيلاتها من الأودية الصحراوية في مصر.
- بلغ متوسط طول أودية المرتبة الأولى (٠,٣٨) كم ف حوض أبو سمرة، و(٠,٧٥) كم في حوض جابر وحوض الضبعة، بينما تبلغ متوسطات أطوال المرتبة الثانية فيها على الترتيب (١,١٩ - ٠,٦٤ - و كيلومتر واحد)، ويعني ذلك أن متوسط أطوال المرتبة الأولى في وادي أبو سمرة أقل كثيراً من متوسط طول المرتبة الثانية، أي أن التابع بين الرتبين تابع سريع، ويرجع ذلك إلى أن أودية المرتبة الأولى تنحدر على الحافات المنحدرة ما لا يعطيها فرصة لزيادة أطوالها بالإضافة إلى أنها تعيش خصائص الشباب، بينما تمر الأودية في المرتبة الثانية في أراضي المنخفض الطولي أو السهل الساحلي المرتفع لمسافات طويلة نسبياً.

وبالمقارنة نجد التابع بين روافد المرتبة الأولى والثانية في كل من وادي جابر والضبعة يسير في الأول بطى للغاية حيث يزيد متوسط الأودية بالمرتبة الأولى عن الثانية وذلك بسبب امتداد الأولى داخل أراضي سهلية منخفضة، وفي حوض وادي جابر يسير التابع معتدلاً بشكل عام.

- يبلغ متوسط طول المرتبة الثالثة في الأودية الثلاثة على الترتيب (١,٤ و ٢,٢ و ٤,٢) والأخير يمثل طول النهر الرئيسي بحوض الضبعة. وترجع زيادة أطوال هذه الرتبة إلى امتدادها في منطقة امتداد الحافات الطولية حيث تقطعها في خطوط مستقيمة.

جدول (٣٦) معدلات التشعب بأحواض أبو سمرة وجابر والضبعة

الرتبة	وادي أبو سمرة			وادي جابر			وادي الضبعة		
	العدد	التفرع		العدد	التفرع		العدد	التفرع	
١	٢٣	—	—	١٣	—	—	—	—	—
٢	١١	٢,٠٩	٣٤	٥	٢,٦	١٨	٤٦,٨	٢	١٢
٣	٣	٣,٦٦	١٤	٢	٢,٥	٧	١٧,٥	١	٥
٤	١	٣	٤	١	٢	٣	٦	—	١
المجموع	٣٨	٨,٧٥	—	٢١	٧,١	—	٧٠,٣	—	١٨
معدل التفرع	٢,٩	—	—	—	٢,٣٦	—	—	—	—

كثافة التصريف (الكثافة التصريفية)

تبلغ قيمتها في وادي أبو سمرة (١,٥١) كم/كم-٢ وفي وادي جابر (١,٤)، وفي الضبعة (٠,١٤) وهي نسبة منخفضة تدل على تباعد المجارى عن بعضها إلى جانب قصرها بالنسبة لمساحة أحواضها ويظهر ذلك بوضوح أكثر في وادي الضبعة.

تكرار القنوات المائية :

تصل إلى (١,٣) في وادي أبو سمرة، (١,٤٤) في وادي جابر، وتنخفض إلى (٠,٨٢) في حوض وادي الضبعة.

(ج) بعض القياسات المورفومترية بجزيرة شدوان بالبحر الأحمر:

تعد جزيرة شدوان أكبر الجزر المصرية مساحة ومن أكثرها تضرساً وأعلىها منسوباً، حيث تبلغ مساحتها (٤٢) كم^٢ وهي الجنوب الشرقي (١٣,٥٪) كم، وأقصى عرض لها (٤,٣) كم ومتوسط عرضها (٣,٣) كم، يبلغ معدل استطالتها (٠,٤٦)، وبتطبيق معامل الشكل عليها وجد أنه يصل إلى (٠,٢٣) مما يدل على أنها غير متناسقة الأبعاد.

(١) تتميز بسواحلها قليلة التعرج والتي تظهر مستقيمة في قطاعات عديدة منها خاصة في سواحل الجروف المنحدرة، ويظهر ذلك بوضوح في الجانب الشرقي من الجزيرة خاصة في القطاع الساحلة (أ ب) الممتد على الطرف الجنوبي الشرقي حتى أقصى امتداد للتحذب الساحلي حيث يبلغ معامل التعرج هنا (١,٠٨) فقط وذلك بسبب الأصل الصاعى للساحل، وأقصى قيمة لمعامل التعرج على طول سواحل الجزيرة البالغ (٤٠) كم (١,٣٦) في القطاه (د هـ) من الساحل الشمالى الغربى الذى يمتد أمامه إطار مرجاني وظهور أحد الخلجان (محمد صبرى محسوب، ١٩٤٤، ص ١٨٤).

(٢) بالنسبة لسطح الجزيرة فكما ذكرنا يتميز بالوعورة والارتفاع وشدة التقطع بفعل التصدع وعمليات التعرية المائية حيث يبلغ عدد الأودية المتجهة نحو الشرق (٤٤) وادياً منها (٣٥) وادياً مكونة من رتبة واحدة بمتوسط طول (٨,٠) كم، بينما يبلغ عدد الأودية ذات الربتين على هذا الجانب ثمانية أودية فقط تتمثل في الأودية أرقام (٥-٦-٧-٨-٩-١٠) بالشكل (١٠٩)، وتراوح أطوالها بين نصف كيلومتر في الوادى رقم (١٠) و (٢,٢) كم في الوديان رقم (٧) ورقم (٩).

يبلغ عدد الأودية المتجهة نحو الجنوب الغربي (٤٧) وادياً منها (٣٥) وادياً من رتبة واحدة متوسط أطولها أكثر قليلاً من الكيلومتر وأن كان بعضها يصل إلى نحو كيلومترين والبعض الآخر أقل من نصف متر وخاصة تلك الأودية التي تنحدر من منطقة تقسيم المياه المحلية في أقصى الطرف الشمالى الغربى للجزيرة، ويبلغ عدد الأودية ثنائية الرتبة في هذا الاتجاه الجنوبى الغربى عشرة أودية يبلغ متوسط طولها ثلاثة كيلومترات أطولها جميعاً الوادى رقم (١٢) (٤) كم وأقصرها الوادى رقم (١١)، ويبلغ عدد الأودية ثلاثية الرتبة واديان فقط هما رقم (١٦) ورقم (١٧) طول الأول بروفده (٦) كم والثانى (٧) كم، وهو أطول الأودية بالجزيرة.

تنحدر نحو الشمال الغربى أربعة أودية منها واديان من رتبة واحدة ووديان من ربتين الوادى (١) بطول كيلو مترين والودى رقم (٢) ذو مرتبة واحدة وطوله نصف كيلومتر.

أما الأودية الداخلية فتكون من أربعة أودية يبلغ متوسط طولها (٦,٠) كم تنحدر من السفوح الغربية للتلال الوسطى نحو السبخة الداخلية.

(٣) بالنسبة لأحواض الأودية بالجزيرة فتميز بصغر مساحتها حيث تتراوح المساحات ما بين (٠,١) كم^٢ في أصغرها مساحة حوض (١٠) وحوالى (١,٥) كم^٢ أكبرها مساحة.

(٤) تتميز أراضي أحواض الأودية بالتضرس والوعورة وبتطبيق معامل التضرس نجده مرتفع حيث بلغ في الحوض رقم (٢) (٢٢,٢) وهو أدنى معامل تضرس وبلغ في أقصاها حوض رقم (٨) (٢٤٠) وهو معامل ذو قيمة مرتفعة للغاية تدل على الفارق التضاريسى الكبير داخل الحوض رغم صغر مساحته التى تصل إلى أقل من ثلث كيلومتر مربع وطول الوادى نحو كيلو متر واحد والذى ينحدر على جروف تطل على البحر نحو الجنوب الشرقى.

(٥) بتطبيق عامل الشكل وفقاً لمعادلة هورتن التالية وجد أن متوسطة في العشرين حوضاً المختارة بالجزيرة (٠,٢٨) وهو رقم منخفض مما يدل على أن أحواض هذه الأودية غير متناسقة في شكلها بشكل عام، وقد يرجع ذلك إلى أن أحواض هذه المنطقة مع صغر مساحتها إلا أنها تختلف في شكل أحواضها من المنبع إلى المصب، ويعد الحوض رقم (٤) أقربها جميعاً إلى الشكل المنتظم حيث تبلغ قيمة عامل الشكل به (٠,٩٦) يليه الحوض رقم (١٠) وقيمة عامل الشكل به ٠,٦٢٥ بينما يتدنى عامل الشكل إلى (٠,٤٦) في الحوض رقم (٣) وحوالى (٠,٢٧) في الوادى رقم (٢).

(٦) يظهر أثر الأودية في تضرس الجزيرة وذلك من خلال تطبيق نسبة التضرس والتي تبلغ في الجزيرة ككل (٢١,٤) وهي نسبة مرتفعة بالمقارنة بغيرها من الجزر الأخرى ، وتبلغ نسبة تقطع السطح الناتجة عن قسمة عدد الأودية على محيط الجزيرة إلى (٢,٥٧) بينما تبلغ في جزيرة الجفتون (١,٥٢) (محمد صبرى محسوب ، ١٩٩٤ ، ص ٢٩٧).

(د) مورفومترية بحيرة مدرسى مطروح الشرقية :

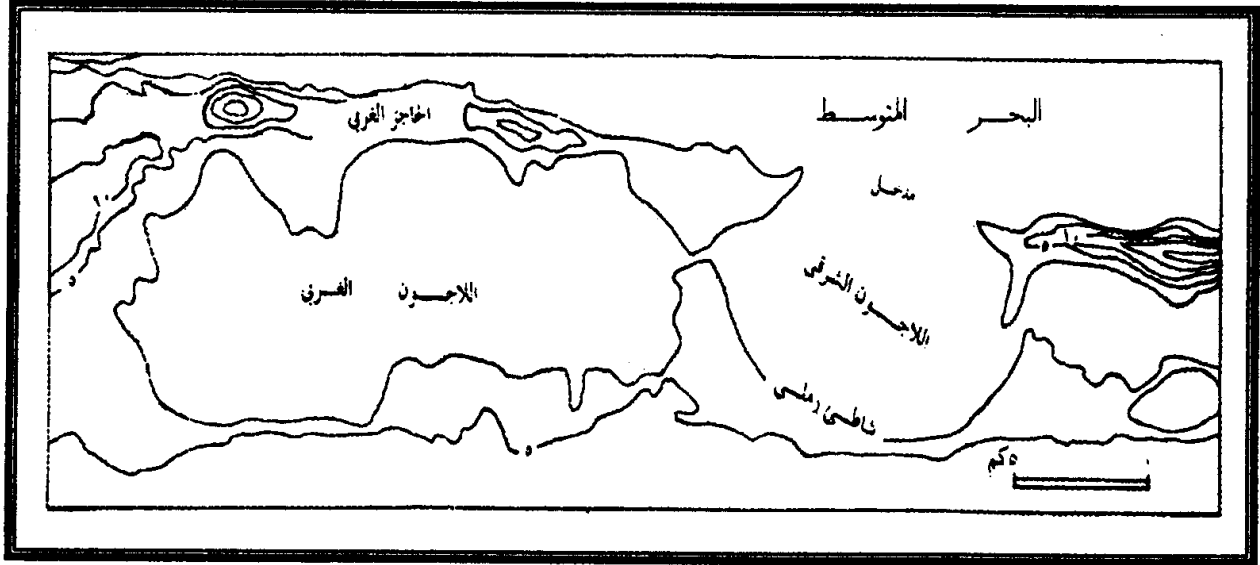
- < تبلغ مساحة البحيرة (١,٥) كم^٢ بالإضافة إلى نصف كيلو متر تمثل مساحة اللاجون الأزرق .
- < تبلغ أطوال سواحل البحيرة متضمنة سواحل اللاجون الأزرق ستة كيلومترات وأقصى طول للبحيرة (٣,٢٥ كم) ممتد فيما بين أقصى نقطة غربية حتى أقصى نقطة على الساحل الشرقى للاجون الأزرق وأقصى عرض (١,٢٥) كم ويمتد من منتصف مدخل البحيرة عند الصخرة البيضاء حتى نقطة على شاطئ المحافظة في الجنوب شكل (١٠١) مع متوسط عرض أقل من كيلومتر واحد ، مع الأخذ في الاعتبار ضيق منطقة اللاجون الأزرق في الجزء الشرقى والذي لا يزيد اتساعه عن (٦٠٠) متر، بينما يبلغ طوله أكثر قليلاً من ١٠٠٠ متر.
- < يبلغ اتساع فتحة البحيرة (١,٢٥) كم تنتشر على طول امتدادها مجموعة من الجزيرات الصخرية المنخفضة .
- < عادة ما تتخذ اللاجونات الساحلية الشكل المستطيل أو الطولى وقد تم تطبيق معدل الاستطالة على البحيرة وبلغ (٠,٦) وبتطبيق نسبة الطول إلى العرض وهو أنها تساوى (٢,٦) مما يدل على اقتراب البحيرة من الشكل المستطيل .
- < نظراً لأهمية العلاقة بين البحيرة وطول خط شاطئها كمؤشر للتعرف على أصلها وقد تم تطبيق معادلة "سول أرنو" وذلك لحساب معدل تطور خط الشاطئ وهذه المعادلة تأخذ الصورة التالية :

$$\text{معدل تطور خط الشاطئ} = \frac{\text{طول خط الشاطئ البحري}}{\sqrt{\frac{22}{V} \times \text{مساحة البحيرة}}}$$

$$= \frac{7,5}{\sqrt{\frac{22}{V} \times 3}}$$

وتدل هذه القيمة والتي تزيد على (١,٥) على أن البحيرة تقع في منطقة تتعرض سواحلها للنحت ويتعرض خط شاطئها للتراجع وان كان هذا المؤشر لا يعطى الحقيقة الثابتة المتمثلة في تعرض شواطئها للإرساب وذلك بسبب التدخلات البشرية التي أفسدت النظم الطبيعية للاجئون .

تبلغ نسبة طول مدخل (فتحة) البحيرة التي تحمل أطوال سواحلها (٢٠,٨٪) وهي نسبة مرتفعة لأية بحيرة تجعلها أقرب إلى شكل الخليج البحري.



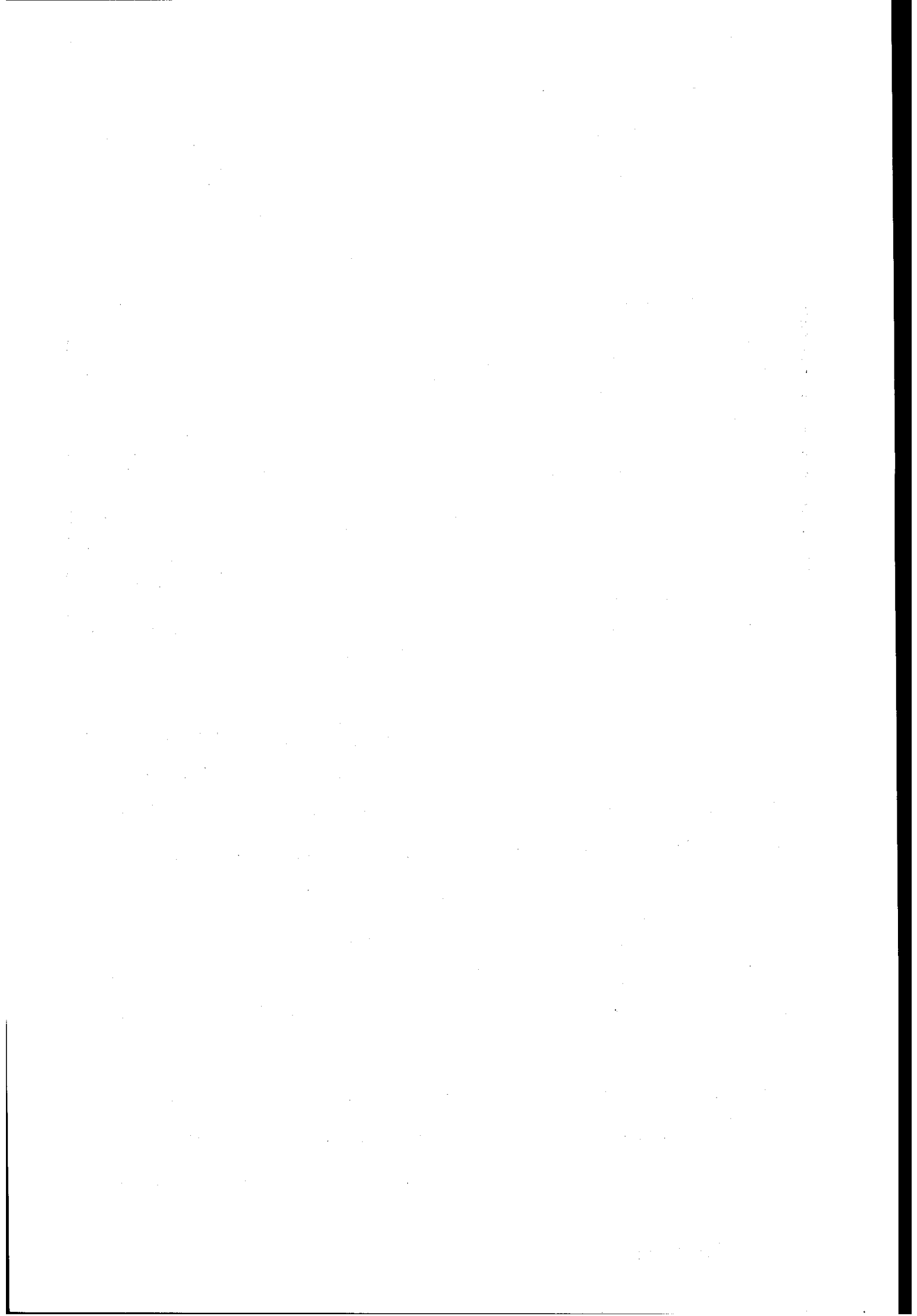
شكل (١٠١) بحيرات مرسى مطروح

(هـ) مورفومترية بحيرة مرسى مطروح الغربية :

نتمثل أهم الخصائص المورفومترية للبحيرة فيما يلي :

- تبلغ جملة مساحتها (٤,٥) كم وطول سواحلها عشرة كيلومترات، ويبلغ أقصى طول لها من فتحة القناة في أقصى الشرق إلى الغربي لها أربعة كيلومترات ومتوسط اتساعها (١٠٠٠) متر، بينما يصل أقصى عرض لها (١,٢) كم وتضيق في جزئها الشرقي إلى أقل من (٩٠٠) متر، حيث يمتد جزء من الحاجز الشمالي في شكل نتوء أرضي منخفض مثلث الشكل.
- تعد في أقرب إلى الشكل المستطيل بالمقارنة بالبحيرة الشرقية حيث يبلغ معدل الاستطالة (٠,٦).
- بتطبيق نسبة الطول إلى العرض وجد أنها تصل بهذه البحيرة إلى (٣,٦) وهي نسبة كبيرة تدل على الاستطالة.

- بحساب قيمة معدل تطور خط الشاطئ وجد أنه يصل إلى (٢,٦٥) وهو أكبر من مثليه في البحيرة الشرقية مما يدل على أنها تتأثر بعمليات التعرية وخاصة بعد حفر القنوات الملاحية وتعميق الميناء وبناء الأحواض (محمد صبرى محسوب ، ١٩٩٤، ص ص ١٠٤-١٢٨).



قائمة المراجع

أولاً : المراجع العربية.

ثانياً : المراجع الأجنبية.

1. The first part of the report is a general introduction to the subject of the study. It discusses the importance of the study and the objectives of the research. It also provides a brief overview of the methodology used in the study.

2. The second part of the report is a detailed description of the study area. It includes information about the location of the study area, the population of the study area, and the characteristics of the study area. It also discusses the data sources used in the study.

3. The third part of the report is a detailed description of the study results. It includes information about the findings of the study, the conclusions drawn from the findings, and the implications of the findings. It also discusses the limitations of the study and the need for further research.

1. The first part of the report is a general introduction to the subject of the study. It discusses the importance of the study and the objectives of the research. It also provides a brief overview of the methodology used in the study.

2. The second part of the report is a detailed description of the study area. It includes information about the location of the study area, the population of the study area, and the characteristics of the study area. It also discusses the data sources used in the study.

3. The third part of the report is a detailed description of the study results. It includes information about the findings of the study, the conclusions drawn from the findings, and the implications of the findings. It also discusses the limitations of the study and the need for further research.

المراجع :

أولاً : المراجع العربية :

- (١) إحسان أحمد سعيد (٢٠٠٥)
الأشكال الهوائية بمنخفض سيوة - دراسة جيومورفولوجية، رسالة ماجستير غير منشورة، كلية الآداب جامعة القاهرة.
- (٢) أحمد سالم صالح (١٩٨٩)
المراوح الفيضية في الجزء الأدنى من وادي النيل بسيناء، نشرة دورية محكمة يصدرها قسم الجغرافية، كلية الآداب، جامعة المنيا، العدد ١٥.
- (٣) أحمد سالم صالح (١٩٩٩)
العمل الميداني في قياس أشكال السطح - دراسة في الجيومورفولوجيا، عين للدراسات والبحوث الإنسانية والاجتماعية، القاهرة.
- (٤) أحمد عبد السلام على ومحمود محمد عاشور (٢٠٠٠)
التحليل الجهرى لرواسب الرمال في شمال سيناء، المجلة الجغرافية العربية، العدد ١٦، الجزء الثاني، القاهرة.
- (٥) أحمد فوزى ضاحى (١٩٩٩)
الحافة الشمالية لهضبة الجلالة القبلية - دراسة جيومورفولوجية، رسالة ماجستير غير منشورة، كلية الآداب، جامعة القاهرة، القاهرة.
- (٦) أحمد فوزى ضاحى (٢٠٠٤)
الأشكال الإرسابية على ساحل البحر الأحمر فيما بين رأسى أبو سومة شمالاً وحكراب جنوباً - دراسة جيومورفولوجية، رسالة دكتوراه غير منشورة، كلية الآداب، جامعة جنوب الوادى، سوهاج.
- (٧) آمال إسماعيل شاور ومحمد دياب راضى (١٩٩١)
الجغرافيا الطبيعية ، القاهرة.
- (٨) تغلب جرجيس داوود (٢٠٠٢)
علم أشكال سطح الأرض التطبيقي (الجيومورفولوجيا التطبيقية)، بغداد.
- (٩) جاسم محمد العوضى (١٩٨٩)
حركة الكبان الهلالية في الكويت، الكويت.

- ١٠) جودة حسنين جودة وآخرون (١٩٩١)
وسائل التحليل الجيومورفولوجي، بدون ناشر، القاهرة.
- ١١) جودة حسنين ومحمود عاشور وآخرون (١٩٩١)
وسائل التحليل الجيومورفولوجي، بدون ناشر، القاهرة.
- ١٢) جودة فتحى التركمانى (١٩٩١)
جيومورفولوجية المراوح الفيضية على جانبي وادى دهب - الغائب بشبه جزيرة سيناء، مجلة بحوث كلية الآداب، جامعة المنوفية، العدد الخامس.
- ١٣) حسن رمضان سلامة (١٩٨٢)
الخصائص الشكلية ودلالاتها الجيومورفولوجية، نشرة دورية محكمة يصدرها قسم الجغرافيا بجامعة الكويت والجمعية الجغرافية الكويتية، العدد ٤٣، الكويت.
- ١٤) حسن رمضان سلامة (١٩٨٣)
مظاهر الضعف الصخرى وآثارها الجيومورفولوجية، مجلة الجمعية الجغرافية الكويت، العدد ٥٣، الكويت.
- ١٥) رمضان عبد الحميد نوفل (١٩٩٤)
حواجز البحيرات الشمالية في مصر - دراسة جيومورفولوجية، رسالة ماجستير غير منشورة، قسم الجغرافيا، كلية الآداب، جامعة المنوفية.
- ١٦) السيد السيد الحسيني وعلى عبد الله مغرم (١٩٧٧)
أشكال السفوح واستخدامات الأرض في سراة غامد، مجلة كلية العلوم، جامعة الملك عبد العزيز، والسعودية.
- ١٧) سيد مرسى (٢٠٠٢)
الرووس على ساحل البحر الأحمر، رسالة ماجستير غير منشورة، قسم الجغرافيا، كلية الآداب، جامعة القاهرة.
- ١٨) صابر أمين دسوقي (١٩٨٧)
دراسة مقارنة لسفوح بعض أشكال السطح في مصر، رسالة دكتوراه غير منشورة، قسم الجغرافيا بكلية الآداب، جامعة عين شمس.
- ١٩) صابر أمين دسوقي (بدون تاريخ).
الدراسة الميدانية. بنها.

- (٢٠) طه محمد جاد (١٩٨٣)
الجمرفلوجية - مجاها ومقياس الدراسة فيها وعلاقتها بالعلوم الأخرى، الجمعية الجغرافية الكويتية، العدد ٥٤، الكويت.
- (٢١) عبد الباقي مصطفى حاح (١٩٩١)
أهمية التحليل الطبوغرافى فى تخطيط المناطق الجبلية، الندوة الجغرافية الرابعة لأقسام الجغرافيا بالسعودية، الجزء الأول، جامعة أم القرى، مكة المكرمة.
- (٢٢) عبد الحميد أحمد كليلو ومحمد إسماعيل الشيخ (١٩٨٦)
نباك الساحل الشمالى فى دولة الكويت، الجمعية الجغرافية الكويتية، الكويت.
- (٢٣) فخرى موسى، وحسن فهمى ومحب الدين وفكروك فوزى (١٩٦٨)
الجيولوجيا الهندسية، دار المعارف، الإسكندرية.
- (٢٤) فردريك هـ . لاهى (١٩٦١)
ترجمة فتح الله عوض ومحمد عبد الوهاب وسليمان محمود ومراد يوسف، جيولوجيا الحقل، دار النهضة، القاهرة.
- (٢٥) لونا ب ليولد، ترجمة رياض حامد الدباع ومحمد شامل (١٩٧٧)
الماء هو الأساس، الموصل.
- (٢٦) محمد صبرى محسوب (١٩٨٤)
العمليات الهوائية ودور التجارب المعملية والدراسات الحقلية فى فهمها، الجمعية الجغرافية المصرية، العدد ١٦، القاهرة.
- (٢٧) محمد صبرى محسوب (١٩٨٧)
مورفولوجية الأراضى بمنطقة أبها الحضرية - من خلال الدراسة الميدانية والقياسات والمورفومترية، منشورات الندوة الثالثة لأقسام الجغرافيا بالسعودية، جامعة الإمام، الرياض.
- (٢٨) محمد صبرى محسوب (١٩٩١)
جيومورفولوجية السواحل، دار الثقافة للنشر والتوزيع، القاهرة.
- (٢٩) محمد صبرى محسوب (١٩٩٦)
البيئة الطبيعية - خصائصها وتفاعل الإنسان معها، دار الفكر، القاهرة.
- (٣٠) محمد صبرى محسوب (١٩٩٧)
جيومورفولوجية الأشكال الأرضية، دار الفكر العربى ، القاهرة.

- (٣١) محمد صبرى محسوب (١٩٩٧)
جيومورفولوجية الأشكال الأرضية، دار الفكر العربى، القاهرة.
- (٣٢) محمد صبرى محسوب وإبراهيم أرباب (١٩٩٩)
الأخطار الطبيعية - الحدث والمواجهة - دراسة جغرافية، دار الفكر العربى، القاهرة.
- (٣٣) محمد صبرى محسوب (٢٠٠١)
الأطلس الجيومورفولوجى - دراسة تحليلية للشكل والعملية، دار الفكر العربى، القاهرة.
- (٣٤) محمد صبرى محسوب (٢٠٠٣)
القاموس الجغرافى - الجوانب الطبيعية والبيئية، مكتبة الإسراء، القاهرة.
- (٣٥) محمد صبرى محسوب (٢٠٠٤)
الخريطة الكنتورية فى الفهم الجيومورفولوجى، مكتبة الإسراء، القاهرة.
- (٣٦) محمد عبد الغنى عثمان مشرف (١٩٩٧)
أسس علم الرسوبيات، النشر والمطابع - جامعة الملك سعود، السعودية.
- (٣٧) محمد عبد الله الصالح (١٩٩٢)
بعض طرق قياس المتغيرات فى أحواض التصريف، مجلة كلية الآداب، جامعة الملك سعود،
السعودية.
- (٣٨) محمود إبراهيم دسوقي (٢٠٠٥)
الأشكال الأرضية الناتجة من فعل الرياح بمنخفض الواحات البحرية دراسة جيومورفولوجية،
رسالة ماجستير غير منشورة، قسم الجغرافيا، كلية الآداب، جامعة المنوفية.
- (٣٩) محمود عاشور (١٩٨٦)
طرق التحليل المورفومتري لشبكات التصريف المائى، حولة كلية الإنسانيات، الإنسان والعلوم
الاجتماعية، العدد ٩، جامعة قطر، الدوحة.
- (٤٠) ممدوح قمامى عقل (١٩٩٧)
جيومورفولوجيا الظاهرات الكارستية فيما بين وادي الكلب وإبراهيم بلبان، إصدار مجلة كلية
الآداب، المجلد الخامس والأربعون.
- (٤١) ممدوح قمامى عقل (٢٠٠٢)
التحت والافئال وأثرها فى مورفولوجيا ضفاف النيل فيما بين كوم أمبو وإسنا، مجلة كلية الآداب،
العدد ٢٦، كلية الآداب، جامعة الإسكندرية.

(٤٢) نبيل سيد امبابي (١٩٧٢)

أشكال السفوح، المجلة الجغرافية العربية، العدد الخامس، القاهرة.

(٤٣) نبيل إمبابي ومحمود عاشور (١٩٨٣)

الكتبان الرملية في شبه جزيرة قطر، الجزء الأول، مركز الوثائق والبحوث الإنسانية، جامعة قطر، الدوحة.

(٤٤) نبيل إمبابي (١٩٨٥)

الكتبان الرملية في شبه جزيرة قطر.

(٤٥) نبيل سيد إمبابي وأحمد عبد السلام (١٩٩٠)

المنخفضات في شبه جزيرة قطر - دراسة جيومورفولوجية، الدوحة.

(٤٦) يحيى عيسى فرحان (بدون)

مورفولوجية المنحدرات في مناطق مختارة من وسط الأودية، جامعة اليرموك.

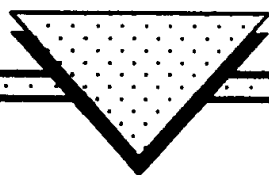
ثانياً : المرجع الأجنبية :

- 1) *Abd El-Rahman and Others (1980 – 1981) Some Geomorphological Aspects of Sewa Region, Ball, Soc., Geog., Egypt, Vol. 53.*
- 2) *Abott, A., F., (1984) Ordinary Level Physics, London.*
- 3) *Bird, D., M., (1970) Sand, Canadian Geog. Journ., Vol. LXXX, No. 6.*
- 4) *Chorely, J., Schumin and Sugdeu, A., (1984) Geomorphology, London.*
- 5) *Cooke, R., and Doornkamp, J., (1978) Geomorphology in Environmental management, An Mlroducleon. London.*
- 6) *Cooke, R., U., and Warren (1973) Geomorphology in Deserts, Bats ford, London.*
- 7) *Cremona, J., (1980) A Field Atlas of Sea Shore, New York.*
- 8) *Davies, J., L., (1980) Geographical Variation in Coastal Development, London.*
- 9) *Derbyshiro, L., et al, (1979) Geomorphological Processes, London.*
- 10) *Elennie, K., W., (1970) Desert Sedimentary Environments, London.*
- 11) *Euilcher, A., (1958) Coastal and Submarine Morphology, London.*
- 12) *Eyre, P., M., (1990) People and Physical Environment, Hong Kong.*
- 13) *Faivbridge, R., W., (1968) Encyclopedia of Geomorphology,*
- 14) *Gardiner, V., (1986) International Geomorphology, John Wiley and Sons, New York.*
- 15) *Gill, E., D., (1972) Ramparts on Store Platforms, Pacific Geology, Vol. 4, pp: 121133.*
- 16) *Goudie, A., (1981) Geomorphological Techniques, London.*
- 17) *Gregory, K., J., and Wa'ling, D., E., (1973) Drainage Basin – Form ana Process, Edvard Arnold, London.*

- 18) Hart, M., G., (1986) *Geomorphology Pure and Applied* , London.
- 19) Higgins, G., G., (1986) *Nips, Notches and the Solutions of Coastal Limestone, Estuarine Marine Science, Vol. 10, pp: 15-30.*
- 20) Hillo, E., S., (1949) *Shore Platforms, Geological Magazine, Vol. 86, pp: 52-137.*
- 21) Hillo, E., S., (1972) *Shore Platforms and Wave Ramps, Geological Magazine, Vol. 109, pp: 80-81.*
- 22) Jackson, J., H., and Evans, E., (1973) *Earth Science, Houghton Mifflin, Boston.*
- 23) King, A., M., C., (1978) *Techniques in Geomorphology, Edward Arnold, London.*
- 24) King, C., (1980) *Physical Geography Basil Blackwell, Oxford.*
- 25) Knapp, B., et al, (1989) *Challenge of Natural Environment*
- 26) Lahee, F., H., (1961) *Field Geology (6th ed), New York.*
- 27) Mabbutt. J., A., (1977) *Desert Landforms, the Mit press, Cambridge, Massachuscttes.*
- 28) Mahran, T., (1994) *Faces and Sedimentary Evolution of Syn-Rift Middle Miocene – Pliocene Sediments of Wadi Queih – Wadi Um Aish Area, South of Safaga, Red Sea, Egyp. Jorn. Of Geol., Vol. 37, No. 2.*
- 29) Mcnmanus, J., (1988) *Grain Size Determination and Interpretation, in Techniques in Sedimentology. Tucker, M., (Eder), Blackwell Science.*
- 30) Merry, K., P., (1946) *Marine Solution Basens, Journal of Geology, Vol. 54.*
- 31) Morisawa, M., (1984) *Rivers – Form and Process, Longman, London.*
- 32) Newson, M., D., and Hanwell, J., D., (1982) *Systematic Physical Geography, London.*

- 33) Ollier, C., D., (1979) *Weathering*, Longman, London.
- 34) Pitty, A., F., (1973) *Introduction to Geomorphology*, London.
- 35) Pye, K., and Tsoar, H., (1990) *Aeolian Sand and Sand Dunes*, London.
- 36) Ring, C., A., M., (1959) *Beaches and Coasts*, London.
- 37) Sellwood, B., W., (1978) *Shallow Water Carbonate Environment in Sedimentary Environment and Faces*, Edited by Reading, ., C., London.
- 38) Statham, T., (1976) *Earth Surface Sediment Transport*, Oxford.
- 39) Small, R., J., (1977) *The Study of Landforms "A Text Book of Geomorphology"* 2nd Ed., press, Cambridge Univ., London.
- 40) Steers, J., A., (1953) *The Sea Coast*, London.
- 41) Steers, J., A., (1969) *Coasts and Beaches*, London.
- 42) Steers, J., A., (1971) *Applied Coastal Geomorphology*, Macmillan, London.
- 43) Sunamura, T., (1992) *Geomorphology of Rocky Coasts* Chechesler.
- 44) Sweeting, M., M., (1972) *Karst Land Forms*, Macmillan.
- 45) Thomas, S., G., (1997) *Arid Zone Geomorphology Process, Form and Change in Dry Lands*, 2nd, London.
- 46) Trudgill, S., (1985) *Limestone Geomorphology*, Longman, London.
- 47) Warren, A., (1976) *Aeolian Processes "in Process in Geomorphology*, Edited by Embellon, C., and Thornes, J., London.
- 48) Young, A., (1972) *Slopes*, Oliver and Boyd, Edinburgh.

الملاحق



1

2

ملحق (١)

نتائج التحليل البكانيكي لرواسب المراحل الفضية بمنطقة الجلالة القبلية - الصحرَاء الشرقية - مصر

م	موقع العينة	نسبة المواد الخشنة %	نسبة المواد الناعمة %	نسبة المواد الناعمة %						الجملة %	متوسط الحجم مم	الانحراف المعياري	الاتواء	الفلطح
				رمل ناعم جداً وطنى وصلصال ٠,٠٢٦ - ٠,١٢٥ مم	رمل ناعم ٠,١٢٥ - ٠,٢٥ مم	رمل متوسط ٠,٢٥ - ٠,٥ مم	رمل خشن ٠,٥ - ١ مم	رمل خشن جداً ١ - ٢ مم	حصى ٢ - ٤ مم					
١	أعلى مورة أسنجر	٩٢,١	٧,٩	١٥,٤	١٤,٩	١٥,٤	١٨,٣	١٠,٩	١٠,٩	١٠٠	١,٣١٧	١,٦٣٢	٠,١٣٠ -	٠,٥٥٩
٢	أوسط مورة أسنجر	٩٣,٧	٦,٣	١٥,٣	١٥,٣	١٥,٣	١٨,٣	١٠,٤	١٠,٤	١٠٠	١,٠٣٣	١,٦٣٢	٠,٣٣٣	٠,٥٥٩
٣	أذن مورة أسنجر	٩٠	١٠	١٤,٨	١٨	١٨	٢١,٩	١٤,٩	١٤,٩	١٠٠	١,٠٥٠	١,٥٧٩	٠,٠٢١	٠,٦٠١
٤	أعلى مورة أم دمرانة	٩١	٩	١٩,٦	١٦	١٦	٢٥	١١,٤	١١,٤	١٠٠	١,٠٦٧	١,٦٠٧	٠,١٠١	٠,٧٣٨
٥	أوسط مورة أم دمرانة	٧٥	٢٥	١٤,٧	١٩,٦	١٩,٦	٢٥	١٤,١	٩,٤	٩٩,٩	١,٤١٧	١,٥٥٧	٠,٣٤٦	٠,٧٣٨
٦	أذن مورة أم دمرانة	٤٧	٥٣	٦,٧	١٠,٣	٢٩	٢١,١	٢١,١	١,٨	١٠٠	٧	١,١١٣	٠,٣٤١ -	٠,٩٠٩
٧	أعلى مورة أبو ميميل	٩٣	٧	١٢,٥	١٠,٤	١٥,٣	١٢,٥	٨,٣	٨,٣	٩٩,٩	١,٧٠٠	١,٤٩٢	٠,٤٧٧ -	٠,٦٨٨
٨	أوسط مورة أبو ميميل	٨٣	١٧	٦,٣	٩,٥	٩,٥	٥,٣	٢	٢	١٠٠	٧,١٣٣	١,٠١٦	٠,٦٩٥ -	١,٥٩٨
٩	أذن مورة أبو ميميل	٦١	٣٩	٢٢,٣	١٧,٥	١٤,٣	١٣	١٣	٨,٥	٩٩,٩	١,١٦٧	١,٦٢٢	٠,١١١	٠,١٢٨
١٠	أعلى مورة أم حنية	٩٠,٧	٩,٣	٢٥,٢	٢٠,٨	١٨,٩	٩,٩	٩,٩	٩	١٠٠	١,٠٦٧	١,٦٠٧	٠,١٠١	٠,٧٣٨
١١	أوسط مورة أم حنية	٨٦	١٤	٢٣,٨	٢٣,٨	٢٣,٨	٢٣,٨	٩,٤	٩,٤	١٠٠	٠,٩٦٧	١,٤٣٤	٠,٠١٠ -	٠,٨٤٩
١٢	أذن مورة أم حنية	٧٨	٢٢	١٩,٥	١٩,٨	١٩,٨	١٢,٨	١٢,٨	١٠,٨	١٠٠	١,٠٣٣	١,٥٤٢	٠,٠١٤	٠,٧٥١
١٣	أعلى مورة أم حريف	٩٥	٥	١٤,٣	١٤,٣	١٩	١٦,٦	٩,٥	٩,٥	١٠٠	١,٣٦٧	١,٦٠٧	٠,٠٦٩ -	٠,٦٥٩
١٤	أوسط مورة أم حريف	٧٦	٢٤	١٨	٢٠,٥	٢٠,٥	٢١	٨,٩	٨,٩	١٠٠	١,٣٦٧	١,٥٤٢	٠,٠٨٢ -	٠,٧٨٤
١٥	أذن مورة أم حريف	٢٨,٨	٦١,٢	٢٥,٢	٢٠,٥	٢٠,٥	٢٦,٣	٧,٣	٧,٣	٩٩,٩	٠,٨٦٧	١,٣٧٧	٠,١٦٨	٠,٨٣٩

تابع ملحق (١)
نتائج التحليل الميكانيكي لرواسب المراوح الفيضية بمنطقة الجلالة القبلية - الصحراء الشرقية - مصر

م	موقع العينة	% رمل	% طين	نسبة المواد الناعمة %						نسبة الخشب %	نسبة الخشب	الرقم	الرقم
				لـ ٠.٠٧٥ - ٠.٠٧٥	لـ ٠.٠٧٥ - ٠.٠٧٥	لـ ٠.٠٧٥ - ٠.٠٧٥	لـ ٠.٠٧٥ - ٠.٠٧٥	لـ ٠.٠٧٥ - ٠.٠٧٥	لـ ٠.٠٧٥ - ٠.٠٧٥				
١٦	أعلى مروحة أبو عظام	٩٣.٧	٦.٣	١٠	٢٣.٨	١٩.٢	١٨.٦	١١.٤	١٧	١٠٠	٠.١٦٧	٠.٩٣٢	١.٠٦٧-
١٧	أوسط مروحة أبو عظام	٨٦.٦	١٣.٤	٩.٧	٢٤.٤	٢٥.٣	٢١.٩	٩.٦	٩.١	١٠٠	٠.٧٦٧	١.٣٥٢	٠.٠٩٤
١٨	أدنى مروحة أبو عظام	٧٠.٤	٢٩.٦	٨.٢	٢٤.٢	٢٨.٦	٢٠.١	٦.٣	٢.٥	١٠٠	٠.٤٣٢	١.١٣٦	٠.٠٨٩
١٩	أعلى مروحة أبو غرادق	٨٢	١٨	٧.٣	٢١.٤	١٥.٤	١١.٩	١٤.٣	٢٩.٦	٩٩.٩	١.٣٠٠	١.٥٩٩	٠.١١٤
٢٠	أوسط مروحة أبو غرادق	٧٥.٧	٢٤.٣	٩.٨	١٦.٨	٩.٥	٨.٧	١٥.٦	٣٩.٤	٩٩.٨	١.٧٠٠	١.٦٣٧	٠.٥٥٠
٢١	أدنى مروحة أبو غرادق	٦٩	٣١	٩.٩	٢٠.٣	١٢.٧	١١.٤	١٦.٥	٢٩.٢	١٠٠	١.٣٠٠	١.٦٧٢	٠.١٠٤
٢٢	أعلى مروحة أم حفاضة	٩١.٦	٨.٤	١٠.٧	٢١	١٧.٦	١٥.١	١٢.٩	٢٢.٦	٩٩.٩	١.٢٣٢	١.٦٣٧	٠.٠٠٣
٢٣	أوسط مروحة أم حفاضة	٨٣	١٧	٨.٢	١٨.٦	١٦.٩	٢١.٣	١٤.٤	٢٠.٥	١٠٠	١.٣٠٠	١.٥٧٤	٠.٠٥١
٢٤	أدنى مروحة أم حفاضة	٦٧	٣٣	١٦.٦	٢٨.٤	٢٧.٦	١٢.٨	٣.٤	١.٥	٩٩.٩	٠.٥٢٢	١.١٥٧	٠.٧٣٢
٢٥	أعلى مروحة والد أسنخر	٧٨	٢٢	١٢.٣	٣١	٢٤.٣	١٦.١	٩.٢	٦	١٠٠	٠.٤٦٧	١.٣٣٦	٠.٣٠١
٢٦	أوسط مروحة والد أسنخر	٨٦	١٤	١٢.٧	١٩.٣	١٢.٨	١٢.٨	١٧.٤	٢٥	١٠٠	١.٢٣٢	١.٦٧٢	٠.١٢٩
٢٧	أدنى مروحة والد أسنخر	٨٧	١٣	١٠	٣٦.٥	٢٥.٩	١٢.٧	٧.٧	٧.٢	١٠٠	٠.٨٢٢	١.٣٢٧	٠.٤١٩
المتوسط العام		٨٠	٢٠	٩.٦	٢١.٤	١٨.٢	١٦.٩	١٤.٤	١٩.٥	٩٩.٩٨	١.١٥٢	١.٤٥٨	٢.٣٠٤

رقم الإيداع
٢٠٠٦/٣٢٧٨

الإسراء للطباعة
تليفون: ٥٦٣٨٣٢٢
تليفاكس: ٥٦٠٤٥٠٠